

АКАДЕМИЯ НАУК СССР

# ЖУРНАЛ ФИЗИЧЕСКОЙ ХИМИИ

*РТЗ*

ТОМ  
XXXIII

ВЫПУСК 7

ИЮЛЬ

---

ИЗДАТЕЛЬСТВО АКАДЕМИИ НАУК СССР  
МОСКВА · 1959

# ЖУРНАЛ ФИЗИЧЕСКОЙ ХИМИИ

*Редакционная коллегия:*

В. И. АНОСОВ, К. В. АСТАХОВ, А. П. БРОДСКИЙ, Г. К. БОРЕСКОВ,  
Я. И. ГЕРАСИМОВ, С. В. ГОРБАЧЕВ, Г. С. ЖДАНОВ,  
Л. А. НИКОЛАЕВ, Н. Н. СЕМЕНОВ, А. Н. ТЕРЕНИН, А. Н. ФРУМКИН,  
К. В. ЧМУТОВ

*Главный редактор* Я. И. ГЕРАСИМОВ

*Заместители главного редактора* С. В. ГОРБАЧЕВ, К. В. ЧМУТОВ  
*Отв. секретарь* Л. А. НИКОЛАЕВ

СОПОЛИМЕРИЗАЦИЯ НЕНАСЫЩЕННЫХ ПОЛИЭФИРОВ  
С ВИНИЛОВЫМИ МОНОМЕРАМИIV. СОПОЛИМЕРИЗАЦИЯ ПОЛИДИЭТИЛЕНГЛИКОЛЬФУМАРАТА  
СО СТИРОЛОМ, АКРИЛОНИТРИЛОМ, МЕТИЛМЕТАКРИЛАТОМ,  
ВИНИЛАЦЕТАТОМ

*С. С. Спасский, М. А. Михайлова, А. И. Тарасов,  
Т. В. Молчанова и М. Е. Матькова*

При изучении реакции сополимеризации поли-1,3-бутиленгликольфумарата со стиролом [1] было установлено, что константы сополимеризации полиэфира и стирола значительно отличаются от констант сополимеризации низкомолекулярных производных малеиновой и фумаровой кислот и стирола. У всех моно- и диэфиров фумаровой и малеиновой кислот и малеинового ангидрида скорость реакции их радикалов со своим мономером значительно ниже скорости реакции этих радикалов со стиролом. В случае же полиэфира наблюдается обратное явление: скорость реакции радикала полиэфира со своим мономером значительно выше, чем со стиролом. Скорость реакции радикала стирола со своим мономером, как правило, выше при сополимеризации с низкомолекулярными производными фумаровой и малеиновой кислот, чем при сополимеризации стирола с полиэфиром.

Акрилонитрил при сополимеризации с ненасыщенными полиэфирами также снижает свою активность по сравнению с его поведением при сополимеризации с диэфирами фумаровой кислоты [1]. В предыдущей статье [1] было высказано предположение, что это различие в поведении полиэфиров фумаровой кислоты и ее низкомолекулярных производных определяется стерическими факторами.

Для подтверждения высказанных соображений было целесообразно изучить сополимеризацию полиэфиров и виниловых мономеров различного строения. В данной статье приводятся результаты исследования реакции сополимеризации полидиэтиленгликольфумарата со стиролом, акрилонитрилом, метилметакрилатом, винилацетатом.

## Экспериментальная часть

Методика эксперимента описана ранее [1—3]. Приготовленный полиэфир имел характеристику: кислотное число 28,3, число омыления 598,2, удельный вес 1,308,  $n_D^{20}$  1,5085. Характеристика виниловых мономеров приведена в табл. 1. (стр. 1458)

При изучении сополимеризации поли-1,3-бутиленгликольфумарата и стирола [3] было показано, что растворимая часть реакционной смеси в момент прекращения реакции состоит из непрореагировавших исходных компонентов. Аналогичные результаты были получены и для систем, изученных в данной работе.

Константы сополимеризации рассчитывались по интегральному уравнению Майо-Льюиса [4] с учетом непрореагировавших звеньев полиэфира, вошедших в состав сополимера [3]. Количество последних определя-

65  
M12613  
8796  
108



лось по изменению удельного объема неспасыщенных соединений при их полимеризации [2].

В табл. 2 представлены данные опытов, по которым проведен расчет констант сополимеризации.

В табл. 3 приводятся константы сополимеризации изученных систем и относительные скорости реакции радикалов звеньев полиэфира и виниловых мономеров ( $1/r_1$ ).

Из табл. 3 видно, что активность винилпроизводных по отношению к радикалу звена полиэфира растет в данном ряду от стирола к винилацетату, в то время как при сополимеризации виниловых мономеров имеет место обратное явление [5] — наибольшей активностью обладает стирол, наименьшей винилацетат.

Поведение полиэфирного радикала подтверждает ранее высказанное предположение [1] о возрастании стерических факторов при сополимеризации виниловых мономеров с полиэфирами фумаровой кислоты по сравнению с их поведением с диэфирами этой кислоты. Особенно это характерно для виниловых мономеров, имеющих у двойной связи громоздкие радикалы, как, например, у стирола. Снижают свою активность также мономеры, имеющие сопряженные системы двойных связей.

Таблица 1

Характеристика виниловых мономеров

Мономер	$n_D^{20}$	$n_D^{30}$
Стирол	0,9064	1,5462
Акрилонитрил	0,8055	1,3910
Метилметакрилат	0,9340	1,4166
Винилацетат	0,9342	1,3958

характерно для виниловых мономеров, имеющих у двойной связи громоздкие радикалы, как, например, у стирола. Снижают свою активность также мономеры, имеющие сопряженные системы двойных связей.

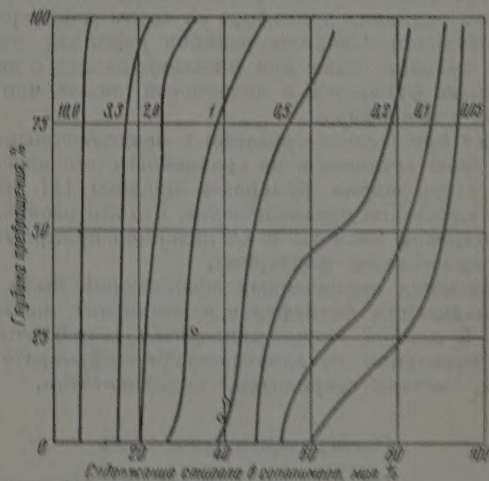


Рис. 1. Диаграмма интегрального состава сополимеров полидиэтилмалеата и стирола. Цифры на кривых означают содержание в исходной смеси полиэфира и молях на моль стирола. Кружки — экспериментальные точки

Появление дополнительных стерических затруднений при сополимеризации полиэфиров с виниловыми мономерами обусловлено, по-видимому, тем, что радикальный конец образующейся трехмерной молекулы будет экранироваться полиэфирными «подвесками», которые и затрудняют доступ мономеров к радикальному концу растущей молекулы. Стериче-



Таблица 2

 Соподимеризация полидиэтилглицольфумарата (M<sub>1</sub>) с виниловыми мономерами (M<sub>2</sub>) стиролом, акрилонитрилом, метилметакрилатом, винилацетатом

Система	Вято исходных компонентов, моль·10 <sup>2</sup>			Соотношение компонентов $M_1/M_2 \cdot 10^2$	Выход сополи-мера, %	Состав сополимеров, моль·10 <sup>3</sup>			Состав реакционной смеси, моль·10 <sup>3</sup>	
	Звеньев полимера		Винилового мономера			Звеньев полимера		Винилового мономера	звеньев полимера	винилового мономера
	всего	с поправкой на прореагировавшие				всего	в том числе прореагировавших			
1 Полидиэтилглицольфумарат-акрилонитрил	2,643	0,638	2,752	23,48	41,09	0,3038	0,073	0,268	0,565	2,484
	2,979	0,610	2,563	23,80	40,86	0,3269	0,067	0,267	0,543	2,296
	2,001	0,486	1,593	30,51	40,38	0,2097	0,051	0,155	0,435	1,438
	2,305	0,779	3,416	22,16	40,24	0,2049	0,069	0,272	0,710	3,144
	2,575	0,539	1,625	32,97	41,02	0,2870	0,060	0,169	0,479	1,466
	2,469	0,671	1,772	37,86	41,07	0,2714	0,074	0,203	0,597	1,569
	1,810	0,470	0,465	1,01	9,72	0,1776	0,046	0,039	0,424	0,426
	1,811	0,531	0,460	1,15	10,55	0,1935	0,057	0,040	0,474	0,420
	1,133	0,290	0,571	0,508	12,09	0,1383	0,035	0,065	0,255	0,506
	2,259	0,736	2,26	32,5	8,87	0,280	0,091	0,057	0,645	2,207
2 Полидиэтилглицольфумарат-стирол	2,352	0,668	2,35	28,42	4,73	0,148	0,042	0,046	0,626	2,30
	2,234	0,658	2,24	29,3	10,4	0,327	0,0965	0,078	0,562	2,16
	2,620	0,676	1,32	51,2	5,0	0,156	0,040	0,024	0,636	1,30
	2,436	0,543	1,218	44,5	8,75	0,250	0,056	0,041	0,487	1,177
	2,872	0,747	0,958	77,9	21,6	0,670	0,174	0,066	0,573	0,892
	3,255	0,934	1,085	86,0	17,6	0,627	0,178	0,062	0,736	0,993
	3,272	0,658	0,818	80,4	14,77	0,519	0,135	0,057	0,523	0,761
	2,279	0,434	1,513	28,35	15,2	0,2777	0,052	0,3667	0,382	1,146
	2,50	0,282	1,645	17,13	15,5	0,329	0,037	0,3662	0,245	1,279
	0,849	0,224	0,825	27,14	10,8	0,056	0,015	0,1573	0,208	0,668
3 Полидиэтилглицольфумарат-метилметакрилат	0,944	0,167	0,907	18,41	6,2	0,033	0,006	0,1006	0,161	0,807
	2,464	0,894	2,367	37,62	7,5	0,108	0,038	0,3330	0,856	2,034
	1,8900	0,3842	2,6880	14,40	14,67	0,4074	0,0828	0,1110	0,3014	2,5570
	2,4920	0,6190	1,6540	37,42	30,52	0,8477	0,2106	0,2309	0,4084	1,4230
4 Полидиэтилглицольфумарат-винилацетат	1,9810	0,5220	2,3450	22,26	14,69	0,4061	0,1070	0,1246	0,4150	2,2204
	1,1620	0,2819	1,5780	47,80	10,30	0,2815	0,0683	0,0864	0,2137	1,4916

ские затруднения будут тем больше, чем больше радикал у двойной связи и чем менее гибкой является молекула мономера. Молекулы, имеющие сопряжения двойных связей, будут более жесткими из-за ограниченности внутреннего вращения атомных групп у простой связи находящейся

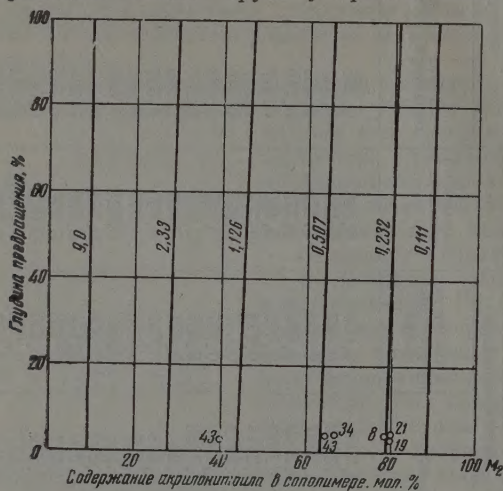


Рис. 2. Диаграмма интегрального состава сополимеров полидиэтиленгликольфумарата и акрилонитрила. Цифры на кривых означают содержание в исходной смеси полиэфира в молях на моль акрилонитрила. Кружки — экспериментальные точки

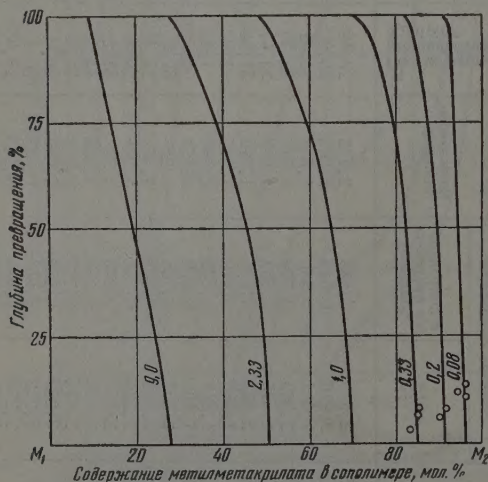


Рис. 3. Диаграмма интегрального состава сополимеров полидиэтиленгликольфумарата и метилметакрилата. Цифры на кривых означают содержание в исходной смеси полиэфира в молях на моль метилметакрилата. Кружки — экспериментальные точки

между двумя двойными [6]. Этим можно объяснить более низкую активность у стирола, акрилонитрила и метилметакрилата по сравнению с винилацетатом, который не имеет заместителей, подобных фенильным, и у него отсутствуют сопряжения двойных связей.



По уравнениям Л. М. Гиндина, А. Д. Абкина и С. С. Медведева [8], по методике, предложенной С. Н. Ушаковым, С. П. Миценгендлером и Б. М. Поляцкиной [9], был проведен расчет интегрального состава сополимеров. Результаты расчета в виде графиков показаны на рис. 1—4.

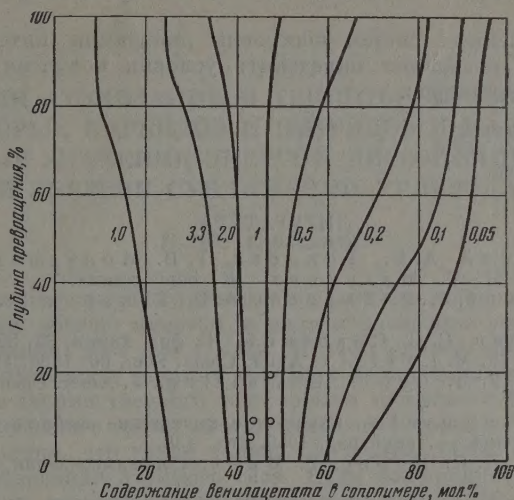


Рис. 4. Диаграмма интегрального состава сополимеров полидиэтиленгликольфумарата и винилацетата. Цифры на кривых означают содержание в исходной смеси полиэфира в молях на моль винилацетата. Кружки — экспериментальные точки

Графики интегрального состава рассчитаны на прореагировавшие двойные связи полиэфира, вошедшего в сополимер. Из графиков состава сополимеров видно, что системы полидиэтиленгликольфумарата со стиролом и метилметакрилатом не дают азеотропов. Винилацетат дает азео-

Таблица 3

Константы сополимеризации ( $r_1$  и  $r_2$ ) для полидиэтиленгликольфумарата и виниловых мономеров при температуре реакции 60° С

Системы	$r_1$	$1/r_1$	$r_2$
Полидиэтиленгликоль — фумаратстирол	$1,46 \pm 0,53$	0,68	$0,03 \pm 0,015$
То же — акрилонитрил	$1,06 \pm 0,33$	0,94	$0,87 \pm 0,10$
» » — метилметакрилат	$0,25 \pm 0,25$	4,00	$2,00 \pm 0,15$
» » — винилацетат	$0,20 \pm 0,10$	5,00	$0,045 \pm 0,015$

троп при соотношении исходных компонентов 1 : 1, а акрилонитрил — при любых соотношениях. Диаграммы интегрального состава позволяют определять условия получения однородных по составу сополимеров.

Нанесенные на кривые экспериментальные точки хорошо совпадают с расчетными данными состава сополимеров.

### Выводы

1. Изучена реакция сополимеризации полидиэтиленгликольфумарата со стиролом, акрилонитрилом, метилметакрилатом, винилацетатом и определены для этих систем константы сополимеризации.



2. Показано, что стирол, акрилонитрил, метилметакрилат в реакции с радикалом звена полидиэтиленгликольфумарата снижают свою активность по сравнению с их поведением с радикалами диэфиров фумаровой кислоты, что объясняется появлением дополнительных стерических затруднений.

3. Для изученных систем построены диаграммы интегрального состава, которые позволяют определить условия получения однородных по составу сополимеров.

Уральский филиал  
Академии Наук СССР  
Свердловск

Поступила  
17.III. 1957

#### ЛИТЕРАТУРА

1. С. С. Спасский, А. В. Токарев, Т. В. Молчанова, М. А. Михайлова, М. Е. Матькова, Ж. общ. химии.
2. С. С. Спасский, А. И. Тарасов, А. В. Токарев, Ж. физ. химии, **33**, 249, 1959.
3. А. В. Токарев, С. С. Спасский, Ж. физ. химии, **33**, 554, 1959.
4. F. R. Mayo, F. M. Lewis, J. Amer. Chem. Soc., **66**, 1594, 1944.
5. F. R. Mayo, F. M. Lewis, C. Walling, J. Amer. Chem. Soc., **70**, 1529, 1948.
6. М. В. Волькенштейн, Строение и физические свойства молекул, Изд-во АН СССР, Москва — Ленинград, 1955, стр. 138.
7. Т. А. Фрей, Д. Н. Борер, Г. Марк, Соплимеризация, пер. с англ., М., 1953, стр. 29.
8. Л. М. Гиндин, А. Д. Абкин и С. С. Медведев, Ж. физ. химии, **21**, 1269, 1947.
9. С. Н. Ушаков, С. П. Миценгендлер, Б. М. Поляккина, Сборник «Химия и физико-химия высокомолекулярных соединений», Изд-во АН СССР, Москва, 1952, стр. 49.

#### COPOLYMERIZATION OF UNSATURATED POLYESTERS AND VINYL MONOMERS

##### IV. COPOLYMERIZATION OF POLYDIETHYLENGLYCOLFUMARATE AND STYRENE, ACRYLONITRILE, METHYLMETHACRYLATE, VINYLACETATE

*S. S. Spasskiĭ, M. A. Mikhailova, A. I. Tarasov, T. V. Molchanova*  
and *M. E. Mat'kova* (Sverdlovsk)

#### Summary

In the paper the results are described of an investigation into the copolymerization of polydiethyleneglycolfumarate with styrene, acrylonitrile, methylmethacrylate and vinylacetate. Determinations were made of the copolymerization constants of these mixtures.

It was shown in the study that the activity of styrene, acrylonitrile and methylmethacrylate is less in reactions with a radical of the polyester chain than with radicals of the low molecular monomer, whereas the fumaric bond of the polyester is more active than the fumaric bond of the diesters. These specificities in behavior of the vinyl monomers and of the fumaric bond of the polyesters are explained by steric factors.

# ЭНЕРГИИ АТОМИЗАЦИИ И ТЕПЛОТЫ ОБРАЗОВАНИЯ НЕКОТОРЫХ КАРБИДОВ И НИТРИДОВ И НАИБОЛЕЕ ВЕРОЯТНЫЕ ЗНАЧЕНИЯ ЭНЕРГИИ ДИССОЦИАЦИИ АЗОТА И ЭНЕРГИИ СУБЛИМАЦИИ УГЛЕРОДА

Б. Ф. Ормонт

В спектроскопии широко применяется понятие энергия диссоциации молекул, причем обычно имеется в виду образование газа с атомами в основном состоянии при  $p = 1$  атм. В этом случае оно эквивалентно иногда применяющемуся термину «энергия атомизации» молекул\*.

Принятый в теории твердого тела термин «энергия сублимации» простых веществ последнее время иногда заменяется термином «энергия атомизации». Очевидно, что такая замена допустима лишь, если речь идет о процессе образования атомного газа. Если же продукты сублимации, хотя бы частично, вступают во взаимодействие типа  $x(M) = M_x$ , энергия сублимации не равна энергии атомизации. Последний случай имеет место, например, при сублимации углерода, пар которого состоит из молекул  $C_1$ ,  $C_2$  и  $C_3$  (см., например, [1]). (В химических формулах здесь и ниже круглые скобки обозначают газообразное состояние, квадратные — твердое).

Напротив, тепловой эффект реакции атомизации химического соединения в современной литературе обычно называют энергией решетки [2], что, как мы подробно рассмотрели [3], является источником недоразумений. Мы указывали, что целесообразно ввести термин энергия атомизации твердого тела, соответственно энергия атомизации химического соединения. Там же указывалось, что энергия атомизации  $\Omega$  бинарного соединения для процесса  $M^{p+}X^{p-} = M + X$  равна  $\Omega = Q + S_M + S_X$  или  $\Omega = Q + S_M + \frac{D_X}{2}$ , где  $S_M$  и  $S_X$  — соответственно энергия сублимации с образованием атомарного газа  $M$  и  $X$ ,  $D_X$  — энергия диссоциации  $X_2 = 2X$ . Тепловому эффекту при постоянном давлении  $Q_{p, 298} = -\Delta H_{f, 298}^\circ$  отвечает  $\Omega_{p, 298} = Q_{p, 298} + S_{M, 298} + S_{X, 298}$ .

В [3,а] нами было показано значение функции энергии атомизации  $\Omega$  для сопоставления химической и механической прочности твердых тел с химической связью, близкой к ковалентной. Этот вопрос мы предполагаем вскоре рассмотреть более подробно. В [4] нами был рассмотрен вопрос о возможных значениях энтальпии образования некоторых полупроводников (арсенидов и антимонидов) со структурой цинковой обманки, исходя из возможных значений энергии атомизации. На основе этих выводов в [4] были также оценены значения удельной полной и удельной свободной поверхностной энергии подобных полупроводников.

Здесь мы хотели бы коротко остановиться на использовании значений энергий атомизации в некоторых гомологических рядах: окисел — нитрид-карбид (титана, ванадия и их гомологов) для оценки надежности экспериментальных данных по энергии сублимации углерода и соответствующим

\* Вопрос об энергии атомизации в валентные состояния атомов  $\Omega^B$  и о роли этих представлений рассматривается нами в одной из следующих статей в этом журнале.



Энергии атомизации  $\Omega_{p,298}$  бинарных карбидов, нитридов

	$\frac{D_X}{2}$	Ti				Zr			Hf		
		$S_C$	$S_M$	$Q_p$	$\Omega_p$	$S_M$	$Q_p$	$\Omega_p$	$S_M$	$Q_p$	$\Omega_p$
MO	59,2		112,0	123,9 [27]	295,1	142,2 [34]	(135)?	336,4	170	(136)?	365,2
MN	(85,0)				(277,5)			(314,5)			(353,2)
	112,6		112,0	80,5 [26]	305,1	142,2 [34]	87,3 [26]	342,1	170	88,2 [26]	370,8
	(136,0)				(328,5)			(365,5)			(394,2)
MC		(125)			(280)			(302,7) 318?			(346,3)
			112,0	43,8 [27]		142,2 [31]	35,5 (50?)*		170	50 **	
		171,7			327,5			(349,4) 363,9?			391?

\* Наше предположение. Величина 35,5 по [8], по-видимому, занижена.

\*\* Наше предположение.

щих металлов, по энергии диссоциации азота, по энтальпии образования некоторых соединений. Исходные данные для расчета энергии атомизации карбидов нитридов и окислов таковы:

Энергия диссоциации  $D_O$  молекулы кислорода  $O_2 = 2O$  при  $0^\circ K$ . За истекшие 20 лет значения  $D_O$  не вызывали в литературе особых разногласий. В работе [5]  $D_O = 5,09 \text{ eV/моль} = 117,3 \text{ ккал/моль}$ . В [6] находим:  $D_O = 117,36 \text{ ккал/моль}$ ; [7]  $D_O = 117,34 \text{ ккал/моль}$ ;  $D_{O,298} = 118,318 \text{ ккал/моль}$  [8].

Энергия диссоциации  $D_N$  молекулы азота  $N_2 = 2N$  при  $0^\circ K$ . Вопрос о значении  $D_N$  являлся объектом острой дискуссии на протяжении 20 лет, равно как и последних 5—10 лет. В сводке [9] находим  $D_N = 7,3 \text{ eV} = 168 \text{ ккал/моль}$ , в [10]  $D_N = 9,77 \text{ eV/моль} = 225 \text{ ккал/моль}$ ; в [11]  $D_N = 11,8 \text{ eV/моль} = 272 \text{ ккал/моль}$ . В работах [12—14] защищается значение  $D_N = 9,765 \text{ eV/моль}$ , в критическом обзоре [14] принимается как наиболее вероятное значение  $D_N = 11,8 \text{ eV/моль}$ . В работе [16] — значение  $11,8 \text{ eV/моль}$  даже не обсуждается, значение  $7,385 \text{ eV/моль}$  отвергается, поддерживается значение  $9,765 \text{ eV/моль}$ . В справочнике [17] указывается, что вследствие неточного знания возбужденных уровней атомов азота выбор между значениями  $7,384$  и  $9,764 \text{ eV}$  «в настоящее время» невозможен.

Как увидим ниже, сопоставление значений функции  $\Omega$  и удельной поверхностной энергии  $\epsilon_{hkl}$  [3, а] позволяет сделать вывод, что значение  $D_N = 7,384 \text{ eV/моль}$  является весьма маловероятным; сомнительно и значение  $D_N = 11,8 \text{ eV/моль}$ . Наиболее отвечает химическим экспериментальным данным  $D_N = 9,764 \text{ eV/моль} = 225,2 \text{ ккал/моль}$ .

Энергия  $S_C$  сублимации  $[C] = (C)$  при  $0^\circ K$ . Данные для  $S_C$  в течение последних 20 лет также были объектом дискуссии. Значение  $124—125 \text{ ккал/г-ат}$  защищали работы [18] и [19], значение



Таблица 1

(и окислов) состава  $\text{MX}$  некоторых тугоплавких металлов (ккал/моль)

V			Nb			Ta			W		
$S_M$	$Q_p$	$\Omega_p$	$S_M$	$Q_p$	$\Omega_p$	$S_M$	$Q_p$	$\Omega_p$	$S_M$	$Q_p$	$\Omega_p$
120	98,8? 108 [29]	(277,5)? (287?)	184,5	97	(340,7)	185,0 [8,31]	(100)	(344)	201,6	(70)	(331)
120	[43] 55 [29]	(248) (260) 275,6? 287,6? (299) (311)	184,5	56,8 [26]	(326,3) 353,9 (377,3)	185,0 [8,31]	60,0	(330) 357,6 (382,2)	201,6	(20)	(306,6) 334,2 (357,6)
120	45,2**	(290) (336?)	184,5	38	(348) (394,2)	185,0 (8,31)	38,0 [30]	(349,3) 394,7	201,6	9,1	(337,5) 382,4

$S_C = 135\text{—}136$  ккал/г-ат — работы [20] и [21]; значение  $169\text{—}171$  ккал/г-ат работы [22—24], [11, 15]. Как мы увидим ниже, сопоставление значений  $\Omega$  позволяет сделать вывод, что наиболее отвечает химическим данным значение  $S_C = 170$  ккал/г-ат. Этот вывод, сделанный нами в работе [3, а], подтвержден в последнее время новыми исследованиями [15, 25]:

$$S_C (\text{при } 298^\circ \text{K}) = [171,698 = -171,7 \text{ ккал/г-ат.}]$$

Энергии сублимации металлов  $S_{M, 298}$  взяты на основании [8], кроме случаев, оговоренных ниже. Как видно из табл. 1, тепловые эффекты образования окисла, нитрида и карбида одного и того же элемента, например титана, падают от окисла к карбиду. Между тем, как известно, твердости тех же соединений возрастают в том же порядке. Это было одной из причин того, что некоторые исследователи не видели связи между химической и механической прочностью твердых тел. Особенно поразительным примером «несоответствия» химической и механической прочности многим казался карбид вольфрама, энтальпия и свободная энтальпия образования которого близки к нулю, тогда как твердость очень велика (см. [3, а]).

Как мы указывали в [3, а, б], это парадоксальное, на первый взгляд, явление имеет место потому, что энергия связей образующегося соединения  $\text{MX}$  не проявляется в величине энтальпии образования соединений, ибо чем прочнее связи в исходном простом веществе, тем больше энергии приходится затрачивать на его атомизацию. В результате при весьма большой энергии связей в соединении  $\text{MX}$  часто тепловой эффект его образования оказывается малым или даже отрицательным.

Напротив, значения энергии атомизации соединения  $\text{MX}$  характеризуют прочность связей. Поэтому энергии атомизации в общем случае должны расти от окисла к карбиду в том же ряду, т. е. иметь обратный ход, по сравнению со значениями энтальпии образования.

Следует подчеркнуть, что, как рассмотрено в [3, а, б], удельные полные и свободные поверхностные энергии тех же твердых тел не связаны линейной зависимостью с энергиями атомизации. Эта зависимость довольно сложна, выражается по-разному для разных граней ( $hkl$ ) и, кроме того, подчиняется разным закономерностям в случае химических связей разного характера.

Тем не менее в рассматриваемых рядах соединений изменения  $\Omega$  в общем симпатны изменениям  $\varepsilon_{hkl}$ , что также делает сформулированные ниже выводы более обоснованными.

Этот вопрос частично рассмотрен в [3, а, б] и будет подробно обсужден в другой работе (см. также [4]).

Так как в соответствии с природой функции  $\Omega$  рост ее значений в ряду окисел — карбид (состава  $MX$ ) одного и того же металла должен иметь место, возникает реальная возможность многих важных дополнительных выводов, на которых мы остановимся.

О величине энергии диссоциации азота и энергии сублимации углерода. Как видно из табл. 1, принятие значений  $\frac{D_N}{2} = 85 \text{ ккал/г-ат}$  означало бы, что энергии атомизации всех нитридов, представленных в таблице, меньше, чем энергии атомизации окислов, что невероятно. Принятие значений  $\frac{D_N}{2} = 136 \text{ ккал/г-ат}$  означало бы, что в ряде случаев энергии атомизации нитридов оказались бы больше, чем энергии атомизации соответствующих карбидов, что также сомнительно. Напротив, принятие значений  $\frac{D_N}{2} = 112,6 \text{ ккал/г-ат}$  приводит к правильному росту значений  $\Omega$  в ряду  $MO - MN - MX$ . Этот факт, на наш взгляд, явился существенным доводом в пользу принятия значения:  $\frac{D_N}{2} = 112,6 \text{ ккал/г-ат}$  или  $D_N = 225,2 \text{ ккал/моль}$  при расчете энергий атомизации в работах [3, а, б]. За это время принятие той же величины в спектроскопических исследованиях также имело место.

Из аналогичных соображений следует отвергнуть для энергии сублимации углерода (графита) значение  $S_C = 125 \text{ ккал/г-ат}$ , ибо в ряде случаев энергии атомизации нитридов окажутся большими, чем соответствующих карбидов. Значение  $S_C = 170 \text{ ккал}$  приводит к правильному ряду.

О значениях энергии сублимации металлов. Сопоставление химической и механической прочности карбидов титана и циркония позволяло ожидать более высоких значений энергии сублимации циркония. Нами было принято значение  $S_{Zr} = 142,2 \text{ ккал/г-ат}$ , согласно [31], а не  $125 \text{ ккал/г-ат}$  по [7, 8].

Об энтальпии образования карбида циркония и других. Значения энтальпии образования нитридов IV группы в последнее время подвергались пересмотру. Их можно считать сравнительно надежными. Но в таком случае вызывает сомнения принятый в [8] тепловой эффект образования карбида циркония, равный  $35 \text{ ккал/моль}$ . Он, вероятно, ближе к  $50 \text{ ккал/моль}$ , судя по значениям энергий атомизации\*. Из тех же соображений, а также учитывая [29], тепловой эффект образования нитрида циркония, вероятно, ближе к  $50 - 55 \text{ ккал/моль}$ , а не к  $43 \text{ ккал/моль}$ , как это принято в литературе. Значения теплового эффекта образования карбида циркония нам в литературе найти не удалось. Эта — величина, вероятно, не менее  $45 \text{ ккал/моль}$ \*\*. В соответствии с изложенным выше,

\* Если принять согласно [25]  $Q_p = 35 \text{ ккал/моль}$ , то для  $ZrC$  получится  $\Omega = 348,1$ , близкая к  $\Omega$  для  $ZrN$  (342,1).

\*\* Аналогичное явление имело место в современной литературе по энергии сублимации тантала, которая определялась величинами от  $185 \text{ ккал/г-ат}$  до значения

в табл. 1 наиболее вероятные значения величин  $D_N$ ,  $S_C$ ,  $S_M$ ,  $Q_p$ ,  $\Omega_p$  даны без скобок. Очевидно, в некоторых случаях должна быть сделана поправка на отклонения от стехиометрии [30a]. Наиболее вероятные значения  $\Omega_p$ ,  $\Omega_{p, 298}$  карбидов и нитридов сопоставлены в табл. 2.

Таблица 2

Энергии атомизации  $\Omega_p$ ,  $\Omega_{p, 298}$  некоторых карбидов и нитридов  
(ккал/моль)

Веще- ство	$\Omega_p$ , 298	Вещество	$\Omega_p$ , 298	Вещество	$\Omega_p$ , 298	Веще- ство	$\Omega_p$ , 298
aC	394,7	Hf	370,8	NbN	353,9	TiC	327,5
NbC	394,2	ZrC	{ 364 ? (349,4)	ZrN	342,1	TiN	305,1
HfC	392 ?	TaN	357,6	VC	336 ?	VN	{ 288 ? (275,6)
WC	382,4			WN	334,2		

Примечание. С вопросительным знаком показаны более вероятные значения энергии атомизации карбида циркония и нитрида ванадия; в скобках — расчетные данные, полученные на основании энтальпии образования, принятой в [8] и других справочных изданиях.

Хотя ряд энергий атомизации в грубом приближении симбатен поверхностным энергиям, как показано нами в [3, a], связь между ними более сложная. Поэтому строго охарактеризовать отношение поверхностных энергий через отношение  $\Omega$  нельзя (см. [3]).

### Выводы

1. Значения энергий атомизации окислов, нитридов и карбидов некоторых элементов должны расти и растут от окисла к карбиду, характеризуя энергии связи в кристаллических решетках. Поэтому их ход, в первом приближении, симбатен механической прочности твердых тел (более точная зависимость гораздо сложнее, как было показано в [3]), в отличие от хода энтальпии и свободной энтальпии.

2. Сопоставляя значения  $\Omega$  и  $\varepsilon_{hkl}$ , можно судить о наиболее вероятных значениях  $D_N$ ,  $S_C$ ,  $Q_p$ ,  $S_M$ .

Физико-химический институт  
им. Л. Я. Карпова  
Москва

Поступила  
14.XII.1957

### ЛИТЕРАТУРА

1. Thorn a. G. Winslow, J. Chem. Phys., 26, 186, 1957.
2. D. Smith, A. S. Dworkin, E. v. Artsdahlen, J. Amer. Chem. Soc., 77, 2654, 1955.
3. Б. Ф. Ормонт, а) Докл. АН СССР, 106, 687, 1956; б) Тр. Межинст. коллокви. по тверд. фазам перемен. состава, вып. 3, 1956; в) Ж. физ. химии, 31, 1281, 1957.
4. Б. Ф. Ормонт, Ж. неорг. химии, 3, 1281, 1958.
5. H. Johnston a. M. Walker, J. Amer. Chem. Soc., 55, 187, 5075, 1935.
6. Zeise, Z. Elektrochem., 43, 23, 1942.
7. L. Brewer a. oth., The Chemistry a. Metallurgy of Miscellaneous Materials, Manhatt Project, Tech. Section Div. IV, Plutonium Proj. Record, Vol. 19B, 1950.
8. F. Rossini, D. Wagman, W. Evans, S. Levine, J. Iaffe, Selected Values of Chemic. Thermod. Properties, Bur. Standards USA, Circular № 500, 1952.
9. B. Lewis a. von Elbe, J. Amer. Chem. Soc., 57, 612, 1935.
10. A. G. Gaydon, Nature, 153, 407, 1944,

>97 ккал/г-ат [32]. Нами было поставлено исследование (В. И. Смирнова и Б. Ф. Ормонт), которое привело к  $\Delta H \sim 185$  ккал/г-ат. Работа не была нами послана в печать вследствие выхода статьи [31] с теми же результатами. Однако важно подчеркнуть, что если бы Зейц [32] учитывал соображения, изложенные в [3] и здесь, он бы никогда не приписал танталу энергию сублимации порядка 100 ккал/г-ат, равно как и ниобию энергию сублимации >68 ккал/г-ат [32].



11. H. A. Skinner, Trans. Faraday, Soc., 46, 645, 1945.
12. G. Kistiakowsky, Knight, Malin, J. Amer. Chem. Soc., 73, 2972, 1951.
13. Douglas, Canad. J. Phys., 30, 302, 1952.<sup>1</sup>
14. N. Thomas, A. G. Gaydon, L. Brewer, J. Chem. Phys., 20, 369, 1952.
15. G. Glockler, J. Chem. Phys., 19, 124, 1951.
16. J. M. Hendrie, J. Chem. Phys., 22, 1503, 1954.
17. Landolt-Börnstein, Phys. chem. Tabellen, B. I, T. 2, 31, 1951.
18. G. Herzberg, J. Chem. Phys., 10, 306, 1942.
19. A. H. Long a. R. W. G. Norrish, Proc. Roy. Soc., 187, A, 337, 1946.
20. H. D. Hagstrum, Phys. Rev., 72, 947, 1947.
21. F. H. Field, J. Chem. Phys., 19, 793, 1951.
22. L. Brewer, Gilles, Jenkins, J. Chem. Phys., 16, 797, 1948.
23. M. Hoch, P. Blackburn, D. Dingley, H. Johnston, J. Chem. Phys., 59, 97, 1955.
24. W. A. Chupka, M. G. Inghram, J. Phys. Chem., 59, 100, 1955.
25. G. Glockler, J. Phys. Chem., 61, 33, 1957.
26. A. Mah a. N. Gellert, Bur. of Mines, J. Amer. Chem. Soc., 78, 3261, 1956.
27. G. L. Humphrey, J. Amer. Chem. Soc., 73, 1587, 2261, 1951.
28. Е. И. Смагина, В. С. Куцев, Б. Ф. Ормонт, Докл. АН СССР, 115, 354, 1957.
29. В. А. Эпельбаум, Б. Ф. Ормонт, Ж. физ. химии, 21, 3, 1947.
- 30 а) В. И. Смирнова, Б. Ф. Ормонт, Докл. АН СССР, 100, 127, 1955;  
б) G. L. Humphrey, J. Amer. Chem. Soc., 76, 978, 1954.
31. J. Edwards, H. L. Johnston, P. Blackburn, J. Amer. Chem. Soc., 73, 175, 1951.
32. F. Seitz, Modern Theorie of Solids, N. Y., 1940, стр. 3.

ATOMIZATION ENERGIES AND HEATS OF FORMATION OF SOME  
CARBIDES AND NITRIDES AND THE MOST PROBABLE VALUES FOR  
THE DISSOCIATION ENERGY OF NITROGEN AND SUBLIMATION ENERGY  
OF CARBON

*B. F. Ormont (Moscow)*

Summary

The question has been examined of utilizing in practice values for the atomization of solids (employing carbides, nitrides, etc., as examples) for estimating and selecting among available data, values for the sublimation energy of graphite and of some metals (zirconium, tantalum), for the dissociation energy of nitrogen and for the enthalpy of formation of carbides and nitrides. The most probable of the existing values (according to published reports) for the atomization energies of these substances, characterizing from an energy standpoint bond strengths in a lattice with covalent and metallic bonds have been compared. It has been stressed that no linear relationship between the atomization energies and specific surface energies of these substances exists, nor can it exist, as was shown by the author in (3) and will be discussed shortly.

# ТЕРМОДИНАМИЧЕСКИЕ СВОЙСТВА НАТРИЕВЫХ СОЕДИНЕНИЙ В ТВЕРДОЙ ФАЗЕ. II

П. Г. Маслов

Знание термодинамических свойств гидратов натриевых солей:  $\text{Na}_2\text{WO}_4 \cdot n\text{H}_2\text{O}$ ,  $\text{Na}_2\text{MoO}_4 \cdot n\text{H}_2\text{O}$ ,  $\text{NaUO}_2 \cdot n\text{H}_2\text{O}$ ,  $\text{Na}_2\text{Se} \cdot n\text{H}_2\text{O}$ ,  $\text{Na}_3\text{PO}_4 \cdot n\text{H}_2\text{O}$ ,  $\text{Na}_2\text{HPO}_4 \cdot n\text{H}_2\text{O}$ ,  $\text{Na}_2\text{SiO}_3 \cdot n\text{H}_2\text{O}$ ,  $\text{Na}_3\text{AsO}_4 \cdot n\text{H}_2\text{O}$  и многих других может представить интерес в самых различных отраслях промышленности. Между тем термодинамические характеристики приведены в справочной литературе лишь для некоторых из них.

Как уже отмечалось [1, 2], методы, развитые автором [3], а также автором совместно с Ю. П. Масловым [4, 5], позволили найти теплоты образования и некоторые другие термодинамические свойства для многих солей соединений, в том числе и для натриевых.

В настоящей статье вышеотмеченными методами автор, подвергая анализу данные из [6], получил общие приближенные формулы для теплот образования  $-\Delta H_f^\circ$ , свободных энергий  $-\Delta F_f^\circ$ , логарифмов констант химического равновесия  $\lg K_f$ , энтропии  $S^\circ$  и теплоемкостей  $C_p^\circ$  при 25°C в твердом, т. е. кристаллическом, состоянии для 59 семейств гидратов и аммиакатов натриевых соединений; во всех семействах содержится не менее 800 представителей. При этом за исходные величины указанных свойств, принятые за истинные, были взяты данные из [6]; ниже во всех таблицах они отмечены одной звездочкой. В тех случаях, когда в [6] указана кристаллическая модификация соли, в таблицах сделана сноска, разъясняющая, о какой модификации идет речь.

Для кристаллогидратов галоидных солей натрия общие формулы для определения термодинамических свойств имеют следующий вид:

для  $\text{NaF} \cdot n\text{H}_2\text{O}$

$$-\Delta H_f^\circ = (136,0 + 71n) \text{ ккал/моль}; \quad (1)$$

$$-\Delta F_f^\circ = (129,3 + 56,89n) \text{ ккал/моль}; \quad (2)$$

$$\lg K_f^\circ = (94,78 + 41,702n); \quad (3)$$

$$S^\circ = (14,0 + 9,866n) \text{ кал/моль} \cdot \text{град} \quad (4)$$

$$C_p^\circ = (11,0 + 10,99n) \text{ кал/моль} \cdot \text{град}; \quad (5)$$

для  $\text{NaCl} \cdot n\text{H}_2\text{O}$

$$-\Delta H_f^\circ = (98,2 + 71n) \text{ ккал/моль}; \quad (6)$$

$$-\Delta F_f^\circ = (91,78 + 56,89n) \text{ ккал/моль}; \quad (7)$$

$$\lg K_f^\circ = (67,288 + 41,702n); \quad (8)$$

$$S^\circ = (17,3 + 9,866n) \text{ кал/моль} \cdot \text{град}; \quad (9)$$

$$C_p^\circ = (11,88 + 10,99n) \text{ кал/моль} \cdot \text{град}; \quad (10)$$

для  $\text{NaBr} \cdot n\text{H}_2\text{O}$

$$-\Delta H_f^\circ = (85,25 + 71n) \text{ ккал/моль}; \quad (11)$$

$$C_p^\circ = (12,5 + 10,99n) \text{ кал/моль} \cdot \text{град}; \quad (12)$$

для  $\text{NaJ} \cdot n \text{H}_2\text{O}$

$$-\Delta H_f^\circ = (69,0 + 71n) \text{ ккал/моль}; \quad (13)$$

$$C_p^\circ = (13,0 + 10,99n) \text{ кал/моль} \cdot \text{град}. \quad (14)$$

Аналогично, для кристаллогидратов едкого натра, сернистоокислого и сернистого натрия, а также селенистого натрия легко написать соотношения:

а) для кристаллогидратов едкого натра  $\text{NaOH} \cdot n \text{H}_2\text{O}$ :

$$-\Delta H_f^\circ = (104,17 + 71n) \text{ ккал/моль}; \quad (15)$$

$$-\Delta F_f^\circ = (92,11 + 56,89n) \text{ ккал/моль}; \quad (16)$$

$$\lg K_f = (67,51 + 41,702n) \quad (17)$$

и

$$S^\circ = (10,33 + 9,866n) \text{ кал/моль} \cdot \text{град}; \quad (18)$$

б) для кристаллогидратов сернистоокислого натрия  $\text{Na}_2\text{SO}_3 \cdot n \text{H}_2\text{O}$ :

$$-\Delta H_f^\circ = (260,6 + 71n) \text{ ккал/моль}; \quad (19)$$

$$-\Delta F_f^\circ = (239,5 + 56,89n) \text{ ккал/моль}; \quad (20)$$

$$\lg K_f = (175,55 + 41,702n); \quad (21)$$

$$S^\circ = (34,9 + 9,866n) \text{ кал/моль} \cdot \text{град}; \quad (22)$$

$$C_p^\circ = (28,7 + 10,99n) \text{ кал/моль} \cdot \text{град}; \quad (23)$$

в) для кристаллогидратов сернистого натрия  $\text{Na}_2\text{S} \cdot n \text{H}_2\text{O}$  и селенистого натрия  $\text{Na}_2\text{Se} \cdot n \text{H}_2\text{O}$ :

$$-\Delta H_f^\circ = (97,7 + 71n) \text{ ккал/моль} \quad (24)$$

и

$$-\Delta H_f^\circ = (63,4 + 71n) \text{ ккал/моль}, \quad (25)$$

соответственно. Точно так же для вычисления термодинамических свойств кристаллогидратов сернистоокислого  $\text{Na}_2\text{SO}_4 \cdot n \text{H}_2\text{O}$  и кремнистоокислого  $\text{Na}_2\text{SiO}_3 \cdot n \text{H}_2\text{O}$  натрия приближенные общие формулы можно записать так:

для  $\text{Na}_2\text{SO}_4 \cdot n \text{H}_2\text{O}$  (модификация кристалла II):

$$-\Delta H_f^\circ = (330,9 + 71n) \text{ ккал/моль}; \quad (26)$$

$$-\Delta F_f^\circ = (302,78 + 56,89n) \text{ ккал/моль}; \quad (27)$$

$$\lg K_f = (221,934 + 41,702n); \quad (28)$$

$$S^\circ = (35,73 + 9,866n) \text{ кал/моль} \cdot \text{град}, \quad (29)$$

$$C_p^\circ = (30,5 + 10,99n) \text{ кал/моль} \cdot \text{град}; \quad (30)$$

для  $\text{Na}_2\text{SiO}_3 \cdot n \text{H}_2\text{O}$ :

$$-\Delta H_f^\circ = (363 + 71n) \text{ ккал/моль}; \quad (31)$$

$$-\Delta F_f^\circ = (341 + 56,89n) \text{ ккал/моль}; \quad (32)$$

$$\lg K_f = (249,9 + 41,702n); \quad (33)$$

$$S^\circ = (27,2 + 9,866n) \text{ кал/моль} \cdot \text{град}; \quad (34)$$

$$C_p^\circ = (26,72 + 10,99n) \text{ кал/моль} \cdot \text{град}. \quad (35)$$

Далее, теплоты образования  $-\Delta H_f^\circ$  и молярные теплоемкости  $C_p^\circ$   $\text{NaHSO}_4 \cdot n \text{H}_2\text{O}$ ;  $\text{NaHS} \cdot n \text{H}_2\text{O}$ ;  $\text{Na}_2\text{S}_2\text{O}_6 \cdot n \text{H}_2\text{O}$ ;  $\text{Na}_2\text{S}_2\text{O}_3 \cdot n \text{H}_2\text{O}$ ;  $\text{Na}_3\text{PO}_4 \cdot n \text{H}_2\text{O}$ ;



$\text{NaH}_2\text{P}_2\text{O}_7 \cdot n \text{H}_2\text{O}$  в твердой фазе при  $25^\circ\text{C}$  приближенно можно вычислять по соотношениям:

для  $\text{NaHSO}_4 \cdot n \text{H}_2\text{O}$ ,  $\text{NaHS} \cdot n \text{H}_2\text{O}$ ,  $\text{Na}_3\text{PO}_4 \cdot n \text{H}_2\text{O}$  и  $\text{NaH}_2\text{P}_2\text{O}_7 \cdot n \text{H}_2\text{O}$ :

$$-\Delta H_f^\circ = (268,2 + 71n) \text{ ккал/моль}; \quad (36)$$

$$-\Delta H_f^\circ = (57,3 + 71n) \text{ ккал/моль}; \quad (37)$$

$$-\Delta H_f^\circ = (457 + 71n) \text{ ккал/моль}; \quad (38)$$

$$-\Delta H_f^\circ = (599,6 + 71n) \text{ ккал/моль} \quad (39)$$

соответственно;

для  $\text{Na}_2\text{S}_2\text{O}_6 \cdot n \text{H}_2\text{O}$  и  $\text{Na}_2\text{S}_2\text{O}_3 \cdot n \text{H}_2\text{O}$ :

$$-\Delta H_f^\circ = (399,9 + 71n) \text{ ккал/моль}; \quad (40)$$

$$-\Delta H_f^\circ = (267 + 71n) \text{ ккал/моль}; \quad (41)$$

$$C_p^\circ = (35 + 10,99n) \text{ кал/моль} \cdot \text{град}. \quad (42)$$

Общие формулы для определения термодинамических свойств других семейств сложных кристаллогидратов сведены в табл. 1 и 2. В них вели-

Таблица 1

Общие формулы для определения теплот образования сложных гидратов и аммиакатов натрия в твердом состоянии при  $25^\circ\text{C}$

Соединение	$-\Delta H_f^\circ$ , ккал/моль	Соединение	$-\Delta H_f^\circ$ , ккал/моль
$\text{Na}_2\text{HPO}_4 \cdot n \text{H}_2\text{O}$	$417,4 + 71n$	$\text{Na}_2\text{IrCl}_6 \cdot n \text{H}_2\text{O}$	$233,4 + 71n$
$\text{Na}_2\text{H}_2\text{P}_2\text{O}_7 \cdot n \text{H}_2\text{O}$	$659,5 + 71n$	$\text{Na}_3\text{IrCl}_6 \cdot n \text{H}_2\text{O}$	$318,7 + 71n$
$\text{Na}_3\text{HP}_2\text{O}_7 \cdot n \text{H}_2\text{O}$	$711,4 + 71n$	$\text{Na}_2\text{OsCl}_6 \cdot n \text{H}_2\text{O}$	$295,6 + 71n$
$\text{Na}_3\text{AsO}_4 \cdot n \text{H}_2\text{O}$	$361,9 + 71n$	$\text{NaBaAcO}_4 \cdot n \text{H}_2\text{O}$	$387,3 + 71n$
$\text{Na}_2\text{Zn}(\text{SO}_4)_2 \cdot n \text{H}_2\text{O}$	$572,7 + 71n$	$\text{NaHC}_2\text{O}_4 \cdot n \text{H}_2\text{O}$	$259,2 + 71n$
$\text{Na}_2\text{CO}_3 \cdot \text{CuCO}_3 \cdot n \text{H}_2\text{O}$	$412,6 + 71n$	$\text{Na}_2\text{B}_4\text{O}_7 \cdot n \text{H}_2\text{O}$	$787,2 + 71n$
$\text{NaCN} \cdot n \text{H}_2\text{O}$	$20,25 + 71n$	$\text{Na}_2\text{C}_2\text{H}_2\text{O}_3 \cdot n \text{H}_2\text{O}$	$251,8 + 71n$
$\text{NaBaPO}_4 \cdot n \text{H}_2\text{O}$	$482,2 + 71n$	$\text{Na}_2\text{SO}_4 \cdot \text{MnSO}_4 \cdot n \text{H}_2\text{O}$	$580,7 + 71n$
$\text{NaSrAsO}_4 \cdot n \text{H}_2\text{O}$	$388,5 + 71n$	$\text{Na}_3\text{AlF}_6 \cdot n \text{H}_2\text{O}$	$772,5 + 71n$
$\text{NaSrPO}_4 \cdot n \text{H}_2\text{O}$	$482,5 + 71n$	$\text{Na}_2\text{CrO}_4 \cdot n \text{H}_2\text{O}$	$317,3 + 71n$
$\text{NaVO}_4 \cdot n \text{H}_2\text{O}$	$420 + 71n$	$\text{Na}_3\text{UO}_4 \cdot n \text{H}_2\text{O}$	$501 + 71n$
$\text{Na}_2\text{WO}_4 \cdot n \text{H}_2\text{O}$	$395 + 71n$	$\text{Na}_2\text{U}_2\text{O}_7 \cdot n \text{H}_2\text{O}$	$773,5 + 71n$
$\text{Na}_2\text{MoO}_2 \cdot n \text{H}_2\text{O}^*$	$368 + 71n$	$(\text{Na}_2\text{O}_2)_2\text{UO}_4 \cdot n \text{H}_2\text{O}$	$586 + 71n$
$\text{Na}_2\text{MnO}_4 \cdot n \text{H}_2\text{O}$	$274 + 71n$	$\text{NJ} \cdot m \text{NH}_3$	$75,2 + 19n$
$\text{Na}_2\text{PtCl}_5\text{Br} \cdot n \text{H}_2\text{O}$	$267,8 + 71n$	$\text{NaBr} \cdot m \text{NH}_3$	$89,05 + 19n$
$\text{Na}_2\text{PtCl}_4\text{Br}_2 \cdot n \text{H}_2\text{O}$	$259 + 71n$	$\text{NaBO}_3 \cdot n \text{H}_2\text{O}$	$220,8 + 71n$
$\text{Na}_2\text{PtCl}_3\text{Br}_3 \cdot n \text{H}_2\text{O}$	$250,3 + 71n$	$\text{Na}_3\text{FeCO}(\text{CN})_5 \cdot n \text{H}_2\text{O}$	$112,0 + 71n$
$\text{Na}_2\text{PtCl}_2\text{Br}_4 \cdot n \text{H}_2\text{O}$	$241,6 + 71n$	$\text{Na}_3\text{RhCl}_6 \cdot n \text{H}_2\text{O}$	$368 + 71n$
$\text{Na}_2\text{PtClBr}_5 \cdot n \text{H}_2\text{O}$	$232,8 + 71n$	$\text{Na}_3\text{SbO}_4 \cdot n \text{H}_2\text{O}$	$352 + 71n$
$\text{Na}_2\text{PtCl}_6 \cdot n \text{H}_2\text{O}$	$276,5 + 71n$	$\text{Na}_3\text{BiO}_4 \cdot n \text{H}_2\text{O}$	$288 + 71n$
$\text{Na}_2\text{PtBr}_6 \cdot n \text{H}_2\text{O}$	$224,1 + 71n$	$\text{Na}_2\text{Te}_2 \cdot n \text{H}_2\text{O}$	$101,5 + 71n$
$\text{Na}_2\text{SnO}_3 \cdot n \text{H}_2\text{O}$	$276 + 71n$	$\text{Na}_2\text{Te} \cdot n \text{H}_2\text{O}$	$84 + 71n$

\* Формулы записаны для модификации II.  $n$  и  $m$  — число групп  $\text{H}_2\text{O}$  и  $\text{NH}_3$  в соединении, соответственно, и они могут принимать как целые, так и дробные значения.

чины  $t$ ,  $m$ ,  $n$  могут принимать как целые, так и дробные значения. В табл. 4 представлены значения теплот образования  $-\Delta H_f^\circ$  и, частично, других термодинамических свойств для ряда членов семейств соединений, содержащих натрий в кристаллическом состоянии при  $25^\circ\text{C}$ . Они вычислены по формулам (1) — (42) и соотношениям табл. 1, 2. В тех случаях, когда для исходных величин термодинамических свойств, заимствованных из [6], была указана модификация кристалла, мы также отметили ее как

Таблица 2

Общие приближенные формулы для определения термодинамических свойств сложных гидратов натрия в твердой фазе при 25°C

Соединение	ккал/моль		$\lg K_f$	$S^\circ$ , э. ед.	$C_p^\circ$ , кал/моль·град
	$-\Delta H_f^\circ$	$-\Delta F_f^\circ$			
$\text{Na}_2\text{CO}_3 \cdot n\text{H}_2\text{O}$	270,3+71n	250,4+56,89n	183,53+41,702n	32,5+9,866n	26,4+10,99n
$\text{NaHCO}_3 \cdot n\text{H}_2\text{O}$	226,5+71n	203,6+56,89n	149,24+41,702n	24,4+9,866n	20,9+10,99n
$n\text{Na}_2\text{SO}_4 \cdot n\text{H}_2\text{O}$	330t+71n	302t+56,89n	221t+41,702n	35,73t+9,866n	30,5t+10,99n
$n\text{Na}_2\text{SO}_4 \cdot m\text{CaSO}_4 \cdot n\text{H}_2\text{O}$	330t+344,1m+71n	—	—	—	—
$\text{NaBH}_4 \cdot n\text{H}_2\text{O}$	43,82+71n	28,57+56,89n	20,94+41,702n	25,0+9,866n	20,7+10,99n
$n\text{NaCl} \cdot m\text{ThCl}_4 \cdot n\text{H}_2\text{O}$	291,2m+87,3t+71n	—	—	—	—
$n\text{NaCl} \cdot m\text{AlCl}_3 \cdot n\text{H}_2\text{O}$	98,23t+172,4m+71n	—	—	—	—
$n\text{NaCl} \cdot n\text{AlCl}_3 \cdot m\text{NH}_3$	98,23t+172,4m+19n	—	—	—	—
$\text{NaI} \cdot \text{Hg}(\text{CN})_2 \cdot n\text{H}_2\text{O}$	12,9+71n	—	—	—	—
$\text{NaI} \cdot \text{Hg}(\text{CN})_2 \cdot m\text{NH}_3$	12,9+19n	—	—	—	—

Таблица 4

Сравнение термодинамических свойств некоторых натриевых соединений в твердой фазе при 25°C, вычисленных автором, с опытными данными из [6]

Соединение	$-\Delta H_f^\circ$ , ккал/моль		$-\Delta F_f^\circ$ , ккал/моль		$\lg K_f$		$S^\circ$		$C_p^\circ$	
	наш расчет	данные из [6]	наш расчет	данные из [6]	наш расчет	данные из [6]	наш расчет	данные из [6]	наш расчет	данные из [6]
$\text{Na}_2\text{CO}_3$	270,3	270,3*	—	—	—	—	—	—	26,41	26,41*
$\text{Na}_2\text{SO}_4$	~330,9	330,9	303	302,78	221,93	221,934	—	—	30,5	30,5*
$\text{Na}_2\text{SO}_4 \cdot 10\text{H}_2\text{O}$	1040,9	1033,48*	871,7	870,93*	638,38	638,38*	35,73	35,73	140,4	140,4*
$\text{Na}_2\text{SiO}_3 \cdot 5\text{H}_2\text{O}$	~718	720,0	625	—	458,4	—	141,7	141,7	81,7	—
$\text{Na}_2\text{SiO}_3 \cdot 9\text{H}_2\text{O}$	1002	1002	853	—	625,2	—	—	—	125,6	—

Таблица 3

Теплоты образования сложных гидратов и аммиаконов солей натрия в твердой фазе при 25° С

Разновидности соединений	— $\Delta H_f^\circ$ , ккал/моль		Разновидности соединений	— $\Delta H_f^\circ$ , ккал/моль	
	наш расчет	данные [6]		наш расчет	данные [6]
NaHC <sub>2</sub> O <sub>4</sub>	259	257,8	NaJ	75,2	68,84
NaHC <sub>2</sub> O <sub>4</sub> ·H <sub>2</sub> O	330,0	330,2*	NaJ·4 <sup>1</sup> / <sub>2</sub> NH <sub>3</sub>	160,7	161,1
NaB <sub>4</sub> O <sub>7</sub>	787	777,7	NaJ·6NH <sub>3</sub>	189,2	189,2*
NaB <sub>4</sub> O <sub>7</sub> ·4H <sub>2</sub> O	1071,2	1072,9	NaBr	89	86,030
Na <sub>2</sub> B <sub>4</sub> O <sub>7</sub> ·5H <sub>2</sub> O	1142,2	1143,2	NaBr·5 <sup>1</sup> / <sub>4</sub> NH <sub>3</sub>	188,8	189,2
Na <sub>2</sub> B <sub>4</sub> O <sub>7</sub> ·10H <sub>2</sub> O	1497,2	1497,2*	NaBr·5 <sup>3</sup> / <sub>4</sub> NH <sub>3</sub>	198,3	198,3*
Na <sub>2</sub> HPO <sub>4</sub>	417,4	417,4*	Na <sub>2</sub> PtCl <sub>6</sub>	276	273,6
Na <sub>2</sub> HPO <sub>4</sub> ·H <sub>2</sub> O	488,2	—	Na <sub>2</sub> PtCl <sub>6</sub> ·2H <sub>2</sub> O	418,5	418,5
Na <sub>2</sub> HPO <sub>4</sub> ·2H <sub>2</sub> O	559,4	560,2	Na <sub>2</sub> PtCl <sub>6</sub> ·6H <sub>2</sub> O	702,5	702,5*
Na <sub>2</sub> HPO <sub>4</sub> ·7H <sub>2</sub> O	914,4	913,3			
Na <sub>2</sub> HPO <sub>4</sub> ·12H <sub>2</sub> O	1269,4	1266,4	Na <sub>2</sub> PtBr <sub>6</sub>	224	221,8
Na <sub>2</sub> HPO <sub>4</sub> ·13H <sub>2</sub> O	1340,4	—	Na <sub>2</sub> PtBr <sub>6</sub> ·6H <sub>2</sub> O	650,1	650,1*
Na <sub>2</sub> H <sub>2</sub> P <sub>2</sub> O <sub>7</sub>	660	663,4	Na <sub>2</sub> CrO <sub>4</sub>	317,3	317,6
Na <sub>2</sub> H <sub>2</sub> P <sub>2</sub> O <sub>7</sub> ·6H <sub>2</sub> O	1085,5	1085,5*	Na <sub>2</sub> CrO <sub>4</sub> ·4H <sub>2</sub> O	601,3	601,3*
NaBO <sub>3</sub> ***	220,8	220,0	Na <sub>3</sub> HP <sub>2</sub> O <sub>7</sub>	711,4	711,4*
NaBO <sub>3</sub> ·4H <sub>2</sub> O	504,8	504,8*	Na <sub>3</sub> HP <sub>2</sub> O <sub>7</sub> ·H <sub>2</sub> O	782,4	788,2
Na <sub>3</sub> FeCO(CN) <sub>5</sub>	112	117,8	Na <sub>3</sub> HP <sub>2</sub> O <sub>7</sub> ·6H <sub>2</sub> O	1137,4	1135,7
Na <sub>3</sub> FeCO(CN) <sub>5</sub> ·7H <sub>2</sub> O	609	609*	Na <sub>3</sub> AsO <sub>4</sub>	362	365
и т. д.	—	—	Na <sub>3</sub> AsO <sub>4</sub> ·12H <sub>2</sub> O	1213,9	1213,9*
Na <sub>3</sub> RhCl <sub>6</sub>	368	371,7	Na <sub>2</sub> CO <sub>3</sub> ·CuCO <sub>3</sub>	412,6	411,4
Na <sub>3</sub> RhCl <sub>6</sub> ·12H <sub>2</sub> O	1220	1220	Na <sub>2</sub> CO <sub>3</sub> ·CuCO <sub>3</sub> ·3H <sub>2</sub> O	625,6	625,6*
NaJ	69,0	68,84	Na <sub>2</sub> Zn(SO <sub>4</sub> ) <sub>2</sub>	572,7	567,0
NaJ·2H <sub>2</sub> O	211,05	211,05*	Na <sub>2</sub> Zn(SO <sub>4</sub> ) <sub>2</sub> ·4H <sub>2</sub> O	856,7*	856,7*
NaBr	85,25	86,030	NaCN**	20,25	21,46
NaBr·2H <sub>2</sub> O	227,25	227,25*	NaCN· <sup>1</sup> / <sub>2</sub> H <sub>2</sub> O	55,8	56,19
NaHSO <sub>4</sub>	268,2	269,2	NaCN·2H <sub>2</sub> O	162,25	162,25*
NaHSO <sub>4</sub> ·H <sub>2</sub> O	339,2	339,2*	Na <sub>2</sub> S <sub>2</sub> O <sub>6</sub> ·2H <sub>2</sub> O	541,9	542,5
NaHS***	57,3	56,5	Na <sub>2</sub> S <sub>2</sub> O <sub>6</sub> ·3H <sub>2</sub> O	612,9	623,0(?)
NaHS·H <sub>2</sub> O	128,3	—	Na <sub>3</sub> PO <sub>4</sub>	457	460
NaHS·2H <sub>2</sub> O	199,27	199,27*	NaH <sub>2</sub> P <sub>2</sub> O <sub>7</sub>	600	602,7
			NaH <sub>2</sub> P <sub>2</sub> O <sub>7</sub> ·H <sub>2</sub> O	670,7	670,6
			2NaCl·ThCl <sub>4</sub>	485,8	485,8*
			2NaCl·ThCl <sub>4</sub> ·10H <sub>2</sub> O	1196	1225,7
			Na <sub>2</sub> CO <sub>3</sub> ·H <sub>2</sub> O	341,3	341,8
			Na <sub>2</sub> CO <sub>3</sub> ·7H <sub>2</sub> O	767,3	765,3
			Na <sub>2</sub> CO <sub>3</sub> ·10H <sub>2</sub> O	980,3	975,6
			NaOH	104,2	101,99
			NaOH·H <sub>2</sub> O	175,2	175,17*
			Na <sub>2</sub> SO <sub>3</sub>	260,6	260,6*
			Na <sub>2</sub> S	97,7	89,2
			Na <sub>2</sub> Se	63,4	63

\* Данные, заимствованные из [6].

\*\* Для NaCN·nH<sub>2</sub>O расчет дан для модификации III.\*\*\* Для NaBO<sub>3</sub>·nH<sub>2</sub>O; NaHS·nH<sub>2</sub>O данные относятся к идеальным растворам.

в тексте, так и в таблицах. Кроме того, для сравнения там же выписаны имеющиеся данные из [6]. Из анализа табличных данных легко уяснить, что в подавляющем количестве случаев отклонение наших расчетов от данных в [6] весьма невелико. Для теплот образования оно в среднем порядка 0,2—1%, для начальных членов — порядка 5—9%. Примерно такого же порядка — точность результатов, получаемых по предложенным формулам, для величин других термодинамических функций.

Значения свойств, заимствованные из [6] и отмеченные знаком вопроса, мы считаем сомнительными, что вытекает из основных положений идеи аддитивности.

В заключение следует подчеркнуть, что при наличии более точных исходных данных, формулы легко уточнить.



### Выводы

1. Методами, описанными в [4, 5], путем анализа данных из [6] получены приближенные формулы для определения теплот образования и других термодинамических свойств для большой группы семейств сложных кристаллогидратов натрия при 25° С, охватывающие не менее 800 соединений.

2. Сравнение результатов расчета с имеющимися опытными данными из [6] показало хорошую сходимость с опытом. Если данные из [6], принятые за исходные, считать как правильные, то точность формул и найденных по ним величин порядка 0,2—1%, редко 1—9%.

### ЛИТЕРАТУРА

1. П. Г. Маслов, Ю. П. Маслов, Ж. химия и технология топлив и масел, Гос. научн. техн. комит. Совета министр. СССР и АН СССР, 10, 50, 1958.
2. П. Г. Маслов, Ж. неорганич. химия, 3, 2618, 1958.
3. П. Г. Маслов, Успехи химии, 25, 1069, 1956.
4. Ю. П. Маслов, П. Г. Маслов, Оптика и спектроскопия, 3, 38, 1957.
5. Ю. П. Маслов, П. Г. Маслов. Ж. физ. химии 32, 1715, 1958.
6. F. D. Rossini, D. D. Wagman, W. H. Evans, S. Levine and I. Jaffe, Selected values of chemical thermodynamic properties, Nat. Bur. Standards, Circular No. 500, Washington, 1952.

### THERMODYNAMIC PROPERTIES OF SODIUM COMPOUNDS IN THE SOLID PHASE. II

*P. G. Maslov (Leningrad)*

#### Summary

On the basis of the method of the author and Yu. Maslov and from an analysis of the data in the 1952 edition of the handbook of Rossini et al. approximate general formulas have been obtained for determining the heats of formation —  $\Delta H_f^\circ$  and partially of other thermodynamic properties in the solid state at 25° C for 59 families of complex sodium hydrates and amines, comprising no less than 800 representatives.

The accuracy of the calculated data is on an average of the order of 0.2—1%, rarely of 1—9%.

## О КАТАЛИТИЧЕСКИХ СВОЙСТВАХ СИСТЕМЫ Pd + Pt

А. А. Алчуджан и М. А. Инджикян

Несомненно, что между каталитическими и магнитными свойствами катализаторов существует связь. Так, в работах А. А. Алчуджана и Е. Т. Кристостуряна установлено, что по мере увеличения содержания Ag [1, 2] или Cu [2, 3] в Pd каталитическая активность последнего в отношении гидрирования бензола снижается и при содержании 65—70 ат. % Ag или Cu достигает нуля. Известно также, что по мере увеличения содержания Ag (как и Cu) в Pd магнитная восприимчивость Pd + Ag и Pd + Cu твердых растворов также уменьшается и при 65—70 ат. % Ag или Cu достигает нуля [4]. Однако золото, которое так же действует на магнитную восприимчивость Pd [5], как Ag и Cu, по имеющимся неполным данным существенно не влияет на каталитическую активность Pd в отношении той же реакции гидрирования бензола [2]. Несмотря на подобные противоречия представляет интерес накапливать экспериментальный материал по изучению связи между магнитными и каталитическими свойствами катализаторов.

В настоящей работе приведены данные по изучению каталитической активности смешанных Pd + Pt катализаторов в отношении гидрирования бензола и сопоставлены с имеющимися в литературе магнитными свойствами этих же систем.

Сплавы в системе Pd + Pt представляют собой непрерывный ряд твердых растворов [6—9]. Это установлено работами В. А. Немилова с сотрудниками по изучению зависимости электросопротивления, его температурного коэффициента и твердости от состава Pd + Pt сплавов [6]. К тому же выводу пришли Гейбел [7], Шульце [8] и, наконец, Ван Ляйм [9].

Образование непрерывного ряда твердых растворов в случае порошкообразных Pd + Pt систем установлено А. И. Стеценко и И. П. Твердовским [10], получившими порошки электролитическим осаждением из раствора  $\text{PdCl}_2 + \text{PtCl}_4$ , и подвергшими их рентгенографическому изучению. По мере увеличения содержания Pt в Pd + Pt твердых растворах в изученном интервале температур 138—822° С и давлений 152—760 мм рт. ст., растворимость водорода в них снижается и при содержании Pt выше 36 ат. % практически прекращается [11]. Для электролитически полученных Pd + Pt твердых растворов авторы [10] путем снятия кривых зарядения при 20° С также установили, что по мере роста концентрации Pt в твердом растворе растворимость  $\text{H}_2$  при этой температуре и 1 атм уменьшается и в сплавах, содержащих больше 34 ат. % Pt, становится равной нулю. При этом установлено также, что при содержании меньше 5 ат. % и при давлении меньше 1 атм при растворении водорода в Pd + Pt растворах образуются две фазы, а при содержании более 5 ат. % растворение водорода происходит гомогенно.

Магнитная восприимчивость Pd + Pt твердых растворов по мере увеличения содержания Pt постепенно уменьшается и при содержании 65—70 ат. % Pt достигает минимального значения. При дальнейшем увеличении содержания платины, вплоть до 100%, магнитная восприимчивость практически остается постоянной. Важно отметить, что у этих твердых растворов магнитная восприимчивость ни при каких соотношениях Pd : Pt не равняется нулю, и наименьшее и постоянное значение восприимчивости, которой обладают твердые растворы, содержащие больше 65—70 ат. % Pt, все же представляет значительную величину [12]. Интерпретация изменения магнитной восприимчивости Pd + Pt твердых растворов в настоящее время затруднительна [13].



### Экспериментальная часть

Метод изучения активности  $\text{Pd} + \text{Pt}$  катализаторов и аппаратура. Активность катализаторов определялась по измерению скорости гидрирования бензола, производившегося струйным методом, и выражалась в процентах гидрирования бензола в циклогексан. Проценты гидрирования бензола измерялись периодически определением коэффициента преломления катализата и сопоставлением найденных значений с таблицей «состав бензол-циклогексановой смеси — коэффициент преломления» А. А. Введенского [14]. Применявшаяся аппаратура была цельнопаяной и напоминала ту, которой пользовались В. Р. Жаркова и А. В. Фрост [15] и А. А. Алчуджан и А. В. Фрост [16].

Исходные вещества. Водород получался электролизом раствора едкого натра, очищался и тщательно высушивался, как в работах [15, 16]. Применявшийся бензол не содержал тиофена и имел следующие константы:  $t_{\text{кип.}}$  80,4—80,2°С,  $n_D^{20} = 1,5011$ ,  $d_4^{20} = 0,878$ .

Катализаторы и методы их приготовления. Как чистые  $\text{Pd}$  и  $\text{Pt}$ , так и смешанные  $\text{Pd} + \text{Pt}$  катализаторы готовились по методу [17], действием раствора химически чистого едкого натра в присутствии формалина при комнатной температуре на растворы  $\text{Pd}(\text{NO}_3)_2$ ,  $\text{H}_2[\text{PtCl}_6]$ , а в случае  $\text{Pd} + \text{Pt}$  катализаторов на совместные растворы указанных веществ, взятых в требуемых соотношениях. Во всех случаях полученные черни тщательно промывались 5%-ным раствором уксусной кислоты, а затем дистиллированной водой до нейтральной реакции. Полученный катализатор высушивался при 80—90°С. Азотнокислый палладий получали растворением металлического палладия в чистой, перегнанной азотной кислоте. Полученный раствор, в котором не удалось обнаружить железа, имел титр  $T_{\text{Pd}} = 0,00473$  г/мл. Раствор  $\text{H}_2[\text{PtCl}_6]$  был приготовлен так: платиновая проволока растворена в царской водке, образовавшийся раствор выпарен, остаток разбавлен дистиллированной водой и отфильтрован от нерастворившейся примеси. В фильтрат был добавлен спирт и крепкий раствор  $\text{NH}_4\text{Cl}$ . Выпавший  $(\text{NH}_4)_2[\text{PtCl}_6]$  отфильтрован и прокален в фарфоровой чашке. С полученной платиной была повторена вышеописанная операция. Наконец, дважды очищенная платина была растворена в царской водке и после выпаривания раствора с избытком  $\text{HCl}$  получена  $\text{H}_2[\text{PtCl}_6]$ . Титр приготовленного раствора был  $T_{\text{Pt}} = 0,005$  г/мл.

Кроме чистых  $\text{Pd}$  и  $\text{Pt}$ , а также совместно осажденных  $\text{Pd} + \text{Pt}$  катализаторов, в некоторых случаях изучались механические  $\text{Pd} + \text{Pt}$  смеси. Для изучения активности  $\text{Pd} + \text{Pt}$  катализаторов каждый раз брались одинаковые весовые количества их 0,0756 г. Эти катализаторы содержали  $\text{Pd}$  и  $\text{Pt}$  в соотношениях 1 : 10; 1 : 6; 1 : 3; 1 : 2; 1 : 1; 2 : 1; 6 : 1; 10 : %. Активность этих образцов катализаторов, как и чистых  $\text{Pd}$ ,  $\text{Pt}$  катализаторов (независимо от взятых количеств  $\text{Pd}$  или  $\text{Pt}$ ), изучалась при одинаковых условиях гидрирования бензола: 200°С,  $\text{H}_2 : \text{C}_6\text{H}_6 = 4 : 1$ , скорости подачи водорода  $v_{\text{H}_2} = 1,5$  л/час при общем давлении  $\text{H}_2$  и паров  $\text{C}_6\text{H}_6 + \text{C}_6\text{H}_{12}$ , равном 680 мм рт. ст. За меру активности принимали процент гидрирования бензола при установившейся активности катализатора. Для характеристики изменения активности катализатора

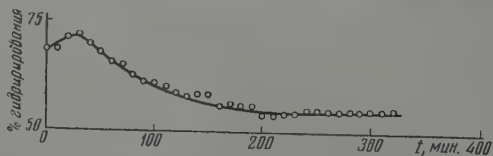


Рис. 1. Изменение активности  $\text{Pd} : \text{Pt} = 2 : 1$  катализатора во времени

во время испытания на рис. 1 приводятся результаты изучения катализатора с соотношением  $\text{Pd} : \text{Pt} = 2 : 1$ . Прежде всего была изучена при указанных выше условиях зависимость процента гидрирования бензола от количества чистого палладия и отдельно платины. Соответствующие данные приведены на рис. 2.

Результаты изучения зависимости активности от состава  $\text{Pd} + \text{Pt}$  катализаторов (при одинаковых весовых количествах катализаторов, но

изменяющихся отношениях Pd : Pt) приведены в виде кривой 1 на рис. 3. По мере увеличения содержания Pt в Pd + Pt катализаторах, т. е. уменьшения отношения Pd : Pt, активность катализаторов уменьшается и при соотношении Pd : Pt = 1 : 1 — 1 : 2 достигает минимума, затем вновь возрастает. При этом ни при одном соотношении Pd : Pt активность катализатора не приближается к нулю.

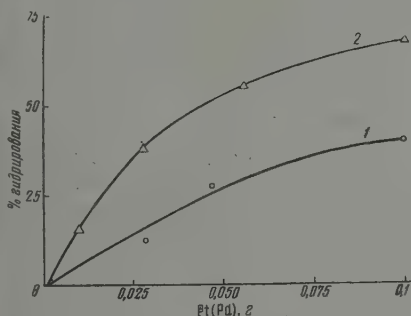


Рис. 2

Рис. 2. Зависимость процента гидрирования бензола от количества чистого палладия и чистой платины

Рис. 3. Зависимость активности Pd + Pt катализаторов от их состава: 1 — кривая активности совместно осажденных Pd + Pt катализаторов; 2 — кривая аддитивной активности

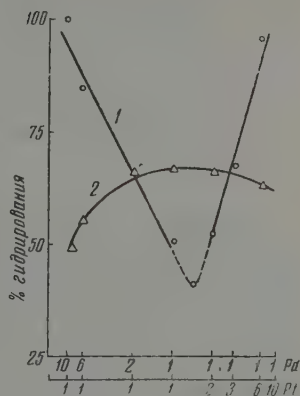


Рис. 3

На рис. 3 (кривая 2) приведены изменения аддитивной активности названных катализаторов с изменением соотношения Pd : Pt. Аддитивная активность представляет собой сумму активностей таких количеств палладия и платины, которые содержатся в данном образце совместно осажденного катализатора. Для определения аддитивной активности пользовались данными, приведенными на рис. 2.

Из сопоставления кривых 1 и 2 рис. 3 видно, что при небольших содержаниях Pt в Pd, а именно при отношениях Pd : Pt > 2 : 1, происхо-

Таблица 1

№ ката- лизатора	Pd		Pt		Аддитивн. ак- тивн. % гид- риров.	Активность при совместн. осажд., % ги- дриров.
	г-атомы	% гидриров.	г-атомы	% гидриров.		
6	0,000599	32,0	0,000060	17,5	49,5	100*
8	0,000544	30,0	0,000090	26,0	56,0	85
9	0,000060	3,5	0,000355	60,0	63,5	96,6
7	0,000037	2,0	0,000367	63,0	63,0	100*

\* Действительная активность, вероятно, выше, но в данном случае не могла быть обнаружена, так как процент гидрирования достиг 100.

дит взаимное активирование этих катализаторов. То же самое имеет место при небольших содержаниях Pd в Pt, именно при Pd : Pt < 1 : 3. Это нагляднее видно из данных табл. 1.

Следует заметить, что аддитивная активность, определенная вышеуказанным способом, довольно близка к активности механически сме-



шанных Pd + Pt катализаторов, взятых в тех же количествах и тех же соотношениях Pd : Pt и испытанных в одинаковых условиях. Некоторые примеры приведены в табл. 2.

Таблица 2

№ катализатора	Pd : Pt	Аддитивная активность, % гидрирования	Активность катализат. в виде мех. смеси, % гидрирования
1	1:1	67,0	69,0
3	1:2	66,0	66,0
5	1:3	65,5	69,0

### Обсуждение результатов

В данной работе изучены Pd + Pt совместно осажденные катализаторы без носителей на примере гидрирования бензола. Известно, что по мере увеличения в Pd водорода, Ag, Cu и Au магнитная восприимчивость палладия уменьшается и при содержании 35—40 ат. % водорода в Pd — H твердом растворе [18] и 53—55 ат. % Ag и Cu [3] и Au [4] в твердых растворах с палладием достигает нуля. Катализ несомненно связан с электронным взаимодействием реагирующих веществ с катализатором. Там, где это взаимодействие невозможно, не должен происходить и катализ. Уменьшение и исчезновение парамагнетизма Pd при растворении в нем H, Ag, Cu и Au объясняется спариванием *s*-электронов этих элементов с *s* — *d*-электронами палладия [13, стр. 276]. Уменьшение магнитной восприимчивости наблюдается и при растворении Pt в Pd. Однако полного уничтожения парамагнетизма у этих сплавов не происходит. Следует указать, что, в то время как H, Ag, Cu и Au являются диамагнитными, Pd и Pt являются парамагнитными элементами.

Ранее было установлено, что водород, растворяясь в Pd, способен уменьшать и совершенно лишить Pd каталитической активности в отношении гидрирования бензола [19]. То же самое имеет место в случае введения Ag и Cu в Pd. При этом каталитическая активность Pd в отношении гидрирования бензола, по мере увеличения в Pd содержания Ag и Cu, уменьшаясь, достигает нуля при содержании Ag или Cu в пределах 65—70 ат. %, т. е. близких к тем, при которых уничтожается также парамагнетизм палладия (53—55 ат. %).

Изученные в настоящей работе Pd + Pt катализаторы, состав которых изменялся в широком пределе отношений Pd : Pt от 10 : 1 до 1 : 10, ни при одном соотношении Pd : Pt не оказались каталитически неактивными в отношении гидрирования бензола. Вместе с тем и парамагнетизм этих систем ни при одном соотношении Pd : Pt не достигает нуля, а наименьшее значение парамагнетизма, которое устанавливается у Pd + Pt твердых растворов, начиная от содержания 65—70 ат. % Pt и до 100% Pt, представляет еще значительную величину.

Вопреки всему этому, введение Au в Pd не снижает каталитическую активность Pd в отношении гидрирования бензола [5]. Это обстоятельство кажется противоречивым с действием водорода, Ag и Cu на каталитическую активность Pd в отношении той же реакции гидрирования бензола. Действие Au на каталитическую активность Pd в отношении названной реакции нами изучается дополнительно, однако уже теперь можно высказать следующее предположение об отмеченном противоречии. При введении в Pd водорода, Ag и Cu электроны последних заполняют свободные *s* — *d*-электронные уровни палладия, сопровождающиеся спариванием спинов. Вследствие этого парамагнетизм палладия уменьшается и при полном заполнении свободных *s* — *d* уровней палладия сводится к нулю. При полном спаривании всех электронных спинов электронное взаимо-

действие катализатора с реагирующими веществами прекращается, и катализатор теряет свою активность, что наблюдается в случае введения водорода, Ag и Cu в Pd. Однако спарившиеся электронные спины при поглощении достаточного количества энергии могут быть возбуждены и распарены, что особенно легко будет происходить, если это требует небольшого возбуждения. Возможно с таким явлением мы встречаемся при введении Au в Pd. При введении Au в Pd магнитная восприимчивость палладия уменьшается и при определенном содержании Au становится равной нулю. Это говорит о спаривании электронных спинов. Однако при этом каталитическая активность палладия не уменьшается. Возможно, это происходит вследствие возбуждения и распаривания электронных спинов за счет теплоты реакции. Все это, в свою очередь, должно означать, что при различных реакциях данная примесь в основном каталитическом веществе будет вести себя различно.

Следует также, что минимумом каталитической активности обладают  $\text{Pd} + \text{Pt}$  катализаторы с небольшим отношением  $\text{Pd} : \text{Pt}$ , лежащим в пределах  $1 : 1 - 1 : 2$  (см. кривую 1 рис. 3). В наших опытах мы определяли активность одинаковых весовых количеств  $\text{Pd} + \text{Pt}$  смешанных катализаторов, имеющих переменный состав. Возможно, это — не безупречная методика в данном случае. Но если бы мы брали одинаковое число атомов  $\text{Pd} + \text{Pt}$  катализаторов и, следовательно, переменное весовое количество их (что имеет свои минусы), все же из сопоставления зависимости процента гидрирования от весового количества катализатора вытекает, что мы имели бы минимум активности в той же области соотношений  $\text{Pd} : \text{Pt}$ . Такое соотношение  $\text{Pd} : \text{Pt}$ , при котором каталитическая активность делается минимальной, лежит в области, в которой магнитная восприимчивость  $\text{Pd} + \text{Pt}$  сплавов также приобретает минимальное значение. Нам кажется, что это не является случайным.

### Выводы

1. На примере гидрирования бензола изучены активности совместно осажденных, сложных  $\text{Pd} + \text{Pt}$  катализаторов, компоненты которых являются каталитически активными в отношении названной реакции. Соотношение  $\text{Pd} : \text{Pt}$  в этих катализаторах изменялось в широких пределах, от  $1 : 10$  до  $10 : 1$ .

2. Установлено, что при постепенном увеличении Pt в катализаторе, т. е. уменьшении отношения  $\text{Pd} : \text{Pt}$ , каталитическая активность, уменьшаясь, достигает минимума и затем вновь возрастает.

3. Найдено, что при небольших содержаниях Pt в Pd и Pd в Pt активности катализаторов оказываются больше аддитивной активности их составных частей, т. е. в этих случаях имеет место взаимное активирование Pd и Pt.

4. Обнаружено, что ни при одном соотношении  $\text{Pd} : \text{Pt}$  каталитическая активность этих систем не становится равной нулю. Возможно это имеет определенную связь с тем, что при введении Pt в Pd магнитная восприимчивость уменьшается, но ни при одном соотношении  $\text{Pd} : \text{Pt}$  не достигает нуля.

5. Отмечено, что минимумом каталитической активности обладает  $\text{Pd} : \text{Pt}$  катализатор с небольшим отношением  $\text{Pd} : \text{Pt}$ , лежащим в области от  $1 : 1$  до  $1 : 2$ , и что минимальную магнитную восприимчивость преобретают сплавы, начиная примерно с тех же соотношений.

6. Показано, что имеется определенное соответствие между действием водорода, Ag и Cu при введении их в Pd на магнитные и каталитические свойства. При введении водорода, Ag и Cu в Pd уничтожается как парамагнетизм палладия, так и его каталитическая активность в отношении гидрирования бензола. Введение Pt в Pd не приводит к полному уничтожению ни парамагнетизма, ни каталитической активности (в отношении гидрирования бензола) этих систем.

7. Отмечено, что хотя при введении Au в Pd парамагнетизм палладия также уничтожается, однако Au на каталитическую активность Pd существенно не влияет. Возможно это несоответствие (по сравнению с симбатным действием водорода, Ag и Cu на магнитные и каталитические свойства Pd) объясняется образованием в ходе каталитической реакции неспаренных электронов.

Ереванский политехнический  
институт им. К. Маркса

Поступила  
31.VII.1957

#### ЛИТЕРАТУРА

1. А. А. Алчуджан и Е. Т. Кристостурян, Сб. науч. тр. Ереванск. политехн. ин-та. Сер. хим.-технол., вып. 16, 137, 1957.
2. Е. Т. Кристостурян, Кандидатская диссертация, Ереван, 1954.
3. А. А. Алчуджан и Е. Т. Кристостурян, Изв. АН АрмССР. Сер. хим., т. X, № 5, 333, 1957.
4. B. Svensson, Ann. Physik, 14, 699, 1932.
5. E. Vogt, Z. Elektrochem., 37, 460, 1931.
6. В. А. Немилов, Т. А. Видусов, А. А. Рудницкий и М. М. Пудыкина, Изв. Сектора платины ИОНХ АН СССР, вып. 20, 221, 1947.
7. W. Geibel, Z. anorgan. Chem., 70, 242, 1911.
8. F. Schulze, Phys. Z., 12, 1028, 1911.
9. J. Van Leimpt, Recueil trav. chim. Pays-Bas, 45, 203, 1926.
10. А. И. Стеценко и И. Л. Твердовский, Ж. физ. химии, 26, 648, 1952.
11. A. S. Sieverts, E. Jurisch u. A. Metz, Z. anorgan. Chem., 92, 329, 1915.
12. E. Vogt, Ann. Physik, 5, 1, 1932.
13. Я. Г. Дорфман, Магнитные свойства и строение вещества, ГИТТЛ, Москва, 1955, стр. 274—275.
14. А. А. Введенский, Бюллетень ГИВД, № 4, 1933.
15. В. Р. Жаркова, А. В. Фрост, Ж. общ. химии, 2, 534, 1932.
16. А. А. Алчуджан и А. В. Фрост, Ж. физ. химии, 26, 1007, 1952.
17. Loew, Ber., 23, 289, 1890.
18. Biggs, Philos. Mag., 32, 131, 1916; B. Svensson, Ann. Physik, 18, 299, 1933; A. Sieverts u. W. Danz, Z. phys. Chem. B 38, 61, 1937.
19. А. А. Алчуджан и А. В. Фрост, Ж. физ. химии, 26, 1007, 1015, 1952; А. А. Алчуджан, Ж. физ. химии, 26, 1591, 1600, 1730, 1952.

#### CATALYTIC PROPERTIES OF THE SYSTEM Pd+Pt

*A. A. Alchudzhyan and M. A. Indzhikyan (Yerevan)*

#### Summary

Coprecipitated Pd + Pt catalysts have been studied with respect to the hydrogenation of benzene, as example. It has been shown that as the Pd : Pt ratio falls the catalytic activity diminishes, attaining a minimum after which it again increases. Minimum catalytic activity lies in the region of Pd : Pt values between 1:1 and 1:2. It has been observed that just as with addition of Pt to Pd the paramagnetism of the solid Pd + Pt solutions decreases, but does not reach zero; the catalytic activity also does not become zero, whatever the value of Pd : Pt. Least catalytic activity and lowest paramagnetism are exhibited in the same region of Pd : Pt values.



## О ЗАВИСИМОСТИ РАБОЧЕЙ ЕМКОСТИ ХРОМАТОГРАФИЧЕСКОЙ КОЛОНКИ ОКИСИ АЛЮМИНИЯ ОТ СОДЕРЖАНИЯ ПРИМЕСЕЙ В ОЧИЩАЕМОЙ НА КОЛОНКЕ СОЛИ

А. М. Гурвич

Одним из важных показателей эффективности хроматографического разделения катионов является рабочая емкость колонки, под которой — для случая разделения двух катионов путем фильтрации раствора через колонку — мы будем понимать количество обладающего большей сорбируемостью катиона (в мг-экв на 1 г сорбента), которое может быть с заданной степенью полноты отделено от второго катиона.

В условиях конкуренции между двумя адсорбируемыми ионами рабочая емкость колонки, зависит не только от размеров поверхности сорбента, содержания в нем способных к обмену групп и от режима работы колонки, но и от исходных концентраций разделяемых ионов. Этот последний фактор играет особенно существенную роль при отделении больших количеств одного катиона от малых примесей другого, даже в тех случаях, когда разница в сорбируемости между ними весьма велика.

Закономерности изменения рабочей емкости в таких условиях мы изучали на примере отделения меди от сульфата кадмия на колонках  $Al_2O_3$  «для хроматографии», происходящего с такой полнотой, что медь в фильтрате колориметрическими методами анализа с предельной чувствительностью  $\sim 1 \cdot 10^{-9}$  г Cu/мл не обнаруживается [1]. Последнее обстоятельство позволило использовать данный метод в препаративной химии люминофоров для получения ультрачистых препаратов CdS [1, 2].

### Экспериментальная часть

Исследование проводилось на колонках  $Al_2O_3$  «для хроматографии» высотой  $\sim 70$  мм. Колонки готовились в сухом виде [3], а затем пропитывались дистиллированной водой. Исходный раствор содержал 135 г/л  $CdSO_4$ . Концентрация меди с изменялась в пределах 0,02—0,0005 мг-экв/мл. Чтобы предотвратить осаждение основных солей меди еще до попадания раствора в колонку, pH его доводился подкислением до 3,4. Раствор профильтровывался через колонку без принудительного давления. Фильтрат собирался порциями по 2 мл и анализировался качественно на содержание меди аммиаком или — при малых концентрациях меди — способом, основанным на каталитическом ускорении ионом  $Cu^{2+}$  реакции окисления перекисью водорода фенолфталина в фенолфталеин [4]. Вследствие того что концентрация меди в фильтрате нарастает при проскаке очень резко, проскаки меди фиксируется почти одновременно обоими способами, несмотря на их различную чувствительность. Определение момента проскака облегчается тем, что медь даже при концентрации ее 0,00005 г-экв/мл дает на колонке хотя и бледную, но все же заметную голубую зону.

Найденные значения рабочей емкости  $E$  колонок довольно хорошо описываются уравнением:

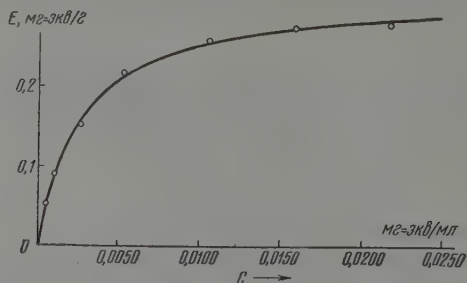
$$E = E_{\infty} - \alpha \frac{E}{c}, \quad (1)$$

являющимся преобразованным уравнением Лэнгмюра. По найденным отсюда графическим способом значениям  $E_{\infty}$  и  $\alpha$  построена кривая

$$E = \frac{0,315 c}{0,00255 + c}, \quad (2)$$

показанная на рисунке. Экспериментальные точки удовлетворительно укладываются на эту кривую.

Во второй серии опытов, проводившихся на другом образце окиси алюминия «для хроматографии» в условиях, незначительно отличавшихся



Зависимость рабочей емкости колонки окиси алюминия от концентрации меди в исходном растворе при очистке  $\text{CdSO}_4$  от  $\text{Cu}$

от описанных выше, при варьировании концентрации меди в пределах 0,02—0,00005 г-экв/мл, были получены данные, которые также укладываются на кривую Лэнгмюровского типа ( $E_\infty = 0,304$ ;  $\alpha = 0,00282$ ).

### Обсуждение результатов

Учитывая малую скорость фильтрации раствора через колонку, быстроту достижения «первого стационарного равновесия» [5] сорбции катионов на  $\text{Al}_2\text{O}_3$  и большое различие в сорбируемости ионов меди и кадмия, проявляющееся как в полноте их разделения, так и в резкости проскока  $\text{Cu}^{2+}$ , примем, что так называемая «область градиента» [6] пренебрежимо мала и что в отработанном слое колонки достигнута стационарная концентрация сорбированных ионов. В таком случае концентрация сорбированной меди будет связана с концентрацией  $\text{Cu}^{2+}$  в растворе, находящемся в порах сорбента и в промежутках между его зернами, зависимостью вида (2), причем входящее в это уравнение значение концентрации меди не будет отличаться от исходного.

Таким образом подчинение адсорбции катионов и их смесей на окиси алюминия уравнению Лэнгмюра может служить причиной найденной зависимости рабочей емкости колонки  $\text{Al}_2\text{O}_3$  при разделении кадмия и меди от концентрации последней (ср. [7, 8]). Действительно, как указывалось в литературе [9], изотерма адсорбции катионов из их смесей на окиси алюминия довольно хорошо описывается уравнением Лэнгмюра.

Однако при малых концентрациях меди нельзя пренебречь наличием в растворе некоторого количества кислоты. Простой учет факта вытеснения меди  $\text{H}^+$ -ионами при их постоянной концентрации в растворе приводит к уравнению типа (2) даже в предположении независимости концентрации меди в ее зоне от концентрации  $\text{CuSO}_4$  в растворе. О том, что такое вытеснение действительно имеет место, свидетельствует образование в верхней части колонки светлой, почти белой зоны.

Тот факт, что и при более высоком pH раствора (до 6,0) в области малых концентраций меди наблюдается приблизительно линейная зависимость между рабочей емкостью колонок и концентрацией  $\text{Cu}^{2+}$ , показывает, что качественно зависимость  $E$  от  $c$  остается той же самой и при отсутствии сколько-нибудь значительных количеств кислоты.

Скорее всего зависимость (2), найденная в описанной серии опытов, обусловлена совокупным влиянием конкурирующей адсорбции большого

избытка относительно слабо сорбирующейся соли ( $\text{CdSO}_4$ ) и небольшого количества сильно сорбирующейся кислоты.

Из уравнения (2) вытекает следующее практически важное следствие. При малых значениях концентрации меди — порядка сотых долей мг-экв/мл, т. е.  $\sim 1 \cdot 10^{-3} \%$  Cu в пересчете на  $\text{CdSO}_4$ , и менее — можно пренебречь величиной  $c$  в знаменателе правой части уравнения (2). В результате получим

$$\frac{E}{c} = \text{const.} \quad (3)$$

В то же время имеем

$$Vc = Em, \quad (4)$$

где  $V$  — объем очищенного — до проскока меди — раствора;  $m$  — количество  $\text{Al}_2\text{O}_3$  в колонке. Отсюда

$$\frac{V}{m} = \frac{E}{c} = \text{const.}, \quad (5)$$

т. е. объем раствора, который может быть очищен от меди на 1 г сорбента, не зависит от концентрации меди в исходном растворе, если эта концентрация не превышает нормы, предусмотренной для сернокислого кадмия квалификации «х. ч.» [10]. В условиях описанной серии опытов  $V/m = 0,315, 0,00255 = 123 \text{ мл/г}$ ; следовательно, на 1 г  $\text{Al}_2\text{O}_3$  «для хроматографии» можно очистить от меди  $\sim 20,5 \text{ г CdSO}_4 \cdot \frac{8}{3} \text{ H}_2\text{O}$ .

Качественно аналогичную зависимость рабочей емкости колонки от содержания примесей в очищаемом растворе соли мы наблюдали при отделении меди от сульфата цинка на колонке из смеси окиси алюминия с окисью цинка [1, 11]. Существование такой зависимости весьма благоприятно для практической работы, так как содержание примесей в различных партиях очищаемой соли, оставаясь в пределах нормы, может отличаться в десятки раз.

Конкурирующая адсорбция большого избытка более слабо сорбирующегося катиона, приводящая к уменьшению угла наклона касательной к кривой  $E(c)$  в начале координат к оси абсцисс, имеет существенное значение и в аналитической химии, определяя предел чувствительности хроматографических методов открытия катионов в присутствии большого избытка посторонних солей.

### Выводы

1. Установлено, что зависимость рабочей емкости колонки  $\text{Al}_2\text{O}_3$  от концентрации меди в растворе при постоянной концентрации сульфата кадмия удовлетворительно описывается уравнением лэнгмюровского типа.

2. В области малых концентраций меди объем раствора сернокислого кадмия, который может быть очищен от меди на 1 г сорбента, не зависит от концентрации меди в исходном растворе.

Министерство здравоохранения РСФСР  
Научно-исследовательский институт  
рентгенологии и радиологии

Поступила  
17.VIII.1957

### ЛИТЕРАТУРА

1. А. М. Гурвич, Т. Б. Гапон, М. С. Рабинович, Хим. пром-сть, № 1, 31, 1956.
2. А. М. Гурвич, Т. Б. Гапон, М. С. Рабинович, Материалы 5-го совещания по люминесценции, Тарту, 1957, стр. 363.
3. Т. Б. Гапон, Е. Н. Гапон, Ж. аналит. химии, 3, 203, 1948.



4. А. В. Москвин, Католюминесценция, ч. II, Гостехтеоретиздат, 1949, стр. 230.
5. Н. А. Шилов, Л. К. Лепинь, Вестн. Ломоносовского физико-химического общества в Москве, 1, вып. 1, 19, 1919.
6. Н. А. Шилов, Л. К. Лепинь, С. А. Вознесенский, ЖРХО, 61, 1107, 1929.
7. С. Классон, Адсорбционный анализ смесей, Госхимиздат, 1950, стр. 62.
8. С. Классон, Сборник «Хроматография», ИИЛ, 1949, стр. 53.
9. F. Umland, W. Fischer, Naturwissenschaften, 40, 439, 1953.
10. Ю. В. Карякин, Чистые химические реактивы.
11. Т. Б. Гапон, А. М. Гурвич, А. А. Метцлер, М. С. Рабинович, В. В. Струков, Л. А. Усатова, Авторское свидет. 101183, 29 сентября 1953 г.

DEPENDENCE OF THE WORKING CAPACITY OF THE ALUMINA  
CHROMATOGRAPHIC COLUMN ON THE IMPURITY CONTENT OF THE SALT  
UNDERGOING PURIFICATION IN THE COLUMN

*A. M. Gurvich (Moscow)*

S u m m a r y:

The relations between the changes in the working capacity of the alumina column and the content of impurities in the salt undergoing purification have been studied on the example of the separation of copper from cadmium sulfate.

It has been found that the working capacity of the  $Al_2O_3$  column as a function of the copper concentration in the solution at constant cadmium sulfate concentration is satisfactorily described by an equation of the Langmuir type.

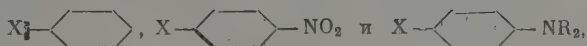
The possible reasons for the existence of such a correlation have been examined. A consequence of this relation is that in the region of small concentrations of impurities the volume of the salt solution per gram of sorbent, capable of being purified chromatographically, is independent of the initial concentration of the impurity.

## ВЗАИМНОЕ ВЛИЯНИЕ ЗАМЕСТИТЕЛЕЙ В МОЛЕКУЛАХ *n*-ДИПРОИЗВОДНЫХ БЕНЗОЛА

П. П. Шорыгин

В некоторых дипроизводных бензола заместители влияют на свойства молекулы почти независимо. Однако большей частью аддитивности их влияния не наблюдается. Попытки описать химические и физические свойства дипроизводных бензола при помощи независимых констант или инкрементов, характеризующих заместители (ср., например, данные для спектров поглощения в работе [1]), фактически не привели к удовлетворительным результатам. Отклонения от аддитивности проявляются в дипольных моментах, в энергии образования молекулы, оптических и других свойствах (см., например, [2]), причем у *n*-производных эти отклонения выражены более резко, чем у *m*-производных.

Для того чтобы получить представление об особенностях в свойствах ароматических соединений, в которых имеются одновременно два заместителя, мы сопоставим в таблице результаты исследования трех типов соединений:



с различными заместителями X. В таблице использованы усредненные литературные данные для дипольных моментов и спектров и данные наших измерений, приведенные в статьях [3, 5], а также данные [4].

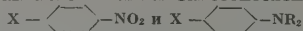
Таблица показывает, как влияют группы NO<sub>2</sub> и NR<sub>2</sub> на частоты колебаний в группах X (о влиянии X на частоты NO<sub>2</sub> и другие см. в табл. 2 в статье [5]) и как влияет группа X на спектры поглощения и дипольные моменты нитросоединений и диметиланилина.

Для сравнений с химическими свойствами здесь представляли бы большой интерес данные о влиянии заместителей X на реакционную способность нитросоединений и диметиланилинов; к сожалению, такие данные очень немногочисленны, и мы вынуждены были ограничиться сведениями о других соединениях, в которых реагирующие группы по электроотрицательности имеют сходство с NO<sub>2</sub> или, соответственно, с NR<sub>2</sub>.

Значения Δμ (таблица) характеризуют расхождения между наблюдаемыми дипольными моментами μ и данными расчета по схеме векторной аддитивности моментов отдельных групп, входящих в состав молекулы, т. е. дополнительное смещение электронов (в направлении от X к бензольному кольцу), вызванное взаимным влиянием атомных групп.

Для удобства рассмотрения все заместители X в таблице разделены на четыре группы. В двух последних группах — заместители с явно выраженными электроположительными (III группа) и электроотрицательными (IV группа) свойствами.

## Признаки взаимного влияния заместителей в молекулах



X	$\Delta\mu$			$\Delta\lambda_1$ при введении X			$\Delta\omega_X$			$\sigma$ пара	
	$\text{AlkX} \rightarrow \text{PhX}$	$\text{X} \cdot \text{C}_6\text{H}_4 \cdot \text{NO}_2$	$\text{X} \cdot \text{C}_6\text{H}_4 \cdot \text{NR}_2$	$\text{C}_6\text{H}_6$	$\text{PhNO}_2$	$\text{PhNR}_2$	$\text{AlkX} \rightarrow \text{PhX}$	$\text{PhX} \rightarrow \text{O}_2\text{N} \cdot \text{C}_6\text{H}_4 \cdot \text{X}$	$\text{PhX} \rightarrow \text{R}_2\text{N} \cdot \text{C}_6\text{H}_4 \cdot \text{X}$	$\text{X} \cdot \text{C}_6\text{H}_4 \cdot \text{COOH}$	$\text{X} \cdot \text{C}_6\text{H}_4 \cdot \text{OH}$
H	0	0	0	0	0	0	0	0	0	0	0
F	0,2	0,1	0,2	0	6	-3	—	—	—	0,05	0
Cl	0,2	0,15	-0,3	13	16	8	—	—	—	0,2	0,2
Br	0,2	0,15	-0,4	13	19	8	—	—	—	0,2	0,2
I	0,2	0,40	-0,45	29	36	14	—	—	—	0,3	0,3
C = C	0,1	0,35	-0,45	43	39	45 <sup>B</sup>	-10	—	—	—	—
C <sub>6</sub> H <sub>5</sub>	0,3 <sup>a</sup>	0,3	-0,45	45	43	45 <sup>B</sup>	—	—	—	0	0,15
R	0,35	0,1	0	3	12	3	—	—	—	-0,15	-0,15
CR <sub>3</sub>	0,5	0,1	—	4	13	—	—	—	—	-0,2	-0,1
OH	0,7	0,7	—	11	33	—	-38	-16	7 <sup>B</sup>	-0,35	-0,15
OR	0,9	0,4	-0,1 <sup>б</sup>	8	40	-5 <sup>г</sup>	—	—	—	-0,3	-0,15
SH	0,5	—	—	34	53	—	-40 <sup>B</sup>	—	—	0,1	—
SR	0,5	0,6	—	53	74	8 <sup>B</sup>	—	—	—	0	0,1
SeR	0,4	0,6	—	47	—	—	—	—	—	—	—
NH <sub>2</sub>	0,9	1,0	—	30	67	0 <sup>г</sup>	90 <sup>B</sup>	25	-12	-0,7	-0,15
NR <sub>2</sub>	1,5	1,4	-0,1 <sup>б</sup>	48	101	10	—	—	—	-0,8	-0,15
CH <sub>2</sub> Cl	-0,3	0,1	—	15	6	—	—	—	—	0,2	—
CCl <sub>3</sub>	-0,55	—	-0,5 <sup>B</sup>	22	3	—	—	—	—	0,4	0,5
SO <sub>2</sub> R	-0,4	—	-0,85	14	-5	24	16	3	-17	0,6	1,0
CN	-0,4	—	-1,2	23	0 <sup>г</sup>	30	-23	6	-15	0,6	1,0
COOR	-0,2	—	-0,9	27	2	50	-24	4	-15	0,5	0,65
COR	-0,5	—	-1,0	36	7	65	-29	9	-22	0,4	0,9
CHO	-0,55	0,1 <sup>б</sup>	-1,4	40	6	75	-23	7	-27	0,4	1,1
NO <sub>2</sub>	-0,9	—	-1,5	50	3	103	-34	9	-29	0,7	1,2
NO	-0,8	—	-2,2	78	18 <sup>г</sup>	138	—	—	-28 <sup>д</sup>	—	~1,5

Примечание к таблице: а)  $\Delta\mu = 0,3$  для бездипольной молекулы дифенила получается в результате расчета по стандартному методу — сравнением  $\mu$  MeX и PhX; если сравнивать моменты HX и PhX должен, конечно, получиться нуль; б)  $\Delta\mu = 0,1$  для X = CHO должно означать, что в молекуле OCH- $\langle \text{---} \rangle$ -NO<sub>2</sub> группа CHO несколько менее полярна, чем в PhCHO. Однако точность определения  $\Delta\mu$  недостаточна для того, чтобы можно было считать это установленным, тем более что дипольный момент всей молекулы зависит не только от одной группы. Аналогичное можно сказать про все другие цифры, отмеченные буквой б; в) по приблизительной оценке по данным для сходных соединений; г) по приблизительной оценке для гептановых растворов, сделанной на основании литературных данных для спиртовых растворов; д) отнесение линии к группе N = O не вполне достоверно.

В формулах атомы водорода при углероде опущены; R — метильная группа; SO<sub>2</sub> — сульфонная группа.  $\Delta\mu$  — во втором столбце таблицы — разность векторов  $\mu(\text{AlkX}$  (метил- и этилпроизводных) и PhX;  $\Delta\mu$  — в третьем столбце — разность между наблюдаемым моментом  $\mu = \text{X} - \text{C}_6\text{H}_4 - \text{NO}_2$  и векторной суммой моментов  $\text{X} - \text{C}_6\text{H}_4$  и  $\text{C}_6\text{H}_4 - \text{NO}_2$ ;  $\Delta\mu$  в четвертом столбце — разность между моментом  $\mu = \text{X} - \text{C}_6\text{H}_4 - \text{NR}_2$  и векторной суммой моментов  $\text{X} - \text{C}_6\text{H}_4$  и  $\text{C}_6\text{H}_4 - \text{NR}_2$ . Знак «минус» означает, что вектор  $\Delta\mu$  направлен от бензольного кольца в сторону X. В действительности направление этого вектора у несимметричных молекул может заметно отклоняться от оси симметрии бензольного кольца C<sub>1</sub>...C<sub>6</sub>, поэтому знак  $\Delta\mu$  в таблице имеет условное значение.  $\Delta\lambda$  (в пд) по данным для растворов в гептане) показывают, насколько смещается полюс поглощения бензола (202 пд), нитробензола (252 пд) и диметиланилина (250 пд) при введении заместителя X в пара-положение. Точность  $\Delta\lambda$  около  $\pm 2$  пд.

$\Delta\omega_X$  — изменения частоты колебаний атомов в группе X (валентное колебание C = C, O = N, S — H, NH<sub>2</sub>, SO<sub>2</sub>, C  $\equiv$  N, C = O, NO<sub>2</sub>, N = O при переходе от алифатических соединений AlkX к ароматическим PhX, от PhX к O<sub>2</sub>N- $\langle \text{---} \rangle$ -X и от PhX к R<sub>2</sub>N- $\langle \text{---} \rangle$ -X. Для разветвленных групп (NH<sub>2</sub>, SO<sub>2</sub>, NO<sub>2</sub>) имеется в виду симметричное колебание. Данные относятся к разбавленным растворам в CCl<sub>4</sub> или бензоле.

В двух последних столбцах даны значения констант Хаммета  $\sigma$  пара, определенных преимущественно по константам диссоциации бензойных кислот и некоторым реакциям других электроотрицательных групп (предпоследний столбец) и по константам диссоциации фенолов (последний столбец); эти данные заимствованы из литературы [6] и других.



Отклонения от аддитивности в дипольных моментах  $\text{PhX}$  имеют несомненную связь с различиями в электронной плотности у атомов, лежащих в пара-положении. Следует отметить, что «химический сдвиг»  $\delta$ , соответствующий атомам водорода в пара-положении в спектрах протонного магнитного резонанса [7], дает приблизительно такую же последовательность заместителей  $X$ , как и  $\Delta\mu_{\text{PhX}}$  (рис. 1).

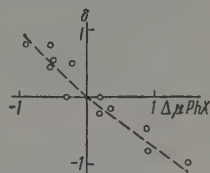


Рис. 1

Судя по данным для дипольных моментов, смещение электронов от электроположительной группы  $X$  в направлении к бензольному кольцу в молекулах  $n\text{-XC}_6\text{H}_4\text{NO}_2$  значительно больше, а у  $n\text{-XC}_6\text{H}_4\text{NR}_2$  — меньше, чем в молекулах  $\text{C}_6\text{H}_5\text{X}$ . Можно сказать, что группа  $\text{—C}_6\text{H}_4\text{—NO}_2$  имеет более сильно выраженные электроакцепторные свойства, чем  $\text{—C}_6\text{H}_5$ , а группа  $\text{—C}_6\text{H}_4\text{—NR}_2$  — наоборот. Различия в электронодонорной способности заместителей  $X$  проявляются в моментах молекул  $n\text{-XC}_6\text{H}_4\text{NO}_2$  более рельефно, чем в моментах  $\text{C}_6\text{H}_5\text{X}$ , а в молекулах  $n\text{-XC}_6\text{H}_4\text{NR}_2$  их уловить уже труднее. Различия в электроакцепторной способности электроотрицательных групп, напротив, более ярко проявляются в моментах  $n\text{-XC}_6\text{H}_4\text{NR}_2$ , слабее в моментах  $\text{C}_6\text{H}_5\text{X}$  и еще слабее в моментах  $n\text{-XC}_6\text{H}_4\text{NO}_2$ .

Рис. 2 дает некоторое ориентировочное представление о том, какая существует связь между аномалиями в дипольных моментах соединений  $n\text{-XC}_6\text{H}_4\text{NO}_2$  и  $n\text{-XC}_6\text{H}_4\text{NR}_2$  и аномалиями в моментах  $\text{C}_6\text{H}_5\text{X}$  (на рис. 2 нанесены на оси абсцисс).

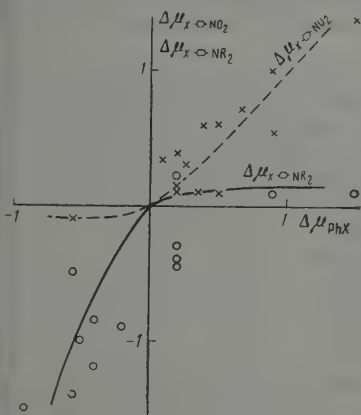


Рис. 2

Можно было ожидать, что чем больше  $\Delta\mu$  у молекул  $\text{PhX}$  с электроположительными  $X$ , тем больше  $\Delta\mu$  у молекул  $n\text{-XC}_6\text{H}_4\text{NO}_2$ . В действительности наблюдается довольно большой разброс точек (рис. 2) и можно говорить лишь о некоторой тенденции к этому. Причина отчасти лежит в том, что из-за неточности сведений о направлениях векторов  $\mu$  отдельных групп значения  $\Delta\mu$  определены гораздо менее точно, чем  $\mu$ ; точность  $\Delta\mu$  для молекул с несимметричными заместителями не превышает  $\pm 0,1^*$ . Более важным обстоятельством является то, что электронодонорная способность заместителей зависит от специфики взаимного влияния атомных групп, и ее не удастся охарактеризовать каким-либо независимым инкрементом.

Само разделение заместителей на электроположительные и электроотрицательные облегчает систематизацию экспериментальных данных, но имеет все же ограниченное значение.

Введение заместителей  $X$  почти во всех случаях приводит к приближению рассматриваемых полос поглощения (т. е. к увеличению длины волны) и к некоторому усилению их (таблица). По влиянию на  $\lambda_1$  молекул  $\text{PhX}$  электроположительные и электроотрицательные группы  $X$  весьма сходны \*\*, в то же время в спектрах  $n\text{-XC}_6\text{H}_4\text{NO}_2$  резко выражено влия

\* В литературе часто приводятся данные для  $\Delta\mu$  с точностью до одной сотой; их не следует, однако, переоценивать.

\*\* То обстоятельство, что заместители  $X$  обоих типов влияют на оптические свойства соединений  $\text{PhX}$  в одинаковом направлении, можно объяснить тем, что в обоих

ние электроположительных X и слабо — влияние электроотрицательных X, а в спектрах  $n\text{-XC}_6\text{H}_4\text{NR}_2$ , наоборот\*. Эти соотношения качественно представлены двумя кривыми на рис. 3. Заместители  $\text{H}_2\text{C}=\text{CH}$  и  $\text{C}_6\text{H}_5$  сильно влияют на спектры поглощения всех трех типов соединений;

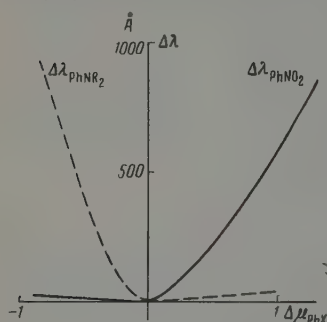


Рис. 3

лежат значительно выше обеих кривых. Значения  $\Delta\omega_X$  (таблица) свидетельствует о том, что сопряжение с бензольным кольцом приводит к снижению частоты колебаний атомов в группе X во всех соединениях, кроме аминов и сульфонов. Очевидно, что знак  $\Delta\omega_X$  не зависит от того, происходит ли смещение электронов от X к бензольному кольцу, или наоборот (т. е. от знака  $\Delta\mu_{\text{PhX}}$ ).

Если допустить, что  $\omega_X$  зависит в основном от жесткости связей в X, то можно заключить, что жесткость связей OH, SH, CN, CO, NO при сопряжении понижается, а жесткость связей N—H и S—O повышается. Однако повышение частоты NH может быть вызвано также увеличением углов C—N—H и другими факторами, связанными с изменением валентного состояния N. Сделать заключение о повышении жесткости связей S—O тем более нельзя, так как частота SO<sub>2</sub> лежит в области, в которой расположены также другие частоты молекул ароматических соединений.

Если изменение  $\omega_X$  при сопряжении X с бензольным кольцом действительно обусловлено изменением состояния связей в X, то следует ожидать, что введение NO<sub>2</sub> в пара-положение должно привести к усилению эффекта, наблюдаемого в частотах электроположительных групп NH<sub>2</sub> и OH и к ослаблению эффекта, наблюдаемого в частотах SO<sub>2</sub>, CN, CO, NO<sub>2</sub> молекул PhX, а введение NR<sub>2</sub> — наоборот. Так в действительности и происходит (см. таблицу); исключение в этом отношении составляют сульфоны.

Рис. 4 показывает, что на частоту электроотрицательной группы NO<sub>2</sub> электроположительные заместители влияют сильнее, чем электроотрицательные, а на частоту OH, наоборот.

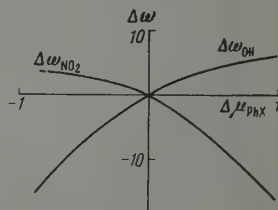


Рис. 4

Интересно, что при переходе от алифатических соединений RX к ароматическим PhX интенсивность полос валентных колебаний всех исследованных типов связей (C=O, C≡N, SO<sub>2</sub>, N—H, O—H) в инфракрасных спектрах значительно возрастает. Это было замечено еще давно при исследовании нитрилов и кетон [8] и затем в спектрах аминов [9], фенолов [10], сульфонов [11] и других. При введении в молекулы PhX электроотрицательных заместителей в пара-положение интенсивность полос электроотрицательных групп (CO, CN, SO<sub>2</sub>) падает, а интенсив-

случаях при введении группы X возрастает число электронов, участвующих в сопряжении, и создаются дополнительные возможности для расщепления уровней электронного возбуждения.  
\* Если полоса поглощения у соединения PhX' лежит ближе, чем у PhX'', то у соединения  $n\text{-X}'\text{C}_6\text{H}_4\text{X}''$  она лежит приблизительно в той же области, где и полоса PhX' (если оба заместителя электроположительные или оба электроотрицательные), или значительно ближе (если один из заместителей электроположителен, а другой электроотрицателен, и в некоторых других случаях, например, когда один из заместителей —  $\text{C}_6\text{H}_5$ ).

ость полос  $\text{NH}_2$  и  $\text{OH}$  возрастает. Хотя во многих случаях интенсивность поглощения возрастает вместе с увеличением полярности связей, нельзя утверждать, что такое соответствие имеется во всех перечисленных случаях и, в частности, для связей  $\text{N} - \text{H}$ .

Принимая во внимание данные таблицы, а также данные для различных других соединений *n* -  $\text{XC}_6\text{H}_4\text{Y}$  можно сказать, что признаки влияния заместителей  $\text{X}$  и  $\text{Y}$  выражены сильнее в тех случаях, когда один из них электроотрицательный, а другой электроположительный, и гораздо слабее, когда оба заместителя электроотрицательны или оба электроположительны.

Это можно сказать не только про физические, но и про химические свойства. Константы  $\sigma$ , которым первоначально пытались придать универсальное значение, варьируют в широких пределах и зависят, в частности, от того, идет ли речь, о влиянии друг на друга однотипных групп  $\text{X}$  и  $\text{Y}$  или разнотипных. В первом случае константы  $\sigma$  обычно оказываются значительно ближе к нулю, чем во втором (см. таблицу).

Некоторые заместители (например,  $\text{Ph}$ ,  $\text{Ph} \cdot \text{CH} : \text{CH} \cdot$ ), по влиянию на  $\mu$  и также на  $\lambda$  в соединениях *n* -  $\text{XC}_6\text{H}_4\text{NO}_2$  ведут себя подобно электроположительным, а в соединениях *n* -  $\text{XC}_6\text{H}_4\text{NR}_2$  подобно электроотрицательным группам. Очевидно, что это нельзя объяснить простым индуктивным влиянием на группы с большой поляризуемостью. Очень возможно, что различия в дипольных моментах производных дифенила и бензола отчасти связаны с делокализацией  $+$  или  $-$  заряда в системе бензольных колец.

Что касается йода, то он не изменяет частоты симметричного колебания нитрогруппы (которая вообще мало чувствительна к влиянию электроотрицательных заместителей), но по данным Кросса [12] существенно повышает частоту антисимметричного колебания.

Таким образом можно сказать, что йод влияет на  $\omega_{\text{NO}_2}$ ,  $\omega_{\text{OH}}$  константы диссоциации  $\text{OH}$  и  $\text{COOH}$  в молекулах *n* -  $\text{JC}_6\text{H}_4\text{X}$  и также на  $\mu$  молекул *n* -  $\text{JC}_6\text{H}_4\text{NR}_2$ , подобно электроотрицательным заместителям; однако, судя по  $\lambda$  и  $\mu$  молекул *n* -  $\text{JC}_6\text{H}_4\text{NO}_2$  и по «химическому сдвигу» атома  $\text{H}$  в спектрах протонного магнитного резонанса *n* -  $\text{JC}_6\text{H}_4\text{H}$ , влияние йода может иметь и противоположный характер. Причины несоответствий в данных для  $\omega_{\text{NO}_2}$  и  $\mu$  *n*-йоднитробензола неясны.

Влияние различных галоидов имеет много общего, но оно убывает в ряду  $\text{J} > \text{Br} > \text{Cl} > \text{F}$ .

Сравнение данных для соединений с группами  $\text{X} = \text{CH}_3$  и  $\text{C}(\text{CH}_3)_3$  показывает, что существенных различий между ними не наблюдается. Обе группы ведут себя, как слабоэлектроположительные. Наиболее ощутимые различия отмечены в дипольных моментах  $\text{PhX}$ , но результаты измерений разных авторов для  $\text{PhCMe}_3$  сильно различаются\*.

На рис. 5 показано, какая существует связь между значениями  $\sigma_2$  (взяты из последнего столбца таблицы, на рисунке обозначены кружками) и аномалиями в дипольных моментах соединений *n* -  $\text{XC}_6\text{H}_4\text{NR}_2$  (см. таблицу), а также между  $\sigma_1$  (взяты из предпоследнего столбца таблицы, на рисунке обозначены крестиками) и аномалиями в дипольных моментах *n* -  $\text{XC}_6\text{H}_4\text{NO}_2$ .

На всех графиках (рис. 1—5) наблюдается большой разброс точек; кривые можно рассматривать только как намечающуюся тенденцию.

Последовательности заместителей  $\text{X}$ , расположенных по степени их

\* Матсен и Робертсон [13] считают, что «гиперконъюгация» группы  $\text{CH}_3$  с бензольным кольцом уменьшается при замещении атомов  $\text{H}$  на метильные группы; они основывались на том, что ближняя полоса поглощения ( $\sim 2600 \text{ \AA}$ ) у  $\text{PhCMe}_3$  лежит несколько дальше, чем у толуола. Однако в области более далеких и интенсивных полос наблюдается обратное. По расчетам Ихал [14] «энергия гиперконъюгации» у  $\text{PhCMe}_3$  вдвое меньше, чем у толуола. Эти расчеты, однако, не настолько точны, чтобы можно было придавать им большое значение.



влияния на различные свойства, имеют много общего. Однако большого сходства было бы трудно ожидать. Нужно иметь в виду, что одни из измеряемых констант определяют свойства молекулы в основном состоянии, другие зависят от свойств электронно-возбужденного состояния; химические свойства (положение равновесия) зависят от влияния заместителей не только в начальном, но и в конечном продукте. Вместе с тем влияние заместителей различных типов на свойства молекул имеет неодинаковую природу.

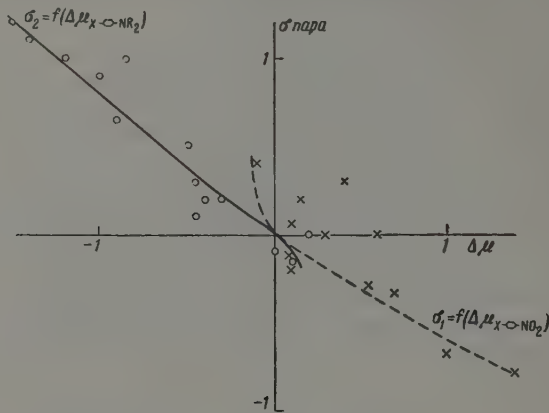


Рис. 5

О влиянии среды на результаты измерений уже было сказано раньше; мы обратим внимание на то, что константы  $\sigma$ , приведенные в таблице, определены по реакциям в водных или спиртовых растворах, в то время как другие цифры относятся к более индифферентным растворителям.

### Выводы

1. Группа  $\text{C}_6\text{H}_4 \cdot \text{NO}_2$  имеет более сильно выраженные электроноакцепторные свойства, чем  $\text{C}_6\text{H}_5$ ; а группа  $\text{C}_6\text{H}_4 \cdot \text{NR}_2$ , наоборот. Различия в электронодонорной способности заместителей X проявляются более рельефно в дипольных моментах  $n\text{-XC}_6\text{H}_4\text{NO}_2$ , слабее — в моментах  $\text{C}_2\text{H}_5\text{X}$  и еще слабее — в моментах  $n\text{-XC}_6\text{H}_4\text{NR}_2$ .

2. Электронодонорная способность заместителей зависит от специфики взаимного влияния атомных групп, и ее не удастся сколько-нибудь точно (количественно) охарактеризовать каким-либо независимым инкрементом. Разделение заместителей на электроположительные и электроотрицательные облегчает систематизацию экспериментальных данных, но имеет ограниченное и условное значение. Введение различных заместителей X приводит почти во всех случаях к приближению и усилению ближних (длинноволновых) интенсивных полос поглощения.

3. Признаки влияния заместителей на физические и химические свойства в молекулах  $n\text{-XC}_6\text{H}_4\text{Y}$  выражены сильнее в тех случаях, когда один из заместителей электроотрицательный, а другой электроположительный, и значительно слабее, когда оба заместителя электроотрицательные или оба электроположительные.

Последовательности заместителей, расположенных по степени их влияния на различные свойства молекул, имеют много общего. Рассмотрены факторы, определяющие различия в этих последовательностях.

## ЛИТЕРАТУРА

1. Doub, Wandenbelt, J. Amer. Chem. Soc., 69, 2715, 1947.
2. Curran, Palermitti, J. Amer. Chem. Soc., 73, 3733, 1951.
3. П. П. Шорыгин, З. С. Егорова, Ж. физ. химии, 32, 915, 1958; Докл. АН СССР, 117, 856, 1957.
4. В. Н. Васильева, В. П. Базов и М. А. Гейдериш, Ж. физ. химии, 33, 1524, 1959.
5. П. П. Шорыгин, З. С. Егорова, Докл. АН СССР, 118, 763, 1958.
6. Bordwell, Boutan, J. Amer. Chem. Soc., 78, 854, 1956; Jaffe, Chem. Rev., 53, 191, 1953.
7. Corio, Dailey, J. Amer. Chem. Soc., 78, 3043, 1956.
8. П. П. Шорыгин, Ж. физ. химии, 21, 1125, 1947.
9. Russel, Thompson, J. Chem. Soc., 483, 1955.
10. Tsubomura, J. Chem. Phys., 24, 927, 1956.
11. Rogers, J. Amer. Chem. Soc., 78, 1790, 1956.
12. Kross, Fassel, J. Amer. Chem. Soc., 78, 4225, 1956.
13. Matsen, Robertson, Chem. Rev., 41, 273, 1947.
14. J'haya, Bull. Chem. Soc. Japan, 28, 377, 1952.

MUTUAL INFLUENCE OF SUBSTITUENTS IN *p*-DISUBSTITUTED BENZENES

P. P. Shorygin (Moscow)

## Summary

A study has been made of the mutual influence of substituents in molecules of *p*-disubstituted benzenes, as manifested in the Raman and ultraviolet absorption spectra and in the dipole moments.

The  $\text{C}_6\text{H}_4\text{NO}_2$  group has more strongly pronounced electron-acceptor properties than  $\text{C}_6\text{H}_5$ , whereas the  $\text{C}_6\text{H}_4\text{NR}_2$  group is the contrary. The difference in the electron-donating properties of the substituents X is more clearly expressed in the dipole moments of the

$\text{X} - \text{C}_6\text{H}_4 - \text{NO}_2$ , less expressed in the moments of  $\text{X} - \text{C}_6\text{H}_5$  and still less in the

$\text{X} - \text{C}_6\text{H}_4 - \text{NR}_2$ .

The electron-donating capacity of the substituents depends upon the specific nature of the mutual influence of the atomic groups, and it is impossible to characterize it (quantitatively) to any degree of accuracy by means of an independent increment. Separation of the substituents into electropositive and electronegative facilitates systematization of the experimental data, but is of a limited and arbitrary significance.

The effect of the substituents on the physical and chemical properties of the molecules  $\text{X} - \text{C}_6\text{H}_4 - \text{Y}$  is more strongly manifested in cases when one of the substituents is electronegative and the other electropositive and is much less when both substituents are electronegative or electropositive.

The series of derivatives arranged in conformity with the degree of their influence on the various properties of molecules have much in common. Factors causing differences in the series have been examined.

## КРИТИЧЕСКИЕ ЯВЛЕНИЯ В СИСТЕМЕ ГЕКСАМЕТИЛЕНИМИН — ВОДА

I. ПОГРАНИЧНАЯ КРИВАЯ РАВНОВЕСИЯ ЖИДКОСТЬ — ЖИДКОСТЬ  
ВБЛИЗИ КРИТИЧЕСКОЙ ТОЧКИ

*И. Р. Кричевский, Н. Е. Хазанова, Ю. В. Цеханская  
и Л. Р. Линици*

Центральным вопросом теории критических явлений, вокруг которого сосредоточены основные разногласия, оказался вопрос о форме пограничной кривой вблизи критической точки. Однозначное решение этого вопроса, непосредственно связанного с другими положениями классической теории критических явлений, позволило бы решить вопрос о правильности всей теории.

Из положений классической теории можно получить новые термодинамические соотношения [1—3], связывающие форму пограничной кривой вблизи критической точки со скачками производных некоторых свойств при переходе системы из гомогенного состояния в гетерогенное. Эти соотношения дали возможность исследовать форму пограничной кривой новым экспериментальным методом, допускающим однозначное толкование полученных результатов.

В предыдущих работах были исследованы методом скачка производной  $(\partial v/\partial t)_{p,x}$  формы пограничных кривых вблизи критической точки систем фенол — вода [4] и триэтиламин — вода [5]. Пограничные кривые этих систем оказались параболами второй степени. Исследования скачка теплоемкости этих систем [6—8] привели к такому же выводу.

Дальнейшей своей задачей авторы считали накопление новых экспериментальных данных, полученных с большой точностью.

Для проверки теории особенно целесообразно исследовать целый ряд свойств какой-либо одной системы. Это облегчает взаимный контроль полученных результатов и позволяет более полно выявить особенности поведения вещества вблизи критической точки. Для такого исследования была выбрана система гексаметиленимин — вода. Для этой системы были изучены форма пограничной кривой вблизи критической точки, общее давление пара и парциальные давления компонентов, удельные веса, коэффициенты преломления, вязкости и, наконец, коэффициенты диффузии в широкой области температур и составов.

По данным [9], система гексаметиленимин — вода имеет замкнутую область гетерогенного равновесия жидкость — жидкость. Нижняя критическая точка, вблизи которой было проведено настоящее исследование, лежит при  $66,9^\circ\text{C}$  и 22,5 вес. % гексаметиленимина.

В качестве исходного вещества была использована техническая смесь гексаметиленимина с водой, содержавшая примерно 43 вес. % гексаметиленимина. Очистку смеси производили двух- и трехкратной перегонкой под вакуумом на цельнопаяной стеклянной колонке с насадкой Фенске (~40 теоретических тарелок). Во избежание контакта вещества с воздухом (при повышенных температурах гексаметиленимин в присутствии кислорода недостаточно устойчив) колонку и приемники перед перегонкой продували очищенным от кислорода азотом. Все манипуляции по приготовлению растворов, наполнению приборов растворами про-



изготавливали в камере, продуваемой азотом. О чистоте продуктов судили по воспроизводимости критической точки.

Критическую точку и температуры расслаивания растворов других составов определяли визуально в пробирках с притертыми пробками и магнитными мешалками. Состав раствора определяли с погрешностью 0,15—0,2 вес. % гексаметиленмина. Температуры расслаивания определяли с погрешностью до  $\pm 0,1^\circ \text{C}$ .

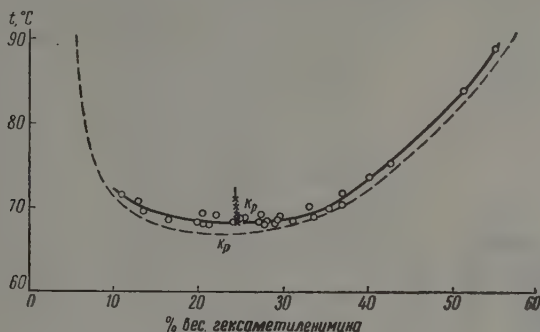


Рис. 1. Пограничная кривая  $t-x$  системы гексаметиленмин — вода. Сплошная кривая — авторы; пунктирная — данные [9]

На рис. 1 приведена пограничная кривая  $t-x$  ( $x$  — весовая доля гексаметиленмина) системы гексаметиленмин — вода). На график нанесены данные, наблюдаемые как визуально в пробирках, так и при dilatометрических измерениях (см. ниже). Вероятная ошибка в проведении кривой по экспериментальным данным составляет  $\pm 0,06^\circ \text{C}$ . Интерполированные данные приведены в табл. 1. По правилу прямолинейного диаметра были найдены критические параметры:  $t_{\text{кр}} = 68,1^\circ \text{C}$ ,  $x_{\text{кр}} = 0,247$ . Полученные данные отличаются от данных работы [9] (рис. 1), что можно объяснить недостаточной очисткой продуктов в работе [9].

Таблица 1

Равновесие жидкость — жидкость в системе гексаметиленмин — вода

$t, ^\circ \text{C}$	Состав фаз, вес. % гексаметиленмина		$t, ^\circ \text{C}$	Состав фаз, вес. % гексаметиленмина	
	фаза I	фаза II		фаза I	фаза II
68,1		24,7	72,0	10,4	38,8
68,5	19,7	29,7	75,0	—	42,3
69,0	16,7	32,4	80,0	—	47,7
70,0	13,5	35,6	85,0	—	52,5
71,0	11,5	37,4	89,0	—	55,5

В первом из исследований системы гексаметиленмин — вода была изучена форма пограничной кривой вблизи критической точки методом скачка производной  $(\partial v / \partial t)_{p,x}$ . Для этого была определена зависимость объемов растворов постоянных составов от температуры в гетерогенной и гомогенной областях. Предварительные измерения, проведенные dilatометром, описанным в [10], показали, что скачок производной  $(\partial v / \partial t)_{p,x}$  для этой системы мал. Поэтому авторы провели данное исследование весовым dilatометром [11—14], позволившим в пять раз увеличить точность измерений.

Авторы применили для исследования dilatометр (рис. 2), изготовленный из стекла Пайрекс, емкостью  $\sim 55$  см<sup>3</sup>. Раствор помещался в резервуаре 1 со стеклянной мешалкой, в которую впаян железный якорь 2. Мешалку приводили во вращение постоянным магнитом 3, связанным с мотором. В резервуаре же находилось и небольшое количество ртути, которая заполняла также узкую (диаметром  $\sim 2$  мм) изогнутую трубку 4. Загнутый книзу конец этой трубки был оттянут в тонкий капилляр 5 диаметром 0,15 мм, через который ртуть вытекала в чашечку 6 при расширении раствора. Dilатометр заполнялся через короткий капилляр. Плоский шпиль 7 капилляра закрывался оптически притертой пластинкой без смазки. Для лучшего уплотнения пластинка притягивалась к шлифу гайкой 8. Для обеспечения перемешивания всего раствора, находившегося в dilatометре, и исключения потерь раствора через шпиль короткий капилляр заполняли ртутью.

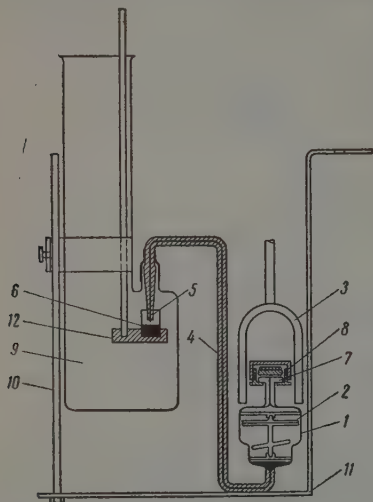


Рис. 2. Прибор для dilatометрических измерений

Для требуемой точности измерений было важно, чтобы термостатировался весь dilatометр. Поэтому измерительный прибор был устроен так (рис. 2), чтобы можно было погружать в воду термостата не только резервуар dilatометра, но и все его части, включая и капиллярную трубку, из которой вытекала ртуть. Для этого оттянутый конец капилляра 5 помещали в тубус стакана 9 и герметизировали это соединение эластичной каучуковой трубкой. Стакан, который мог перемещаться по вертикальной стойке 10, и dilatометр закрепляли на одном штативе 11. Верхняя часть стакана выступала над уровнем воды и над крышкой термостата. Под кончик капилляра dilatометра подводили чашечку с ртутью 6, установленную на подставке 12.

Заполнение dilatометра раствором и ртутью производили медицинским шприцем в камере, продуваемой очищенным от кислорода азотом. Раствор и ртуть тщательно дегазировали в самом dilatометре под вакуумом. Состав раствора определяли по dilatометру устанавливали на штативе (рис. 2) и помещали в термостат перед смотровым окном. Конец капилляра dilatометра погружали в чашечку с взвешенной ртутью (во избежание испарения ртути во время опыта ее заливали дистиллированной водой) и начинали подогрев до заданной температуры. Измерения обычно производили в пределах трех градусов (на  $1,5^\circ$  ниже и выше температуры расслаивания) через интервалы в несколько десятых градуса вдали от пограничной кривой и в  $0,05$ — $0,1^\circ$  при приближении к пограничной кривой.

После термостатирования и перемешивания раствора до достижения равновесия (достижение равновесия проверялось по воспроизводимости результатов) чашечку с ртутью опускали так, чтобы конец капилляра вышел из ртути. Так как ртуть при этом отрывалась не точно по краю трубки и столб ртути не доходил до самого конца капилляра, объем оттянутого конца капилляра 5 был калиброван для внесения поправки. Затем чашечку с ртутью заменяли другой, также с небольшим количеством взвешенной ртути. Подводили чашечку под капилляр dilatометра так, чтобы кончик его погружался в ртуть, и начинали разогрев до следующей заданной температуры.

Вынутую из термостата первую чашечку взвешивали, предварительно осушив находившуюся в ней ртуть, и определяли вес вытекшей из dilatометра ртути при данном повышении температуры.

После окончания опыта dilatометр с оставшейся ртутью взвешивали, затем выгружали из него ртуть и раствор, который подвергали анализу. Ртуть промывали, сушили и взвешивали. По разности весов заполненного dilatометра и сухой ртути и пустого dilatометра находили вес исследуемого раствора. Все взвешивания производили методом двойного взвешивания; веса пустого и наполненного dilatометра и веса ртути в чашечках приводили к весу в вакууме [15]. По весам раствора и ртути, находившейся в dilatометре при данной температуре, и объему dilatометра вычислялись удельные веса растворов данного состава (в гомогенной и гетерогенной областях) при различных температурах.

Объемы dilatометра при различных температурах определяли по объемам бидистиллята и ртути по описанной методике. Объемный коэффициент термического расширения стекла dilatометра составлял  $1,3 \cdot 10^{-5}$  ( $^\circ\text{C}$ )<sup>-1</sup>, что согласуется с литературными данными [16] для стекла Пайрекс.

Термостатирование осуществляли с погрешностью  $\pm 0,001$ — $0,002^\circ$  в термостате,

Таблица 2

## Удельные объемы растворов гексаметиленмин — вода

$t, ^\circ\text{C}$	Удельный объем, $\text{г/см}^3$	$t, ^\circ\text{C}$	Удельный объем, $\text{г/см}^3$
13,7 вес.% гексаметиленмина			
68,04	1,03647	69,76	1,03772
68,48	1,03680	69,97	1,03789
69,21	1,03732	70,18	1,03804
69,38	1,03745	70,63	1,03838
69,53	1,03755	71,13	1,03876
69,56	1,03758		
20,1 вес.% гексаметиленмина			
66,81	1,04400	68,40	1,04522
67,38	1,04444	68,62	1,04542
67,76	1,04474	69,01	1,04573
68,02	1,04494	69,41	1,04606
68,16	1,04505	69,85	1,04641
68,33	1,04517		
24,32 вес.% гексаметиленмина			
66,16	1,04894	68,41	1,05078
67,21	1,04977	68,64	1,05097
67,66	1,05014	68,84	1,05115
68,05	1,05045	69,07	1,05134
68,14	1,05053	69,60	1,05180
68,24	1,05062		
27,6 вес.% гексаметиленмина			
67,32	1,05427	68,86	1,05556
67,89	1,05474	68,93	1,05562
68,14	1,05495	69,15	1,05581
68,45	1,05520	69,32	1,05597
68,63	1,05536	69,50	1,05613
68,83	1,05553	69,82	1,05642
		70,39	1,05693
31,4 вес.% гексаметиленмина			
66,93	1,05910	68,53	1,06050
67,40	1,05951	68,72	1,06069
67,74	1,05981	69,04	1,06097
68,10	1,06012	69,44	1,06134
68,30	1,06029	70,06	1,06190
68,37	1,06035		
35,6 вес.% гексаметиленмина			
68,36	1,06634	69,88	1,06770
68,80	1,06673	70,10	1,06793
69,25	1,06714	70,32	1,06814
69,44	1,06732	70,53	1,06833
69,72	1,06757	70,74	1,06855
69,87	1,06770	70,97	1,06877
		71,12	1,06892

описанном в [10]. Температуру измеряли ртутным термометром с ценой деления  $0,1^\circ\text{C}$  с точностью  $\pm 0,05^\circ\text{C}$ . Изменение температуры измеряли с точностью  $\pm 0,001$ — $0,002^\circ$  метастатическим термометром с ценой деления  $0,01^\circ$  (отсчет показаний производили через лупу). В показания термометров вносили поправки на выступавший столбик ртути. В показания метастатического термометра вносили, кроме того, поправку на цену деления его шкалы в различных температурных интервалах.

Весовым dilatометром по описанному методу были измерены удельные объемы системы гексаметиленмин — вода шести составов при различных температурах (табл. 2). Изменения удельных объемов измеряли с погрешностью  $\pm 2 \cdot 10^{-6} \text{ см}^3/\text{г}$ .



Для всех исследованных составов растворов, в том числе и для состава, близкого к критическому (24,3 вес. % гексаметиленimina, рис. 3), на кривых удельный объем — температура имеются отчетливые переломы при температурах перехода системы из гомогенного состояния в гетерогенное. Температуры расслаивания, найденные визуально и по перелому кривых

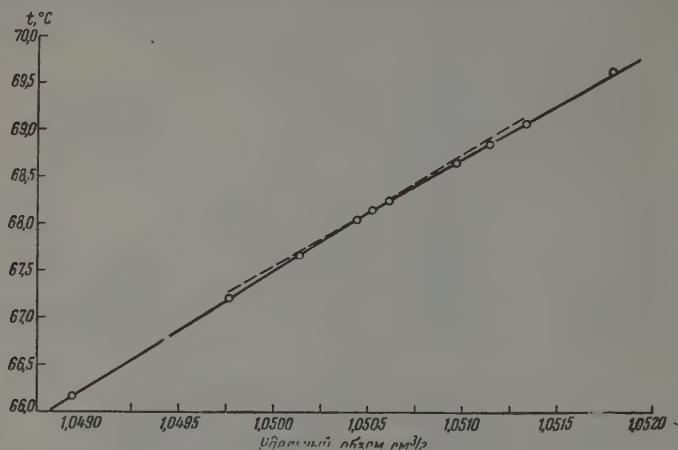


Рис. 3. Кривая  $v-t$  системы гексаметиленимин — вода

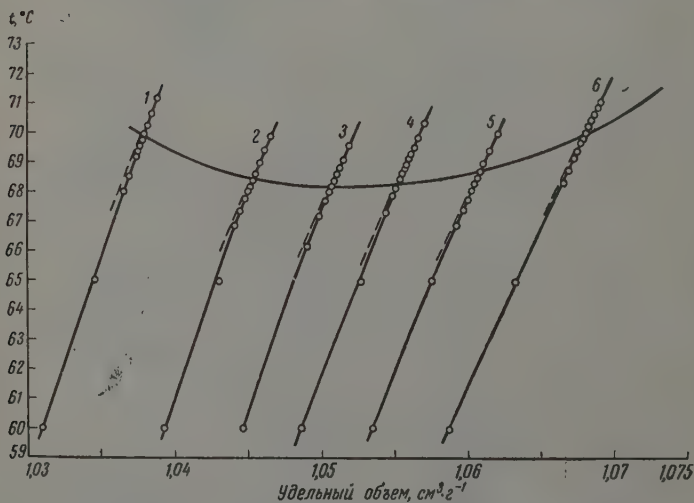


Рис. 4. Пограничная кривая  $v-t$  системы гексаметиленимин — вода: 1 — 13,67; 2 — 20,12; 3 — 24,32; 4 — 27,56; 5 — 31,38 и 6 — 35,6 вес. % гексаметиленимина

$v-t$ , совпадают в пределах нескольких сотых градуса. По полученным значениям объемов системы в точке перехода ее из однофазной области в двухфазную построена пограничная кривая  $v-t$  (рис. 4) с линиями постоянных составов. Найденный по прямолинейному диаметру критический объем раствора равен  $1,0510 \text{ см}^3/\text{г}$ .

По кривым объем — температура вычислены производные  $(\partial v/\partial t)_{P,x}$  на пограничной кривой для гетерогенной и гомогенной областей и скачки

этой производной в точке пересечения пограничной кривой (рис. 5). График зависимости скачка производной  $(\partial v / \partial t)_{P,x}$  построен по интерполированным значениям этих производных.

Для критического состава (24,7 вес. % гексаметиленмина) скачок производной равен  $5,3 \cdot 10^{-5} \text{ см}^3 / \text{г} \cdot \text{°C}$ . Данных о скачке теплоемкости в критической точке и о зависимости критической температуры от давления для этой системы нет. Поэтому авторы не могли сравнить полученные экспериментальные данные с вычисленными по скачку теплоемкости, как это было сделано для других систем [4, 5]. Вычислить же скачок производной  $(\partial v / \partial t)_{P,x}$  по основному уравнению, связывающему скачок с формой

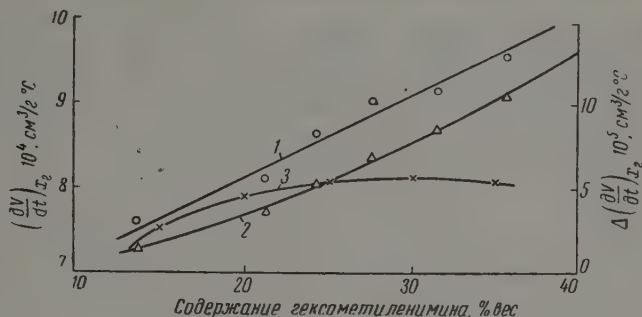


Рис. 5. Скачок производной  $(\partial v / \partial t)_{P,x}$  для системы гексаметиленмин — вода: 1  $(\partial v / \partial t)_{P,x, \text{рег}}$ ; 2 —  $(\partial v / \partial t)_{P,x, \text{гом}}$ ; 3 —  $\Delta(\partial v / \partial t)_{P,x}$

пограничной кривой через вторую производную объема по составу [1], оказалось невозможным. Кривая  $v - x$  при критической температуре имеет такую малую кривизну, что взятие второй производной в критической точке оказалось, при точности данных, неправомерным [17].

Скачок производной  $(\partial v / \partial t)_{P,x}$  для системы гексаметиленмин — вода имеет в критической точке (24,7 вес. % гексаметиленмина) конечное значение. Авторы поэтому считают, что пограничная кривая в этой системе, как и во всех других изученных до сих пор системах [2], является параболой второй степени. Существование однозначной связи между параболической формой пограничной кривой и конечным значением скачка в критической точке признают и другие авторы [18].

К этому вопросу можно было бы не возвращаться, если бы не появившийся в последнее время ряд работ Райса [19], в которых утверждается существование горизонтального плоского участка на пограничной кривой вблизи критической точки.

Экспериментальное исследование пограничной кривой непосредственным изучением равновесия не может, конечно, однозначно решить такой вопрос, так как практически невозможно отличить прямую от кривой высокой степени или даже от параболы с большим параметром.

Райс рассматривает связь формы пограничной кривой со скачком  $s_v$  для чистого вещества [20]. Не давая строгого доказательства, Райс утверждает, что скачок  $s_v$  имеет конечное значение при пересечении плоского участка на вершине пограничной кривой. Математически это непонятно, так как даже при закругленной вершине, но при условии, что кривая имеет более высокую степень, чем вторая, скачок должен иметь бесконечно большое значение [1]. Тем более невозможен конечный скачок при пересечении прямолинейного участка кривой. Возможность существования прямолинейного участка на пограничной кривой вблизи критической точки отрицал еще Гиббс [21].

Райс, наряду с другими авторами, допускает также, что пограничная кривая может быть кривой третьего порядка вблизи критической точки.

Это предполагает, в противоречии с классической теорией критических явлений, наличие в критической точке математических особенностей. Приведенные в работах [4, 5] расчеты скачков  $c_{P,x}$  и  $(\partial v/\partial t)_{P,x}$  для систем фенол — вода и триэтиламин — вода и вполне удовлетворительное совпадение вычисленных и найденных экспериментально значений этих величин показывают, что пограничная кривая вблизи критической точки является аналитической кривой, и критическая точка не имеет математических особенностей.

### Выводы

1. Весовым dilatометром измерены скачки производной  $(\partial v/\partial t)_{P,x}$  для системы гексаметиленмин — вода при пересечении пограничной кривой вблизи нижней критической точки. Полученные данные показали, что в критической точке скачок производной  $(\partial v/\partial t)_{P,x}$  для этой системы имеет конечное значение, и, следовательно, пограничная кривая вблизи критической точки является параболой второй степени.

2. В настоящее время изучены скачки  $c_{P,x}$  и  $(\partial v/\partial t)_{P,x}$  для ряда двойных растворов и скачки  $c_v$  — для нескольких чистых веществ. Во всех случаях были найдены в критической точке конечные значения этих скачков. Отсюда можно сделать однозначный вывод, что пограничные кривые как для равновесия жидкость — жидкость, так и для равновесия жидкость — пар во всех изученных случаях являются вблизи критической точки параболой второй степени.

Государственный институт  
азотной промышленности

Поступила  
11.IX.1957

### ЛИТЕРАТУРА

1. И. Р. Кричевский, Докл. АН СССР, 83, 435, 1952.
2. И. Р. Кричевский, Н. Е. Хазанова, Ж. физ. химии, 29, 1087, 1955.
3. И. Р. Кричевский, Ж. физ. химии, 29, 2256, 1955.
4. И. Р. Кричевский, Н. Е. Хазанова, Л. Р. Левинзон, Докл. АН СССР, 94, 509, 1954.
5. И. Р. Кричевский, Н. Е. Хазанова, Л. Р. Линшиц, Докл. АН СССР, 100, 737, 1955.
6. Х. И. Амирханов, И. Г. Гурвич, Докл. АН СССР, 91, 221, 1953.
7. Х. И. Амирханов, И. Г. Гурвич, О. В. Матизен, Докл. АН СССР, 100, 735, 1955.
8. В. К. Семенченко, В. П. Скрипов, Ж. физ. химии, 25, 362, 1951.
9. Е. Н. Зильберман, З. Д. Скорикова, Ж. общ. химии, 23, 1629, 1953.
10. И. Р. Кричевский, Н. Е. Хазанова, Л. Р. Линшиц, Ж. физ. химии, 29, 547, 1955.
11. M. P. Chappuis. Trav. et memoires du Bureau internat. des poids et mesures, 13, 1907.
12. G. Pesce, P. Hölemann, Z. Elektrochem., 40, 1, 1934.
13. R. E. Gibson, O. H. Loeffler, J. Amer. Chem. Soc., 61, 2515, 1939.
14. G. M. Duff, D. H. Everett, Trans. Faraday Soc., 52, 753, 1956.
15. Д. И. Менделеев, Сочинения, т. IV, Изд-во АН СССР, Л., 1937.
16. G. W. Morey, Properties of Glass, N. Y., 1938.
17. А. М. Розен, Ж. физ. химии, 27, 178, 1953.
18. M. Magat, Changements de phases, Paris, 1952, стр. 66.
19. D. Atack, O. K. Rice, J. Chem. Phys., 22, 382, 1954; R. Gopae, O. K. Rice, J. Chem. Phys., 23, 2428, 1955; F. Kohler, O. K. Rice, J. Chem. Phys., 25, 1614, 1957.
20. О. К. Rice, J. Chem. Phys., 23, 169, 1955.
21. Д. В. Гиббс, Термодинамические работы, Гостехтеоретиздат, М.— Л., 1950.

CRITICAL PHENOMENA IN THE SYSTEM HEXAMETHYLENEIMINE —  
WATER. I

*I. R. Krichevskii, N. E. Khazanova, Yu. V. Tsekhanskaya*  
and *L. P. Linshitz (Moscow)*

## Summary

The jumps of the derivative  $(dv/dt)_{P,x}$  for the system hexamethyleneimine—water at the intersection of the boundary curve near the lower critical point have been measured by a weight dilatometer. The jump has been found to possess a finite value at the critical point and consequently the boundary curve near the point is a parabola of the second order.

The finite values for the jumps of  $c_{P,x}$  and  $(dv/dt)_{P,x}$  found for the critical points of a number of binary solutions and the jumps of  $c_v$  for a number of pure compounds again lead to the conclusion that the boundary curves both for liquid-liquid and for liquid-vapor equilibria near the critical point are in all the cases investigated parabolas of the second order.

---



ЭЛЕКТРОПРОВОДНОСТЬ СТЕКОЛ СИСТЕМЫ  $\text{Li}_2\text{O} - \text{SiO}_2$ 

А. Я. Кузнецов

За последние годы в технике заметно усилился интерес к стеклам с высокой электропроводностью (телевидение, электроника). Особую ценность представляют стекла, электропроводность которых достигает при комнатных температурах значений  $\kappa \sim 10^{-10} - 10^{-8} \Omega^{-1} \text{ см}^{-1}$ . Известно, что проводимость вещества может быть увеличена за счет электронной или ионной составляющей. Значительное повышение электронной проводимости стекла удалось достигнуть путем введения в состав его полупроводниковых окислов ( $\text{TiO}_2$ ,  $\text{NiO}$ ,  $\text{Fe}_2\text{O}_3$ ). Однако добавки этих компонент, наряду с увеличением проводимости, заметно повышают коэффициент поглощения материала в видимой части спектра. Весьма заманчивым является увеличение ионной проводимости, поскольку полоса поглощения ионов лежит в инфракрасной области спектра. Создание стекол с высокой ионной проводимостью, очевидно, должно идти по линии увеличения в силикатных стеклах концентрации щелочных ионов, обладающих достаточной подвижностью. К сожалению, добавки катионов натрия и калия резко снижают химическую устойчивость стекла и не могут быть введены в нужных концентрациях. Наибольшего внимания заслуживают катионы лития, обладающие весьма высокой подвижностью в структуре силикатных стекол и одновременно мало влияющие на химическую устойчивость. Так как до настоящего времени имелись лишь данные по электропроводности трех кремнелитиевых стекол [1], представляло интерес исследовать электропроводность стекол системы  $\text{Li}_2\text{O} - \text{SiO}_2$ .

Для измерений были изготовлены 11 стекол, охватывающих по составу область системы, где содержание окиси лития меняется от 7,9 до 42,57 мол. % (таблица). В качестве материалов для шихты применялись хими-

Значения —  $\lg \kappa$  стекол системы  $\text{Li}_2\text{O} - \text{SiO}_2$ 

$t, ^\circ\text{C}$	$\text{Li}_2\text{O}, \text{ мол. \%}^*$										
	1	2	3	4	5	6	7	8	9	10	11
	7,90	12,14	16,36	21,89	25,73	29,91	33,08	35,95	38,16	40,14	42,57
80	13,20	12,25	11,65	10,50	9,80	9,20	8,70	8,35	8,25	8,20	8,00
100	12,05	11,40	10,75	9,90	9,25	8,65	8,25	7,95	7,80	7,71	7,65
150	10,65	10,05	9,25	8,45	7,95	7,45	7,00	6,75	6,70	6,65	6,50
200	9,40	8,65	8,30	7,50	6,85	6,45	6,10	5,90	5,85	5,76	5,65
250	8,45	7,80	7,20	6,65	6,15	5,70	5,45	5,20	5,20	5,10	5,00
300	7,50	7,15	6,40	5,95	5,60	5,20	4,85	4,65	4,60	4,75	4,55
350	7,00	6,40	6,00	5,35	5,10	4,75	4,45	4,30	4,25	4,20	4,15

\* По данным анализа.

чески чистый карбонат лития и молотый кристаллический кварц. Стекла варились в корундовых тиглях емкостью 10  $\text{см}^3$  в электропечи, без перемешивания. Вследствие склонности расплавов к кристаллизации производилось вытягивание нитей при температурах 1200—1400°. Из нитей готовились образцы для измерений в форме цилиндров длиной

5 мм, диаметром 3—4 мм. Измерения проводились методом компенсации, электродами служили графитовые слои [2].

Определения электропроводности производились в области температур 80—350° (таблица). Величина ее у всех исследованных стекол следует формуле Френкеля  $\kappa = Ae^{-E/RT}$ . По мере роста содержания кремнезема энергия диссоциации катиона лития  $E_{\text{Li}}$  повышается от 15 до 21 ккал/г-ион. Эти значения примерно равны энергии диссоциации ионов  $\text{Na}^+$ ,  $\text{K}^+$  в силикатных стеклах. Зависимость электропроводности от состава также имеет экспоненциальный характер. При этом изотермы представляют собою отрезки прямой, пересекающиеся в области дисиликата

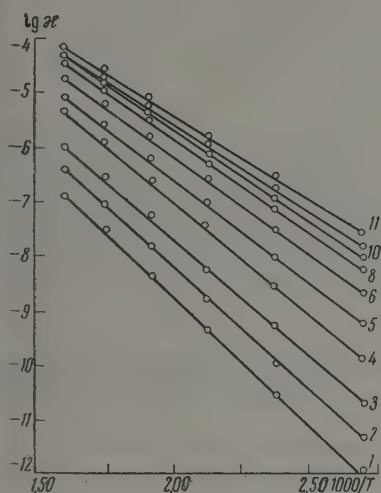


Рис. 1. Зависимость  $\kappa = f(1/T)$  для стекол системы  $\text{Li}_2\text{O} - \text{SiO}_2$ . Номера прямых соответствуют номерам стекол таблицы

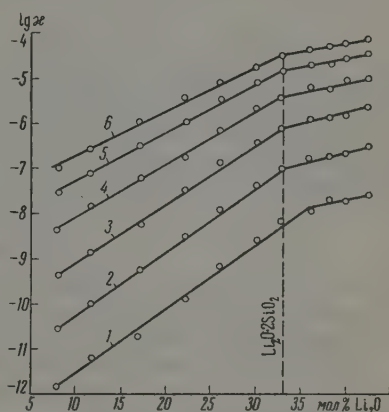


Рис. 2. Изотермы электропроводности стекол системы  $\text{Li}_2\text{O} - \text{SiO}_2$ : 1 — 100; 2 — 150; 3 — 200; 4 — 250; 5 — 300; 6 — 350° C

лития (рис. 2). Следовательно, наблюдается некоторое соответствие между диаграммой состояния и свойством. Можно думать, что в стекловидной фазе кремнелитиевой системы существуют структурные элементы, «свойственные» твердым фазам. Малая вязкость расплавов [3, 4], и как следствие этого, ярко выраженная склонность к кристаллизации, как известно, являются факторами, сближающими структуры стекловидной и кристаллической фаз [5].

Появление излома на изотермах может служить указанием на существование в стекловидной системе двух областей составов. На участке диаграммы  $\text{SiO}_2 - \text{Li}_2\text{Si}_2\text{O}_5$  наблюдается резкое изменение электропроводности. Составы этой области можно рассматривать как типичные стеклообразные сплавы, где полярные группы дисиликата частично изолированы прослойкой свободного, химически несвязанного кремнезема. Поступательное движение катиона, обуславливающего сквозную проводимость, совершается частично в неполярной среде и потому связано с высокой энергией диссоциации. По мере повышения содержания щелочи и соответственно дисиликата взаимоконтактирование частиц последнего усиливается, и вероятность перемещения иона в неполярной среде падает, вследствие этого энергия диссоциации уменьшается, что вызывает резкое увеличение электропроводности. Стекла, расположенные в области, где содержание окиси лития превышает 34 мол.%, имеют качественно отличную структуру. В составе их отсутствует свободный кремнезем, и стекла

полностью состоят из полярных групп соответствующих силикатов, уподобляясь солеобразным сплавам. Движение иона в подобной среде с повышенной диэлектрической проницаемостью совершается с малыми энергетическими затратами, и электропроводность достигает высоких значений. При введении новых порций щелочи характер взаимодействия полярных групп и энергия диссоциации катиона не претерпевают существенных изменений, потому имеет место более плавное изменение электропроводности с составом.

Таким образом, кремнелитиевые стекла одновременно с достаточной химической устойчивостью имеют высокую электропроводность. Подобные стекла представляют несомненный интерес как основа для создания промышленных сортов. Ряду авторов путем введения добавок борного ангидрида и глинозема в кремнелитиевые стекла удалось получить стекла, обладающие высокой проводимостью и хорошими технологическими свойствами [1].

Кремнелитиевые стекла представляют интерес и в другом отношении. Как известно, пока отсутствуют прямые опыты, подтверждающие ионную проводимость стекла (эффект Холла, термо-э.д.с.). Ряд исследователей и сейчас придерживается мнения, что стекло представляет собою электронный проводник [6]. Поскольку основные затруднения для проведения подобных опытов были связаны с высоким сопротивлением стекла, кремнелитиевые стекла могут оказаться удобным объектом в этом отношении.

### Выводы

1. Стекла системы  $\text{Li}_2\text{O} - \text{SiO}_2$  обладают высокими значениями электропроводности; при содержании окиси лития 8—42 мол. % величина ее достигает значений  $\kappa \sim 10^{-10} - 10^{-11} \Omega^{-1} \text{cm}^{-1}$ .

2. Величина электропроводности экспоненциально меняется с составом; изотермы претерпевают отчетливый излом в области составов, отвечающих дисиликату лития.

3. Стекла данной системы могут быть использованы как основа при создании промышленных сортов высокой проводимости.

Поступила  
4.XII.1957

### ЛИТЕРАТУРА

1. A. Dable, E. Pegg, J. Stanworth, J. Soc. Glass Technol., 35, No. 164, 1951.
2. К. С. Евстропьев, А. Я. Кузнецов, И. Г. Мельникова, Ж. техн. физ., 21, 1951.
3. Р. Л. Мюллер, Докторская диссертация, Ленинград, ЛГУ, 1940.
4. Chartsis, Spinner, Cars, J. Amer. Ceram. Soc., 36, 1952.
5. Р. Л. Мюллер, Ж. физ. химии, 30, 1146, 1956.
6. М. Росман, Ж. эксперим. и теор. физ., № 7, вып. 4, 1947.

### ELECTROCONDUCTIVITY OF GLASSES OF THE SYSTEM $\text{Li}_2\text{O} - \text{SiO}_2$

A. Ya. Kuznetsov (Leningrad)

#### Summary

Glasses of the system  $\text{Li}_2\text{O} - \text{SiO}_2$  possess high electroconductivities, reaching a value of  $\kappa \sim 10^{-10} - 10^{-11} \Omega^{-1} \text{cm}^{-1}$  for a lithium oxide content of 8—42 mole %.

The value of electroconductivity changes exponentially with change in composition. The isotherms undergo a break in the region of compositions corresponding to lithium disilicate.

Glasses of this system may be used as basis for the development of industrial grades of high conductivity glass.

## О МЕХАНИЗМЕ СОВМЕСТНОЙ ПОЛИМЕРИЗАЦИИ С УЧАСТИЕМ БИФУНКЦИОНАЛЬНЫХ МОНОМЕРОВ

### II. ОСОБЕННОСТИ ПОЛИМЕРИЗАЦИИ БИНАРНЫХ СИСТЕМ С УЧАСТИЕМ ДИ- $\alpha$ -ХЛОРАКРИЛОВОГО ЭФИРА ЭТИЛЕНГЛИКОЛЯ

*Л. Б. Соколов и А. Д. Абкин*

В сообщении [1] было рассмотрено поведение бинарных систем, одним из компонентов которых был  $\alpha$ -хлоракриловый эфир 2-этоксиэтанола (моноэфир). При исследовании соответствующих систем кинетические зависимости позволяют обнаружить некоторые принципиальные отличительные особенности полимеризации систем с участием бифункциональных мономеров, т. е. мономеров, молекула которых содержит две винильные группировки. В качестве бифункционального мономера, рассмотрению совместной полимеризации которого со стиролом, метилметакрилатом и метилакрилатом посвящено данное сообщение, нами был выбран ди- $\alpha$ -хлоракриловый эфир этиленгликоля (диэфир) — соединение, молекула которого содержит винильные группировки, по своему химическому строению аналогичные винильной группировке молекулы моноэфира.

#### Экспериментальная часть

Исходные вещества и методика исследования. Ди- $\alpha$ -хлоракриловый эфир этиленгликоля (диэфир) был синтезирован нами этерификацией  $\alpha$ -хлоракриловой кислоты этиленгликолем по методике, описанной нами ранее [1]. Данные анализа диэфира:

Найдено %: C — 40,91; 40,68; H — 3,70; 3,85; Cl — 29,0; 29,03,  
Вычислено %: C — 40,20; H — 3,37; Cl — 29,6

$MR_D = 51,77$ , вычислено — 51,005. Мол. вес = 237,  
вычислено — 239,058

Число омыления = 474, вычислено — 469.

$n_D^{20} = 1,482$ ;  $d_4^{20} = 1,31$ ; т. пл. = 32 — 33° C.

Диэфир, применявшийся в кинетических опытах, подвергался двукратной молекулярной разгонке. Методика очистки остальных веществ, так же как и методика наблюдения над скоростью полимеризации, была описана в сообщении [1].

Реакция изучалась при 50° C ( $\pm 0,05^\circ$ ) в растворе метилэтилкетона при общей концентрации мономеров 1 моль/л. Концентрация диэфира учитывалась по концентрации виниловых групп и в случае раздельной полимеризации составляла, следовательно, 0,5 моль/л. Инициатором являлась перекись бензоила (0,04 моль/л). Степень ненасыщенности полимеров определялась по количеству хлора, находящегося у простой связи (омыляемый хлор). Омыление производилось 0,2 N спиртовым раствором КОН в течение 90 мин. при температуре кипения раствора. Было показано, что в выбранных условиях хлор, находящийся у двойной связи, омыляется незначительно.



### Результаты опытов

Раздельная полимеризация диэфира. Было установлено, что скорость полимеризации диэфира остается постоянной до 10—12% превращения мономерной смеси. Существенным является то, что при 3—4% полимеризации наблюдается выпадение полимера из раствора. Скорость полимеризации диэфира в выбранных условиях равна (ненасыщенность полимера составляет 20% от начальной)  $3,22 \cdot 10^{-5}$  моль/л.сек. Скорость полимеризации моноэфира в аналогичных условиях равна  $1,66 \cdot 10^{-5}$  моль/л.сек [1].

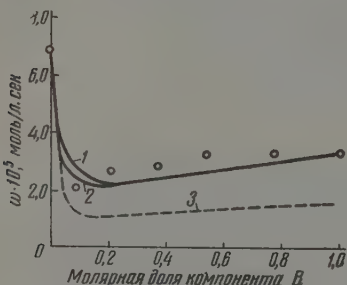


Рис. 1. Кривые зависимости скорости сополимеризации от состава исходной смеси для системы метилакрилат (А) и диэфир (В). Точки — эксперимент, кривые — расчет. по основному уравнению кинетики [1] при  $\lambda = 1$ , 1 —  $\theta = 0,01$ , 2 —  $\theta = 1$ ; 3 — система метилакрилат — моноэфир (В)

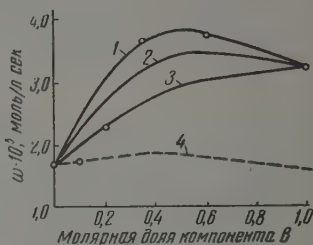


Рис. 2. Кривые зависимости скорости сополимеризации от состава исходной смеси для системы метилметакрилат (А) — диэфир (В). Точки — эксперимент, кривые — расчет. по основному уравнению кинетики при  $\lambda = 1$ : 1 —  $\theta = 0,2$ , 2 —  $\theta = 0,5$ ; 3 —  $\theta = 1$ ; 4 — система метилметакрилат — моноэфир (В)

Совместная полимеризация. Метил а к р и л а т (А) — д и э ф и р (В). Из данных состава (с учетом ненасыщенности сополимера) найдено:  $\alpha = 0,1$ ;  $\beta = 3,6$ .

Было показано, что при совместной полимеризации метилакрилата и диэфира зависимость выхода полимера от времени описывается в начальной стадии процесса прямой линией, причем уже при 0,5—1,0%-ной полимеризации из раствора выпадает осадок полимера. Как видно из рис. 1, на котором представлены кривые зависимости начальной скорости от состава исходной смеси, диэфир в зоне малых относительных количеств, так же как и моноэфир [1], ингибирует полимеризацию метилакрилата. Существенным при этом является то, что при количествах компонента В в смеси, превышающих 0,1 молярную долю, скорости совместной полимеризации с диэфиром больше соответствующих скоростей с моноэфиром во всем интервале составов.

М е т и л м е т а к р и л а т (А) — д и э ф и р (В). Из данных состава сополимеров (с учетом ненасыщенности) найдено:  $\alpha = 0,35$ ;  $\beta = 1,4$ .

Было показано, что скорость совместной полимеризации метилметакрилата и диэфира на начальных стадиях (до 25%) постоянна и что при содержании в исходной смеси более 20% (молярных) диэфира (по концентрации винильных групп) на глубине 5% наблюдается выпадение полимера из раствора. Существенным является то, что скорости сополимеризации метилметакрилата с диэфиром (в области образования нерастворимых полимеров) значительно больше, как это видно из рис. 2, чем с моноэфиром. Было также обнаружено, что диэфир, являющийся, как это следует из данных состава, более реакционноспособным мономером, чем метилметакрилат, полимеризуется раздельно с большей скоростью, чем метилметакрилат (рис. 2). Вместе с тем, исходя из положения об анти-

атности реакционноспособностей мономеров и радикалов [2, 3], мы должны были бы наблюдать обратную зависимость. Причина такой аномалии может быть связана с различием в скоростях обрыва или в скоростях инициирования цепи. Расчет системы по основному уравнению кинетики сополимеризации [1] показал, что  $\lambda = 0,7$  (среднее из трех определений), и, следовательно, его значение мало отличается от соответствующего значения для мономера ( $\lambda = 1$ ).

Далее было установлено, что значение  $\Theta$  для рассматриваемой системы меняется с изменением состава мономерной смеси от  $\Theta = 1$  (при малых концентрациях диэфира) до  $\Theta = 0,2$  при больших концентрациях диэфира (рис. 2);  $\Theta$  становится равным 0,2 в той области составов, когда начинается выпадение осадка. Изменение  $\Theta$  (от 2 до 150) с изменением состава отмечалось и ранее [4].

Стирол (А) — диэфир (В). Из данных состава сополимеров, полученных на глубине 25% (ненасыщенность сополимеров на этой стадии казалась незначительной) найдено  $\alpha = 0,04$ ;  $\beta = 0,2$ . Значения констант сополимеризации для начальных стадий процесса, найденные из скоростей полимеризации по методу, описанному одним из нас ранее [3, 5], следующие:  $\alpha = 0,6$ ;  $\beta = 0,1$ . Таким образом, установлено, что значения констант сополимеризации для системы стирол — диэфир для разных стадий процесса существенно отличаются друг от друга.

Далее было показано, что при сополимеризации стирола и диэфира выпадение полимера из раствора наблюдается на значительной глубине превращения мономеров (12—18%). В случае же систем метилакрилат — диэфир и метилметакрилат — диэфир выпадение полимера, как было отмечено ранее, наблюдается уже на самых ранних стадиях процесса.

Особенно существенным является то, что кинетические кривые сополимеризации этой системы (рис. 3) не являются прямыми линиями, как случае ранее описанных систем с диэфиром, а изображаются кривыми ускорением.

### Обсуждение результатов

Поскольку значения  $\alpha$  и  $\beta$  для систем метилакрилат — диэфир и метилметакрилат — диэфир практически равны значениям констант для систем этих же соединений с моноэфиром, можно сделать вывод о том, что реакционноспособность винильной группы и соответствующего радикала не меняется от того, находится ли эта винильная группа в монофункциональном мономере или в полифункциональном мономере (при отсутствии, конечно, в полифункциональном мономере заместителей, непосредственно влияющих на электронную структуру двойной связи винильной группы).

Такой вывод, однако, справедлив лишь для начальных стадий процесса. Действительно, при определенной глубине процесса может создаться такое положение, когда значительная часть непрореагировавших винильных групп диэфира будет существовать лишь в виде «подвесков», обладающих как бы пониженной реакционноспособностью вследствие повышения доли стерических факторов. Если учесть, что полимерные радикалы (как мы увидим далее) также оказываются закрепленными в полимерной ча-

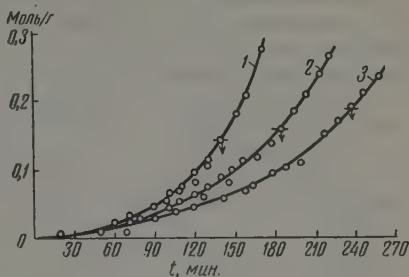


Рис. 3. Кинетические кривые сополимеризации системы стирол (А) — диэфир (В) при различных соотношениях компонентов в исходной смеси. Стрелками обозначена стадия выпадения осадка: 1 —  $B = 0,44$ ; 2 —  $B = 0,68$ ; 3 —  $B = 0,88$

стице, то на глубокой стадии реакции скорость взаимодействия радикалов с винильными группами в виде «подвесков» будет мала. При совместной полимеризации монофункционального мономера (А) с бифункциональным (В) это должно привести к росту величины  $\alpha$  и уменьшению величины  $\beta$  с глубиной реакции.

Было показано [6], что в случае системы метилметакрилат — диметакрилат этиленгликоля даже длительное нагревание в течение нескольких десятков часов не приводит к полному исчезновению ненасыщенности, т. е. к полному исчерпанию диметакрилатного компонента.

Таким образом, на глубоких стадиях сополимеризации с бифункциональным мономером создаются условия, когда реакции роста цепей сильно замедляются вследствие возрастания пространственных затруднений, связанных с сетчатой структурой образующихся полимерных частиц. При этом кинетика сополимеризации с участием бифункционального мономера в общем виде может рассматриваться в рамках теории совместной полимеризации, где в ходе процесса расходуются два компонента и непрерывно возникают винильные «подвески», различающиеся друг от друга по своей реакционной способности. В этом случае бинарная система переходит в многокомпонентную. Детальное рассмотрение такой системы становится практически невозможным, поскольку истинная концентрация винильных подвесков той или другой реакционной способности не может быть определена отдельно.

Зная скорости отдельной полимеризации двух мономеров при одинаковых концентрациях, а также при условии равенства скоростей инициирования (ранее было показано, что для моно- и диэфира  $\lambda = 1$ ) можно по значению параметра  $\frac{K_p}{K_o^{1/2}}$ , известному для одного из них, найти значение этого параметра для другого из уравнения:

$$\omega = \frac{K_p}{K_o^{1/2}} v_{ин}^{1/2} [M],$$

где  $\omega$  — скорость полимеризации;  $K_p$  и  $K_o$  — константы скорости реакций роста и обрыва;  $v_{ин}$  — скорость инициирования;  $[M]$  — концентрация мономера.

Приравняв, согласно литературным данным [2, 7 — 9], значение  $K_p/K_o^{1/2}$  для метилакрилата 0,5, для стирола 0,02, мы нашли, что значение этого параметра для моноэфира равно 0,13, а для диэфира 0,26 (при 50°C).

Ранее было показано, что скорости реакций роста для моноэфира и диэфира одинаковы; следовательно, обнаруженное различие в значениях  $K_p/K_o^{1/2}$  для этих мономеров должно быть обусловлено различием в скоростях обрыва цепи. Отсюда следует, что удельная скорость реакций обрыва при полимеризации диэфира в четыре раза меньше скорости реакций обрыва при полимеризации моноэфира.

Методом парамагнитного резонанса было установлено [10], при полимеризации диметакрилата этиленгликоля, диакрилата этиленгликоля и других бифункциональных мономеров в блоке, концентрация свободных радикалов после полимеризации до стадии геля чрезвычайно высока (до  $10^{-3}$  моль/л) и что количество радикалов после длительного хранения (до 3 месяцев) заметно не уменьшается. Наши данные показывают, что при полимеризации бифункциональных мономеров не только в блоке, но и в растворе длительность жизни полимерных радикалов увеличивается. Можно поэтому утверждать, что малые скорости реакций обрыва являются специфичной особенностью полимеризации бифункциональных мономеров.

Правильность вывода об уменьшении скорости реакций обрыва при сополимеризации с участием бифункциональных мономеров была подтверждена нами исследованием послесветовой полимеризации. Были

исследованы системы метилакрилат — диэфир и метилакрилат — метил- $\alpha$ -хлоракрилат, а также — стирол — диэфир и стирол — метил- $\alpha$ -хлоракрилат. Концентрация метил- $\alpha$ -хлоракрилата в этих опытах составляла 0,4 моль/л (общая концентрация мономеров была равна 1 моль/л).

Результаты опытов для систем с метилакрилатом представлены на рис. 4 (аналогичные результаты были получены при исследовании систем стирол — метил- $\alpha$ -хлоракрилат, стирол — диэфир). Из рис. 4 видно, что затухание процесса после выключения света в случае систем с диэфиром происходит медленнее (кривая 1), чем в случае систем с метил- $\alpha$ -хлоракрилатом. Это указывает на то, что в системах с диэфиром понижение концентрации радикалов происходит медленнее, чем в системах, содержащих монофункциональный мономер.

Скорость реакции радикалов при бимолекулярном обрыве равна:

$$-\frac{dn}{dt} = K_0 n^2,$$

где  $K_0$  — константа скорости реакций обрыва;  $n$  — число радикалов;  $t$  — время после выключения света.

После интегрирования приведенное уравнение принимает вид:

$$K_0 = \frac{1}{t - t_1} \left( \frac{1}{n} - \frac{1}{n_1} \right).$$

В случае двух мономеров (при одинаковых  $t$  и  $t_1$ ) можно написать:

$$\frac{K_0}{K'_0} = \frac{\left( \frac{1}{n} - \frac{1}{n_1} \right)}{\left( \frac{1}{n'} - \frac{1}{n'_1} \right)}.$$

Принимая, что скорость реакции пропорциональна  $n$  и подставляя значения ее для соответствующих  $t$ , находим, что удельная скорость обрыва в системе метилакрилат — диэфир в 2,5—3 раза меньше соответствующей скорости обрыва для системы метилакрилат — метил- $\alpha$ -хлоракрилат.

Уменьшение скорости реакций обрыва при сополимеризации с участием бифункциональных мономеров обусловлено, по-видимому, сетчатой структурой сополимера. Образование сополимеров сетчатой структуры при сополимеризации с участием бифункциональных мономеров было постулировано Штаудингером [11] еще в 1935 г. Если учесть, что сетчатая макромолекула является жестким образованием, то естественно, что рекомбинация радикалов как внутри такой полимерной частицы, так и радикалов, принадлежащих двум макромолекулам, сильно затрудняется. Это неизбежно должно привести к увеличению общей скорости полимеризации. Структура полученных нами сополимеров с диэфиром была подробно исследована методом светорассеяния. Некоторые данные приведены в таблице (см. стр. 1500).

Данные таблицы показывают, во-первых, что сополимеры с диэфиром имеют значительно больший молекулярный вес, чем сополимеры с моноэфиром, что обусловлено, несомненно, разветвлением полимерной молекулы за счет реакций роста «подвесков». В то же время данные таблицы показывают, что, несмотря на большие молекулярные веса, сополимеры с диэфиром имеют в хорошем растворителе малые (по сравнению с линейными поли-

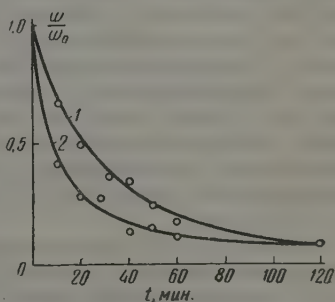


Рис. 4. Кривые послесветовой полимеризации для систем: 1 — метилакрилат — диэфир и 2 — метилакрилат — метил- $\alpha$ -хлоракрилат



Сополимер	Молекулярный вес $\times 10^{-3}$	Размер макромолекул, А		Изменение объема при сжатии $\frac{h_x}{h_n}$
		Растворитель		
		хороший (дихлорэтан) $h_x$	плохой (дихлорэтан + метилов. спирт) $h_n$	
Стирол *	1,6	1400	930	3,4
Стирол + моноэфир (0,17)** 1 фр.	0,25			
Стирол + диэфир (0,18) 1 фр.	7,65	1060	1030	1,1
Стирол + диэфир (0,85) 1 фр.	9,75	1040	930	1,4
Стирол + диэфир (0,85) II фр.	2,95	1000	850	1,6

\* Данные Цимма 12.

\*\* В скобках даны молярные доли моно- и диэфира в исходной смеси.

мерами) размеры. Это указывает на большую плотность сополимеров с диэфиром, чем плотность линейных полимеров, что непосредственно связано с разветвленной или сетчатой структурой макромолекулы. Из таблицы видно также, что сополимеры с диэфиром при переходе от хорошего растворителя к плохому сжимаются меньше, чем линейные. Плохая сжимаемость сополимеров с диэфиром указывает на их большую жесткость, чем в случае линейных полимеров. Это опять-таки указывает на разветвленность или сетчатость сополимеров с диэфиром. Аналогичные результаты были получены при исследовании методом светорассеяния сополимеров метилакрилата и диэфира. Таким образом образование сетчатых полимерных молекул при совместной полимеризации с участием бифункциональных мономеров доказано прямыми исследованиями молекулярных весов и геометрических размеров макромолекул сополимеров методом светорассеяния. Очевидно, что при условиях, устраняющих возможность образования сетчатого сополимера, кинетика полимеризации диэфира должна совпадать с кинетикой полимеризации моноэфира. Это должно иметь место, во-первых, при малых добавках диэфира, а, во-вторых, на самых ранних стадиях процесса. Наши данные (рис. 1, 2) действительно показывают, что кинетика сополимеризации с участием диэфира при малых его добавках совпадает с кинетикой полимеризации тех же мономеров с моноэфиром.

Наряду с этим простой расчет показал, что участок, где скорость полимеризации диэфира возрастает от скорости полимеризации моноэфира до постоянного ее значения, наблюдаемого на опыте, лежит в пределах точности нашего эксперимента.

Ранее нами было отмечено, что значения констант  $\alpha$  и  $\beta$  для системы стирол — диэфир меняются с глубиной процесса так, что значение  $\alpha$  (для радикала из монофункционального мономера) уменьшается, а  $\beta$  (для радикала из бифункционального мономера) увеличивается. Это приводит к выводу о том, что в данном случае изменение значений констант сополимеризации не связано с пространственными факторами, ибо при этом значения  $\alpha$  и  $\beta$  должны были бы меняться с глубиной в обратном направлении. Наиболее правдоподобное объяснение этого (установленного нами) экспериментального факта следует искать в сложной микрогетерогенности структуры, возникающей в системе стирол — диэфир, и в изменении этой структуры в ходе процесса. Ранее было показано, что одной из существенных особенностей системы стирол — диэфир при полимеризации (по сравнению с другими изученными нами системами) является выпадение полимера на относительно глубоких стадиях процес-

ра (12—18%). Вместе с тем исследование молекулярных весов и геометрических размеров полимерных частиц методом светорассеяния показало (таблица), что полимеры, образующиеся до стадии выпадения из раствора, обладают всеми особенностями разветвленных и сетчатых образований. Естественно допустить, что соотношение между реагирующими мономерами в той стадии реакции, в которой образуется разветвленный и сетчатый полимер, иное, чем в исходной реакционной смеси, вследствие различий в их растворимости.

К сожалению, мы не имеем данных о значении коэффициента распределения мономеров между полимерной «сеткой» и раствором. Можно думать, что при учете коэффициента распределения значения констант сополимеризации на глубоких стадиях процесса не должны отличаться от их значений на начальных стадиях. Таким образом, здесь значительную роль играют топохимические факторы, аналогично тому, как это имеет место при совместной полимеризации в эмульсии мономеров, различно растворяющихся в фазах эмульсии.

Следует отметить, что в системах метилакрилат — диэфир и метилметакрилат — диэфир зависимость величин констант от глубины процесса не наблюдается вследствие выпадения полимера из раствора на самых ранних стадиях полимеризации и фактически его полного выхода из сферы реакции, так как полимер совершенно не набухает в реакционной среде.

Выпадение полимера из раствора на той или иной стадии полимеризации, как это было установлено нами, обусловлено прежде всего соотношением между реакционной способностью винильных «подвесков» бифункционального соединения и радикала монофункционального мономера. Добавление к бифункциональному мономеру монофункционального, образующего активные радикалы, приводит к образованию и выпадению сетчатого полимера на более ранних стадиях полимеризации (метилакрилат). Наоборот, добавление мономера, образующего малоактивные радикалы, приводит к замедлению реакции, ведущей к сеткообразованию.

Ранее было показано, что характерной кинетической особенностью системы стирол — диэфир является возрастание скорости процесса во времени. Это возрастание можно было бы объяснить уменьшением скорости реакций обрыва в ходе процесса. Однако исследование послесветовой полимеризации рассматриваемой системы показало, что в этом случае константа скорости обрыва уменьшается всего в несколько раз, в то время как наблюдающееся ускорение требует уменьшения скорости обрыва в ~140 раз. Подробный анализ кинетических кривых сополимеризации стирола и диэфира показал, что скорость реакции после определенного линейного участка увеличивается пропорционально количеству сополимера. Кинетические кривые сополимеризации для этой системы изображаются прямой линией в координатах (выход полимера) — время (рис. 5). Таким образом, ускорение процесса в случае системы стирол — диэфир связано с дополнительным накоплением (по сравнению с актами роста) радикалов в системе за счет мономерно-полимерной системы.

Одной из наиболее вероятных возможностей для возникновения этих «избыточных» радикалов в системе являются реакции передачи цепи в результате отрыва полимерным радикалом атомов водорода или хлора. Сле-

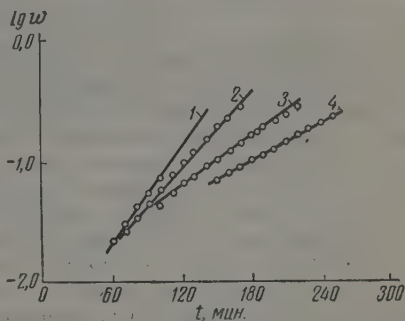


Рис. 5. Кинетические кривые полимеризации системы стирол (А) — диэфир (В) в координатах  $\lg w$  (выход полимера) — время. 1 —  $B = 0,5$ ; 2 —  $B = 0,44$ ; 3 —  $B = 0,68$ ; 4 —  $B = 1,88$

дует отметить, что реакции передачи цепи через полимер в случае образования линейных полимеров не приводят к увеличению скорости полимеризации. При сетчатой структуре полимера реакции передачи цепи через полимер приводят к увеличению количества радикалов, закрепленных в сетке, а следовательно, к увеличению общей скорости процесса. Существенным фактором в ускорении процесса в случае системы стирол — диэфир могут явиться реакции инициирования винильных «подвесков» в сополимере.

Авторы глубоко благодарят акад. С. С. Медведева за ценные советы и интерес к работе.

### Выводы

1. Исследована кинетика раздельной полимеризации ди- $\alpha$ -хлоракрилового эфира этиленгликоля (диэфир). Показано, что скорость полимеризации диэфира в два раза больше, чем скорость полимеризации моноэфира, несмотря на одинаковую химическую природу обоих мономеров.

2. Исследована кинетика совместной полимеризации метилакрилата метилметакрилата и стирола с диэфиром. Из данных о составе, а также из кинетических данных получены сведения о реакционной способности мономерных молекул диэфира и соответствующих радикалов.

3. Методом светорассеяния установлено, что при сополимеризации с участием бифункционального мономера в процессе полимеризации образуются разветвленные и сетчатые сополимеры.

4. На примере систем метилакрилат — диэфир и метилметакрилат — диэфир показано, что реакционная способность винильных групп диэфира на ранних стадиях одинакова с реакционной способностью винильных групп в моноэфире.

5. Установлено, что основной особенностью сополимеризации с участием бифункционального мономера являются малые скорости реакции обрыва, что обусловлено сетчатым строением образующегося сополимера. Указанная особенность обуславливает всю специфику кинетического поведения систем с бифункциональным мономером.

6. Рассмотрены специфические особенности системы стирол — диэфир. Высказано предположение о том, что наблюдающееся возрастание скорости процесса во времени обусловлено накоплением радикалов в системе в результате реакции передачи цепи через полимер или реакции инициирования винильных «подвесков».

Физико-химический институт  
им. Л. Я. Карпова

Поступила  
13.XII.1957

### ЛИТЕРАТУРА

1. Л. Б. Соколов, А. Д. Абкин, Ж. физ. химии, **33**, 6, 1959.
2. Х. С. Багдасарьян, Диссертация. Ин-т им. Л. Я. Карпова, Москва, 1950.
3. А. Д. Абкин, Вопросы химической кинетики, катализа и реакционной способности. АН СССР, 1955, 338 стр.
4. E. P. Bonsal, L. Valentine, H. W. Melville, J. Polymer. Sci., **7**, 39, 1951.
5. А. Д. Абкин, Диссертация. Институт им. Л. Я. Карпова, Москва, 1951.
6. C. S. Loshaek, T. G. Fox, J. Amer. Chem. Soc., **75**, 3544, 1953.
7. M. S. Matheson, E. E. Auer, E. B. Bevilacqua, E. J. Hart, J. Amer. Chem. Soc., **73**, 5395, 1951.
8. M. S. Matheson, E. E. Auer, E. B. Bevilacqua, E. J. Hart, J. Amer. Chem. Soc., **73**, 1700, 1951.
9. G. M. Burnett, Trans. Faraday Soc., **46**, 772, 1950.
10. G. K. Frankel, J. M. Hirson, C. Walling, J. Amer. Chem. Soc., **76**, 3606, 1954.
11. H. Staudinger, E. Huseman, Ber., **68**, 1618, 1935.
12. P. Outer, C. J. Carr, B. H. Zimm, J. chim. phys., **18**, 830, 1951.

**MECHANISM OF COPOLYMERIZATION WITH THE PARTICIPATION  
OF BIFUNCTIONAL MONOMERS. II*****L. B. Sokolov and A. D. Abkin (Moscow)*****S u m m a r y**

A study has been made of the copolymerization of ethyleneglycolyl di- $\alpha$ -chloroacrylate with a number of monomers of varying reactivity.

Based on the kinetic results and on data on the molecular characteristics from light scattering studies of the copolymers formed, it has been established that the main feature of copolymerization with the participation of a bifunctional monomer is the low rate of chain breaking due to the network structure of the polymer.

It has been shown that acceleration of the process with time in the case of the system styrene — diester is due to the additional accumulation of radicals in the network polymer resulting from the propagation or initiation reaction.

---



## ОКИСЛЕНИЕ ФЕНОЛА НА ПЛАТИНОВОМ ВРАЩАЮЩЕМСЯ АНОДЕ\*

В. И. Гинзбург

За последнее время внимание исследователей все больше привлекает перспектива использования твердых электродов для целей полярографического анализа и изучения кинетики электрохимических процессов. Эта тенденция обусловлена стремлением избежать некоторых известных недостатков ртутно-капельного электрода, которые в определенной мере ограничивают развитие этой области электрохимии.

Поскольку ртуть подвержена окислению и растворению при низких анодных потенциалах, то несомненно приобретает особо важное значение перспектива использования твердых электродов для полярографического исследования и анализа тех классов органических соединений, которые либо подвержены прямому окислению, либо являются сильными окислителями.

Следует, однако, подчеркнуть, что практическое использование твердых анодов для целей полярографического анализа органических соединений наталкивается на ряд серьезных трудностей, связанных с особенностями диффузионной кинетики и специфическими изменениями физико-химического состояния поверхности твердого электрода, происходящими в процессе анодной поляризации.

Вероятно, именно этими затруднениями обусловлено, что эта интересная проблема представлена в литературе всего несколькими работами [1—6], причем их результаты не удовлетворяют требованиям воспроизводимости и точности количественного полярографического анализа.

В настоящей работе изучался процесс окисления фенола на платиновом вращающемся аноде, что представляло интерес как для разрешения частной задачи, так и более общей, связанной с изысканием рациональных путей полярографического анализа широкого класса органических соединений, способных окисляться на твердых анодах.

## Экспериментальная часть

**Методика.** Кривые ток — потенциал снимались на вращающемся платиновом аноде по методике, разработанной и описанной нами ранее [7].

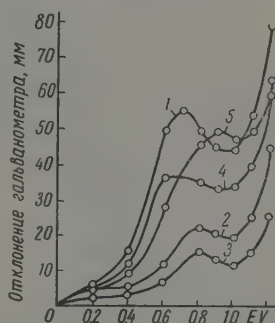
Электрод из платиновой проволоки диаметром 1—1,5 мм и длиной 5—7 мм располагался в вертикальной плоскости и строго центрировался. Открытая электролитическая ячейка имела две секции, разделенные тонкой пробкой из агар-агара. Одна из секций заполнялась испытуемым раствором, в который был погружен платиновый вращающийся анод, а другая секция представляла собой насыщенный каломельный полуэлемент, электрод которого выполнял одновременно функции катода и электрода сравнения. Измерения производились на автоматических полярографах системы Гейровского типа В-301, М-1026 и на электронном полярографе с дисковой диаграммой. В работе все потенциалы отнесены к насыщенному каломельному электроду.

**Результаты экспериментов.** Предварительными экспериментами было установлено, что, с одной стороны, ход и высота диффузионной волны, а также воспроизводимость результатов в значитель-

\* В экспериментальной части работы принимали участие Т. А. Фришман и А. И. Ермаков.

й мере зависят от характера предварительной подготовки платинового электрода, а с другой стороны, что за период снятия одной полярограммы происходит своеобразное «отравление» электрода. Последнее проявлялось в том, что на поверхности электрода отлагался едва заметный темно-коричневый налет продуктов окисления фенола, а диффузионные токи и, следовательно, чувствительность электрода по току резко снижались от опыта к опыту. Попытки полностью устранить «отравление» электрода при помощи химической обработки его поверхности различными органическими растворителями, царской водкой, нагретыми растворами серной кислоты и щелочей не увенчались успехом. Для этой цели также недостаточно эффективной оказалась электрохимическая обработка электрода.

Рис. 1. Влияние условий обработки электрода на ход последовательно снимаемых полярографических волн. Концентрация фенола  $0,65 \cdot 10^{-4} M$ ; фон  $0,1 M NaNO_3 + 0,1 M NaH_2PO_4$ ; скорость поляризации  $2,6 mV/сек.$ : 1 — обжиг 2—3 сек.; 2 — без обжига; 3 — без обжига; 4 — обжиг 2—3 сек.; 5 — зачистка и обжиг



На рис. 1 показаны специфические особенности «отравления» платинового вращающегося анода при полярографическом определении фенола, а также влияние условий обработки электрода между измерениями на возможность устранения этого явления. Из рис. 1 видно, что на всех последовательно снимаемых полярограммах в растворе, содержащем постоянную концентрацию фенола (равную  $0,65 \cdot 10^{-4} M$ ), «отравление» электрода характеризуется снижением диффузионных токов (кривые 1, 2, 3) и образованием на полярограммах типичных максимумов.

Предварительный кратковременный (2—3 сек.) обжиг электрода в окислительном пламени газовой горелки (прием применен впервые в работе [5]) только частично устраняет последствия «отравления» электрода (кривая 4). В случае применения последовательно операций снятия налета (беззольной фильтровальной бумагой) и обжига электрода достигается лучший эффект (кривая 5).

Из результатов предварительного исследования можно было сделать вывод, что для разработки количественной полярографической методики анализа необходимо прежде всего найти условия подготовки электрода, обеспечивающие воспроизводимое и стандартное состояние его поверхности, а также изыскать способ предотвращения или устранения «отравления» электрода за период снятия одной полярограммы и при последовательном снятии нескольких полярограмм.

Эта задача была экспериментально решена в двух вариантах.

Методика первого варианта подготовки платинового электрода состояла из следующих операций: 1) обработка гладкого платинового электрода в течение 5 сек. в концентрированной азотной кислоте; 2) промывка в дистиллированной воде; 3) трехкратная ступенчатая анодная поляризация в растворе фона в интервале  $0,0—1,5 V$ . Электрод, подвергнутый однажды такой подготовке, пребывает длительное время (до одного месяца) в рабочем состоянии без дополнительной подготовки. После снятия каждой полярограммы удаляется при помощи беззольной фильтровальной бумаги коричневый налет продуктов окисления фенола, а затем производится кратковременный обжиг электрода ( $\sim 2$  сек.) в окислительном пламени газовой горелки. Перед снятием каждой полярограммы потенциал

платинового анода до исходного стандартного значения при помощи короткого замыкания на каломельный электрод.

Во втором упрощенном варианте операция анодной поляризации отсутствует, а обжиг электрода проводится несколько дольше (5—6 сек.), до появления красного каления. Было установлено, что применение либо анодной обработки электрода, либо обжига электрода является необходимым условием для получения малых остаточных токов и четких воспроизводимых волн фенола, отвечающих большим предельным токам. С другой стороны, было показано, что операция обжига

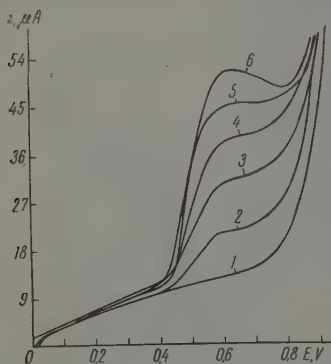


Рис. 2. Полярограммы для фенола на платиновом вращающемся аноде. Скорость поляризации 8,3 мВ/сек.: 1—фон 0,1 М  $\text{NaNO}_3 + 0,1 \text{ М } \text{H}_3\text{BO}_3 + \text{NaOH}$ ; pH = 10,8; 2—концентрация фенола  $2 \cdot 10^{-5} \text{ М}$ ; 3— $4 \cdot 10^{-5} \text{ М}$ ; 4— $6 \cdot 10^{-5} \text{ М}$ ; 5— $8 \cdot 10^{-5} \text{ М}$ ; 6— $1,0 \cdot 10^{-4} \text{ М}$

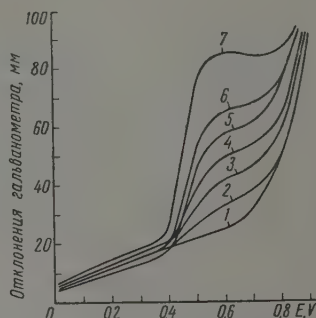


Рис. 3. Полярограммы для фенола на платиновом вращающемся аноде. Скорость поляризации 6,2 мВ/сек.: 1—фон; 2—концентрация фенола  $2 \cdot 10^{-5} \text{ М}$ ; 3— $4 \cdot 10^{-5} \text{ М}$ ; 4— $6 \cdot 10^{-5} \text{ М}$ ; 5— $8 \cdot 10^{-5} \text{ М}$ ; 6— $1,0 \cdot 10^{-4} \text{ М}$ ; 7— $1,5 \cdot 10^{-4} \text{ М}$

электрода продолжительностью 5—6 сек. не только заменяет действие анодной обработки, но, кроме того, одновременно устраняет последствия «отравления» электрода.

Полученные в настоящей работе результаты по изысканию рациональной методики подготовки поверхности платинового анода и литературные данные по окислению платины [9—13] дают основание предполагать, что предварительная анодная обработка или обжиг платинового электрода активизируют и повышают его окислительную способность. Однако интересный вопрос о механизме воздействия обжига на состояние поверхности платинового анода остается открытым. По-видимому, для его разрешения требуется проведение специального исследования.

При использовании вращающегося электрода следовало ожидать, что если электрохимический процесс окисления фенола лимитируется концентрационной поляризацией, то фактор скорости вращения платинового анода будет оказывать определенное влияние на полярографические параметры и в особенности на величину предельного тока. Действительно, было установлено, что по мере повышения числа оборотов вращающегося электрода предельный ток закономерно возрастает: при увеличении скорости вращения электрода от 60 до 1000 об/мин. наблюдается рост предельного тока на 45—50 %. Максимальная скорость вращения, выше которой диффузионные токи более не нарастали, отвечала примерно 1100 об/мин. Излагаемые далее опытные данные получены на платиновых электродах,готавливаемых и обрабатываемых по упомянутой оптималь-

ной методике и имеющих стабильную скорость вращения выше 1200 об/мин. На рис. 2 и 3 приведены две типичные серии фотопольярограмм для одного раствора фенола, снятые на различных автоматических полярографических приборах при использовании двух разных платиновых анодов.

Рис. 4 иллюстрирует полярограммы на дисковой диаграмме, снятые

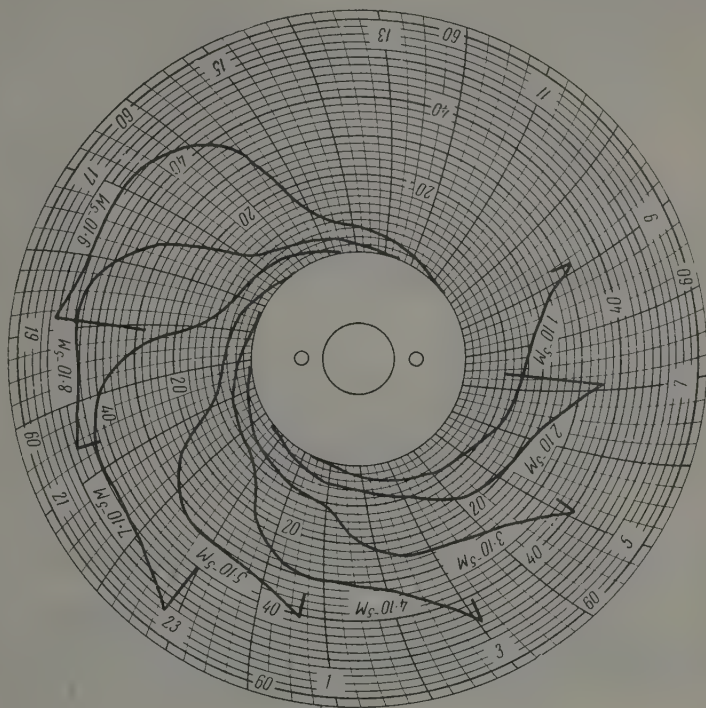


Рис. 4. Полярограммы для  $1,0 \cdot 10^{-5}$  —  $9,0 \cdot 10^{-5}$  М фенола, снятые на электронном полярографе с дисковой диаграммой. Скорость поляризации 6,0 мВ/сек.

на указывающем и записывающем электронном полярографе специальной конструкции, разработанной в НИИСС В. И. Гинзбургом и Л. С. Кляйнштейном.

Для каждой серии измерений были получены хорошо воспроизводимые результаты.

На рис. 5 показана зависимость предельного тока от концентрации для серий полярограмм рис. 3.

Как видно из рис. 2, 3, 4 и 5, при данных условиях опыта наблюдаются четко выраженные диффузионные волны, отвечающие большим предельным токам. При этом в диапазоне концентрации  $1,0 \cdot 10^{-5}$  —  $1,0 \cdot 10^{-4}$  М хорошо соблюдается линейный характер зависимости предельного тока от концентрации. Дальнейшее увеличение концентрации выше  $1,0$ — $1,25 \cdot 10^{-4}$  М приводит к появлению и постепенному усилению максимумов на кривых, что сопровождается нарушением линейности функции  $i_d$  —  $c$ . Так, из рис. 3 и 5 можно видеть, что при концентрации  $1,5 \cdot 10^{-4}$  М на полярограмме имеется явный максимум, а величина предельного тока несколько меньше той, которая отвечает строгой линейной зависимости функции  $i_d$  —  $c$  (точка на рис. 5 расположена несколько ниже прямой).

Рассмотренные опытные данные прежде всего решили вопрос о прин-



ципальной возможности количественного полярографического анализа небольших количеств фенола в водных растворах. Следовало также сделать вывод о том, что при определенных неизменных условиях опытный переход от нормальных полярографических волн к аномальным, имеющим максимумы, совершается при определенной концентрации фенола названной нами условно «критической» концентрацией. В дальнейшем

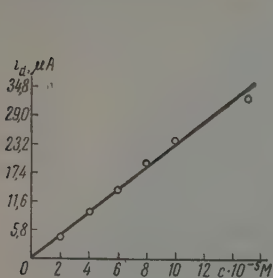


Рис. 5

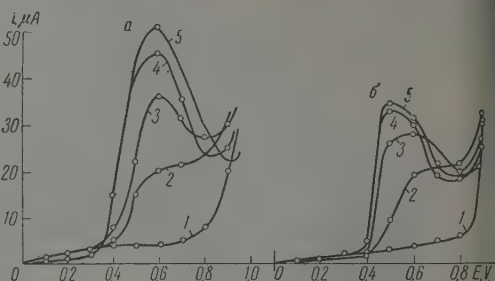


Рис. 6

Рис. 5. Зависимость максимального тока от концентрации фенола на платиновом вращающемся аноде. Скорость поляризации 6,2 мВ/сек.

Рис. 6. Зависимость максимального тока на платиновом вращающемся аноде от скорости поляризации: а — скорость поляризации 12,4 мВ/сек.; б — скорость поляризации 6,2 мВ/сек.; 1 — фон; 2 — концентрация фенола  $1,0 \cdot 10^{-4}$  М, 3 —  $2,5 \cdot 10^{-4}$  М; 4 —  $5,0 \cdot 10^{-4}$  М; 5 —  $7,5 \cdot 10^{-4}$  М

приводятся результаты исследования зависимости некоторых полярографических характеристик и степени «отравления» электрода от условий снятия полярограмм.

На рис. 6 показано влияние изменения скорости поляризации (наложения потенциала) в пределах 6—12 мВ/сек. на форму полярограмм и величину предельных максимальных токов для широкого диапазона концентраций фенола. На рис. 7 при-

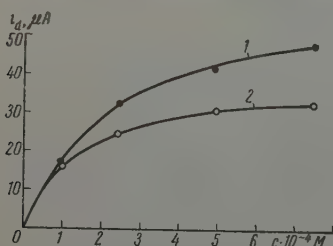


Рис. 7. Зависимость максимального тока от концентрации фенола на платиновом вращающемся аноде при разных скоростях поляризации: фон — 0,1 М  $\text{NaNO}_3$  + 0,1 М  $\text{H}_3\text{BO}_3$  +  $\text{NaOH}$ ; pH=10,8; 1 — скорость поляризации 12,4 мВ/сек.; 2 — скорость поляризации 6,2 мВ/сек.

ведены соответствующие зависимости предельного тока от концентрации.

Из рис. 6 и 7 видно, что при соблюдении тождественных условий полярографирования повышение скорости поляризации приводит к заметному росту «критической» концентрации, отвечающей появлению максимума на полярограммах. Характер зависимости  $i_d$  —  $c$  при различных скоростях поляризации электрода подчиняется одной и той же закономерности: в узком интервале концентраций (до  $1,0 \cdot 10^{-4}$  М) соблюдается линейная зависимость функции  $i_d$  —  $c$ , а в широком диапазоне концентраций, независимо от скорости поляризации, функция имеет явно нелинейный ход.

Отмечается при этом, что повышение скорости поляризации приводит к возрастанию предельных диффузионных токов, причем с увеличением концентрации разница между предельными токами при неодинаковых скоростях поляризации возрастает (рис. 7).

Каждому режиму полярографического окисления фенола на вращающемся платиновом аноде отвечает некоторая предельная концентрация

ше которой не происходит нарастания измеряемого тока. Эта «предельная» концентрация характеризует окончательное нарушение диффузионной кинетики и отражает состояние полного «отравления» электрода. Как видно из рис. 7, при скорости поляризации, равной 6,2 мВ/сек. (кривая 2), «предельная» концентрация составляет примерно  $1 \cdot 10^{-3}$  М.

На рис. 8 приведены данные, характеризующие влияние изменения скорости поляризации в пределах 1,5—6 мВ/сек. на некоторые полярографические характеристики для постоянной концентрации фенола  $4,0 \cdot 10^{-5}$  М. Как следует из рис. 8, фактор скорости поляризации оказывает наиболее существенное влияние на диффузионные и остаточные токи.

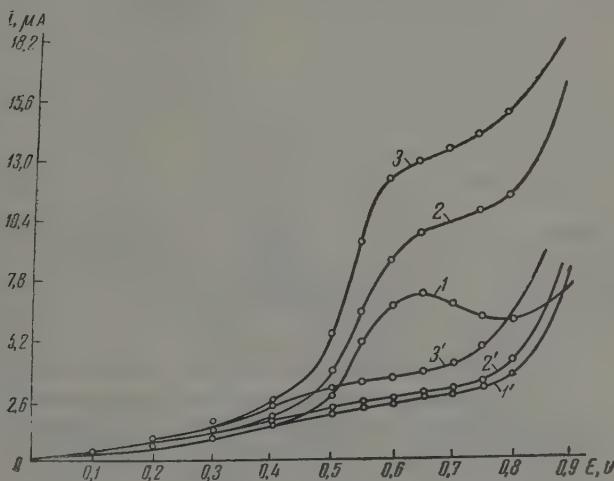


Рис. 8. Влияние скорости поляризации вращающегося платинового анода на полярографические характеристики: 1 и 1' — скорость поляризации 1,5 мВ/сек., для фенола и фона; 2 и 2' — скорость поляризации 3,0 мВ/сек.; 3 и 3' — скорость поляризации 6,0 мВ/сек.

ак, при скоростях изменения потенциалов 1,5; 3,0 и 6,0 мВ/сек. остаточные токи соответственно равны 2,6; 2,9; 3,9 мА, а предельные диффузионные токи 4,6; 7,3; 9,4 мА. Нарастание предельного тока в указанных интервалах скоростей поляризации составляет 58,8 и 28,8%, а в широком диапазоне скорости от 1,5 до 6,0 мВ/сек. — 104,3%.

Опытные данные, приведенные на рис. 2, 3, 6, 7, 8, обращают внимание прежде всего на тот факт, что при режиме высокой скорости вращения электрода (выше 1200 об/мин.) и большой скорости поляризации ток формируется за счет очень высоких концентрационных градиентов в тонком приэлектродном слое.

В свою очередь, из формы полярограмм и характера нарастания предельного тока в зависимости от скорости поляризации и концентрации фенола (рис. 6, 7, 8) можно сделать вывод о том, что в условиях поляризации со скоростью до 3—4 мВ/сек. имеет место нестационарный, а при скорости поляризации 5—6 мВ/сек. наступает стационарный (или близкий к нему) режим диффузии. Проявление максимумов на кривых  $i-E$  не связано с нестационарностью диффузионного процесса, а обусловлено только явлением «отравления» электрода, вызванного адсорбцией на его поверхности продуктов окисления фенола за период снятия полярограммы. По-видимому, чем больше скорость поляризации и ниже концентрация фенола, тем в единицу времени меньшее количество фенола подвергается анодному окислению и, следовательно, тем меньше степень «отравления» электрода и вероятность снятия диффузионных огра-

ничений. Действительно, при скорости поляризации 1,5 мВ/сек. (рис. 6) на кривых  $i - E$  возникает максимум даже при концентрации фенола  $4 \cdot 10^{-6} M$ , в то время как при скорости поляризации 6,0 мВ/сек. и выше максимум появляется только при концентрации фенола выше  $1,0 \cdot 10^{-4} M$ . В последнем случае появление максимумов сопровождается непременно нарушением линейной зависимости функции  $i_d - c$  (рис. 6, 7).

Существенно, что потенциал полуволны практически не изменяется ( $E_{1/2} \approx 0,510 V$ ) при возрастании скорости поляризации.

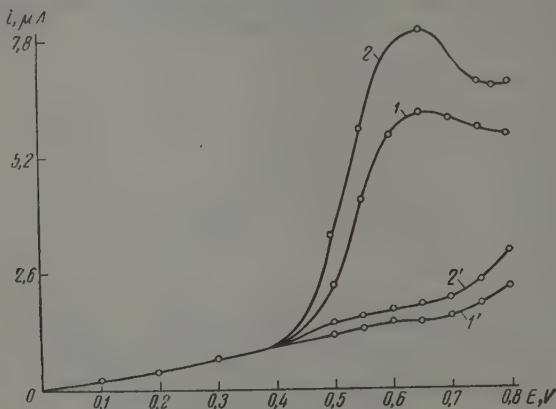


Рис. 9. Влияние температуры на полярографические характеристики. Концентрация фенола  $6 \cdot 10^{-6} M$ ; скорость поляризации 3,0 мВ/сек.; 1 и 1' — полярограммы фенола и фона при 20°; 2 и 2' — полярограммы фенола и фона при 30°

Увеличение остаточных токов с возрастанием скорости поляризации надо полагать, вызывается не только более ускоренным зарядением при электродного слоя, но также повышением емкости электрода за счет протекания анодного процесса адсорбции кислорода на поверхности активированной платины.

Данные на рис. 9 показывают влияние температуры на полярографические характеристики для вращающегося платинового электрода при скорости поляризации 3 мВ/сек. и постоянной концентрации фенола, равной  $6 \cdot 10^{-6} M$ . Из рис. 9 видно, что диффузионный ток растет по мере повышения температуры. Средний температурный коэффициент предельного тока в интервале 20—30°С при указанном режиме полярографирования составляет 2,9% на 1°С. Однако было установлено, что температурный коэффициент предельного тока несколько возрастает (до 3,5%) при увеличении концентрации фенола и скорости поляризации. Изменение температуры при всех режимах снятия полярограмм не оказывает заметного влияния на потенциал полуволны. Повышение температуры способствует возникновению максимумов на полярограммах и, следовательно, некоторому снижению «критической» концентрации. Остаточный ток также возрастает с повышением температуры. Так, при потенциале  $E = 0,65 V$  остаточный ток при 20° и 30°С соответственно составляет 1,4 и 1,8 мкА.

Установленный факт независимости потенциала полуволны от температуры, а также сравнительно невысокий температурный коэффициент предельного тока убедительно свидетельствуют о том, что при данном режиме полярографирования контролирующей стадией электрохимического процесса окисления фенола является процесс диффузии (а не адсорбция или другая стадия электродной реакции). В свою очередь, зависимость температурного коэффициента предельного тока от условий снятия

я полярограмм и концентрации фенола указывает на возможность появления диффузионной кинетики при других режимах электролиза.

На рис. 10 и табл. приведены результаты сравнительного исследования полярографического определения фенола ( $4,0 \cdot 10^{-5} M$ ) на вращающемся и неподвижном платиновом электродах.

Во всех экспериментах применялся один и тот же платиновый электрод оптимальная стандартная его обработка. Закономерности, представленные на рис. 10, были воспроизведены в трех сериях экспериментов.

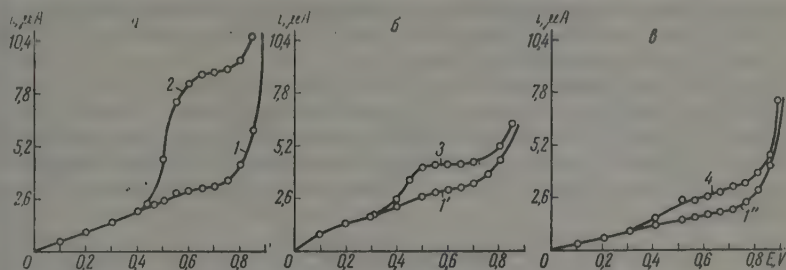


рис. 10. Полярограммы на вращающемся и стационарном платиновом аноде; фон —  $1 M NaNO_3 + 0,1 M H_2BO_3 + NaOH$ ;  $pH = 10,8$ . Концентрация фенола  $4,0 \cdot 10^{-5} M$ : 1, 1', 1'' — волны фона для вращающихся и неподвижных анодов; 2, 3, 4 — волны фенола для вращающихся и неподвижных анодов. а — вращающийся анод, скорость 5 мВ/сек; б — неподвижный анод, скорость 5,0 мВ/сек; в — неподвижный анод, скорость 10,7 мВ/сек

Из рис. 10 и таблицы следует, что потенциал полуволны на вращающемся электроде имеет более положительное значение, чем на неподвижном электроде. Предельные диффузионные токи и, следовательно, чувствительность метода на вращающемся электроде в 4—8 раз выше, чем на неподвижном. На неподвижном электроде остаточный ток превышает диффузионный, причем последний сравнительно невелик.

На вращающемся электроде наблюдается хорошая сходимость последовательно снимаемых полярограмм, в то время как на неподвижном электроде имеет место постепенное падение предельного диффузионного тока, вызванное сильным «отравлением» электрода.

Полярографические характеристики для вращающегося и неподвижного платиновых анодов. Концентрация фенола  $4 \cdot 10^{-5} M$

Электрод	Скорость поляриз., мВ/сек.	$i_d$ , пред., $\mu A$	$i$ ост., $\mu A$	$E_{1/2}$ , V
Вращающийся	5,0	5,60	3,25	0,515
Неподвижный	5,0	1,43	2,86	0,437
Неподвижный	0,7	1,04	2,72	0,420

Как видно из рис. 10 и таблицы, на неподвижном электроде, в отличие от вращающегося электрода, изменение скорости поляризации от 0,7 до 5 мВ/сек. оказывает сравнительно небольшое влияние на величины предельного диффузионного тока и потенциала полуволны. Однако на неподвижном электроде с уменьшением скорости поляризации воспроизводимость измерений резко ухудшается, что проявляется в заметном падении предельного диффузионного тока при последовательном снятии полярограмм из раствора одной и той же концентрации. Эти факты легко объяснимы, если вспомнить ранее рассмотренные причины и закономерности «отравления» вращающегося платинового анода продуктами окисления фенола.

Приведенные данные не только показывают решающее преимуще-



щество вращающегося платинового электрода перед неподвижным (для целей полярографического анализа), но, что не менее важно, раскрывают причины такого преимущества. В этой связи становятся понятными неудачные попытки некоторых исследователей добиться хороших воспроизводимых и достаточно точных полярографических определений органических веществ (в частности, фенола [4, 5]) на неподвижном твердом аноде.

Полученные в настоящей работе экспериментальные результаты позволили предложить количественную методику полярографического анализа небольших количеств фенола в водных растворах при использовании вращающегося платинового анода.

Преимущество такой методики перед другими состоит в относительной простоте, достаточной точности (средняя квадратичная ошибка метода составляет 2,5—4%) и применимости для анализа фенола непосредственно в окрашенных и мутных производственных средах, содержащих примеси других органических веществ, в частности  $\alpha$ -метилстирола, ацетона, ацетофенона.

### Обсуждение результатов

Результаты настоящего исследования позволяют сделать заключение, что процесс окисления фенола на платиновом вращающемся аноде представляет многоступенчатую (необратимую) реакцию.

При определенных условиях подготовки поверхности анода и проведения электролиза скорость начальных стадий электродной реакции, связанных с разрядом аниона и его взаимодействием с поверхностными кислородными соединениями платины, превышает скорость диффузионного процесса. Такое состояние отвечает оптимальному режиму полярографического анализа: стадия диффузии играет доминирующую роль в формировании тока, и, следовательно, анодный процесс за период снятия полярограмм контролируется диффузионной кинетикой.

Установленные в настоящей работе причина и некоторые закономерности своеобразного «отравления» электрода убедительно доказывают, что сложная анодная реакция окисления фенола включает также вторичные замедленные, необратимые стадии, связанные с полимеризацией и адсорбцией продуктов окисления на платиновом аноде. Последнее обстоятельство при определенных условиях снятия полярограмм приводит к частичному или полному снятию диффузионных ограничений.

Как показали прямые измерения, степень «отравления» электрода и продолжительность сохранения такого состояния зависят не только от концентрации фенола в растворе, но также от таких факторов, как скорость вращения электрода, скорость поляризации, температуры раствора, состояние поверхности платинового электрода до и после каждого изменения. Отсюда следует, что истинным критерием степени «отравления» электрода является количество продуктов окисления фенола, адсорбирующихся в единицу времени на поверхности платинового анода. Этот вывод находится в согласии с результатами работ А. Н. Фрумкина [13] и Е. М. Скобеца [1] по окислению некоторых анионов и органических соединений с концентрацией выше  $1 \cdot 10^{-3}$  М на платиновом аноде. В таких условиях на кривых  $i_d - E$  неизменно возникали максимумы, а функция  $i_d - c$  имела нелинейный ход; это объяснялось ограничениями электродных стадий процесса и, в частности, адсорбцией анионов на поверхности электрода.

Из экспериментальных данных настоящей работы следует, что величина предельного тока зависит не только от концентрации фенола и условий диффузии (скорости вращения электрода, температуры и пр.), но также от скорости поляризации и физико-химического состояния поверхности платинового анода. Величина остаточных токов также зависит от этих факторов.

В ряде исследований было установлено, что при многократном электрохимическом окислении платины образуются поверхностные окисные соединения, имеющие высокую химическую, фотохимическую и каталитическую активность [8—10]. Степень активности и, следовательно, окислительная способность такого окисно-платинового электрода, отражающая прочность связи кислорода с платиной, зависит от ряда факторов и в первую очередь от состава, структуры и «времени жизни» окислов на поверхности платины [9—12].

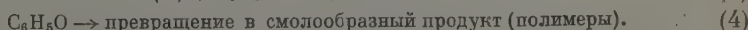
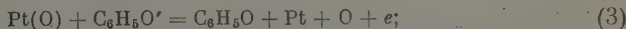
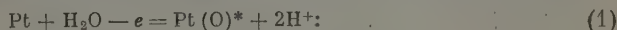
Результаты настоящей работы и литературные данные по окислению платины [8—12] позволяют предполагать, что во вторичных стадиях электродной реакции окисления фенола принимают участие поверхностные окислы платины. Скорость вторичных стадий электродной реакции, следующих за фактом ионного разряда, будут тем выше, чем электрохимически активнее платиновый анод. Таким образом, на хорошо активированном электроде (после двукратной анодной обработки или обжига) при определенных условиях достигается такое положение, когда скорость вторичных стадий окисления фенола будет несоизмеримо выше, чем скорость диффузии ионов к поверхности электрода, и, следовательно, вся реакция в целом будет контролироваться диффузионной кинетикой. Это имеет место при рекомендуемом оптимальном режиме полярографического анализа для концентраций фенола в пределах  $10 \cdot 10^{-5}$ — $1,0 \cdot 10^{-4}$  М.

Такие факты, как сравнительно легкая окисляемость фенола в условиях, когда весь процесс контролируется диффузионной кинетикой, независимость потенциала полуволны от скорости поляризации и температуры раствора, а также отсутствие различия в потенциалах выделения фенола на платиновом и графитовом анодах [4] указывают на то, что при принятом режиме электролиза первичная стадия электродной реакции протекает с повышенной скоростью и близка к обратимой. Следовательно, закономерности, связывающие изменение потенциала электрода в зависимости от диффузионного тока могут быть выражены известным уравнением:

$$E = E_{1/2} + 2,3 \frac{RT}{nF} \lg \frac{i_d - i}{i}.$$

Величина  $n$ , характеризующая число электронов, участвующих во вторичных стадиях окисления, вычисленная из большого числа полярограмм, оказалась близкой к единице. Это дает основание предполагать, что реакция окисления фенола на платиновом вращающемся электроде протекает через промежуточную стадию образования свободного радикала простого эфира фенола ( $C_6H_5O$ ). Литературные данные, относящиеся к окислению фенола, вполне согласуются с этим предположением [5, 14, 15]. Отмечается, что в настоящей работе, посвященной анодному окислению фенола с целью изучения оптимальных условий полярографического анализа, был применен наиболее простой и удобный для этой цели вращающийся вертикальный проволочный электрод. Поскольку, однако, для такого электрода, в отличие от дискового, до настоящего времени полностью не решено уравнение диффузии, то естественно, что рассматриваемые выводы о кинетике реакции окисления фенола не могут быть пока проверены строго количественно.

Ниже на основе экспериментальных данных настоящей работы представлен возможный механизм окисления фенола на платиновом вращающемся электроде:



\* Условное написание поверхностного кислородного соединения.

При оптимальном режиме подготовки платинового электрода и св. полярogramm стадии (1), (2), (3) реакции окисления фенола протекают сравнительно быстро, что обеспечивает ее диффузионный контроль.

В случае, когда платиновый электрод обладает низкой окислительной способностью, по причине недостаточной его активации, стадии (1) соответственно протекают более замедленно, что может привести к частичному или полному нарушению диффузионной кинетики.

Стадия (4) протекает необратимо, и потому ее влияние на всю реакцию в целом обусловлено количеством фенола, превращенного за единицу времени в смолообразный продукт окисления: чем меньше это количество, тем меньше вероятность «отравления» электрода и нарушения диффузионной кинетики. В предложенном возможном механизме отражен принципиально существенный вывод о том, что в процессе электрохимического окисления фенола принимают участие поверхностные кислородные соединения платины. В свете рассмотренного механизма процесса окисления фенола легко объяснить целесообразность применения повышенных потенциалов изменения потенциала, так как это, с одной стороны, способствует поддержанию электрода в более активном состоянии, а с другой стороны, повышая предельный ток, уменьшает вероятность «отравления» электрода.

Надо полагать, что выводы настоящего исследования и разработанная полярографическая методика анализа относятся не только к фенолу, но могут быть распространены на многие другие органические вещества, подверженные необратимому окислению на платиновом аноде.

### Выводы

1. Исследован процесс полярографического определения фенола на платиновом вращающемся аноде. Установлены причины и некоторые закономерности «отравления» платинового электрода, приводящие к нарушению диффузионных ограничений.
2. Найдены оптимальные условия подготовки электрода и проведения опыта для получения четких и воспроизводимых полярографических волн фенола, отвечающих большим предельным током.
3. Изучено влияние скорости поляризации, температуры раствора, режима работы и скорости вращения платинового анода на величину предельного тока, остаточного тока, потенциала полуволны и другие полярографические характеристики.
4. Рассмотрен возможный механизм реакции окисления фенола на вращающемся платиновом аноде.
5. Предложена новая методика количественного полярографического анализа на платиновом вращающемся аноде небольших количеств фенола в водных растворах.

Научно-исследовательский  
институт синтетических смол  
Москва

Поступило  
14.XII.1953

### ЛИТЕРАТУРА

1. Е. М. Скобец, Н. Н. Атоманенко, Заводск. лаборатория, 15, 1949.
2. W. M. Mac-Nevin, T. R. Sweet, Quart. J. Studies 12, 46, 1951.
3. I. W. Sargent, A. L. Clifford, W. R. Leman, Analyt. Chem., 25, 1723, 1953.
4. V. E. Gaylor, P. J. Elving, A. U. Conrad, Analyt. Chem., 25, 1953.
5. J. Hedenburg, H. Freiser, Analyt. Chem., 25, № 9, 1356, 1953.
6. Y. Y. Lord, L. B. Rogers, Analyt. Chem., 26, 284, 1954.
7. В. И. Гинзбург, Т. А. Фришман, Тр. НИИСС, Т. I, 360 1958.
8. Н. Н. Федотов, Диссертация. Физ.-хим. ин-т им. Карпова, 1940.
9. В. И. Гинзбург, В. И. Веселовский, Ж. физ. химии, 24, 366,

- К. И. Розенталь, В. И. Веселовский, Ж. физ. химии, 27, 1163, 1953.  
А. Н. Фрумкин, Ж. физ. химии, 14, 1200, 1940.  
П. И. Залкинд и Б. В. Эршлер, Ж. физ. химии, 25, 65, 1951.  
А. Н. Фрумкин, Э. А. Айказян, Докл. АН СССР, 100, 315, 1955.  
S. L. Cosgrove, W. A. Waters. J. Chem. Soc., 3189, 1949.  
T. Campbell, G. Coppinger, J. Amer. Chem. Soc., 74, 1469, 1952.
- 

## POLAROGRAPHIC OXIDATION OF PHENOL ON THE ROTATING PLATINUM ANODE

*V. I. Ginzburg (Moscow)*

### Summary

A study has been made of the polarographic oxidation of phenol on the stationary and rotating platinum anode. The reasons for the «poisoning» of the anode, leading to removal of the diffusion restrictions, have been established.

Optimal conditions for the preparation of the platinum anode and determination of the voltametric curves to obtain reproducible waves for phenol, corresponding to large limiting currents have been found.

The effect of the electrode history, of the rotating speed of the electrode, of the rate of application of the potential and of the solution temperature on the limiting current value, residual current, half-wave potential and other polarographic characteristics has been studied.

The oxidation of phenol on the activated rotating platinum electrode has been found to proceed irreversibly with diffusion limits.

It has been suggested that the electrode stages of the process take place with the participation of surface oxides of platinum, a free radical of phenol ether being formed and ending in the formation of capillary active polymers.

A new polarographic method for the analysis of small amounts ( $>1.0 \times 10^{-5}$  M) of phenol on a rotating platinum electrode has been developed.

---



# СПЕКТРЫ И ДИПОЛЬНЫЕ МОМЕНТЫ *n*-ПРОИЗВОДНЫХ ДИМЕТИЛАНИЛИНА

В. Н. Васильева, В. П. Базов и М. А. Гейдерих

В статье [1] было рассмотрено влияние заместителей на свойства молекул типа  $X-\text{C}_6\text{H}_4-\text{NO}_2$ . В таких молекулах сильнее выражены признаки влияния электроположительных заместителей X; в молекулах

$X-\text{C}_6\text{H}_4-\text{NR}_2$ , напротив, более явно выражено влияние электроотрицательных групп X\*.

В этой статье мы кратко рассмотрим результаты исследования спектров и дипольных моментов ряда пара-производных диметиланилина с электроотрицательными заместителями.

Судя по разнице между дипольными моментами алифатических аминов,  $\text{AlkNR}_2$ , и диметиланилина, которая указывает на существенное смещение электронов в молекуле диметиланилина в направлении от  $\text{NR}_2$  к бензольному кольцу, группу  $\text{NR}_2$  можно причислить к наиболее электроположительным заместителям (здесь и в дальнейшем R — метильная группа). При наличии в молекуле  $X-\text{C}_6\text{H}_4-\text{NR}_2$  электроотрицательного заместителя X обычно наблюдается дополнительное смещение электронов в направлении от  $\text{NR}_2$  к X, которое приводит к повышению дипольного момента.

Влияние бензольного кольца и группы  $\text{NR}_2$  на X можно проследить по частотам колебаний атомов в группе X, привлекая при этом данные об интенсивности линий (полос) в спектрах комбинационного рассеяния и инфракрасных спектрах поглощения. В связи с изучением данных об интенсивности линий комбинационного рассеяния мы заметим, что еще в 1936 Колбраун [3] отмечал сильное повышение интенсивности линий карбонильной группы при сопряжении этой группы с двойными связями и бензольным кольцом. Позднее М. В. Волькенштейн [4] произвел количественные измерения интенсивности и нашел сильное повышение интенсивности линии  $\text{C}=\text{O}$  у ацетофенона и бензофенона (приписывая это смещение электронов от бензольного кольца к атому кислорода карбонильной группы). В дальнейших работах было показано, что повышенное значение интенсивности является довольно характерным признаком сопряжения  $\pi$ -связей.

Влияние заместителей на оптические свойства тесно связано с влиянием их на положение и интенсивность полос поглощения в ультрафиолетовых спектрах. Мы обратим внимание на наиболее интенсивные полосы поглощения, так как они имеют особенно большое значение для многих оптических свойств.

В таблице приводятся следующие данные:

1) Положение ( $\lambda$  в Å) интенсивных полос поглощения соединений  $\text{C}_6\text{H}_4-\text{X}$  и  $\text{R}_2\text{N}-\text{C}_6\text{H}_4-\text{X}$ ; в скобках — значения  $\epsilon/1000$ , где  $\epsilon$

\* Относительно термина «электроотрицательные заместители» см. замечание в статье [2].

Влияние группы  $R_2N$  на свойства молекул  $R_2N-\langle\bigcirc\rangle-X$ 

Группа X в $R_2N-\langle\bigcirc\rangle-X$	Ультрафиолетовые спектры поглощения в гексане, $\lambda$ , Å				$\epsilon_{max}^{0.02N}$ $R_2N-\langle\bigcirc\rangle-X$		Линия группы X в спектрах комб. рассеяния				$\mu, D$	
	$R_2N-\langle\bigcirc\rangle-X$		$R_2N-\langle\bigcirc\rangle-X$		$R_2N-\langle\bigcirc\rangle-X$		Частота $\omega$ , $cm^{-1}$		Коэф. интенсивности $I_X$			$I_X(R_2N-\langle\bigcirc\rangle-X)$ $I_X(\langle\bigcirc\rangle-X)$
	$\lambda_1$	$\Gamma_{II}$	$\lambda_2$	$\Gamma_{II}$	$\lambda_3$	$\Gamma_{II}$	$\lambda_4$	$\Gamma_{II}$	$RX$	$\langle\bigcirc\rangle-X$		
В	$\Gamma_{II}$	$\lambda_1$	$\lambda_2$	$\lambda_3$	$\Gamma_{II}$	$\Gamma_{II}$	$\Gamma_{II}$	$\Gamma_{II}$	$CCl_4$	$CCl_4$	В	

$-N=O$	2800(11)	3940(28)	2650(7)	—	1448 <sup>б</sup>	1423 <sup>б</sup>	—	—	—	—	—	6,90 <sup>г</sup>
$-NO_2$	2520(9,6) <sup>п</sup>	3530(20)	2260(9)	9	1347	1330	40	700 <sup>п</sup>	170000	—	200	6,90 <sup>г</sup>
$-CHO$	2420(14)	3250(30)	2330(8)	4,7	1712	1700	~14	200	4200 <sup>г</sup>	—	20	5,60 <sup>п</sup>
$-COR$	2380(12) <sup>п</sup>	3150(29)	2300(8)	—	1695	—	14	160	—	—	—	5,05 <sup>п</sup>
$-COOH$	2320(12,5) <sup>п</sup>	3070(25)	2250(7)	—	—	—	—	—	—	—	—	—
$-COOR$	2290(12) <sup>п</sup>	3000(24)	2230(9)	3,3	1733	1720	14	100	~1500 <sup>г</sup>	—	15	3,90
$-CN$	2230(12,5) <sup>п</sup>	2800(27)	2190(9)	<3	2233	2222	~37	330 <sup>п</sup>	~2300 <sup>п</sup>	—	7	6,60
$-SO_2R$	2160(8)	2740(24)	2160(9)	—	—	—	~100 <sup>п</sup>	~80 <sup>п</sup>	~200 <sup>п</sup>	—	~3	6,65
$-C\equiv C$	2440(13,5) <sup>п</sup>	~2900 <sup>в</sup>	—	1	1631	—	30	240 <sup>п</sup>	—	—	—	2,17 <sup>п</sup>
$-H$	2020(7,3) <sup>п</sup>	2500(13,5) <sup>п</sup>	2000(22)	0	—	—	—	—	—	—	—	1,58 <sup>п</sup>

Примечания: а)  $R$  — метильная группа; б) отнесение частоты к группе  $N=O$  не вполне достоверно; в)  $\lambda$  оценена на основании аналогий; г) это значение получено измерением раствора в ацетонитриле; д) значение получено измерением раствора в ацетонитриле; п) по литературным данным.

молярный (десятичный) коэффициент поглощения в максимуме; кривые поглощения, полученные при помощи фотоэлектрического спектрофотометра СФ-4, приведены на рис. 1—3 (растворитель — гептан).

2) Экзальтация молекулярной рефракции, EMR, у соединений  $R_2N-\langle \text{бенз. кольцо} \rangle-X$  сверх той, которая наблюдалась у  $PhX$  и  $PhNR_2$  (для линии  $D$  натрия, в  $см^3$ , по измерениям Каран и Палермити [5] в бензольных растворах).

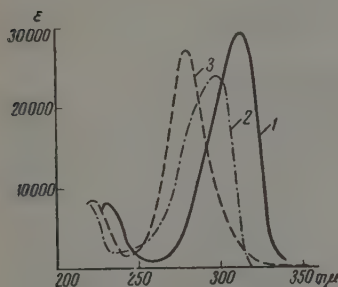


Рис. 1. Спектры поглощения в гептане: 1 —  $n$ -диметиламиноацетофенона; 2 — метилового эфира  $n$ -диметиламинобензойной кислоты; 3 — нитрила  $n$ -диметиламинобензойной кислоты

3) Частота валентного колебания атомов в группе  $X$  у соединений  $PhX$  и  $R_2N-\langle \text{бенз. кольцо} \rangle-X$  в спектрах комбинационного рассеяния (раман-спектрах) растворов ( $\omega$  в  $см^{-1}$ ).

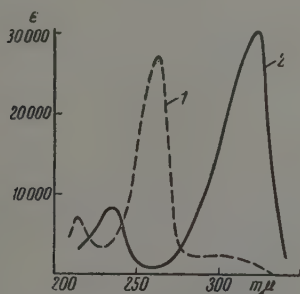


Рис. 2. Спектры поглощения в гептане: 1 —  $n$ -йоддиметиламинобензола; 2 —  $n$ -диметил-аминобензальдегида

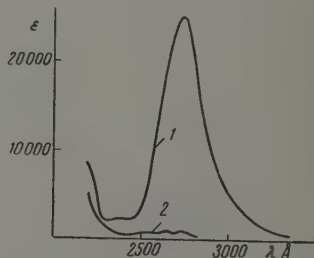


Рис. 3. Спектры: 1 —  $n$ -диметиламинофенилметилсульфона; 2 — метилфенилсульфона

4) Молярные коэффициенты интегральной интенсивности ( $I_X$ ) линий комбинационного рассеяния, частоты которых даны в предыдущих столбцах (за единицу принята  $1/100$  интенсивности линии  $313\text{ см}^{-1}$  четыреххлористого углерода при возбуждении спектра линий ртути  $4358\text{ Å}$ ).

5) Дипольные моменты  $\mu$  соединений  $R_2N-\langle \text{бенз. кольцо} \rangle-X$  в дебаях; измерены в бензоле при  $25^\circ\text{C}^*$ .

\* Кроме приведенных в таблице, были также измерены дипольные моменты ряда других ароматических соединений: 4-оксибензонитрил 5,00; 4-миабензонитрил 5,02;  $\alpha$ -нафтонитрил 4,16;  $\beta$ -нафтонитрил 4,33; 2,4,6-трихлорбензонитрил 3,70; 2-хлорнитробензол 4,35; 2,6-дихлорнитробензол 5,10; 2,4,6-трибромнитробензол 3,17; антрацен-3,66 дебая (в бензольных растворах).

Подробности о методах измерений приведены в статье [2]. Растворители указаны в каждом столбце (Гп — гептан, Б — бензол). Судя по данным таблицы, влияние диметиламиногруппы на свойства исследованных молекул имеет одинаковый характер: она вызывает сближение и усиление полосы поглощения  $\lambda_1$ , увеличение экзальтации, фракции и интенсивности линий комбинационного рассеяния, снижение частот групп X, а также повышение дипольных моментов, направленных от  $\text{NR}_2$  к X, в большей степени, чем это следует из аддитивной схемы. Соединения с наиболее электроотрицательными группами ( $\text{NO}_2$ ,  $\text{NO}$ ,  $\text{O}$ ) в наибольшей степени подвержены влиянию группы  $\text{NR}_2$ . Детального соответствия между различными признаками влияния, однако, не наблюдается.

Рассматривая данные об интенсивности линий комбинационного рассеяния, нужно иметь в виду, что приведенные в таблице величины относятся к колебаниям атомов в разных группах. Поэтому нельзя ожидать соответствия между данными для различных соединений в столбце 12 и положением полос поглощения. Тем не менее можно отметить, что степень разрастания коэффициентов интенсивности линий группы X при переходе от  $\text{C}_6\text{H}_5\text{—X}$  к  $\text{R}_2\text{N—C}_6\text{H}_4\text{—X}$  (столбец 13 таблицы) тем больше, чем ближе расположена интенсивная полоса поглощения в области 2500—3500 Å. Экзальтация рефракции [3] по порядку величины соответствует тому, что можно ожидать, судя по спектрам поглощения (см. [2]).

Для количественных сравнений влияния заместителей на различные свойства нужно исключить роль межмолекулярного взаимодействия, так как механизм влияния растворителей на  $\lambda$ ,  $\omega$ ,  $\mu$  и другие параметры отнюдь не идентичен, а влияние среды на свойства рассматриваемых здесь ароматических соединений весьма существенно. Так, при небольших различиях в частотах изменения под действием межмолекулярных сил приобретают большое значение; таблица показывает, что разность однотипных частот двух соединений может сильно измениться при переходе от одного растворителя к другому. К сожалению, данные для паров трудно ступны. Использование наиболее индифферентных растворителей также не всегда возможно в связи с малой растворимостью.

Авторы пользуются случаем выразить благодарность П. П. Шорыгину руководство и помощь в работе.

### Выводы

1. Изучены ультрафиолетовые спектры поглощения, спектры комбинационного рассеяния и дипольные моменты ряда пара-производных диметиланилина,  $\text{X—C}_6\text{H}_4\text{—NMe}_2$ , содержащих различные электроотрицательные группы X.

2. Экспериментальные данные показали, что влияние диметиламиногруппы на свойства ряда исследованных молекул имеет приблизительно одинаковый характер. Это влияние существенно больше, чем следовало бы ожидать, исходя из допущения аддитивности влияния двух заместителей.

3. Соединения с наиболее электроотрицательными группами в наибольшей степени подвержены влиянию группы  $\text{NR}_2$ . Детального соответствия между различными признаками взаимного влияния заместителей, однако, не наблюдается.



## ЛИТЕРАТУРА

1. П. П. Шорыгин, З. С. Егорова, Докл. АН СССР, 118, 763, 1958.
2. П. П. Шорыгин, З. С. Егорова, Ж. физ. химии, 32, 915, 1958.
3. F. Kohlrausch, Phys. Z., 37, 58, 1936.
4. М. В. Волькенштейн, Ж. физ. химии, 17, 62, 1943.
5. C. Curran, F. Palermitti, J. Amer. Chem. Soc. 73, 3733, 1951.

SPECTRA AND DIPOLE MOMENTS OF PARA-DERIVATIVES  
OF DIMETHYLANILINE*V. N. Vasil'eva, V. P. Bazov and M. A. Geiderikh (Moscow)*

## Summary

An experimental study has been made of the ultraviolet absorption spectra, frequencies and intensity coefficients of the lines in the Raman spectra and of the dipole moments of a number of aromatic compounds, chiefly the para-derivatives of dimethylaniline  $X - C_6H_4 - NMe_2$  with various electronegative substituents X containing double and triple bonds. The main attention has been paid to the Raman lines corresponding to these multiple bonds.

It has been shown that the effect of the dimethylamino group on the properties of various molecules  $X \cdot C_6H_4 \cdot NMe_2$  is approximately of the same nature. In all cases there is an approaching of the absorption bands, a lowering of the vibration frequency of the multiple bonds of the groups X and increase in the dipole moments in excess of that calculated on the basis of the additive scheme. No detailed correspondence between various manifestations of the mutual effect of substituents has been observed, however.

## ФАЗОВЫЕ РАВНОВЕСИЯ В СИСТЕМАХ, ОБРАЗОВАННЫХ ПАРАФИНОВЫМИ УГЛЕВОДОРОДАМИ И СПИРТАМИ ЖИРНОГО РЯДА

В. Б. Коган, В. М. Фридман и Т. Г. Романова

Жирные спирты получают все большее применение, что стимулирует рост их производства. При получении их некоторыми методами, например путем гидрирования сложных эфиров жирных кислот, могут образоваться смеси спиртов с углеводородами. Поэтому возникает необходимость исследования физико-химических свойств таких смесей.

В литературе имеются данные о равновесии в системах, образованных этиловым спиртом с гексаном [1] и гептаном [2], а также этиловым спиртом с пентаном [3], гексаном [4], гептаном [5—7] и изооктаном [8].

В то же время совсем нет данных о равновесии смесей углеводородов с пропиловым спиртом, и имеется всего одна работа [5] — с бутиловым спиртом. Как будет показано ниже, данные, приведенные в работе [5], при проверке их по методу Редлиха и Кистера [9] оказались весьма неточными. Учитывая это обстоятельство, а также то, что бутиловый спирт используется в производстве жирных спиртов, нами было выполнено экспериментальное исследование равновесия между жидкостью и паром в системах, образованных бутиловым спиртом соответственно с гептаном, октаном и нонаном.

### Экспериментальная часть

Примененные в качестве исходных веществ углеводороды и бутиловый спирт характеризуются показателями, приведенными в табл. 1. Сравнение экспериментальных и приведенных в справочной литературе [10] данных свидетельствует о чистоте применявшихся веществ.

Таблица 1

Сопоставление экспериментальных и литературных значений физических констант применявшихся веществ

Наименование веществ	Т. кип.		Показатель преломления	
	экспериментальная	по литературным данным	экспериментальный	по литературным данным
n-Гептан	98,4	98,43	1,3877 <sup>20</sup>	1,3876 <sup>20</sup>
n-Октан	125,4	125,66	1,3976 <sup>20</sup>	1,3976 <sup>20</sup>
n-Нонан	150,5	150,80	1,4035 <sup>25</sup>	1,4025 <sup>25</sup>
n-Бутиловый спирт	117,4	117,4	1,3997 <sup>20</sup>	1,3991 <sup>20</sup>

Исследование равновесия между жидкостью и паром производилось в циркуляционном приборе, изображенном на рис. 1. Этот прибор, отличающийся относительно небольшими размерами парового пространства и рабочей емкостью ~ 100 мл, был снабжен электрообмоткой в нижней части — для кипячения загруженной жидкости и в верхней части — для компенсации потерь тепла в окружающую среду. Температура снаружи прибора, определяемая по термометру с ценой деления 0,1° С, вставлен-

ному в теплоизоляции верхней части прибора, поддерживалась на  $1-2^\circ$  выше температуры паров, определяемой по внутреннему термометру того же класса точности.

Наиболее объективным критерием правильности данных, полученных на этом приборе, является то, что эти данные, как будет показано ниже, удовлетворяют требованиям термодинамической проверки.

После загрузки исходной смеси в прибор и нагрева ее до кипения, давление в приборе устанавливалось равным 760 мм рт. ст. Пробы жидкости и конденсата паровой фазы отбирались через 2 часа после начала кипения, так как экспериментально было установлено, что этого времени достаточно для установления равновесия.

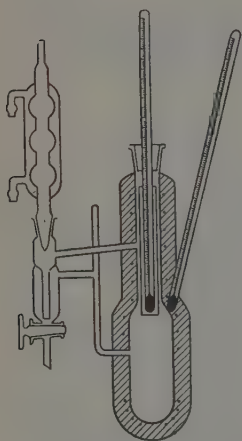


Рис. 1. Прибор для исследования равновесия между жидкостью и паром

Полученные экспериментальные данные и рассчитанные по ним коэффициенты активности приводятся в табл. 2—4.

На рис. 2 изображены зависимости логарифма отношения коэффициентов активности бутанола и углеводородов от концентрации бутанола, позволяющие проверить полученные данные по методу Редлиха и Кистера [9]. Как видно из рис. 2, экспериментальные точки для всех систем хорошо ложатся на одну прямую, пересекающую ось абсцисс при  $x=0,5$ , а площади под положительной и над отрицательной ветвями кривых  $\lg \frac{\gamma_1}{\gamma_2} = f(x)$  практически равны. Это подтверждает правильность полученных данных. Линейная зависимость логарифма отношения коэффициентов активности компонентов от состава является, как известно, характерным признаком регулярных растворов.

Нанесенные на тот же рисунок точки для системы бутанол — гептан, вычисленные по литературным данным [5], показывают значительный разброс, что свидетельствует о недостаточной точности этих данных.

Обращает на себя внимание то обстоятельство, что точки для систем, состоящих из бутилового спирта и различных углеводородов, располагаются на одной прямой. Это свидетельствует о том, что члены гомологи-

Таблица 2

Данные о равновесии между жидкостью и паром в системе бутиловый спирт — гептан при 760 мм рт. ст.

$x_{\text{бут}}, \text{ мол. } \%$	7,3	12,8	25,5	42,7	48,5	65,3	77,3	93,0
$y_{\text{бут}}, \text{ мол. } \%$	14,4	18,8	23,4	27,6	29,0	34,8	42,7	65,8
Температура	95,0	94,3	93,9	94,4	94,7	97,0	100,1	109,8
$\gamma_{\text{бут}}$	4,68	3,62	2,30	1,59	1,45	1,18	1,07	0,95
$\gamma_{\text{гепт}}$	1,02	1,05	1,18	1,43	1,54	1,97	2,41	3,57

Таблица 3

Данные о равновесии между жидкостью и паром в системе бутиловый спирт — октан при 760 мм рт. ст.

$x_{\text{бут}}, \text{ мол. } \%$	9,4	25,9	40,9	54,2	60,3	71,2	79,0	84,8	87,0	93,9
$y_{\text{бут}}, \text{ мол. } \%$	29,5	46,2	50,6	54,3	56,2	60,7	64,9	69,7	71,5	82,6
Температура	115,6	110,5	109,7	109,2	109,3	109,7	110,3	111,4	111,9	114,0
$\gamma_{\text{бут}}$	3,56	2,33	1,66	1,33	1,24	1,14	1,07	1,07	1,02	1,01
$\gamma_{\text{окт}}$	1,04	1,13	1,34	1,61	1,78	2,19	2,66	3,03	3,26	4,02

кого ряда предельных углеводородов обладают одинаковым поведением в системах, образованных ими с бутиловым спиртом.

Представляло интерес выяснить, соблюдаются ли указанные закономерности в системах, образуемых другими спиртами. С этой целью были произведены соответствующие расчеты по имеющимся в литературе данным для систем, образованных предельными углеводородами с метиловым и этиловым спиртом.

На рис. 3 и 4 приведены зависимости логарифма отношения коэффициентов активности спиртов и углеводородов от концентрации спирта.

Для систем этиловый спирт — пентан [3], этиловый спирт — гексан [4], метиловый спирт — гептан [5]

и метиловый спирт — изооктан [на рис. 4] приведены опытные данные для крайних температур, приведенных в использованных литературных источниках.

Как видно из рис. 3 и 4, для систем, содержащих метиловый или этиловый спирт, как и для систем, образованных бутанолом, точки располагаются на прямых, независимо от входящего в систему углеводорода и от температуры. Отклонения некоторых точек от прямой (не превышающие 5—7%) вызваны, по-видимому, достаточной точностью экспериментальных данных и не нарушают линейного характера зависимости логарифма отношения коэффициентов активности от состава раствора. Отсюда следует, что метиловый и этиловый спирты, подобно бутиловому, образуют с парафиновыми углеводородами растворы, близкие к регулярным.

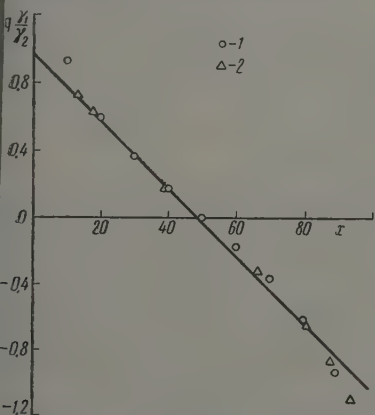


рис. 3. Зависимость логарифма отношения коэффициентов активности метилового спирта и углеводородов от молярной концентрации спирта  $x$ : 1 — гексан [1]; 2 — гептан [2]

образующих из спиртов и углеводородов, для которых экспериментальные данные отсутствуют. Это было подтверждено на примере определения состава азеотропной смеси в системе изопропиловый спирт — гептан.

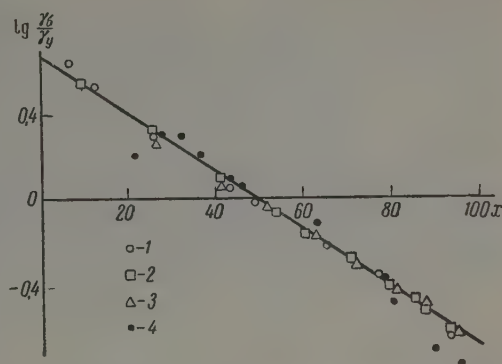


Рис. 2. Зависимости логарифма отношения коэффициентов активности бутилового спирта и углеводородов: 1 — гептан; 2 — октан; 3 — нонан, 4 — гептан [5]

Сравнение хода прямых на рис. 2—4 показывает, что с повышением молекулярного веса спирта значение логарифма отношения коэффициентов активности компонентов системы на концах прямых  $A$  уменьшается. Это указывает на уменьшение степени отклонения от закона Рауля в системах углеводород — спирт с увеличением молекулярного веса последнего. Так, для систем с метиловым спиртом  $A = 0,970$ , с этиловым спиртом  $A = 0,905$ , а с бутиловым  $A = 0,710$ , независимо от того, какой углеводород является вторым компонентом.

Изложенные закономерности дают возможность предсказывать данные о равновесии для тех систем, со-



Таблица

Данные о равновесии между жидкостью и паром в системе бутиловый спирт — нонан при 760 мм рт. ст.

$x_{\text{бут}}, \text{ мол. } \%$	26,2	41,7	51,7	52,2	62,8	71,5	81,1	87,9	94
$y_{\text{бут}}, \text{ мол. } \%$	62,7	69,2	72,0	71,5	74,7	76,6	81,4	85,7	91
Температура	121,6	118,6	117,5	117,6	116,7	116,4	116,2	116,2	116
$\gamma_{\text{бут}}$	2,13	1,64	1,39	1,36	1,24	1,15	1,07	1,05	1
$\gamma_{\text{нон}}$	1,17	1,35	1,54	1,57	1,85	2,26	2,81	3,26	4

Путем интерполяции приведенных выше значений величины  $A$ , константа  $A$  для систем, образованных пропиловым спиртом и углеводородами, была оценена равной 0,820. При помощи заимствованных из литературы [12] данных о давлении паров чистых веществ, по уравнению:

$$A(1 - 2x_{\text{из}}) = \frac{p_2^0}{p_1^0},$$

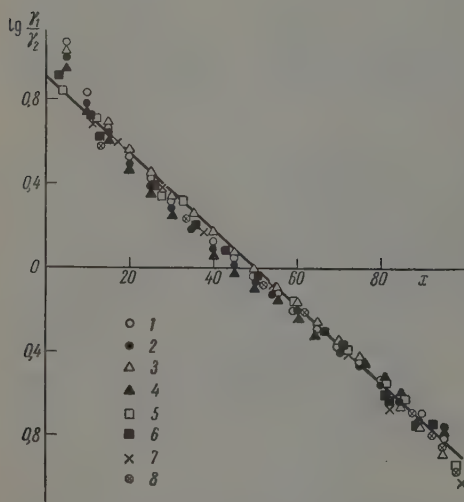


Рис. 4. Зависимость логарифма отношения коэффициентов активности этилового спирта и углеводородов от молярной концентрации спирта  $x$ : 1 — пентан, 20° [3]; 2 — пентан, 20° [5]; 3 — гексан, 10° [4]; 4 — гексан, 10° [4]; 5 — гептан, 30° [5]; 6 — гептан, 70° [5]; 7 — изооктан, 25° [8]; 8 — изооктан, 50° С [8].

(где  $x_{\text{из}}$  — молярная доля 1-го компонента в азеотропе,  $p_1^0$  и  $p_2^0$  — давления паров чистых компонентов), было найдено, что содержание изопропилового спирта в азеотропной смеси с гептаном составляет 46,8% по весу (59,7 мол. %).

Истинный состав азеотропа был определен\* путем ректификации эквимолескулярной смеси изопропилового спирта и гептана в колонке с эффективностью 40 теоретических тарелок и оказался равным 47,6 вес. % изопропанола (т. кип. азеотропа 76,4°).

Следует отметить, что найденный нами состав азеотропа отличается от данных, приведенных в справочнике [13], что указывает на неточность последних.

### Выводы

1. Исследовано равновесие между жидкостью и паром в системах, образованных бутиловым спиртом и соответственно гептаном, октаном, нонаном.

\* Определение состава азеотропа было проведено Т. С. Толстой.

2. На основании полученных результатов, а также обработки литературных данных по равновесию между жидкостью и паром в системах, образованных метиловым и этиловым спиртами с парафиновыми углеводородами, установлено, что спирты и указанные углеводороды образуют системы, близкие к регулярным.
3. Показано, что зависимость логарифма отношения коэффициентов активности компонентов для систем, образованных каждым спиртом и различными углеводородами, одинакова. Степень отклонения от закона Рауля уменьшается с увеличением молекулярного веса спирта.
4. Определены значения констант в уравнениях, выражающих зависимость логарифма отношения коэффициентов активности от состава для систем, образованных парафиновыми углеводородами с метиловым, этиловым и бутиловым спиртами. Показана возможность предсказания при помощи найденных зависимостей данных о равновесии в системах, состоящих из парафиновых углеводородов и жирных спиртов, что подтверждено на примере расчета состава азеотропа в системе изопропиловый спирт — гептан.

Государственный институт  
прикладной химии  
Ленинград

Поступила  
18.XII.1957

#### ЛИТЕРАТУРА

- J. B. Ferguson, J. Phys. Chem., 36, 1125, 1932.  
M. Benedict, A. Johnson, E. Solomon, L. C. Rubin, Trans. Amer. Inst. Chem. Engrs, 41, 371, 1945.  
N. Isii, J. Soc. Chem. Inds. Japan, 38, 12, 705, 1935.  
N. Isii, J. Soc. Chem. Inds. Japan, 38, 11, 659, 1935.  
C. P. Smith, E. W. Engel, J. Amer. Chem. Soc., 51, 9, 2760, 1929.  
J. B. Ferguson, M. Freed, A. C. Morris, J. Phys. Chem., 37, 1, 87, 1933.  
K. Katz, M. Newman, Industr. and Engng Chem., 48, 1, 137, 1956.  
C. B. Kretschmar, J. Nowakowska, R. Wiebe, J. Amer. Chem. Soc., 70, 5, 1785, 1948.  
O. Redlich, A. K. Kister, Industr. and Engng. Chem., 40, 345, 1948.  
Справочник химика, Госхимиздат, 1951.  
P. J. Elving, Analyt. Chem., 19, 12, 1006, 1947.  
Д. Р. Стелл, Таблицы давления паров индивидуальных веществ, ИИЛ, 1949.  
Л. Хорсли, Таблицы азеотропных смесей, ИИЛ, 1951.

#### PHASE EQUILIBRIA IN SYSTEMS FORMED BY PARAFFIN HYDROCARBONS AND ALIPHATIC ALCOHOLS

*V. B. Kogan, V. M. Fridman and T. G. Romanova (Leningrad)*

#### Summary

Liquid-vapor equilibria in systems formed by butyl alcohol and heptane, octane and nonane have been studied. It was found that the relation between the logarithm of the ratio of activity coefficients and the composition is linear, i. e. the solutions are regular.

It was shown by analysis of published data on vapor-liquid equilibria in systems formed by paraffinic hydrocarbons and methyl and ethyl alcohols that the same relationship holds for these systems.

It has also been found that the quantity  $A = \lg \gamma$  for  $X = 0$  within the limits investigated does not depend upon the size of the hydrocarbon molecule, but only upon the molecular weight of the alcohol, diminishing with increase of the latter.

For systems formed by methyl, ethyl and butyl alcohols the constant equals respectively 0.970, 0.905 and 710.

It has been shown with the system isopropyl alcohol—heptane as example that one may predict phase equilibria data of systems formed by aliphatic alcohols and paraffins.

## О КИНЕТИКЕ ТЕРМИЧЕСКОЙ ДИССОЦИАЦИИ ДВУХАТОМНЫХ МОЛЕКУЛ

Е. В. Ступоченко и А. И. Осипов

В теории термической диссоциации возникают два основных вопроса: во-первых, каким условиям должны удовлетворять сталкивающиеся молекулы, чтобы произошла диссоциация, и, во-вторых, как часто эти условия реализуются в системе, в которой протекает реакция.

Так называемая элементарная теория столкновений [1] решает эти вопросы следующим образом: предполагается, что при столкновении диссоциируют с вероятностью  $\alpha$  те молекулы, энергия которых (энергия внутренних степеней свободы плюс кинетическая энергия относительного движения вдоль линии центров) не меньше энергии диссоциации. Вероятность диссоциации  $\alpha$  считается не зависящей от других характеристик начального состояния сталкивающихся молекул и определяется в дальнейшем из эксперимента. Второй вопрос, как часто встречаются условия, необходимые для диссоциации, элементарная теория столкновений решает, исходя из предположения, что процесс диссоциации не нарушает равновесного, распределения молекул по энергетическим уровням.

Полученные таким путем результаты не противоречат экспериментальным данным, [2] однако, с теоретической точки зрения, решение задачи не является последовательным, поскольку имеется известный произвол в обоих основных пунктах теории. Фигурирующая в теории столкновений вероятность  $\alpha$ , по существу, должна быть вычислена как функция начального состояния сталкивающихся молекул. Эти вероятности, в свою очередь, должны определять распределение молекул по энергетическим уровням, как решение соответствующих газокинетических уравнений. При этом заранее нельзя сказать, при каких условиях и в какой мере это распределение является равновесным.

С целью выяснения роли различных столкновений, а также роли возмущений равновесной функции распределения молекул по энергетическим уровням в процессе диссоциации, в настоящей работе рассчитана скорость термической диссоциации двухатомных молекул, исходя из предположения, что диссоциация молекул происходит в результате перехода из дискретного колебательного состояния в непрерывное. Этот механизм диссоциации является в ряде случаев, по-видимому, основным, хотя и не единственным [4—5].

Для упрощения задачи примем, что диссоциирующий газ является относительно небольшой примесью в одноатомном газе. В этом случае можно пренебречь столкновениями между молекулами диссоциирующего газа и рассматривать только столкновения этих молекул с одноатомным газом.

Газокинетические уравнения такого процесса имеют вид:

$$\frac{dN_i}{dt} = \sum_{j \neq i} \alpha_{ji} N_j - \sum_{j \neq i} \alpha_{ij} N_i + \alpha_{di} N_d^2 - \alpha_{id} N_i \quad (i = 0, 1, 2, \dots, i_{\max}),$$

$$\frac{1}{2} \frac{dN_d}{dt} = \sum \alpha_{id} N_i - \sum \alpha_{di} N_d^2, \quad (1)$$

$$\alpha_{ij} = z_i P_{ij}, \quad \alpha_{di} = K_{di}, \quad \alpha_{id} = z_i K_{id},$$

где  $N_i$  — число молекул, находящихся на  $i$ -м колебательном уровне в единице объема;  $\frac{1}{2} N_d$  — число продиссоциировавших молекул в единице объема;  $z_i$  — число двойных столкновений, испытываемых одной молекулой в  $i$ -м состоянии в секунду;  $P_{ij}$  — вероятность перехода молекулы с уровня  $i$  на уровень  $j$ , отнесенная к одному столкновению;  $K_{id}$  — вероятность перехода молекулы с уровня  $i$  в непрерывный спектр, отнесенная к одному столкновению;  $K_{di} N_d^2$  — число рекомбинаций атомов в молекулы, находящиеся в  $i$ -м квантовом состоянии, в секунду в единице объема.

Вероятности  $P_{ij}$  и  $K_{id}$  находятся из решения соответствующей квантово-механической задачи. В настоящей работе мы исходим из общих свойств вероятностей  $P_{ij}$  и  $K_{id}$ , найденных в работе [3], где рассматривается задача о столкновении тяжелой частицы с двухатомной молекулой, между ядрами которой действуют силы, определяемые потенциалом Морзе.

Результаты этой работы позволяют упростить вид уравнений (1). Действительно, как там было показано, при определенных предположениях вероятности перехода в непрерывный спектр отличны от нуля только на нескольких последних дискретных уровнях с довольно резким максимумом вблизи границы непрерывного спектра. Поэтому из всех  $K_{id}$  в уравнениях (1) можно оставить лишь максимальное  $K_{kd}$ , положив остальные равными нулю. Вероятности  $P_{ij}$  на нижних дискретных уровнях практически равны нулю, если  $|i - j| > 1$ ; на верхних уровнях наряду с переходами на соседние уровни заметной вероятностью обладают также переходы и на следующие уровни.

Для простоты, рассмотрим сначала случай  $P_{i,i \pm l} = 0$ ,  $l > 1$ . Более общий случай  $P_{i,i \pm l} \neq 0$ ,  $l > 1$  можно будет свести к предыдущему. При этом условии система уравнений (1) принимает вид:

$$\begin{aligned} \frac{dN_0}{dt} &= \alpha_{10} N_1 - \alpha_{01} N_0; \\ \frac{dN_i}{dt} &= \alpha_{i-1,i} N_{i-1} - \alpha_{i,i-1} N_i + \alpha_{i+1,i} N_{i+1} - \alpha_{i,i+1} N_i \\ &\quad (i = 1, 2, 3, \dots, k-1, k+1); \\ \frac{dN_k}{dt} &= \alpha_{k-1,k} N_{k-1} - \alpha_{k,k-1} N_k + \alpha_{k+1,k} N_{k+1} - \alpha_{k,k+1} N_k + \alpha_{dk} N_d^2 - \alpha_{kd} N_k; \\ \frac{1}{2} \frac{dN_d}{dt} &= \alpha_{kd} N_k - \alpha_{dk} N_d^2. \end{aligned} \quad (2)$$

Уровень  $k$  соответствует максимальному значению величины  $K_{id}$ .

В общем случае в решении этой системы можно проследить два процесса, идущих с разными временами релаксации: быстрый процесс установления в первом приближении квазистационарного распределения молекул со временем релаксации  $\tau \sim 1/(\alpha_{10} - \alpha_{01})$  [6] и медленный — эволюцию квазистационарного распределения к равновесному со временем релаксации  $\tau_2 \gg \tau_1$ . Такая ситуация является типичной для многих задач статистической кинетики [7]. В связи с этим решение системы (2) в общем случае связано со значительными трудностями. Однако в данной задаче практически интересным является «медленно» меняющееся квазистационарное решение, эволюция которого и определяет процесс диссоциации. Нахождение



ние этого решения значительно проще, так как оно определяется знанием скорости реакции в каждый данный момент времени. Исходя из этих соображений, в качестве первого приближения возьмем решение следующей системы

$$\begin{aligned} -v &= \alpha_{10}N_1 - \alpha_{01}N_0, \\ \alpha_{i-1,i}N_{i-1} - \alpha_{i,i-1}N_i + \alpha_{i+1,i}N_{i+1} - \alpha_{i,i+1}N_i &= 0 \quad (i = 1, 2, 3, \dots, k-1), \\ \alpha_{k-1,k}N_{k-1} - \alpha_{k,k-1}N_k + \alpha_{dk}N_d^2 - \alpha_{kd}N_k &= 0, \\ v &= \alpha_{kd}N_k - \alpha_{dk}N_d^2, \end{aligned}$$

где

$$v = -\frac{dN_0}{dt} = \frac{1}{2} \frac{dN_d}{dt}.$$

Принимая для верхней границы скорости реакции величину порядка  $\alpha_{kd}N_0e^{-D/kT}$  ( $E_k \approx D$ ), из условия  $\tau_2 \gg \tau_1$  получим следующее условие справедливости приближения (3)

$$\alpha_{10} \gg \alpha_{kd}e^{-D/hT}.$$

Решение системы (3) ищем в виде:

$$N_i = N_0 e^{-(E-E_0)/kT} (1 + \varphi_i) \equiv N_0 e^{-\varepsilon_i} (1 + \varphi_i), \quad \varepsilon_i = \frac{E_i - E_0}{kT},$$

где  $\varphi_i$  — величина, характеризующая отклонение квазистационарного распределения от равновесного распределения Больцмана, причем  $\varphi_0 = 0$ . Подставляя (5) в следующее выражение для скорости

$$v = \alpha_{i-1,i}N_{i-1} - \alpha_{i,i-1}N_i \quad (i = 1, 2, \dots, k)$$

и учитывая, что согласно принципу детального равновесия

$$\frac{\alpha_{i,i-1}}{\alpha_{i-1,i}} = e^{-(\varepsilon_{i-1} - \varepsilon_i)},$$

получаем

$$\varphi_{i-1} - \varphi_i = \frac{v}{N_0} \frac{e^{\varepsilon_{i-1}}}{\alpha_{i-1,i}},$$

откуда

$$\varphi_l = -\frac{v}{N_0} \sum_{i=1}^l \frac{e^{\varepsilon_{i-1}}}{\alpha_{i-1,i}} \quad (0 < l \leq k).$$

Суммируя (5) по всем значениям  $i$  и подставляя (9), получаем выражение для  $N_0$

$$N_0 = \frac{N + v \sum_{i=1}^k \left[ e^{-\varepsilon_i} \sum_{j=1}^{j=i} \frac{e^{\varepsilon_{j-1}}}{\alpha_{j-1,j}} \right]}{\sum_{i=0}^h e^{-\varepsilon_i}},$$

где  $N = \sum_{i=0}^h N_i$  — число молекул в единице объема.

Скорость диссоциации определяется величиной  $N_k$ . Из (5), (9) и (10) получаем

$$N_k = N \frac{e^{-\varepsilon_k}}{\sum_{i=0}^h e^{-\varepsilon_i}} + v \left[ \frac{e^{-\varepsilon_k} \sum_{i=1}^k \left( e^{-\varepsilon_i} \sum_{j=1}^{j=i} \frac{e^{\varepsilon_{j-1}}}{\alpha_{j-1,j}} \right)}{\sum_{i=0}^h e^{-\varepsilon_i}} - e^{-\varepsilon_k} \sum_{i=1}^k \frac{e^{\varepsilon_{i-1}}}{\alpha_{i-1,i}} \right].$$

принимая оценку скорости реакции по порядку величины [условие (4)], (9) и (10) получаем, что для нижних уровней  $\varphi_i \ll 1$  и  $N_0 = N / \sum_{i=0}^k e^{-\varepsilon_i}$ , т. е. на нижних уровнях, в рассматриваемом квазистационарном процессе практически реализуется распределение Больцмана. С тем же приближением можно пренебречь первым членом в квадратной скобке выражения (11) и принять

$$N_k = N \frac{e^{-\varepsilon_k}}{\sum_{i=0}^k e^{-\varepsilon_i}} - v e^{-\varepsilon_k} \sum_{i=1}^k \frac{e^{\varepsilon_{i-1}}}{\alpha_{i-1,i}}. \quad (12)$$

Подставляя (12) в (3), получаем следующее дифференциальное уравнение для концентрации диссоциировавших молекул  $^{1/2} N_d$  как функции времени

$$\frac{1}{2} \frac{dN_d}{dt} \left( 1 + \alpha_{kd} e^{-\varepsilon_k} \sum_{i=1}^k \frac{e^{\varepsilon_{i-1}}}{\alpha_{i-1,i}} \right) = \alpha_{kd} N \frac{e^{-\varepsilon_k}}{\sum_{i=0}^k e^{-\varepsilon_i}} - \alpha_{dk} N_d^2. \quad (13)$$

Его решением является

$$N_d = A [B \operatorname{th} C(t + \tau) - 1], \quad (14)$$

$$A = \frac{1}{4} \frac{\alpha_{kd}}{\alpha_{dk}} \frac{e^{-\varepsilon_k}}{\sum_{i=0}^k e^{-\varepsilon_i}}; \quad B = \sqrt{1 + \frac{n}{A}},$$

$$C = \frac{4\alpha_{dk} AB}{1 + \alpha_{kd} e^{-\varepsilon_k} \sum_{i=1}^k \frac{e^{\varepsilon_{i-1}}}{\alpha_{i-1,i}}}; \quad n = N(t) + \frac{1}{2} N_d(t). \quad (15)$$

определяется из начальных условий:  $N_d = 0$  при  $t = 0$ . Из (14) следует, что при  $t \rightarrow \infty$ ,  $N_d$  асимптотически стремится к равновесному значению  $N_d^0$

$$N_d^0 = A(B - 1). \quad (16)$$

Определяя  $N_d^0$  независимым образом из закона действующих масс, из уравнения (16) можно определить оставшуюся до сих пор неизвестной величину  $\alpha_{dk}$ . Величину  $\alpha_{dk}$  можно определить и непосредственно из уравнения (13), приравняв левую часть последнего нулю.

Скорость диссоциации равна

$$K_{\text{дисс}} = \frac{1}{2} \frac{dN_d}{dt} = \frac{ABC}{\operatorname{ch}^2 C(t + \tau)}. \quad (17)$$

В начальный момент времени, когда  $t \ll \tau$ ,

$$K_{\text{дисс}} = \frac{Cn}{2A} = n \frac{\alpha_{kd} e^{-\varepsilon_k}}{\sum_{i=0}^k e^{-\varepsilon_i} \left[ 1 + \alpha_{kd} e^{-\varepsilon_k} \sum_{i=1}^k \frac{e^{\varepsilon_{i-1}}}{\alpha_{i-1,i}} \right]}. \quad (18)$$

см. работу [8]).

В противоположном предельном случае больших  $t$ ,  $t \gg \tau$

$$K_{\text{дисс}} = 4ABC e^{-2Ct}. \quad (19)$$

Полученные результаты справедливы, как мы указывали, лишь при условии, что разрешенными являются только переходы на соседние уровни. Однако и в общем случае выражения (14) — (19) сохраняют силу, если заменить  $P_{i-1,i}$  некоторыми  $P_{i\text{эфф}}$ .

Система уравнений (3) в случае произвольных  $P_{ij}$  принимает вид:

$$\begin{aligned} -v &= \sum_{i>0} \alpha_{i0} N_i - \sum_{i>0} \alpha_{0i} N_0, \\ \sum_{j \neq 0} \alpha_{ji} N_j - \sum_{j \neq i} \alpha_{ij} N_i &= 0 \quad (i = 1, 2, 3, \dots, k-1), \\ \sum_{j < k} \alpha_{jk} N_j - \sum_{j < k} \alpha_{kj} N_k + \alpha_{dk} N_d^2 - \alpha_{kd} N_k &= 0, \\ v &= \alpha_{kd} N_k - \alpha_{dk} N_d^2. \end{aligned} \quad (20)$$

Непосредственным следствием этой системы является равенство:

$$\sum_{\substack{j < i \\ m \geq i}} \alpha_{jm} N_j - \sum_{\substack{m \geq i \\ j < i}} \alpha_{mj} N_m = v. \quad (21)$$

Решение системы (20) ищем, как и раньше, в виде:

$$N_i = N_0 e^{-\varepsilon_i} (1 + \varphi_i) \quad (i = 0, 1, 2, \dots, k), \varphi_0 = 0.$$

Подставляя в (21), получаем

$$\sum_{\substack{j < i \\ m \geq i}} \alpha_{jm} e^{-\varepsilon_j} \varphi_j - \sum_{\substack{j < i \\ m \geq i}} \alpha_{mj} e^{-\varepsilon_m} \varphi_m = \frac{v}{N_0} \quad (22)$$

или

$$\sum_{j < i} \varphi_j \left( \sum_{m \geq i} \alpha_{jm} e^{-\varepsilon_j} \right) - \sum_{m \geq i} \varphi_m \left( \sum_{j < i} \alpha_{mj} e^{-\varepsilon_m} \right) = \frac{v}{N_0} \quad (23)$$

( $i = 0, 1, 2, \dots, k-1$ )

Решая эту систему алгебраических уравнений по общему правилу, можно найти  $\varphi_l$ ,  $l = 0, 1, 2, \dots, k$ . Полученные  $\varphi_l$  можно преобразовать к виду (9), заменив  $\alpha_{i-1,i}$  некоторыми  $\alpha_{i\text{эфф}}$ , причем легко видеть, что  $\alpha_{i\text{эфф}} \geq \alpha_{i-1,i}$ .

Таким образом, выражения (14) и (19) сохраняют силу и для любых переходов при условии, что  $\alpha_{i-1,i}$  заменено некоторым  $\alpha_{i\text{эфф}}$ .

Исследуем выражение (18) для скорости диссоциации.

При достаточно низких температурах правая часть (9) при  $l = k$  по порядку величины равна

$$\alpha_{kd} e^{-\varepsilon_k} \sum_{i=1}^k \frac{e^{\varepsilon_{i-1}}}{\alpha_{i-1,i}} = \frac{\alpha_{kd}}{\alpha_{k-1,k}} e^{-(\varepsilon_k - \varepsilon_{k-1})} \ll 1.$$

Следовательно, процесс диссоциации при низких температурах не нарушает максвелловского распределения молекул также и на верхних уровнях. Скорость диссоциации в этих условиях равна

$$K_{\text{дисс}} = \alpha_{kd} n \frac{e^{-\varepsilon_k}}{\sum_{i=0}^k e^{-\varepsilon_i}} = \alpha_{kd} n e^{-D^*/kT}, \quad \varepsilon_k = \frac{D - E_0}{kT} \equiv \frac{D^*}{kT} [3]. \quad (24)$$

Это выражение совпадает с выражением, даваемым упрощенной теорией столкновений [1] без учета внутренних степеней свободы сталкивающихся молекул.

При температурах порядка  $T \sim \hbar\omega_{01}/kd$ , где  $d = 2D/\hbar\omega_{01}$

$$\alpha_{kd}e^{-\varepsilon_k} \sum_{i=1}^k \frac{e^{\varepsilon_{i-1}}}{\alpha_{i-1,i}} \sim 1.$$

Следовательно, в большинстве практически интересных случаев процесс диссоциации существенно нарушает больцмановское распределение молекул на верхних уровнях и тем больше, чем выше температура.

При достаточно высоких температурах

$$\alpha_{kd}e^{-\varepsilon_k} \sum_{i=1}^k \frac{e^{\varepsilon_{i-1}}}{\alpha_{i-1,i}} \gg 1, \quad (25)$$

следовательно,

$$K_{\text{дисс}} = \frac{n}{\sum_{i=0}^k e^{-\varepsilon_i} \sum_{i=1}^k \frac{e^{\varepsilon_{i-1}}}{\alpha_{i-1,i}}}. \quad (26)$$

Левую часть (26) можно преобразовать следующим образом. С достаточным приближением для выражения  $\sum_{i=0}^k e^{-\varepsilon_i}$  можно воспользоваться известной формулой для осциллятора [9]

$$\sum_{i=0}^k e^{-\varepsilon_i} = \frac{e^{\theta/2}}{2\text{sh} \frac{\theta}{2}}, \quad (27)$$

$$\theta = \frac{\hbar\omega_{01}}{kT},$$

$$\text{и } \theta \gg 1, \quad 1 - \frac{e^{\theta/2}}{2\text{sh} \frac{\theta}{2}} \ll 1.$$

С другой стороны, выражение  $\sum_{i=1}^k \frac{e^{\varepsilon_{i-1}}}{\alpha_{i-1,i}}$  можно также упростить. Основным вклад в сумму вносят члены с  $i \sim k$ , а в этой области  $\alpha_{i-1,i}$  практически не зависят от  $i$ , поэтому с достаточным приближением можно написать

$$\sum_{i=1}^k \frac{e^{\varepsilon_{i-1}}}{\alpha_{i-1,i}} \approx \frac{1}{(\alpha_{i-1,i})_{\text{ср}}} \sum_{i=1}^k e^{\varepsilon_{i-1}}.$$

Меняя суммирование интегрированием и учитывая, что  $\varepsilon_i$  — собственные значения энергии для потенциала Морзе [3], получаем

$$\sum_{i=1}^k e^{\varepsilon_{i-1}} = e^{D/kT} d \frac{\sqrt{\pi}}{2} \sqrt{\frac{kT}{D}} \left\{ 1 - \Phi \left( \frac{d-k+1/2}{d} \sqrt{\frac{D}{kT}} \right) \right\}. \quad (28)$$

Подставляя (27) и (28) в (26), находим выражение для скорости диссоциации

$$K_{\text{дисс}} = n \frac{2}{d\sqrt{\pi}} \frac{2\text{sh} \frac{\theta}{2}}{e^{\theta/2}} (\alpha_{i-1,i})_{\text{ср}} \sqrt{\frac{D}{kT}} \left\{ 1 - \Phi \left( \frac{d-k+1/2}{d} \sqrt{\frac{D}{kT}} \right) \right\}^{-1} e^{-D/kT}. \quad (29)$$



Полученное выражение справедливо при выполнении условия (25), т. е. в достаточно широком интервале температур. При  $\frac{d-k+1/2}{d} \sqrt{\frac{D}{kT}} \gg 1$ , что соответствует диапазону температур ниже характеристических, выражение (29) принимает вид

$$K_{\text{дисс}} = n \frac{2}{d^2} (d - k + 1/2) (\alpha_{i-1,i})_{\text{ср}} \left( \frac{D}{kT} \right) e^{-D/kT}.$$

При  $\frac{d-k+1/2}{d} \sqrt{\frac{D}{kT}} \ll 1$ , т. е. в диапазоне температур выше характеристических

$$K_{\text{дисс}} = n \frac{2 (\alpha_{i-1,i})_{\text{ср}}}{d \sqrt{\pi}} \left( \frac{D}{kT} \right)^{1.5} e^{-D/kT}.$$

При выполнении условия  $\sqrt{\frac{8d}{\pi\theta}} \left( \frac{M}{\mu} \right)^{3/2} < 1$ , где  $\mu$  — эффективная масса молекулы;  $M$  — эффективная масса частицы, можно воспользоваться выражениями для  $\alpha_{i-1,i}$ , найденными в работе [3]

$$\alpha_{i-1,i} = Z_0 \left( \frac{\mu\theta}{32\pi M d} \right)^{1/2} \frac{\sigma_{\text{возб}}}{\sigma_{\text{норм}}}, \quad \text{где } Z_0 = \sigma_{\text{норм}} \left( \frac{128 kT}{\pi M} \right)^{1/2},$$

$\sigma_{\text{возб}}$ ,  $\sigma_{\text{норм}}$  — газокинетические сечения возбужденной и нормальной молекулы.

Подставляя (32) в (29), получаем скорость диссоциации в последнем случае

$$K_{\text{дисс}} = Z_0 \left( \frac{\mu}{8M\pi^2 d^3} \theta \right)^{1/2} \frac{\sigma_{\text{возб}}}{\sigma_{\text{норм}}} \frac{2\text{sh} \frac{\theta}{2}}{e^{\theta/2}} \sqrt{\frac{D}{kT}} \frac{n e^{-D/kT}}{1 - \Phi \left( \frac{d-k+1/2}{d} \sqrt{\frac{D}{kT}} \right)}.$$

Выражения (30) и (31) очень напоминают результаты, полученные в элементарной теории столкновений.

Действительно, записав формулу (30) следующим образом:

$$K_{\text{дисс}} = \alpha Z_0 \left( \frac{D}{kT} \right) e^{-D/kT} n,$$

где

$$\alpha = \frac{2}{d^2} (d - k + 1/2) (\alpha_{i-1,i})_{\text{ср}},$$

мы приведем ее к виду, известному в элементарной теории столкновений [1], учитывающей одну колебательную степень свободы, возбужденную классически. Несмотря на внешнее сходство этих формул, физические механизмы, лежащие в их основе, различны.

В частности, можно указать, что множитель  $D/kT$  в формуле (30) является не благодаря учету дополнительных степеней свободы, как это имеет место в элементарной теории столкновений, а в результате отклонения распределения молекул по колебательным уровням от распределения Больцмана. Кроме того, и общая температурная зависимость предэкспоненциального фактора, как видно из (33), оказывается другой, поскольку вероятность  $\alpha$  в отличие от элементарной теории столкновений является функцией температуры.

Полученные результаты, сформулированные в уравнениях (17), (24) и (29), позволяют сделать вывод об определяющей роли в рассматриваемом

механизме термической диссоциации переходов с высоковозбужденных вращательных уровней в непрерывный спектр. При достаточно большой скорости диссоциации на верхних уровнях возникают существенные отклонения распределения от равновесного. Эти отклонения оказывают влияние на скорость реакции и на характер ее зависимости от температуры. О количественном сопоставлении этих результатов с экспериментальными данными, по-видимому, говорить преждевременно, поскольку известные в настоящее время формы потенциала взаимодействия атомов в двухатомных молекулах могут претендовать на точность лишь в своей нижней части, где спектроскопические данные позволяют получить ход взаимного взаимодействия. Это относится, в частности, и к потенциалу Морзе. С другой стороны, для более полной количественной теории необходимо дополнительное исследование влияния вращательных и электронных уровней у диссоциирующих молекул. Особый интерес здесь представляют высоковозбужденные состояния, при которых оказывается невозможным разделение энергии на независимые колебательную и вращательную части.

Изучение колебательной диссоциации молекул, проведенное в настоящей работе и в [3], позволяет сделать следующие выводы.

### Выводы

1. Процесс термической диссоциации происходит в результате перехода молекул с высоких возбужденных колебательных уровней в непрерывный спектр.
2. Число молекул на верхних колебательных уровнях в процессе диссоциации отличается от своего равновесного значения. Отклонение от равновесного значения растет с температурой. В практически встречающихся условиях нарушение равновесного распределения по колебательным уровням оказывает существенное влияние на процесс диссоциации.
3. Из решения газокинетических уравнений получены аналитические выражения для скорости диссоциации и для неравновесного распределения молекул по колебательным уровням.

Московский государственный  
университет им. М. В. Ломоносова

Поступила  
23.XII.1957

### ЛИТЕРАТУРА

- Р. Фаулер Э. Гургенгейм, Статистическая термодинамика, ИИЛ, 1949.  
G. Gageri, Nuovo Cimento, 6, 94, 1949: 7, 155, 1950.  
А. И. Осипов, Вестн. МГУ, № 4, 1958.  
В. И. Кондратьев, Элементарные химические процессы, Химтеоретиздат, 1936.  
Л. Кассель, Кинетика гомогенных газовых реакций, Химтеоретиздат, 1937.  
L. Landau, E. Teller, Phys. Z. d. Sowjetunion, 10, 34, 1936.  
Е. В. Ступоченко и А. И. Осипов, Ж. физ. химии, 32, 1673, 1958.  
Н. Н. Боголюбов, Проблемы динамической теории в статистической физике, ГИИТ, 1946.  
П. Эпштейн, Курс термодинамики, ГИИТ, 1948.

### THERMAL DISSOCIATION KINETICS OF DIATOMIC MOLECULES

*E. V. Stupochenko and A. I. Osipov (Moscow)*

#### Summary

In the work the thermal dissociation of diatomic gases has been treated as a process of excitation of vibrational levels during collision, with subsequent transition to the continuous spectrum.

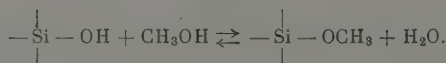
The problem of the dissociation kinetics is put in the form of a system of equations of gas kinetics, containing quantum mechanical expressions for the probability of the transition. By solving this system a generalized expression is obtained for the rate of dissociation, which is then examined in the light of various particular assumptions.

In the study the predominant part in the thermal dissociation mechanism has been ascertained, played by the transition from the highly excited vibrational levels to the continuous spectrum. It has been shown that under practical conditions the reaction leads to violation of the Boltzman distribution at the upper vibrational levels, which affects the reaction rate and the nature of its temperature dependence.

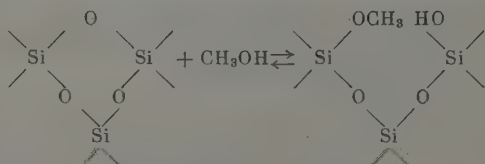
АДСОРБЦИЯ И ХЕМОСОРБЦИЯ МЕТАНОЛА СИЛИКАГЕЛЯМИ  
С РАЗНОЙ СТЕПЕНЬЮ ГИДРАТАЦИИ ПОВЕРХНОСТИ

Л. Д. Белякова и А. В. Киселев

Адсорбция паров метанола на силикагеле, так же как адсорбция паров воды, связана с рядом интересных особенностей, определяемых химическим строением его поверхности. Адсорбция метанола сильно зависит от степени гидратации поверхности силикагеля [1—4]; метанол в значительной степени связывается поверхностью необратимо [5—8]. В первых работах нашей лаборатории, в которых была замечена хемосорбция метанола силикагелями [5, 6], предполагалось, что она осуществляется по схеме:



Эта схема нашла подтверждение в работе [7], в которой было обнаружено появление воды в десорбированном с поверхности алюмосиликагеля спирте. Далее в [8] было найдено, что адсорбция паров метанола на поверхности горного хрусталя, лишенной групп OH, также сопровождается хемосорбцией. Это было объяснено реакцией по схеме:



Условия прохождения реакций (I) и (II) и роль поверхностных групп OH при адсорбции метанола остаются, однако, еще не ясными. Так, в [10] сделано предположение о существовании «вторых» активных центров адсорбции воды и метанола (кроме поверхностных групп OH), причем активность этих «вторых» центров принимается большей активности групп OH. В большинстве этих работ концентрация гидроксильных групп поверхности кремнезёмов  $\alpha_{\text{OH}}$  не определялась, и возникающее поверхностное соединение детально не анализировалось. В настоящей работе мы изучали изменение адсорбционных и хемосорбционных свойств крупнопористого силикагеля по отношению к парам метанола, происходящее в результате резкого изменения  $\alpha_{\text{OH}}$  при лишь незначительном и контролируемом изменении структуры пор.

## Экспериментальная часть

Опыты проводились на установке, схема которой приведена на рис. 1. Она представляет комбинацию трех самостоятельных измерительных установок: *a* — объемной установки, позволяющей измерять адсорбцию газов и некоторых паров (воды, спирта и т. п.); *b* — установки с капиллярными микробюретками, позволяющей измерять адсорбцию органических веществ; измерение адсорбции в этом случае производилось по изменению уровня жидкости в вакуумных микробюретках *II*, *II'*, *II''* (капиллярах) [11—13] и *c* — весовой установки для определения количества адсорбируемой (или десорбируемой) воды, которое измерялось, как в [14], по изменению веса п

ората магния при помощи пружинных кварцевых весов 15. Исследуемый образец помещался в кварцевую ампулу 1\*, температура в которой может быть установлена  $-195^{\circ}$  до  $1200^{\circ}$  С. Система из четырех затворов позволяла соединять ампулы 1 и 2 любой из измерительных установок. При измерении адсорбции паров азота под ампулу с адсорбентом подводился сосуд Дьюара с жидким азотом, во время измерения сорбции других паров адсорбенты термостатировались при  $20 \pm 0,03^{\circ}$  С при помощи термостата Вобзера. Кварцевая гильза имеет двойные стенки, пространство между которыми откачивается.

Для улавливания паров, удаляемых из адсорбента при откачке (например, паров воды из силикагеля), служила ловушка 16, охлаждаемая жидким азотом. Количество паров, сконденсированных в ловушке, может быть затем измерено объемным методом,

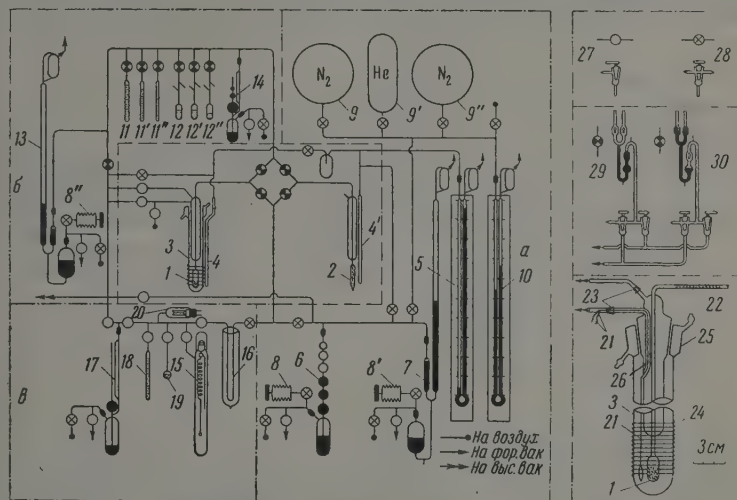


Рис. 1. Схема установки для высоковакуумной дегидратации поверхности адсорбентов: а — объемная установка; б — капиллярная установка; в — весовая установка. 1 — кварцевая ампула; 2 — ампула из молибденового стекла; 3 — рубашка кварцевой гильзы (справа внизу устройство гильзы показано более подробно); 4, 4' — азотные термометры с манометром 5; 6 — газовая бюретка; 7 — манометр объемной установки; 8, 8', 8'' — сифоны для установки уровня ртути в бюретке 6 и манометрах 7 и 13; 9, 9', 9'' — баллоны для газов с манометром 10; 11, 11', 11'' — капиллярные микробюретки разного диаметра; 12, 12', 12'' — ампулы с запасом органических жидкостей; 13 — манометр капиллярной установки; 14, 17 — манометры Мак-Леода; 15 — кварцевые весы с перхлоратом магния; 16 — ловушка для паров; 18 — микробюретка весовой установки; 19 — ампула с запасом воды; 20 — лампа вакуумметра ЛТ-1; 21 — термopара для измерения температуры; 22 — переход от кварца к молибденовому стеклу; 23 — шлиф кварц — молибденовое стекло; 24 — платиновая обмотка для нагревания выше  $900^{\circ}$ ; 25 — водяной холодильник для охлаждения шлифа; 26 — трубка для откачки рубашки; 27 — угловой кран и его обозначение на схеме; 28 — поджимной кран и его обозначение; 29 — ртутный затвор в открытом положении; 30 — то же в закрытом

а количество воды также по привесу перхлората магния. Установка помещена в воздушный термостат, температура в котором поддерживалась  $30 \pm 0,05^{\circ}$  С. Откачка производилась трехступенчатым ртутным насосом Лэнгмюра до  $1 \cdot 10^{-6}$  мм рт. ст.

В данной работе, как и в [12, 15—18], применялся крупнопористый очищенный силикагель КСК-2. Навеска силикагеля в ампуле 1 была откачана при  $200^{\circ}$  в течение приблизительно 100 час. Параллельно откачивалась маленькая ампула с силикагелем (на рис. 1 она не показана), которая после откачки при  $200^{\circ}$  С отпаивалась и использовалась для определения точной навески силикагеля в ампуле 1 (путем учета потери при откачке), а также для определения «структурной воды» сили-

\* Для одновременного использования двух измерительных установок, кроме кварцевой ампулы, имелась еще ампула 2, которая использовалась для обработки образцов ниже  $500^{\circ}$ .



кагеля прокаливанием его в муфельной печи до  $1200^{\circ}\text{C}$ . Силикагель в ампуле 1 по откачки при  $200^{\circ}\text{C}$  откачивался последовательно при 400, 500, 650, 750, 850, 950,  $1020^{\circ}\text{C}$ . По привесу перхлората магния было определено количество воды, выделившейся из силикагеля при переходе от одной температуры откачки к другой. По прокаливанию при каждой из указанных температур последовательно изучались термы адсорбции паров азота, бензола и гексана\*.

По адсорбции пара азота определялась величина удельной поверхности образца  $s$ . Из этих данных и данных по содержанию «структурной воды» силикагеля были рассчитаны величины  $\alpha_{\text{ОН}}$ , приведенные на рис. 2. Из рисунка видно, что  $\alpha_{\text{ОН}}$  в интервале  $200\text{--}800^{\circ}\text{C}$  падает практически линейно\*\*\*. На рис. 2 приведены также изменения удельной поверхности

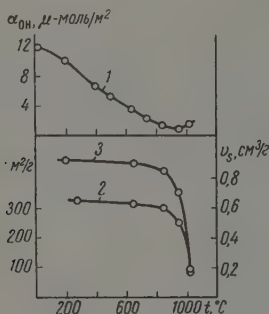


Рис. 2. Изменение: 1 — поверхностной концентрации гидроксильных групп  $\alpha_{\text{ОН}}$ ; 2 — удельной поверхности  $s$  и 3 — общего объема пор  $v_{\text{с}}$  в зависимости от температуры прокаливании силикагеля КСК-2 в вакууме

сти  $s$  (по азоту) и общего объема пор  $v_{\text{с}}$  (по бензолу) силикагеля КСК-2 по мере прокаливании. Нагревание до  $950^{\circ}\text{C}$  уменьшает  $s$  и  $v_{\text{с}}$  всего на 20%. Кривые распределения объема пор по эффективному диаметрам [18] показывают, что размеры пор при этом не изменяются ( $d \approx 100 \text{ \AA}$ ). Дальнейшее нагревание силикагеля до  $1020^{\circ}\text{C}$  ведет уже к существенному сокращению  $s$  и  $v_{\text{с}}$  (приблизительно на 75%), и  $d$  уменьшается при этом до 55–70  $\text{\AA}$ . Адсорбция паров метанола была изучена на образцах, прокаленных при 200, 400, 500, 650 и  $1020^{\circ}\text{C}$ \*\*\*\*.

### Обсуждение результатов

На рис. 3 приведены изотермы адсорбции паров метанола на силикагеле КСК-2, прокаленном при 200, 650 и  $1020^{\circ}\text{C}$ . Из рисунка видно, что адсорбция паров метанола на гидратированной поверхности силикагеля (образец КСК-2,  $200^{\circ}$ ) сильно отличается от адсорбции паров на частично и практически полностью дегидратированной поверхности (образцы КСК-2,  $650^{\circ}$  и КСК-2,  $1020^{\circ}$ ). В то время как десорбционная ветвь изотермы адсорбции паров метанола на образце КСК-2,  $200^{\circ}$  совпадает с адсорбционной ветвью почти вплоть до самых малых относительных давлений  $p/p_{\text{с}}$ , и на поверхности остается лишь небольшое количество хемосорбированного метанола, десорбционные ветви изотерм адсорбции паров метанола на образцах КСК-2,  $650^{\circ}$  и КСК-2,  $1020^{\circ}$  не совпадают с

\* Полученные в данной серии работ результаты изучения адсорбции углеводов опубликованы нами в [18].

\*\* Опыты по дейтерообмену [19] показали надежность определения содержания поверхностных гидроксильных групп из потери при прокаливании.

\*\*\* Некоторое повышение этой кривой при переходе к  $1020^{\circ}\text{C}$  связано, вероятно, с дополнительным выделением при этой температуре небольшого количества воды из внутренних частей глобул, образующих скелет силикагеля, так как при этой температуре происходит заметное спекание силикагеля.

\*\*\*\* Поскольку после снятия изотермы адсорбции паров метанола происходит отравление поверхности силикагеля в результате ее метоксилирования, в этих опытах каждый раз использовалась новая исходная порция адсорбента.

адсорбционными ветвями в широкой области  $p/p_s$ , и на поверхности остается намного большее количество необратимо связанного метанола\*.

Обозначим через  $\alpha_{\text{осн}}$  количество необратимо хемосорбированного метанола после проведения длительного адсорбционно-десорбционного цикла измерений. Эти величины сопоставлены с величинами  $\alpha_{\text{он}}$  в табл. 1, и приведены также некоторые литературные данные. Из таблицы видно, что, в отличие от быстрой физической адсорбции, необратимая хемосорбция метанола, как и в случае воды [20, 16], с уменьшением  $\alpha_{\text{он}}$  растет.

При адсорбции паров метанола равновесное давление устанавливается очень медленно. На рис. 4 приведены кинетические кривые, полученные

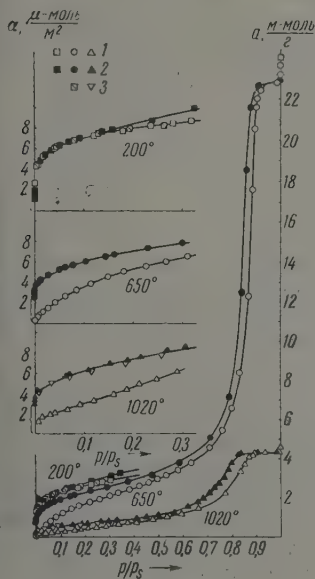


Рис. 3

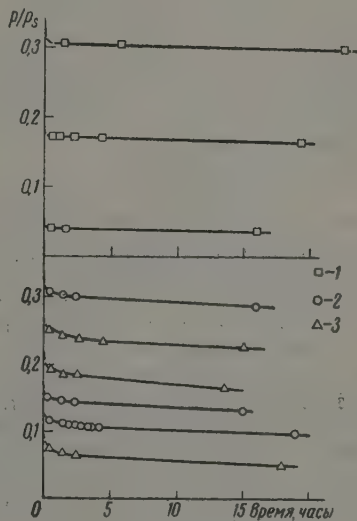


Рис. 4

Рис. 3. Изотермы адсорбции паров метанола на поверхности силикагеля РСК-2 после прокаливания. Здесь и далее черные точки — десорбция. Температуры прокаливания образцов указаны у кривых: 1 — первая адсорбция; 2 — десорбция и 3 — вторая адсорбция. Слева приведены начальные участки изотерм в расчете на единицу поверхности

Рис. 4. Зависимость относительного давления газа над адсорбентом от времени для образцов: 1 — РСК-2, 200°; 2 — РСК-2, 650° и 3 — РСК-2, 1020°

мерением во времени давления пара над адсорбентом после впуска метанола из капилляра. Из рисунка видно, что первичная адсорбция метанола на образце РСК-2, 200° протекала быстро (равновесие устанавливалось практически менее чем за 20—30 мин.), в то время как на образце РСК-2, 650° и РСК-2, 1020° давление медленно уменьшалось после весьма длительного выдерживания. Эти кинетические кривые также показывают, что хемосорбция метанола гидратированной поверхностью силикагеля сильно отличается от хемосорбции метанола дегидратированной поверхностью.

\* Это количество определялось после длительного вымораживания паров с силикагеля в капилляр жидким азотом, причем адсорбент находился при 20° С. Вымораживание проводилось до тех пор, пока в течение последних 12 час. образец не переставал отдавать пары в измеримых количествах. Для РСК-2, 200° вымораживание длилось 100—110 час., для РСК-2, 650° 90—100 час., а для РСК-2, 1020° 40—50 час.

На основании того, что количество необратимо связанного метанола по мере дегидратации поверхности растет, что гидратированный силикагель хемосорбирует лишь небольшое количество метанола, а также на основании кинетических измерений можно предположить, что в реакции образования поверхностного эфира на гидратированной поверхности,

Таблица 1

Сопоставление средней концентрации групп ОН на поверхности кремнезема с количеством необратимо хемосорбированного метанола

Образцы	Температура откачки, °C	$\alpha_{\text{ОН}}$ и моль/м <sup>2</sup>	$\alpha_{\text{ОСН}_2}$ и моль/м <sup>2</sup>	$\alpha_{\text{ОН}} + 2\alpha_{\text{ОСН}_2}$
КСК-2	200	10,1	1,0	12,1
К [6]	300	6,2	1,1	8,4
А [5]	450	5,3	1,2	7,7
КСК-2	650	3,6	2,6	8,8
КСК-2	1020	0,9	2,9	6,7
Горный хрусталь [8]	800	1,1	3,4	7,9

по схеме (I), участвует лишь незначительная часть поверхностных групп ОН. Хемосорбция метанола дегидратированной поверхностью силикагеля происходит преимущественно в соответствии со схемой (II).

Наблюдаемая ранее необратимая адсорбция метанола [5—7] объясняется, в основном, также протеканием реакции по схеме (II), так как во всех случаях авторы имели дело с уже частично дегидратированными поверхностями адсорбентов (откачка при 300—500° C). Штобер [8] считает, что необратимая адсорбция метанола обязана прохождению реакции по схеме (II) (в случае, если поверхность дегидратирована), реакции по схеме (I) [для поверхности, гидратированной путем хемосорбции воды или после прохождения реакции (II)] и адсорбции за счет образования кратных водородных связей. Так, он нашел, что горный хрусталь, откачанный при 25°, необратимо удерживает метанол в количестве около 3,8  $\mu\text{моль/м}^2$ . Однако Штобером не указана длительность десорбции при 25°.

Таблица 2

Результаты термического разложения продукта необратимой адсорбции метанола

Интервал температуры, °C	Количество конденсирующейся фракции (в расчете на метанол), $\mu\text{моль/м}^2$	Количество газов, $\mu\text{моль/м}^2$
20—150	0,18	0,00
150—200	0,00	0,00
200—250	0,48	0,00
250—400	0,24	0,76
400—500	0,00	1,06
500—600	0,00	0,13

Возможно, что при длительном вымораживании количества необратимо удерживаемого при этой температуре метанола и в этом случае уменьшалось бы.

Чтобы установить, насколько прочно хемосорбированный метанол связан с поверхностью, были проведены опыты по термическому разложению поверхностного соединения метанолом, результаты которых, относящиеся к образцу КСК-2, 65 приведены в табл. 2.

Из табл. 2 видно, что при нагревании приблизительно до 200° удаляется всего около 7% необратимо сорбированного вещества. Нагре-

вание до 250° C приводит к удалению уже значительного количества хемосорбированного вещества — в виде метанола и, возможно, небольшого количества воды за счет параллельно идущей дегидратации поверхности. Возможно, что при этом идет реакция, обратная реакции (II). Дальнейшее нагревание приводит к выделению газов за счет разложения поверхностных групп —  $\text{ОСН}_2$ , силикагель при этом обугливается.

Из последнего столбца табл. 1 видно, что для кремнеземов с частично и полностью дегидратированной поверхностью сумма  $\alpha_{\text{ОН}} + 2\alpha_{\text{ОСН}_3}$  \* составляет около  $6,5 - 8,5 \mu\text{моль/м}^2$ , это на  $1/3$  меньше  $\alpha_{\text{ОН}}$ , отвечающей полной гидратации поверхности этого силикагеля ( $11,5 \mu\text{моль/м}^2$ ). Можно было предположить, что это связано с неполным прохождением реакции метоксилирования по схеме (II) во время адсорбционно-десорбционных измерений при  $20^\circ\text{C}$ . Поэтому образец КСК-2,  $1020^\circ$  после длительного выдерживания в насыщенных парах метанола при  $20^\circ\text{C}$  нагревался далее до  $80$  и  $200^\circ\text{C}$  при давлении пара метанола около  $120 \text{ мм рт. ст.}$

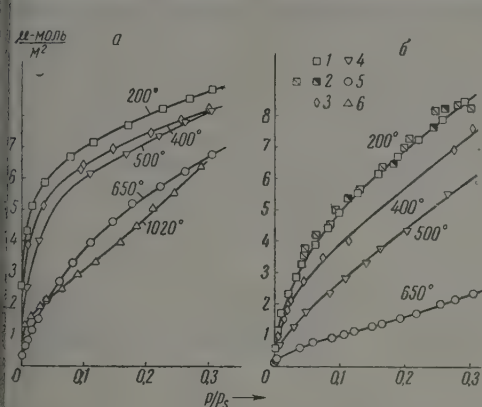


Рис. 5

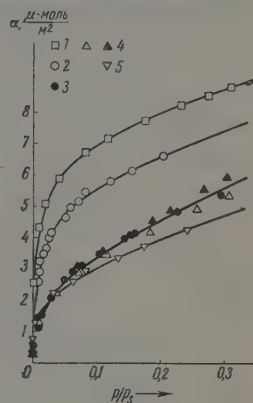


Рис. 6

рис. 5. Изотермы первичной адсорбции паров метанола *a* и воды *б* на силикагеле КСК-2, прокаленном при: 1, 2 —  $200^\circ$ ; 3 —  $400^\circ$ ; 4 —  $500^\circ$ ; 5 —  $650^\circ$ ; 6 —  $1020^\circ$ . Данные по адсорбции паров воды на образце КСК-2,  $200^\circ$ : 1 — получены объемным методом; 2 — данные по адсорбции паров воды на образце КСК-2,  $200^\circ$  и 3 — КСК-2,  $400^\circ$  взяты из [16]

рис. 6. Изотермы адсорбции паров метанола на силикагелях КСК, содержащих разное количество групп  $\text{OSiH}_3$  (в  $\mu\text{моль/м}^2$ ): 1 — 0; 2 — 1,5; 3 — 2,6; 4 — 2,9 и 5 — 3,6

после этого уже описанным способом определялась величина  $\alpha_{\text{ОСН}_3}$ . Если после проведения адсорбционно-десорбционного цикла при  $20^\circ\text{C}$   $\alpha_{\text{ОСН}_3} = 2,9 \mu\text{моль/м}^2$ , то после нагревания при  $80^\circ$  в течение 20 час.  $\alpha_{\text{ОСН}_3} = 3,2 \mu\text{моль/м}^2$ , а при  $200^\circ$  в течение 12 час.  $\alpha_{\text{ОСН}_3} = 3,4 \mu\text{моль/м}^2$ \*\*. Таким образом, нагревание приводит лишь к незначительному увеличению количества необратимо адсорбированного спирта. В работе [21] нагревание алюмогеля и алюмосиликагеля от  $20$  до  $80^\circ\text{C}$  в парах метанола также не привело к заметному увеличению необратимой адсорбции метанола.

Поверхность образца силикагеля КСК-2, откачанного при  $900^\circ$ , после выдерживания в воде в течение двух месяцев регидратировалась до  $2 \mu\text{моль/м}^2$  группы  $\text{ОН}$  на  $\text{м}^2$ . Таким образом, дегидратированная поверхность кремнезема способна реагировать с метанолом при  $20^\circ\text{C}$  приблизительно такой же мере как и с водой. В [22] также найдено, что силикагель хемосорбирует воду и метанол приблизительно в одинаковых количествах. Эти данные показывают, что процессы хемосорбции метанола и воды дегидратированной поверхностью кремнезема протекают аналогично и приводят в этом случае к образованию приблизительно по одной группе  $\text{ОН}$  или  $\text{ОСН}_3$  на каждый поверхностный атом кремния ( $\alpha_{\text{Si}} \approx 7,7 \mu\text{моль/м}^2$  [23]).

\* В соответствии с (II) хемосорбция молекулы  $\text{CH}_3\text{OH}$  приводит к образованию групп  $\text{SiOCH}_3$  и  $\text{SiOH}$  в эквивалентных количествах.

\*\* Определение потери при прокаливании этого образца при  $1150^\circ$  в пересчете на  $\text{CH}_3\text{OH}$  дает также близкую величину  $3,3 \mu\text{моль/м}^2$ .



На рис. 5 приведены начальные участки изотерм первичной адсорбции паров метанола и воды на образцах, прокаленных при разных температурах. Точки измерены через 1,5 часа после выпуска паров, так как в основании кинетических измерений мы считали, что физическая адсорбция к этому времени полностью заканчивается, а химическая реакция проходит еще незначительно. Из рис. 5 видно, что с уменьшением  $\alpha_0$  адсорбция паров метанола и воды сильно падает, и форма изотерм меняется от выпуклой к вогнутой. Благодаря наличию группы  $\text{CH}_3$  в молекуле  $\text{CH}_3\text{OH}$ , увеличивающей энергию дисперсионного взаимодействия с кремнеземом, адсорбция метанола больше, чем воды, и изменени

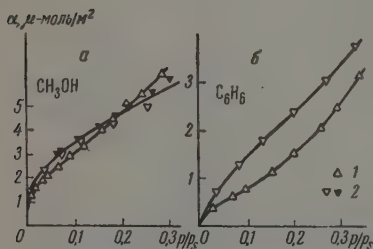


Рис. 7

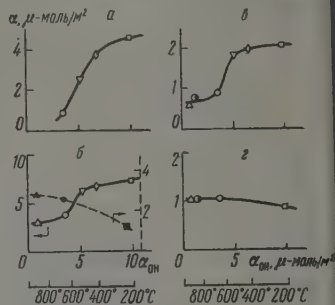


Рис. 8

Рис. 7. Изотермы адсорбции (паров: а — метанола и б — бензола: 1 — на образце КСК-2, 1020° и 2 — на этом же образце после проведения на нем адсорбционно-десорбционного цикла с метанолом

Рис. 8. Зависимость адсорбции  $\alpha$ : а — паров воды; б — метанола; в — бензола и г — гексана при  $p/p_s = 0,1$  от  $\alpha_{\text{ОН}}$  — концентрации гидроксильных групп на поверхности силикагеля КСК-2. Пунктирной линией нанесена зависимость от  $\alpha_{\text{ОН}}$  хемосорбированного количества метанола

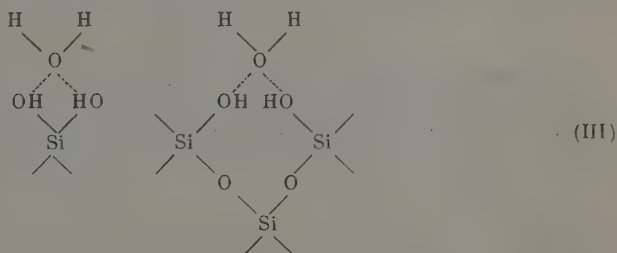
формы изотермы в случае воды происходит сильнее. При адсорбции паров метанола и воды (а также паров других веществ) на сильно дегидратированной поверхности, когда изотермы в широком интервале  $p/p_s$  уже вогнуты, вначале сохраняется выпуклость [18, 24], что объясняется химической и геометрической неоднородностью поверхности.

Метоксилирование гидратированной поверхности силикагеля приводит к снижению последующей адсорбции паров метанола [5, 25]. На рис. 6 приведены абсолютные изотермы адсорбции паров метанола на силикагелях, метоксилированных в различной степени. Точки 1 относятся к исходному образцу, точки 3 и 4 получены из десорбционных ветвей изотерм рис. 3 (образцы КСК-2, 650° и КСК-2, 1020°) вычитанием необратимо адсорбированного количества метанола, точки 2 и 5 отвечают поверхности, метоксилированной путем взаимодействия диазометана с силикагелем и метанола с хлорированным силикагелем [25]. Из рисунка видно, что метоксилирование поверхности силикагеля во всех случаях приводит к снижению адсорбции паров метанола. Это указывает на то, что взаимодействие метанола с группами  $\text{ОН}$  поверхности силикагеля больше их взаимодействия с группами  $\text{ОСН}_3$ .

На рис. 7 приведены изотермы адсорбции паров метанола и бензола на дегидратированном образце и на этом же образце после его метоксилирования. Из рисунка видно, что метоксилирование дегидратированной поверхности, в отличие от метоксилирования гидратированной поверхности, приводит к небольшому росту адсорбции метанола, очевидно, в результате появления на поверхности групп  $\text{ОН}$  по реакции (II). Адсорбция паров бензола после метоксилирования дегидратированной поверхности тоже растет, что также указывает на появление на ней групп  $\text{ОН}$ .

ужающих активными центрами для адсорбции молекул бензола [2, 18, 27].

На рис. 8 приведена зависимость адсорбции паров воды, метанола, нзола и гексана при  $p/p_s = 0,1$  от  $\alpha_{OH}$ . Для первых трех веществ, способных к образованию водородных связей [2, 20, 26, 27], наблюдается резкий спад адсорбции в узком интервале изменения  $\alpha_{OH}$  ( $4-6 \mu\text{моль}/\text{м}^2$ ). На поверхностях раскола кристалла  $\alpha$ -кварца имеют место расстояния между атомами кислорода 2,6; 3,8; 4,8 Å и еще большие, и при различной степени гидратации поверхности среднее расстояние между группами OH будет определяться их концентрацией на поверхности. Так как выделение воды при дегидратации идет, естественно, в первую очередь за счет низко расположенных гидроксильных групп, то можно ожидать, что у образца с  $\alpha_{OH} = 5 \mu\text{моль}/\text{м}^2$  практически отсутствуют группы OH, расположенные на расстояниях, меньших 6 Å. В случае адсорбции воды на поверхностях силикагеля с большой концентрацией групп OH расстояния между ними позволяют молекулам воды образовывать водородные связи одновременно с двумя группами OH:



По мере уменьшения  $\alpha_{OH}$  возможность образования таких связей сначала уменьшается мало, и адсорбция паров воды в сравнительно широком интервале изменения  $\alpha_{OH}$  (от 11 до  $7 \mu\text{моль}/\text{м}^2$ ) падает незначительно. При дальнейшем изменении  $\alpha_{OH}$  (от 7 до  $4 \mu\text{моль}/\text{м}^2$ ) происходит резкое уменьшение адсорбции паров воды (приблизительно в четыре раза), что можно объяснить резким сокращением возможности образования связей типа (III), так как расстояния между группами OH поверхности становятся слишком большими ( $>6 \text{ Å}$ ) для образования таких связей. Молекулы воды могут также образовывать водородные связи с одной гидроксильной группой:



Однако силикагель, содержащий  $3,5 \mu\text{моль}/\text{м}^2$  групп OH, адсорбирует меньше  $1 \mu\text{моль}/\text{м}^2$  воды (при  $p/p_s = 0,1$ ), т. е. при этом  $p/p_s$  не каждая группа OH, оставшаяся на поверхности, принимает участие в адсорбционном акте. Возможно, что в этом случае образование водородных связей между молекулами воды и группами OH на поверхности по схеме (IV) или вовсе не происходит, или играет лишь подчиненную роль.

Адсорбция метанола, по-видимому, происходит совершенно аналогично. Меньшее влияние дегидратации поверхности на адсорбцию паров метанола (уменьшение адсорбции в интервале изменения  $\alpha_{OH}$  от 7 до  $4 \mu\text{моль}/\text{м}^2$  в два, а не в четыре раза) объясняется тем, что группы  $\text{CH}_3$  адсорбирующихся молекул метанола сильнее взаимодействуют с дегидратированной поверхностью силикагеля за счет ван-дер-ваальсовых сил.

При адсорбции бензола также играет существенную роль возможность образования связи молекулы бензола с группами ОН поверхности [1, 27]. Значительное уменьшение адсорбции бензола (в два раза) при изменении  $\alpha_{\text{ОН}}$  от 6 до 4  $\mu\text{моль/м}^2$  связано, по-видимому, с тем, что при больших  $\alpha_{\text{ОН}}$  бензол адсорбируется как за счет ван-дер-ваальсовых сил, так и за счет взаимодействий с гидроксилами, а при малых  $\alpha_{\text{ОН}}$  он адсорбируется преимущественно за счет ван-дер-ваальсовых сил [48].

На рис. 8, б пунктирной линией для КСК-2 показана зависимость  $\alpha_{\text{ОН}}$  количества хемосорбированного метанола (по данным табл. 1). Из рисунка видно, что хемосорбция метанола по мере дегидратации поверхности кремнезема растет, протекая преимущественно по схеме (II). В дальнейшем предполагается исследовать возможные изменения при прокаливании в частицах  $\text{SiO}_2$ , образующих скелет силикагеля, а также произвести детальный анализ как самих поверхностных соединений, так и продуктов их разложения.

Авторы благодарят В. С. Броннвагера и Г. Г. Муттик за советы и помощь при конструировании установки.

### Выводы

1. Хемосорбция метанола силикагелем растет с уменьшением концентрации групп ОН на его поверхности. Это объяснено протеканием реакции метоксилирования поверхности не только по схеме взаимодействия с гидроксидом кремниевой кислоты, но и по схеме разрыва кремнекислородных связей.

2. Адсорбция паров воды, метанола и бензола резко падает в узком интервале изменения средней концентрации групп ОН на поверхности силикагеля.

Московский государственный  
университет им. М. В. Ломоносова

Поступила  
30.XII.1957

### ЛИТЕРАТУРА

1. А. В. Киселев, К. Г. Красильников и Л. Н. Соболева, Докл. АН СССР, 94, 85, 1954.
2. А. В. Киселев, Сборник «Поверхностные химические соединения и их роль в явлениях адсорбции», Изд-во МГУ, 1957, стр. 90, 199.
3. С. П. Жданов и А. В. Киселев, Ж. физ. химии, 31, 2213, 1957.
4. Л. Н. Соболева и А. В. Киселев, Ж. физ. химии, 32, 49, 1958.
5. О. М. Джигит, А. В. Киселев, Н. И. Микос-Авгуль, К. Д. Щербакова, Докл. АН СССР, 70, 441, 1950.
6. Н. Н. Авгуль, О. М. Джигит, А. В. Киселев и К. Д. Щербакова, Ж. физ. химии, 26, 977, 1952.
7. К. В. Топчиева, А. П. Баллод, Докл. АН СССР, 75, 247, 1950.
8. W. Stöber, Kolloid-Z., 145, 17, 1956.
9. В. А. Никитин, А. Н. Сидоров, и А. В. Карякин, Ж. физ. химии, 30, 117, 1956.
10. А. Н. Сидоров, Ж. физ. химии, 30, 995, 1956.
11. В. П. Древинг, А. В. Киселев, Ю. А. Эльтеков, Докл. АН СССР, 86, 340, 1952.
12. А. А. Исирикян и А. В. Киселев, Ж. физ. химии, 31, 2127, 1957.
13. Н. Н. Авгуль, Г. И. Березин, А. В. Киселев, И. А. Лыгин и Г. Г. Муттик, Ж. физ. химии, 31, 1111, 1957.
14. М. А. Калико, Сборник «Поверхностные химические соединения и их роль в явлениях адсорбции», Изд-во МГУ, 1957, стр. 155.
15. А. А. Исирикян и А. В. Киселев, Докл. АН СССР, 110, 1009, 1956.
16. Л. Д. Белякова, О. М. Джигит и А. В. Киселев, Ж. физ. химии, 31, 1577, 1957.
17. А. А. Исирикян и А. В. Киселев, Ж. физ. химии, 32, 679, 1958.
18. Л. Д. Белякова и А. В. Киселев, Докл. АН СССР, 119, 298, 1958.
19. R. G. Naldeman, R. N. Emmett, J. Amer. Chem. Soc., 78, 2117, 1956.
20. С. П. Жданов, Докл. АН СССР, 68, 99, 1949; 100, 1115, 1955.
21. И. В. Смирнова, К. В. Топчиева и В. С. Юнгман, Ж. физ. химии, 31, 1338, 1957.

- J. Kipling and D. B. Peakall, J. Chem. Soc., 834, 1957.  
H. De Boer and J. M. Vleeskens, Proc. Koninkl. Nederl. Acad. Wetenschappen, B61, 2, 1958.  
А. В. Киселев и Г. Г. Муттик, Коллоидн. ж., 19, 562, 1957.  
Р. Д. Щербакова и К. И. Словецкая, Докл. АН СССР, 111, 858, 1956.  
А. В. Киселев, Успехи химии, 25, 705, 1956.  
А. В. Киселев, Д. П. Пошкус, Докл. АН СССР, 120, 834, 1958.
- 

# ADSORPTION AND CHEMISORPTION OF METHANOL BY SILICA GEL WITH DIFFERENT DEGREES OF SURFACE HYDRATION

*M. D. Belyakova and A. V. Kiselev (Moscow)*

## S u m m a r y

Coarsely porous silica gel was dehydrated by heating at 200 to 1020° in a vacuum engement permitting measurments of the porosity, surface area and mean surface con-  
ration of the hydroxyl groups  $\alpha_{OH}$ .

The physisorption of water, methanol and benzene vapors diminishes with dehydra-  
of the silica gel surface, the fall being particularly sharp on change in  $\alpha_{OH}$  within  
limits 7 to 4  $\mu$  moles/m<sup>2</sup>. The chemisorption of both methanol and water increases with  
easing OH concentration on the surface. This is explained by the methoxylation of  
surface according to the mechanism in which Si — O — Si bonds are ruptured with  
formation of Si—OH and Si—OCH<sub>3</sub> groups.

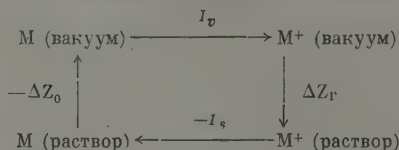
---



## РАСЧЕТ ЭНТРОПИИ ГИДРАТАЦИИ КАТИОНОВ

С. И. Дракин и В. А. Михайлов

В предыдущей статье [1] нами был разработан метод расчета энергии гидратации катионов, основанный на термодинамическом цикле:



В данном цикле нейтральный атом подвергается ионизации в вакууме, на что затрачивается энергия  $I_v$  (в случае отрыва нескольких электронов  $\Sigma I_v$ ); полученный ион переводится в раствор, и к нему присоединяется электрон, что сопровождается выделением энергии  $I_s$  (для многозарядного иона соответственно  $\Sigma I_s$ ). На основании этого цикла энергия гидратации катиона  $\Delta Z_r$  рассчитывалась по уравнению:

$$\Delta Z_r = \Sigma I_s - \Sigma I_v + A_{\pi} - RT \ln \frac{1}{22,4},$$

где  $A_{\pi}$  — работа образования полости в растворе, занимаемой ионом.

Поскольку существует термодинамическое соотношение

$$\frac{\partial \Delta Z}{\partial T} = -\Delta S,$$

дифференцирование уравнения (1) по температуре дает возможность вычислить энтропии гидратации ионов:

$$\Delta S_r = -\frac{\partial \Delta Z_r}{\partial T} = -\frac{\partial}{\partial T} \Sigma I_s + \frac{\partial}{\partial T} \Sigma I_v - \frac{\partial}{\partial T} A_{\pi} + R \ln \frac{1}{22,4}.$$

Теоретический расчет энтропий гидратации представляет интерес только как метод нахождения этих важных величин. Сопоставление численных и экспериментальных значений энтропий гидратации является экспериментальным критерием правильности расчета энергий гидратации. Это обусловлено тем, что энтропия ионов в растворе является единственным параметром гидратированных ионов, для которого произведены экспериментальные определения абсолютных значений. Это дает возможность вычислить абсолютные энтропии гидратации индивидуальных ионов без применения каких-либо допущений. Что касается теплот и энергий гидратации, то экспериментально определимы лишь их суммы для катиона и аниона. Разделение этих сумм на отдельные составляющие основано на различных допущениях, например, мы во всех наших работах исходим из предположения о равенстве  $\Delta H_r$  и  $\Delta Z_r$  для ионов  $\text{Cs}^+$  и  $\text{I}^-$ . Это обстоятельство вносит известную неуверенность в экспериментальные значения энергий гидратации индивидуальных ионов.

Для расчета энтропий гидратации ионов необходимо уточнить значения двух последних членов в уравнении (3). ..

В предыдущей статье [1] работа образования полости в растворе, значаемая  $A_{\Pi}$ , рассчитывалась, как работа создания поверхности жидкости, равной поверхности сферы с радиусом  $r_i$  ( $r_i$  — радиус иона):

$$A_{\Pi} = 4\pi r_i^2 N \sigma. \quad (4)$$

В этом свободная энергия поверхности  $\sigma$  отождествлялась с полной поверхностной энергией  $E$ , вычисляемой по правилу Стефана. Эти величины связаны соотношением

$$E = \sigma - T \frac{\partial \sigma}{\partial T}. \quad (5)$$

Теперь, когда мы ставим своей целью вычисление энтропии гидратации, необходимо учесть различие между  $\sigma$  и  $E$ , придав какое-то определенное значение величине  $\partial \sigma / \partial T$ . Поскольку  $\sigma$  в уравнении (4) является свободной энергией некоторой гипотетической поверхности, молекулы которой имеют ту же ориентацию, что и внутри жидкости, экспериментальное определение  $\sigma$  и  $\partial \sigma / \partial T$ , очевидно, невозможно. Строгий теоретический расчет этих величин также затруднителен. Таким образом, об этих величинах трудно сказать что-либо более определенное, кроме того, что они должны удовлетворять уравнению (5), в котором значение  $E$ , рассчитанное по правилу Стефана, равно  $353 \text{ эрг/см}^2$ .

Для большинства жидкостей, в том числе и для таких, на поверхности которых явление преимущественной ориентации молекул выражено незначительной степени, значения  $\partial \sigma / \partial T$  при обычной температуре меняются в сравнительно узких пределах (от  $-0,1$  до  $-0,2 \text{ эрг/см}^2 \cdot \text{град}$ ). Поэтому в качестве первого приближения можно принять, что значение  $\partial \sigma / \partial T$  для неориентированной поверхности воды совпадает со значением  $\partial \sigma / \partial T$  для обычной поверхности воды, т. е. равно  $-0,155 \text{ эрг/см}^2 \cdot \text{град}$ . [2]. В этом случае значение  $\sigma$  равно  $353 - 298 \cdot 0,155 = 307 \text{ эрг/см}^2$  уравнения для работы и энтропии образования полости запишутся следующим образом:

$$A_{\Pi} = 5,56 r_i^2 \text{ ккал/г-ион}; \quad (6)$$

$$S_{\Pi} = - \frac{\partial A_{\Pi}}{\partial T} = - 4\pi r_i^2 N \frac{\partial \sigma}{\partial T} = 2,82 r_i^2 \text{ энтр. ед.}, \quad (7)$$

где  $r_i$  выражено в ангстремах.

Последний член уравнения (1), равный  $RT \ln \frac{1}{22,4}$ , учитывает изменение объема ионного газа при растворении его в воде с образованием одномолярного раствора. Величина  $22,4 \text{ л}$  не совсем правильна, так как она относится не к стандартной температуре  $25^\circ$ , а к  $0^\circ$ . При  $25^\circ$  амм-молекула газа занимает объем  $24,4 \text{ л}$ . Таким образом, точное значение данного члена равно  $RT \ln \frac{1}{24,4} = -1,9 \text{ ккал/г-ион}$  и энтропия сжатия ионного газа будет  $R \ln \frac{1}{24,4} = -6,3 \text{ энтр. ед.}$

Таковы те небольшие изменения, которые необходимо ввести в уравнение (3) для нахождения энтропии гидратации. Остальные члены этого уравнения могут быть дифференцированы по температуре без каких-либо дополнительных уточнений.

Для вычисления работы ионизации в растворе  $I_s$  ранее [1] было вы-

ведено уравнение:

$$I_s = zNc^2 \int_{r_i}^{r_z} \frac{dr}{\varepsilon r^3} + \frac{zNe^2}{\varepsilon} \int_{r_z}^{\infty} \frac{dr}{r^2} - \frac{zNe^2}{\varepsilon_0 n r_i},$$

где  $n$  — коэффициент борновского отталкивания,  $r_i$  — радиус иона,  $r_z$  — радиус сферы диэлектрического насыщения, равный для одно-, двух- и трехвалентных ионов 1,97; 2,79 и 3,40 Å,  $\varepsilon_0$  — диэлектрическая постоянная у поверхности иона,  $\varepsilon$  — диэлектрическая постоянная воды в отсутствие электрического поля,  $\varepsilon$  — диэлектрическая постоянная воды в сфере диэлектрического насыщения, вычисляемая по уравнению:

$$\varepsilon = \frac{\frac{16}{3} \pi n_M \alpha_{\text{деф}} + \frac{8 \pi n_M \mu r^2}{ze} - 1}{1 - \frac{4 \pi n_M \alpha_{\text{деф}}}{3} - \frac{4 \pi n_M \mu r^2}{ze} + \frac{12 \pi n_M k T r^4}{z^2 e^2}} + 2,$$

где  $n_M$  — число молекул в единице объема, равное  $\rho V/M$  ( $\rho$  — плотность,  $M$  — мол. вес,  $N$  — число Авогадро),  $\mu$  — дипольный момент,  $\alpha_{\text{деф}}$  — деформационная поляризуемость.

Дифференцируя уравнение (8) по температуре и отбрасывая члены, содержащие  $r^4$  (допустимость такого упрощения была проверена численным подсчетом), мы получаем электростатическую составляющую энтропии гидратации:

$$S_n = \frac{\partial I_s}{\partial T} = \frac{4 \pi N^2 \frac{\partial \rho}{\partial T}}{M \left( 1 + \frac{8 \pi N \alpha_{\text{деф}} \rho}{3 M} \right)^2} \left\{ z e^2 \alpha_{\text{деф}} \left[ \frac{1}{r_i} \left( 1 - \frac{1}{n} \right) - \frac{1}{r_z} \right] + \right. \\ \left. + e \mu \left[ r_z - r_i \left( 1 + \frac{1}{n} \right) \right] \right\} + \frac{1}{\varepsilon^2} \frac{\partial \varepsilon}{\partial T} \frac{z N e^2}{r_z}, \quad (1)$$

что после подстановки численных величин\* дает

$$\frac{\partial I_s}{\partial T} = 30,8 \left[ \frac{z}{r_i} \left( 1 - \frac{1}{n} \right) - \frac{z}{r_z} \right] + 4,25 \left[ r_z - r_i \left( 1 + \frac{1}{n} \right) \right] + 19,4 \frac{z}{r_z} \text{ э. ед.} \quad (1)$$

Для расчетов по уравнению (11) радиусы ионов должны быть выражены в ангстремах.

Производная  $I_r$  по температуре представляет собою энтропию ионизации в вакууме. Эту небольшую величину мы в настоящей работе не принимаем во внимание.

При помощи приведенных выше формул нами был произведен расчет энтропий гидратации для 34 катионов, результаты этого расчета составлены в таблице с экспериментальными данными.

Во всех расчетах мы пользовались системой радиусов ионов в водном растворе  $r_{\text{aq}}$ , предложенной в работе [3]. Радиусы ионов, неспособные к длительному существованию в растворе, таких, как  $\text{Mg}^+$ ,  $\text{Al}^{2+}$  и т. п., необходимые для вычисления  $\Sigma I_s$ , определялись при помощи приемов, применявшегося при расчете энергий гидратации. Поскольку

\* Влияние электрического поля на  $\mu$ ,  $\alpha_{\text{деф}}$ ,  $\rho$  и  $\partial \rho / \partial T$  не принималось во внимание, и для всех указанных величин были взяты значения, найденные при исследовании воды в обычных условиях.

являющие  $\Sigma I_s$ , получаемые при помощи величин этих промежуточных радиусов, являются относительно небольшими, погрешности, связанные выбором этих радиусов, не оказывают большого влияния на конечный результат.

Составление вычисленных энтропий и теплот гидратации с экспериментальными данными

Ион	$r_{aq}, \text{ \AA}$	$n$	$-\Delta S_r$ , энтр. ед.		Расхождение, энтр. ед.	$-\Delta H_r$ , ккал		Расхождение, %
			теоретич. расчет	эксперимент. данные		теоретич. расчет	эксперимент. данные	
Ионы с электронной конфигурацией атомов инертных газов								
	1,06	5	23,4	30,9	— 7,5	113	125	—10
+	1,26	7	19,2	22,5	— 3,3	106	99	7
+	1,61	9	10,9	14,2	— 3,3	85	80	6
+	1,77	10	7,4	11,6	— 4,2	79	74	7
+	1,93	12	4,0	10,8	— 6,8	67	66	2
2+	0,62	5	104,5	—	—	487	601	—19
2+	1,06	7	64,5	67,3	— 2,8	474	466	2
2+	1,34	9	48,6	54,0	— 5,4	384	386	—0,5
2+	1,55	10	38,7	52,9	—14,2	353	350	1
2+	1,71	12	33,1	42	— 9	323	318	1,6
2+	1,80	13,5	29,7	33	— 3	330	308	7
3+	0,85	7	156,8	116,5	40,3	1030	1112	—7
3+	1,11	9	124,8	—	—	917	956	—4
+	1,34	10	101,1	—	—	825	866	—5
3+	1,50	12	91,0	91	0	768	792	—3
3+	1,46	12	94,4	91	3	—	759	—

#### Ионы, не обладающие конфигурацией атомов инертных газов

+	1,24	9	20,8	31,0	—10,2	130	116	12
+	1,41	10	16,3	24,3	—8,0	134	143	—6
+	1,77	12	7,8	13,5	—5,7	99	80	24
2+	1,11	9	67,0	68,0	—1,0	511	491	4
2+	1,31	10	54,6	58,8	—4,2	482	439	10
2+	1,40	12	51,5	—	—	511	460	11
2+	1,11	9	67,5	69,1	—1,6	467	467	0
2+	1,10	9	68,3	79,3	—11,0	486	498	—2
2+	1,06	9	71,1	80,3	—9,2	502	508	—1
2+	1,07	9	73,8	66,1	7,7	519	504	3
2+	1,60	12	40,6	41,0	0,4	412	370	11
2+	1,32	10	53,5	—	—	438	377	16
2+	1,19	9	62,0	62	0	445	450	—1
3+	0,90	9	156,1	128	28	1054	1129	—7
3+	1,20	10	118,0	108	10	996	999	—0,3
3+	1,33	12	106,7	154	—47	1015	1009	1
3+	0,95	9	155,0	114,2	40,8	1028	1053	—2
3+	0,97	9	153,0	—	—	951	1009	—6

Экспериментальные величины энтропий гидратации вычислялись как разность абсолютной энтропии иона в растворе и энтропии газообразного иона, определяемой по уравнению Закура:

$$S_{\text{газ}} = \frac{3}{2} R \ln A_i + 26,00, \quad (12)$$

где  $A_i$  — ионный вес.

Электронная составляющая энтропии ионного газа нами не учитывалась.

Абсолютные энтропии ионов в растворе были получены прибавлением величинам стандартных ионных энтропий, приводимым в справочнике [4] \*, абсолютной энтропии иона водорода, умноженной на валентность

\* Значение энтропии иона  $\text{Cu}^+$  в растворе было исправлено в соответствии с значениями составителя справочника, см. [5].



иона. Абсолютная энтропия иона  $H^+$  была принята равной  $-2,1$  энтр. ед. это значение рекомендуется в литературе как наиболее достоверное [6].

Сопоставление, проведенное в таблице, показывает, что для большинства одно- и двухвалентных ионов расхождение не превышает 7 энтр. ед. При этом следует иметь в виду, что абсолютная энтропия иона  $H^+$ , необходимая для вычисления экспериментальных значений  $\Delta S_r$ , определена по-видимому, с точностью приблизительно  $\pm 3$  энтр. ед., и возможна

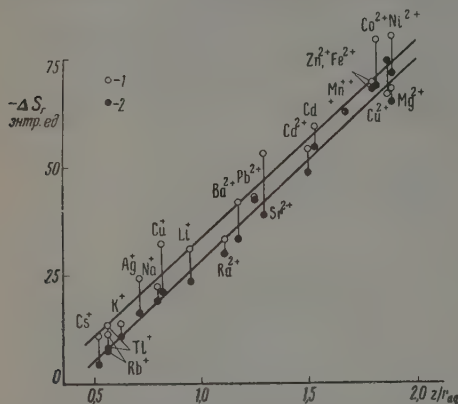


Рис. 1. Зависимость энтропии гидратации от  $z/r_{аг}$ : 1 — экспериментальные значения; 2 — данные теоретического расчета

нашего расчета. Указанные выше ошибки в экспериментальном определении энтропий сильно возрастают в случае трехвалентных ионов, поэтому экспериментальные значения энтропии гидратации для этих ионов следует рассматривать лишь как ориентировочные. На основании сказанного выше совпадение данных теоретического расчета с результатами эксперимента можно считать вполне удовлетворительным.

Описанный выше расчет энтропий гидратации естественно объясняет наблюдаемую линейную зависимость энтропии гидратации от  $z/r_i$ . Эта зависимость, обнаруженная Латимером и Баффингтоном еще в 1926 г. [10], являлась непонятной с теоретической точки зрения, поскольку дифференцирование по температуре уравнения Борна для энергий гидратации приводит к линейной зависимости  $\Delta S_r$  от  $z^2/r_i$ , а не от  $z/r_i$ . В последней работе, посвященной этому вопросу [11], Латимер называет эту зависимость загадочной и делает попытку объяснить ее температурным изменением радиусов ионов \*. При этом приходится предположить, что температурные коэффициенты радиусов ионов в растворе на целый порядок отличаются от соответствующих величин, найденных для кристаллов.

В уравнении (3), при помощи которого мы рассчитывали энтропии гидратации, последний член не зависит ни от заряда, ни от радиуса иона, третий член зависит только от радиуса, а первый член зависит и от  $z$  и от  $r_i$ , причем для большинства ионов наибольший вес имеет его составляющая, включающая в себя  $z/r_i$ . Комбинация членов, зависящих от  $z$  и  $r_i$ , с членами, не включающими этих величин, приводит к приблизительно линейной зависимости  $\Delta S_r$  от  $z/r_i$ . Этот факт наглядно показан на рис. 1, где теоретические и экспериментальные значения энтропии гидратации

ошибка, обусловленная этим для одно-, двух- и трехвалентных ионов будет составлять соответственно 3, 6 и 9 энтр. ед. Несколько большие расхождения, имеющие место для ионов  $Li^+$ ,  $Sr^{2+}$ ,  $Cu^+$ ,  $Cu^{2+}$  и  $Ni^{2+}$ , могут быть вызваны ошибками в определении энтропий этих ионов в растворе, обусловленными образованием ионных пар, комплексов и неполной диссоциацией, а для трех последних ионов — гидролизом солей. Нужно отметить, что для энтропии гидратированных ионов  $Sr^{2+}$ ,  $Co^{2+}$  и  $Ni^{2+}$  в литературе [7–9] имеются другие значения, отличающиеся от приводимых в справочнике [4] и хорошо согласующиеся с результатами

\* В указанной работе Латимером допущена ошибка при дифференцировании уравнения Борна. Чтобы получить правильный результат, нужно приводимое им выражение (1) умножить на  $-1/2$ .

одно- и двухвалентных ионов представлены как функции  $z/r_{aq}$ . Прямые, проведенные через экспериментальные и теоретические точки по методу наименьших квадратов и выражаемые уравнениями:

$$\Delta S_r^{эксп} = 11,5 - 45,0 \frac{z}{r_{aq}}; \quad (13)$$

$$\Delta S_r^{теор} = 18,0 - 46,0 \frac{z}{r_{aq}}; \quad (14)$$

идут близко друг от друга и почти параллельно, что свидетельствует о наличии небольших систематических различий между экспериментальными и вычисленными величинами. Следует подчеркнуть, что указанная линейная зависимость как для теоретических, так и для экспериментальных значений  $\Delta S_r$  является лишь приближенной.

Знание энергий и энтропий гидратации дает возможность вычислить по уравнению:

$$\Delta H_r = \Delta Z_r + T \Delta S_r \quad (15)$$

плоты гидратации ионов.

Разработанный в предыдущей статье метод расчета энергий гидратации давал значительные расхождения с экспериментальными данными в случае ионов, не обладающих электронной конфигурацией атомов инертного газа. Когда в результате отрыва электронов от атома образуется такой ион, работа ионизации в вакууме значительно больше, чем при образовании иона с таким же зарядом и радиусом, но электронной конфигурацией инертного газа. В этом смысле можно сказать, что ионы не типа благородного газа обладают избыточным силовым полем. Согласно Берналу и Фаулеру [12], близость энергии гидратации к величине ионизационного потенциала объясняется тем, что «функция ионизирующей среды состоит просто в возвращении иону его недостающих электронов». Иначе говоря, энергия, выделяющаяся при насыщении силового поля иона связанными электронами ближайших к иону молекул воды, близка к энергии насыщения поля иона свободными электронами. Разумно допустить, что избыточное силовое поле рассматриваемых здесь ионов также в какой-то степени насыщается за счет связанных электронов молекул воды. Степень этого насыщения неизвестна, но можно принять, что энергия насыщения связанными электронами равна половине энергии насыщения свободными электронами. В этом случае к величине энергии ионизации в растворе  $I_s$ , рассчитанной по уравнению (8), нужно прибавить половину избыточной (по сравнению с благородногазовыми ионами) энергии ионизации в вакууме.

Этот прием и был использован при вычислении  $\Delta Z_r$  и  $\Delta H_r$  ионов не типа благородных газов. Избыточная энергия ионизации  $(\Sigma I_v)_{изб}$  определялась при помощи графика рис. 2. Указанное уточнение расчета  $\Delta Z_r$  не затрагивает существенным образом расчета  $\Delta S_r$ , так как оно учитывает процессы, происходящие в непосредственной близости от центра иона, где мало  $\epsilon$  и  $\partial \epsilon / \partial T$ .

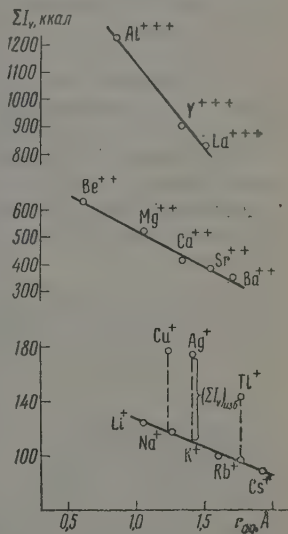


Рис. 2. Зависимость суммарной энергии ионизации от радиуса образующегося иона, используемая для нахождения  $(\Sigma I_v)_{изб}$

Вычисленные теплоты гидратации сопоставлены с экспериментальными величинами в таблице. Экспериментальные значения  $\Delta H_r$  для большинства ионов взяты из нашей предыдущей работы [1], для ионов  $Ra$ ,  $Sc^{3+}$  и  $Ce^{3+}$  они взяты из сводки [13]. Как видно, в большинстве случаев разница между экспериментальными и теоретическими величинами составляет несколько процентов; только для ионов  $Be^{2+}$ ,  $Cu^+$ ,  $Tl^+$ ,  $Hg$ ,  $Pb^{2+}$  и  $Sn^{2+}$  наблюдается расхождение более 10%. Причины такого расхождения для иона  $Be^{2+}$  были обсуждены ранее [1], для ионов  $Hg$ ,  $Pb^{2+}$  и  $Sn^{2+}$  расхождение может быть обусловлено экспериментальными ошибками, связанными с гидролизом солей, содержащих эти ионы.

Подводя итог, можно констатировать, что разработанный метод позволяет рассчитывать с удовлетворительной степенью точности энергии энтропии и теплоты гидратации одноатомных катионов. Для дальнейшей проверки этого метода его следует применить к расчету энергий, теплот и энтропий сольватации в различных растворителях в широком интервале температур.

### Выводы

1. Разработан метод теоретического расчета энтропий гидратации катионов. Рассчитанные для 34 ионов значения энтропий гидратации находятся в удовлетворительном согласии с экспериментальными данными.

2. Уточнен предложенный ранее метод расчета энергии гидратации ионов, в результате этого уменьшены имевшие место расхождения между вычисленными и экспериментальными значениями энергии гидратации для ионов, не обладающих электронной конфигурацией атомов инертных газов.

3. При помощи вычисленных энергий и энтропий гидратации рассчитаны теплоты гидратации катионов.

Химико-технологический  
институт им. Д. И. Менделеева  
Москва

Поступила  
31.XII.1957

### ЛИТЕРАТУРА

1. В. А. Михайлов, С. И. Дракин, Ж. физ. химии, **29**, 2133, 1955.
2. Справочник химика, т. I, Госхимиздат, М., 1951, стр. 880.
3. А. Ф. Капустинский, С. И. Дракин, Б. М. Якушевский, Ж. физ. химии, **27**, 433, 1953.
4. F. Rossini, D. Wagman, W. Evans, S. Levine, J. Laffie, Selected values of chemical thermodynamic properties, Washington, 1952.
5. D. Wagman, J. Amer. Chem. Soc., **73**, 5463, 1951.
6. J. Goodrich, F. Goyan, E. Morse, R. Preston, M. Young, J. Amer. Chem. Soc., **72**, 4411, 1950.
7. А. Ф. Капустинский, И. П. Дезидерьева, Trans. Faraday Soc., **52**, 69, 1946.
8. М. С. Барвинок, Информ. бюлл. Военно-транспортной акад., № 9, 2, 1946.
9. М. С. Барвинок, Ж. общей химии, **20**, 208, 1950.
10. W. Latimer, R. Buffington, J. Amer. Chem. Soc., **48**, 2297, 1926.
11. W. Latimer, J. Chem. Phys., **23**, 90, 1955.
12. Д. Бернал, Р. Фаулер, Успехи физ. наук, **14**, 586, 1934.
13. L. Benjamin, V. Gold, Trans. Faraday Soc., **50**, 797, 1954.

### CALCULATION OF THE ENTROPY OF HYDRATION OF CATIONS

S. I. Drakin and V. A. Mikhailov (Moscow)

#### Summary

The previously proposed method for calculating the energy of hydration of monatomic cations [1] has been modified to apply to ions not possessing the electronic configuration of inert gases. Differentiating the terms of equation (1) with respect to temperature, equations (7) and (11) are obtained for calculating the entropy of hydration of the cations. These equations permit explanation of the approximately linear dependence of the entropy of hydration on  $z/r$  found by Latimer and Buffington, which could not satisfactorily be explained on the basis of Born's theory. The entropies and heats of hydration for 34 ions calculated with the aid of the derived equations are in good agreement with the experimental values.

## ИССЛЕДОВАНИЕ ЭЛЕКТРОКАПИЛЛЯРНЫХ ЯВЛЕНИЙ НА СПЛАВАХ ВИСМУТ-КАДМИЙ И ПОВЕРХНОСТНОГО НАТЯЖЕНИЯ ЭТИХ СПЛАВОВ В ВАКУУМЕ

*В. А. Кузнецов, Т. Д. Дьякова и В. П. Мальцева*

Исследованию электрокапиллярных явлений на металлических сплавах посвящен ряд работ [1]. Однако некоторые вопросы теории остаются еще недостаточно ясными. Например, неясным является вопрос о влиянии состава металлического сплава на величину потенциала максимума электрокапиллярной кривой. Между тем знание этой величины представляется весьма существенным. А. Н. Фрумкин [2] высказано предположение, что смещение потенциала максимума электрокапиллярной кривой при добавлении к данному металлу другого пропорционально степени заполнения поверхностного слоя сплава добавленным металлом. Экспериментального подтверждения это предположение еще не получило.

В области поверхностного натяжения двойных металлических сплавов, особенно последние годы, выполнено большое число работ. Здесь прежде всего следует указать на работы В. К. Семенченко, П. П. Пугачевича, Н. Л. Покровского и их сотрудников. Результаты этих работ обобщены в недавно вышедшей монографии В. К. Семенченко [3]. Вопросы теории поверхностного натяжения двойных систем рассматривались в работах В. К. Семенченко [4], А. А. Жуховицкого [5], Белтона и Иванса [6] и Гуггенгейма [7]. Концентрационная и температурная зависимость поверхностного натяжения двойных металлических сплавов была подвергнута исследованию Я. Пинесом [8]. Однако высокая химическая активность расплавленных металлов, применение различных методов исследования, в том числе и таких, которые по своему своему не могут дать точных результатов, привели к тому, что зависимость поверхностного натяжения металлических сплавов от их состава нельзя считать твердо установленной. Поэтому наряду с исследованием электрокапиллярных явлений казалось целесообразным изучить и поверхностное натяжение сплавов в вакууме. Параллельное изучение электрокапиллярных явлений и поверхностного натяжения интересно еще и тем, что оно дает возможность сопоставить адсорбционные явления на различных границах раздела. Установлено, например [9], что адсорбционные явления на границе раздела металл — раствор (в нулевой точке, т. е. при потенциале максимума электрокапиллярной кривой), несмотря на ряд характерных особенностей, проявляют аналогично адсорбционным явлениям на границе раздела раствор — воздух. Сопоставление же адсорбционных явлений на границах раздела металл — электрод, с одной стороны, и металл — вакуум, с другой, до сих пор не производилось. Между тем несомненно, что такое сопоставление представляет большой интерес для теории поверхностных явлений. Все эти обстоятельства и определяют цель настоящей работы. В качестве объекта исследования был выбран сплав висмут-кадмий.

### Экспериментальная часть

Висмут и кадмий, использованные в работе, были спектрально чистыми, а свинец (для электрода сравнения) — химически чистым. В качестве электролита использовалась эвтектическая смесь  $\text{LiCl} - \text{KCl}$ . Для ее получения  $\text{LiCl}$  и  $\text{KCl}$  марки «х. ч.» перекристаллизовывались дважды из бидистиллированной воды, высушивались, а затем сплавлялись. Сплавленные соли отвешивались в количествах, необходимых для получения эвтектики, смешивались и сплавлялись. Полученный эвтектический сплав хранился в эксикаторе в тщательно закрытой посуде.

Методика исследования электрокапиллярных явлений. Для снятия электрокапиллярных кривых применялся капиллярный электродетектор (рис. 1). Он изготовлялся из молибденового стекла. Ток к металлу 1 и электроду сравнения 2 подводился молибденовыми проводниками, которые для предотвращения



контакта с корпусом печи изолировались стеклянными чехлами. В качестве электрода сравнения использовался электрод из расплавленного свинца, погруженного в эвтектику  $\text{LiCl} - \text{KCl}$  с добавкой  $\text{PbCl}_2$  (0,1 вес. %). Подготовка прибора к измерениям проводилась следующим образом. Определялся объем нижней части правого колена капиллярного электрометра до уровня, соответствующего примерно середине капи-

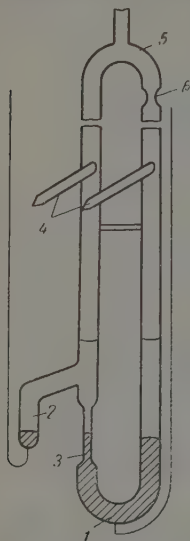


Рис. 1. Электрометр для снятия электрокапиллярных кривых

лярна 3, т. е. той части, в которой во время измерений находится исследуемый металл. Затем в правое колено электрометра вводился исследуемый металл в количестве, соответствующем результатам калибровки, а в отросток 2 электрода сравнения — свинец. Поверх металла в правое колено загружалась эвтектика  $\text{LiCl} - \text{KCl}$ , а в отросток 1 и левое колено эвтектика  $\text{LiCl} - \text{KCl}$  с добавкой  $\text{PbCl}_2$ . Количество эвтектики подбиралось так, чтобы после расплавления мениски ее в обоих коленах были примерно на одном уровне несколько выше места впадения отростка 2 в левое колено. Отростки 4 запаивались, прибор прикреплялся к металлическому стержню, при помощи которого устанавливался в печи так, что отростки 4 оставались поверх печи. Посредством тройника 5 прибор соединялся с вакуумной установкой. После этого перетяжка 6 запаивалась, прибор включался в цепь турбинного поля внутренней стакан печи был изготовлен из алюминия. Печь имела два расположенных друг против друга окошка, через которые можно было вести наблюдения за прибором. По достижении в приборе давления порядка  $10^{-5}$  мм рт. ст. включался нагрев печи. Если при этом давление в системе повышалось, нагревание печи на некоторое время прекращалось и возобновлялось лишь тогда, когда давление снижалось до  $10^{-5}$  мм рт. ст. Вымораживание паров ртути из манометра Мак-Леода осуществлялось жидким азотом. Постепенно температура в печи поднималась настолько, что исследуемый металл, свинец и эвтектика расплавлялись. Из расплавленных металлов и эвтектики выделяется большое количество газов. Поскольку появлялись газовые пузырьки на границе раздела металл—эвтектика, особенно в капилляре, осложняло измерения, обезгаживание металла и эвтектики продолжалось до полного прекращения выделения газов. Для этого требовалось 8—10, а иногда и 12 час. По окончании процесса обезгаживания прибор

заполнялся сухим азотом. Под небольшим избыточным давлением вскрывались отростки 3, и правый из них соединялся с регулятором давления и манометром, а левый с колбой емкостью около 2 л. Манометр и колба предварительно продувались азотом. После этого перетяжка 6 запаивалась, прибор включался в схему, обычно используемую для электрокапиллярных измерений, и начинались измерения.

Посредством регулятора давления в левом колене прибора создавалось то давление, чтобы уровни металла в капилляре 3 и правом колене сравнялись. Тогда как это вытекает из элементарных соображений, поверхностное натяжение  $\sigma$  на границе раздела металл—эвтектика можно рассчитать по формуле:

$$\sigma = \frac{r}{2} \left( Pgd + [\log \Delta h + \frac{2\sigma_0}{R}] \right)$$

где  $r$  — радиус капилляра на уровне мениска металла,  $P$  — давление в сантиметрах ртутного столба, считываемое по манометру,  $d$  — плотность манометрической жидкости,  $\Delta h$  — разность уровней эвтектики в правом и левом коленах прибора,  $d_0$  — плотность эвтектики,  $\sigma_0$  — поверхностное натяжение на границе металл—эвтектика в правом (широком) колене прибора,  $R$  — радиус кривизны в верхней части мениска металла в том колене прибора.

Сделаем несколько замечаний по поводу величин  $\sigma_0$  и  $R$ . Поверхностное натяжение  $\sigma_0$ , в отличие от  $\sigma$ , будет постоянным, так как мениск металла в указанном колене не подвергается поляризации, и численно равным поверхностному натяжению на границе металл—эвтектика в отсутствие внешней поляризации.

Радиус кривизны мениска  $R$  может быть принят равным радиусу трубки только в том случае, если последний весьма мал. Радиусы широкого колена в приборах, которые использовались нами в работе, были равны 3—4 мм. Поэтому было бы ошибкой считать радиус трубки равным радиусу кривизны мениска. Последний рассчитывался нами по таблицам Башфорта и Адамса, приведенным в [10].

Наблюдение за перемещением менисков металла производилось при помощи катетометра. Поляризация мениска осуществлялась скачкообразно через 0,1 В. В цепи электрометра для контроля силы тока включался миллиамперметр. Его показания никогда не превышали 0,1 мА. Это значит, что омическое падение напряжения в растворе мало, и поэтому им можно пренебречь. В каждом опыте снимались 6—8 электрокапиллярных кривых, которые, как правило, хорошо совпадали. По окончании измерений при помощи катетометра фиксировалось положение мениска металл

капилляре и уровни эвтектики в обоих коленях прибора. Прибор извлекался из печи и охлаждался, после чего капилляр в месте нахождения мениска надрезался и разламывался, и радиус его измерялся на универсальном измерительном микроскопе с точностью до  $1 \mu$ . Затем прибор разбивался и застывший металл анализировался.

Плотность расплавленной эвтектики не определялась, так как данные о ней отсутствуют в литературе [11]. В качестве манометрической жидкости использовался динилфталат с плотностью  $1,045 \text{ г/см}^3$  при  $20^\circ$ .

Методика измерения поверхностного натяжения сплавов. Исследования показывают, что для измерения поверхностного натяжения жидких металлов и металлических сплавов наиболее пригодным и надежным является метод максимального давления [3,10]. В настоящей работе применялся метод максимального давления в капле. В качестве прибора использовался так называемый гравитационный прибор конструкции П. П. Пугачевича. Прибор и способ определения поверхностного натяжения при помощи его описаны в работах [12, 13]. К прибору припаивался сосуд, в который загружался исследуемый металл. Прибор устанавливался во вращающейся печи и подвергался при непрерывной откачке диффузионными насосами длительной термовакуумной обработке, причем температура печи постепенно доводилась до  $450^\circ \text{С}$ . Затем на сосуд с исследуемым металлом надевалась небольшая крышка, при помощи которой металл расплавлялся. Расплавленный металл через капилляр медленно перетекал в прибор, а сосуд отпаивался от прибора. После этого прибор с расплавленным металлом откачивался еще 8—10 час. Затем он отпаивался от вакуумной установки и устанавливался против окошек вращающейся печи, а печь сверху закрывалась крышкой, имеющей хорошую тепловую изоляцию. Измерения высоты столба металла, необходимого для выдавливания капли металла из капилляра, производились многократно и для расчетов поверхностного натяжения использовались средние величины. Поверхностное натяжение рассчитывалось по формуле Кандера—Шредингера:

$$\sigma = \frac{1}{2} g r d h_m \left[ 1 - \left( \frac{2}{3} \right) \left( \frac{r}{h_m} \right) - \left( \frac{1}{6} \right) \left( \frac{r^2}{h_m^2} \right) \right], \quad (2)$$

где  $d$  — плотность металла,  $r$  — радиус капилляра,  $g$  — ускорение силы тяжести,  $h_m$  — высота столба металла, соответствующая моменту выдавливания капли металла из капилляра.

Высота столба металла определялась при помощи катетометра с точностью до  $0,5 \text{ мм}$ , радиус капилляра измерялся на универсальном измерительном микроскопе с точностью до  $1 \mu$  перед впаиванием капилляра в прибор. Плотность металла определялась пикнометрически.

После опыта металл переводился в сосуд для сбора металла, припаянный к прибору, прибор извлекался из печи и охлаждался. Сосуд с металлом отрезался, металл подвергался химическому анализу, а прибор подготавливался к следующему опыту. Серия измерений поверхностного натяжения проведена на одном приборе.

Методика определения плотности металлов и сплавов \*. Для определения плотности исследуемых металлов и сплавов использовался прибор, изображенный на рис. 2. Прибор из молибденового стекла состоит из сосуда 1 (около  $4 \text{ см}^3$ ) и разделенной метками на части цилиндрической трубки 2, к которой в верхней части припаяны сосуды 3 и 4. Объем сосуда 1 до первой метки и объем цилиндрической трубки между метками тщательно определялись при  $20^\circ \text{С}$  путем взвешивания ртути, необходимой для заполнения сосуда до первой метки, второй и т. д. Расстояние между метками измерялось катетометром. Для определения плотности металла прибор устанавливался во вращающейся печи так, что сосуд 4 и трубка 5 оставались поверх печи. В 4 вводилось такое количество металла, чтобы он в жидком состоянии заполнил сосуд 1 и цилиндрическую трубку примерно до половины; сосуд 4 отпаивался, а прибор посредством трубки 5 припаивался к вакуумной установке.

При достижении давления в приборе порядка  $10^{-5} \text{ мм рт. ст.}$  включался нагрев печи, и прибор подвергался термовакуумной обработке. Затем на 4 надевалась маленькая печь, сплав постепенно расплавлялся и перетекал в прибор, фильтруясь в капиллярах от механических загрязнений. Сосуд 4 отпаивался по перетяжке 6, а прибор с металлом откачивался еще длительное время. По окончании откачки прибор по перетяжке 7 отпаивался от вакуумной установки и устанавливался против окошек вращающейся печи. Когда в печи достигалась необходимая температура, при помощи катетометра определялся уровень металла в трубке 2. Затем печь поворачивалась на угол, больший  $90^\circ$ , металл перетекал в сосуд 3, прибор извлекался из печи

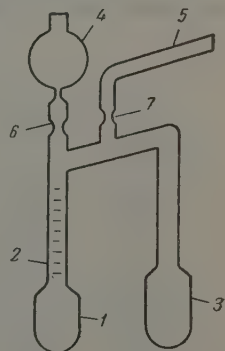


Рис. 2. Прибор для определения плотности жидких металлов

\* Определения плотности сплавов проведены одним из авторов совместно с М. Ягофаровой.

и охлаждался. Сосуд 3 осторожно разбивался и металл, содержащийся в нем, вшивался и подвергался химическому анализу. По весу и объему металла рассчитывалась его плотность. При определениях объема металла учитывалось изменение объема прибора при его нагревании, причем коэффициент объемного расширения стекла был принят  $150 \cdot 10^{-7}$  град. $^{-1}$  [14].

Исследования электрокапиллярных явлений, поверхностного натяжения и плотности сплавов проведены при 450° С.

### Обсуждение результатов

Результаты исследования электрокапиллярных явлений представлены в табл. 1.

Значения поверхностного натяжения сплавов в вакууме приведены в табл. 2 и на рис. 3 (кривая 1).

Таблица 1

Потенциал, в	Поверхностное натяжение, дин/см						
	Состав сплавов (ат. % Cd в сплаве Cd — Bi)						
	0,0	18,9	40	54,7	69,4	90	100
0,3	316						
0,2	324						
0,1	338	347	352	361			
0,0	347	354	358	369	390	421	504
—0,1	352	359	363	374	398	430	522
—0,2	354	362	366	376	402	438	542
—0,3	352	360	366	376	404	440	555
—0,4	348	356	362	373	402	440	564
—0,5	339	350	354	367	397	438	570
—0,6	335	344	347	360	390	433	577
—0,7	316	330	338	352	380	419	577
—0,8	304	322	328	342	372	405	572
—0,9	291	310	316		358	389	564
—1,0	277				345	372	552
—1,1							537

Рассмотрим полученные результаты в интересующих нас отношениях

Состав сплава и потенциал максимума электрокапиллярной кривой. Зависимость потенциала максимума электрокапиллярных кривых от состава сплава представлена на рис.

Таблица 2

Состав сплавов, ат. % Cd	Плотность, г/см <sup>3</sup>	Поверхностное натяжение, дин/см
0,0	9,841	382
8,44	9,663	386
17,47	9,490	382
40,58	9,042	384
54,71	8,766	395
69,37	8,467	413
86,67	8,132	445
95,44	7,971	510
98,98	7,900	580
100	7,890	599

рокапиллярной кривой определяется составом поверхностного слоя сплава [2]. Действительно, из изотермы поверхностного натяжения, построенной по точкам максимумов электрокапиллярных кривых (рис. кривая 2) видно, что висмут является веществом, сильно поверхностно активным по отношению к кадмию. Поэтому даже небольшие добавки висмута приводят к резкому обогащению им поверхностного слоя, что

Из этого рисунка видно, что добавление висмута к кадмию приводит к резкому смещению потенциала максимума электрокапиллярной кривой в положительную сторону. При дальнейшем увеличении содержания висмута в сплаве смещение потенциала максимума становится все меньшим, сплавы, содержащие 50 и более ат. % Bi, имеют потенциал максимума электрокапиллярной кривой, практически совпадающий с таковым для чистого висмута. Этот результат является убедительным подтверждением предположения А. Н. Фрумкина о том, что потенциал максимума электрокапиллярной кривой определяется составом поверхностного слоя сплава [2]. Действительно, из изотермы поверхностного натяжения, построенной по точкам максимумов электрокапиллярных кривых (рис. кривая 2) видно, что висмут является веществом, сильно поверхностно активным по отношению к кадмию. Поэтому даже небольшие добавки висмута приводят к резкому обогащению им поверхностного слоя, что

ую очередь, и вызывает значительное смещение потенциала максимумов электрокапиллярных кривых. Сказанное подтверждается расчетами сорбции висмута ( $\Gamma_{\text{Ві}}$ ) в поверхностном слое сплава, результаты которых представлены на рис. 5. Необходимые для этих расчетов активности взяты из работы А. В. Никольской и Я. И. Герасимова [15], а гибб-

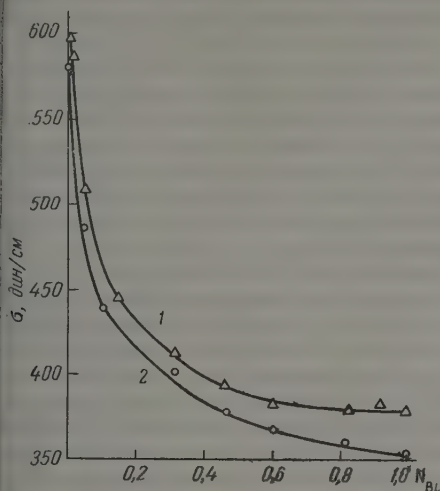


Рис. 3. Изотермы поверхностного натяжения сплавов Cd-Bi: 1 — в вакууме; 2 — на границе с расплавленной эвтектикой в максимумах электрокапиллярных кривых

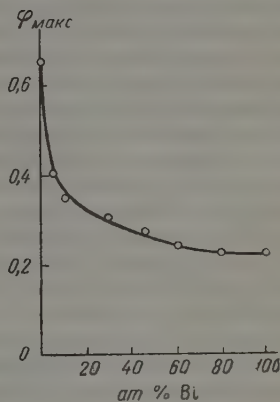


Рис. 4. Зависимость потенциала максимума электрокапиллярной кривой от состава сплава

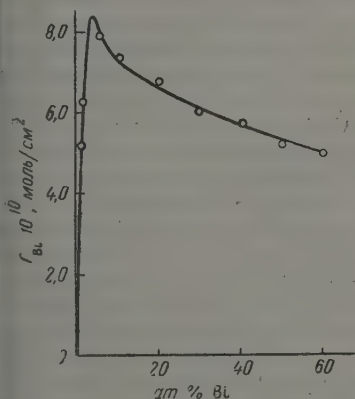


Рис. 5. Адсорбция  $\Gamma_{\text{Ві}}$  в поверхностном слое сплава

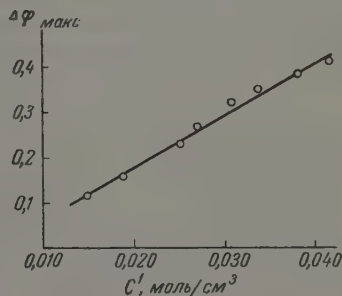


Рис. 6. Зависимость сдвига потенциала максимума электрокапиллярной кривой от концентрации Bi в поверхностном слое

за поверхность раздела выбрана в предположении  $\Gamma_{\text{Cd}} = 0$ . Если принять толщину поверхностного слоя равной диаметру атома висмута —  $54 \text{ \AA}$  [16], то, пользуясь известным соотношением  $\Gamma_{\text{Ві}} = (c' - c)\delta$ , где  $c'$  — поверхностная,  $c$  — объемная концентрация висмута в моль/см<sup>3</sup> и  $\delta$  — толщина поверхностного слоя, можно рассчитать поверхностную концентрацию  $c'$  и найти связь между смещением потенциалов максимумов электрокапиллярных кривых  $\Delta\varphi_{\text{макс}}$  и составом поверхностного слоя сплава  $c'$ . Результаты этих расчетов изображены на рис. 6. Как видно из



рисунка  $\Delta\varphi_{\text{макс}}$  приблизительно линейно возрастает при увеличении поверхностной концентрации висмута. Как показывают расчеты, в сплавах содержащих 50 ат. % Bi и более, поверхностный слой близок по составу к чистому висмуту. Понятно, что и потенциал максимума электрокапиллярных кривых практически совпадает с таковыми для чистого висмута.

Поверхностное натяжение сплавов в вакууме и состав сплавов. Из изотермы поверхностного натяжения сплавов в вакууме (кривая 1, рис. 3) видно, что добавка Bi к Cd приводит к падению поверхностного натяжения сплава сначала очень резкому, а затем все более слабому. Поверхностное натяжение сплавов, богатых кадмием, мало изменяется с составом. Это значит, что висмут является по отношению к кадмию типичным поверхностно-активным веществом. Поскольку вопрос о критерии поверхностной активности для металлов нельзя считать окончательно решенным, рассмотрим полученные результаты в указанном отношении более подробно.

Согласно теории обобщенных моментов В. К. Семенченко, поверхностная активность определяется разностью обобщенных моментов \* металла-растворителя и добавки. Чем больше эта разность, тем выше поверхностная активность добавленного металла. Обобщенный момент Cd равен  $9,25 \cdot 10^{-2}$  CGSE. Расчет обобщенного момента Bi по заряду иона и радиусу дает величину  $\sim 13 \cdot 10^{-2}$  CGSE, противоречащую результатам экспериментальных исследований. Поэтому И. П. Алтынов [17] на основании исследований поверхностного натяжения сплавов висмута с кадмием и натрием рассчитал эффективный обобщенный момент висмута. Он оказался равным  $7,1 \cdot 10^{-2}$  CGSE. Если принять во внимание эту величину, то разность обобщенных моментов кадмия и висмута будет равна  $2,15 \cdot 10^{-2}$  CGSE, и висмут, в соответствии с теорией обобщенных моментов, должен быть поверхностно-активным по отношению к кадмию, что подтверждается и результатами наших измерений. Отметим, далее, что для олова, как это показано в работе [18], понижает поверхностное натяжение кадмия, правда, значительно слабее, чем висмут. Между тем на основании теории обобщенных моментов следовало бы ожидать в этом случае повышения поверхностного натяжения, поскольку обобщенный момент Sn ( $9,5 \cdot 10^{-2}$  CGSE) больше обобщенного момента Cd ( $9,25 \cdot 10^{-2}$  CGSE). Однако поведение Bi и Sn как поверхностно-активных веществ по отношению к кадмию, а также значительно большую поверхностную активность Bi, чем Sn, легко объяснить, если учесть, что оба металла имеют более низкое, чем Cd, поверхностное натяжение, причем поверхностное натяжение Bi ( $382 \text{ дин/см}$ ) в свою очередь гораздо ниже поверхностного натяжения Sn ( $530 \text{ дин/см}$ ). Действительно, замена в поверхностном слое частиц компонента с высоким поверхностным натяжением сопровождается падением свободной поверхностной энергии и поэтому должна происходить самопроизвольно. Очевидно, что, чем ниже поверхностное натяжение растворенного вещества, тем больше падение свободной поверхностной энергии в указанном процессе, тем больше степень обогащения поверхностного слоя частицами растворенного вещества. Впрочем, для идеальных растворов сказанное прямо следует из уравнения Шишковского—Жувицкого [5]:

$$\sigma = \sigma_2 - n_{01} RT \ln [1 + (e^{(\sigma_2 - \sigma_1)/n_{01} RT} - 1) N_1],$$

\* Обобщенным моментом  $m$  называется отношение заряда иона  $ze$  к радиусу иона  $r$ , т. е.  $m = ze/r$ .

\*\* В работе [18] значение обобщенного момента Sn ( $6,63 \cdot 10^{-2}$  CGSE) взято более ранних работ В. К. Семенченко [4] и поэтому отмечено соответствие теории сценных моментов экспериментальным результатам. Как видно из текста настоящей работы, этого в действительности нет.

$\sigma_2$  и  $\sigma_1$  — поверхностные натяжения раствора, второго и первого компонентов,  $n_{01}$  — число молей на  $1 \text{ см}^2$  поверхностного слоя,  $N_1$  — мольная доля первого компонента в растворе.

Справедливость сказанного подтверждается теперь уже довольно многочисленными результатами исследований поверхностного натяжения бинарных металлических сплавов, приведенными в монографии В. К. Сеченко [3]. Например, в двойных сплавах Cu-Ag, Cu-Sn, Cu-Cd-Sb, Pb-Sb, Zn-Sb, Zn-Sn, Sn-Bi, Sn-Pb, Bi-Na, Bi-K, компоненты, указанные вторыми, имеют более низкое, чем первые, поверхностное натяжение и при добавлении к первым действительно снижают их поверхностное натяжение. Конечно, рассматривая взаимное влияние металлов на поверхностное натяжение друг друга, нельзя ориентировать величину их взаимодействия друг с другом, выражаемую энергией смещения. Можно предполагать, что влияние указанного фактора будет наиболее отчетливо проявляться в системах, компоненты которых имеют близкие значения поверхностного натяжения. В этом случае можно ожидать появления экстремумов на изотермах поверхностного натяжения.

Как показали упомянутые выше измерения А. В. Никольской и Я. И. Масимова [15], рассматриваемый сплав Bi-Cd обнаруживает лишь незначительные отклонения от закона Рауля. Поэтому для количественного расчета изотермы поверхностного натяжения можно воспользоваться уравнениями, выведенными А. А. Жуховицким для идеальных растворов. В предположении идеальности как раствора, так и поверхностного слоя, поверхностное натяжение определяется соотношениями:

$$\sigma = \sigma_1 + n_{01}RT \ln \frac{x_1}{N_1} \text{ и } \frac{x_1}{N_1} = \left( \frac{1 - x_1}{1 - N_1} \right)^{\gamma} e^{(\sigma_2 - \sigma_1)/n_{01}RT}, \quad (4)$$

где  $x_1$  — мольная доля первого компонента (Bi) в поверхностном слое,  $\gamma$  — коэффициент вытеснения, равный отношению парциальных площадей молекул первого и второго компонентов в поверхностном слое. Другие обозначения объяснены выше [см. (3)]. Если положить  $\gamma = 1$ , уравнение (4) переходит в (3).

Величины парциальных площадей молекул в поверхностном слое и рассчитаны по значениям плотности металлов при  $t = 450^\circ \text{C}$ . Найдено  $n_{01} = 1,66 \cdot 10^{-9} \text{ моль/см}^2$ , а для Bi —  $1,25$ . Результаты расчетов поверхностного натяжения приведены в табл. 3.

Как видно из таблицы, расхождение опытных и рассчитанных величин поверхностного натяжения весьма незначительно. Расчет в предположении  $\gamma = 1$  дает, естественно, еще худшие результаты. Возможными причинами этих несоответствий являются: 1) межатомные взаимодействия, приводящие к упорядоченному расположению ближайших атомов иного типа, чем в чистых компонентах. Вероятность такого упорядочения отмечается

в работе [15]. 2) Различие расстояний между атомами в поверхностном слое, с одной стороны, и в глубине сплава, с другой. Если предположить, что размер атомов Bi в поверхностном слое несколько больше, чем в глубине сплава, то это приведет к уменьшению  $n_{01}$ , возрастанию  $\gamma$  и значительному лучшему совпадению опытных результатов с расчетами. Такое предположение находится в соответствии с упомянутыми выше расчетами И. П. Алтынова [17].

Таблица 3

$N_{\text{Bi}}$	$\sigma_{\text{оп}}$	$\sigma_{\text{расч}}$	$\sigma_{\text{оп}} - \sigma_{\text{расч}}$	$\frac{\sigma_{\text{оп}} - \sigma_{\text{расч}}}{\sigma_{\text{оп}}} \times 100$
				$\times$
0	599	—	—	—
0,1333	445	520	—75	—16,5
0,3063	413	471	—58	—14,0
0,4529	395	435	—40	—10,0
0,5942	384	424	—40	—10,5
0,8253	382	397	—15	—4,0
1,00	382	—	—	—

О связи между поверхностными натяжения сплавов в вакууме и на границе с электролитом. На рис. 3 изотерма поверхностного натяжения сплавов в вакууме (кривая 1) сопоставлена с изотермой поверхностного натяжения сплавов на границе с электролитом — расплавленной эвтектикой  $\text{LiCl} - \text{KCl}$  (кривая 2). Для построения последней взяты поверхностные натяжения в максимумах электрокапиллярных кривых, т. е. для незаряженной поверхности металла. Из рисунка видно, что изотермы являются идентичными. Поскольку состав поверхностного слоя определяется изменением поверхностного натяжения с составом сплава, сходство изотерм указывает на то, что состав поверхностного слоя на обеих границах раздела примерно одинаков. Это значит, что контакт сплава с электролитом оказывает существенное влияние на структуру поверхностного слоя сплава. Аналогичная связь между изотермами поверхностного натяжения сплавов в вакууме и на границе с электролитами была установлена для систем  $\text{Cd} - \text{Sn}$  [18] и  $\text{Hg} - \text{Tl}$  [19]. Конечно, указанное соответствие между изотермами получается тогда, когда изотерма поверхностного натяжения сплава на границе с электролитом отвечает незаряженной поверхности металла. Появление свободного заряда на поверхности металла оказывает влияние на адсорбцию компонентов в поверхностном слое и идентичность хода изотерм может быть нарушена.

В заключение выражаем глубокую благодарность акад. А. Н. Фрумкину за постоянное внимание к работе и ценные замечания.

### Выводы

1. Изучены электрокапиллярные явления на сплавах  $\text{Cd-Bi}$  и поверхностное натяжение этих сплавов в вакууме при температуре  $450^\circ \text{C}$ . В исследовании электрокапиллярных явлений в качестве электролита использовалась расплавленная смесь  $\text{LiCl} - \text{KCl}$  эвтектического состава.

2. Показано, что увеличение концентрации висмута в сплаве приводит к снижению поверхностного натяжения сплава как на границе с электролитом, так и в вакууме, причем наиболее резкое снижение поверхностного натяжения наблюдается в области небольших концентраций висмута в сплаве. В этой же области потенциал максимума электрокапиллярных кривых сильно смещается в противоположную сторону.

3. Произведены расчеты адсорбции  $\Gamma_{\text{Bi}}$  на границе раздела сплав-электролит при потенциалах максимумов электрокапиллярных кривых и показано, что сдвиг потенциала максимума электрокапиллярных кривых связан линейно с поверхностной концентрацией  $c'_{\text{Bi}}$ .

4. Результаты измерений поверхностного натяжения сплавов в вакууме рассмотрены в связи с существующими теориями поверхностного натяжения бинарных систем. Произведены расчеты изотермы поверхностного натяжения по формулам А. А. Жуховицкого. Отмечено значительное расхождение между экспериментом и расчетом, указываются возможные причины этого расхождения.

5. Показано, что изотермы поверхностного натяжения сплавов в вакууме и на границе с электролитом (в максимумах электрокапиллярных кривых) являются очень сходными, что свидетельствует о примерно одинаковом составе поверхностных слоев сплавов на обеих границах раздела.

Уральский государственный  
университет им. А. М. Горького  
Свердловск

Поступила  
2.I.1958

### ЛИТЕРАТУРА

1. С. В. Карпачев и А. Г. Стромберг, Ж. физ. химии, 7, 755, 1936; 739, 1937; 13, 1831, 1939.
2. А. Фрумкин и А. Городецкая, Z. phys. Chem., A 136, 451, 1926.
3. В. К. Семенченко, Поверхностные явления в металлах и сплавах ГИТТЛ, Москва, 1957.

- В. К. Семенченко, Успехи химии, 3, 710, 1934; Ж. физ. химии, 7, 501, 1936.
- А. А. Жуховицкий, Ж. физ. химии, 18, 214, 1944; 19, 337, 1945.
- J. W. Belton and M. G. Evans, Trans. Faraday Soc., 41, 1, 1945.
- Е. А. Гуггенгейм, Trans. Faraday Soc., 41, 150, 1945.
- Б. Я. Пинес, Ж. техн. физики, 12, 1908, 1952.
- А. Н. Фрумкин, В. С. Багоцкий, З. А. Иофа, Б. Н. Кабанов, Кинетика электродных процессов, Изд-во МГУ, 1952.
- Н. К. Адам, Физика и химия поверхностей, ОГИЗ, Гостехиздат, 1947.
- А. Стромберг и Т. Чукина, Ж. физ. химии, 18, 234, 1944.
- П. П. Пугачевич и В. А. Константинов, Докл. АН СССР, 57, 797, 1947.
- П. П. Пугачевич, Ж. физ. химии, 28, 1365, 1951.
- С. Ф. Веселовский, Стеклодувное дело, Изд-во АН СССР, 1952.
- А. В. Никольская и Я. И. Герасимов, Ж. физ. химии, 28, 713, 1954.
- Б. В. Некрасов, Курс общей химии, Госхимиздат, Москва, 1952, стр. 625.
- Л. Л. Куни, Поверхностные явления в металлах, Металлургиздат, Москва, 1955, стр. 160.
- В. А. Кузнецов, В. П. Кочергин, М. В. Тищенко и Е. Г. Позднышева, Докл. АН СССР, 92, 1197, 1953.
- В. А. Кузнецов, В. В. Ашпур и Г. С. Порошина, Докл. АН СССР, 101, 301, 1955.

# INVESTIGATION OF THE ELECTROCAPILLARY PHENOMENA IN BISMUTH — CADMIUM ALLOYS AND OF THE SURFACE TENSION OF THE ALLOYS IN VACUUM

*V. A. Kuznetsov, T. D. Dyakova and V. P. Mal'tseva (Moscow)*

## Summary

A study has been made of the electrocapillary phenomena in Cd — Bi alloys and the surface tension of these alloys in vacuum at 450° C.

Increase in concentration of bismuth in the alloy has been shown to lower the surface tension of the latter both at the electrolyte interface, as well as in vacuum, the most stic fall in the surface tension being observed for small concentrations of bismuth in alloy. In this region the potential maxima of the electrocapillary curves shift to the itive.

Calculations have been made of the adsorption  $\Gamma_{Bi}$  at the alloy-electrolyte intere at the potential maxima of the electrocapillary curves and it has been shown that shift of the maximum is linearly related to the surface concentrations of bismuth.

Results of the surface tension measurements of the alloys in vacuum have been exa- ned in the light of the existing theories of the surface tension of binary mixtures. The face tension isotherms have been calculated according to the Zhukhovitskii formulas. nsiderable divergence between experiment and the calculations has been noted, the ssible reasons for the divergence being indicated.

It has been shown that the surface tension isotherms of the alloys in vacuum and at e electrolyte interface (at the electrocapillary curve maxima) are identical, bearing tness to the existence of approximately the same composition of surface layers of the oys at both sides of the interface.



## ЗАВИСИМОСТЬ СКОРОСТИ ОКИСЛЕНИЯ И ЭЛЕКТРОДНОГО ПОТЕНЦИАЛА МЕДИ ОТ рН РАСТВОРОВ

Л. К. Лепинь и В. М. Кадек

При взаимодействии меди с водными растворами электролитов в атмосфере воздуха наиболее эффективно протекающей катодной реакцией на начальном этапе процесса является, как это признано, реакция ионизации кислорода. Поскольку с изменением рН изменяется растворимость кислорода, а также и сама кинетика его ионизации, можно было бы ожидать определенного влияния концентрации водородных ионов на скорость окисления и потенциал меди в водных растворах.

Однако следует иметь в виду, как и в случае процессов коррозии металлов, идущих с водородной деполяризацией, что различия в рН растворов вызывают различия в составе и свойствах образующихся продуктов окисления металла, и кинетика процесса окисления оказывается зависит не только от растворимости кислорода, но и, в еще большей степени, от растворимости в воде продуктов окисления. Выделение мало растворимых продуктов реакции резко сказывается на скорости окисления, вызывая ее уменьшение иногда вплоть до полной пассивации поверхности металла. Отсюда следует, что ионы водорода могут влиять на коррозионное и электрохимическое поведение меди в основном через влияние на процессы, протекающие параллельно или вслед за процессами окисления.

Так как состав продуктов окисления зависит от состава электролита, а отложение на поверхности меди нерастворимых осадков влечет за собой возникновение электродов второго рода (как это уже неоднократно отмечалось в литературе), то как скорость окисления, так и потенциал меди должны зависеть также и от концентрации (активности) анионов электролита.

В литературе более детальные описания изменений электродного потенциала меди в зависимости от рН относятся, главным образом, к растворам, содержащим ионы хлора. Впервые подробно описавшие эти изменения Гетти и Спунер [1] частично изучали также и поведение меди в растворах серной кислоты. Из результатов работ этих авторов следует, что анионы кислот оказывают более резкое влияние, чем ионы водорода. Авторы считают, что в растворах, содержащих ионы хлора, потенциал меди в зависимости от рН раствора определяется или концентрацией ионов хлора, или концентрацией  $\text{OH}^-$ -ионов. Кривая зависимости потенциала от рН по [1] выражается кривой, получающейся наложением двух кривых: зависимости потенциала электрода  $\text{Cu}/\text{CuCl}_2$  и потенциала электрода  $\text{Cu}/\text{Cu}_2\text{O}/\text{OH}^-$  от концентрации соответствующего аниона. В растворах же, содержащих  $\text{SO}_4^{2-}$ -ионы, по [1] электродный потенциал меди практически не меняется при изменении рН от 1 до 10.

Г. В. Акимов и В. П. Батраков [2], а также Г. В. Акимов и И. Л. Розенфельд [3], изучая коррозионное и электрохимическое поведение меди в растворах, содержащих ионы хлора, пришли в основном к тем же выводам.

Однако при взаимодействии меди с достаточно концентрированными растворами соляной кислоты вряд ли можно говорить о возникновении электрода  $\text{Cu}/\text{CuCl}_2$ . На поверхности меди в этих растворах, как и в объеме жидкости, длительное время никаких нерастворимых осадков не обнаруживается, вплоть до концентрации 0,01 N. Как установил Кац [4], И. Л. Розенфельд [3], что подтверждается также и нашими опытами [5] по окислению меди в 2,0; 1,0; 0,1 и 0,01 N растворах HCl, скорость коррозии со временем не принимает постоянного значения, но, наоборот, увеличивается, а электродный потенциал непрерывно сдвигается в положительную сторону и стационарное состояние электрода не наступает. Ускорение процесса окисления

и вызывается сменой кислородной деполаризации на деполаризацию ионами  $\text{Cu}^{2+}$ , концентрация которых в растворе растет со временем [5].

В области же щелочных растворов при коррозии в них меди в присутствии воздуха более вероятно образование электродов второго рода с осадками, заключающими в своем составе ионы карбоната [6], при достаточной растворимости углекислого газа в растворе, а не закисно- или окисномедных электродов.

Как показали работы Л. К. Лешинь с сотрудниками [7] на примере окисления цеза в водных растворах, системы: металл, продукты его окисления, раствор и находящийся над раствором газ ( $\text{O}_2$ ,  $\text{CO}_2$ ), можно рассматривать как смеси со значительной буферной емкостью. Вызываемые процессом окисления металла изменения  $\text{pH}$  растворов заканчиваются, в конце концов, стабилизацией  $\text{pH}$  на определенном значении ( $\text{pH}_0$ ), характерном для данной смеси веществ, в результате чего стабилизируется определенное значение и скорость коррозии, независимо от начальных значений ( $\text{pH}_0$ ) в довольно широком их диапазоне. Как установлено нашими работами, изменения  $\text{pH}$  растворов и его стабилизация со временем на определенном значении имеет место и при окислении меди в водных растворах.

Учитывая все вышесказанное, мы сочли небезынтересным более детально изучить вопрос о зависимости электродных потенциалов и скорости коррозии меди от  $\text{pH}$  ды. Для этой цели были взяты растворы  $\text{NaCl}$  и  $\text{NaSO}_4$  (0,01  $N$ ) в смеси с соответствующими кислотами (соляной или серной) или едкой щелочью ( $\text{NaOH}$ ), а также слоты и щелочь в чистом виде. В ходе исследований измерялись изменения потенциала металла  $E$ , скорости коррозии  $v$ ,  $\text{pH}$  растворов и суммарной концентрации  $c_{\text{Cu}}$  собственных ионов металла, появляющихся в растворах  $[\text{Cu}^+ + \text{Cu}^{2+}]$ . Знание последних позволяло рассчитать теоретические значения потенциалов некоторых из возможных в данной системе электродных процессов ( $\text{Cu} + \text{Cl}^- \rightleftharpoons \text{CuCl} + e$ ,  $\text{Cu} \rightleftharpoons \text{Cu}^+ + e$ ,  $\text{Cu} \rightleftharpoons \text{Cu}^{2+} + 2e$ ,  $\text{Cu} + \text{OH}^- \rightleftharpoons \text{CuOH} + e$ ) и сравнить с наблюдаемыми на опыте. Примененная методика измерений описана в статье [8]. Методика исследования, при которой получаемые результаты сначала представлялись в форме графиков зависимости потенциала и скорости окисления от времени, позволяла проследить установление стационарного состояния. Для составления графиков потенциал —  $\text{pH}_0$  и скорость окисления —  $\text{pH}_0$  по возможности были взяты установившиеся значения соответствующих величин. Эти результаты, представленные в настоящей работе, отличаются от результатов работ предыдущих авторов, где в большей частью потенциалы и скорости относятся к нестационарному процессу.

На рис. 1 представлены для сравнения данные И. Л. Розенфельда и данные, полученные в настоящей работе, для одних и тех же промежутков времени измерения (3 часа). Как видно из рисунка, результаты, полученные нами через 3 часа после погружения меди в раствор, довольно хорошо совпадают с данными работ И. Л. Розенфельда. То же относится и к скорости окисления. В работах С. Я. Шаталова [9] для изучения зависимости потенциала меди от  $\text{pH}$  были взяты слишком сложные буферные смеси, поэтому полученные результаты трудно сравнивать с нашими.

Полученные результаты представлены в графической форме на рис. 2, где кроме экспериментально измеренных кривых зависимости  $E$ ,  $v$ ,  $\text{pH}$  от  $\text{pH}_0$  (после 120 час. пребывания металла в растворе) даны также кривые теоретически рассчитанных потенциалов электродов  $\text{Cu}|\text{Cu}^+$ ,  $\text{Cu}|\text{Cu}^{2+}$ ,  $\text{Cu}|\text{CuCl}|\text{Cl}^-$  и  $\text{Cu}|\text{Cu}_2\text{O}|\text{OH}^-$  для найденной концентрации соответствующих ионов в растворе (после 120 час. при данном  $\text{pH}_0$  раствора).

Теоретические значения потенциалов мы рассчитывали, исходя из следующих значений постоянных величин:

$$E_{\text{Cu}/\text{Cu}^+}^0 = 0,522V; \quad E_{\text{Cu}/\text{Cu}^{2+}}^0 = 0,345V;$$

$$[\text{Cu}^+][\text{OH}^-] = 1,2 \cdot 10^{-15}; \quad [\text{Cu}^+][\text{Cl}^-] = 1,87 \cdot 10^{-7}.$$

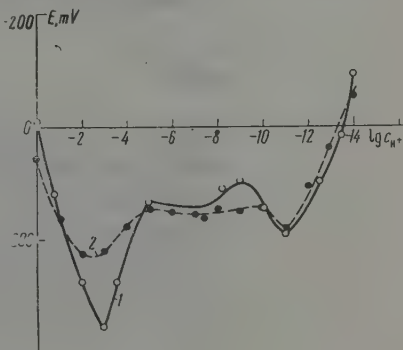


Рис. 1. Зависимость электродного потенциала меди от начального  $\text{pH}$  ( $\text{pH}_0$ ) раствора через 3 часа после погружения медного электрода в растворы, содержащие ионы хлора: 1 — данные настоящей работы; 2 — данные И. Л. Розенфельда

При расчетах сделаны следующие допущения: 1) вся медь находится в растворе либо в виде иона  $\text{Cu}^+$ , либо в виде иона  $\text{Cu}^{2+}$ ; 2) образующиеся осадки заключают вещество лишь одного определенного состава ( $\text{CuCl}$  или  $\text{CuOH}$ ); 3) концентрация ионов хлора в растворе со временем не меняется. Кроме того, во всех расчетах вводились значения констант, а не активностей соответствующих ионов. В действительности при окислении меди в атмосфере воздуха в растворах присутствуют как од-

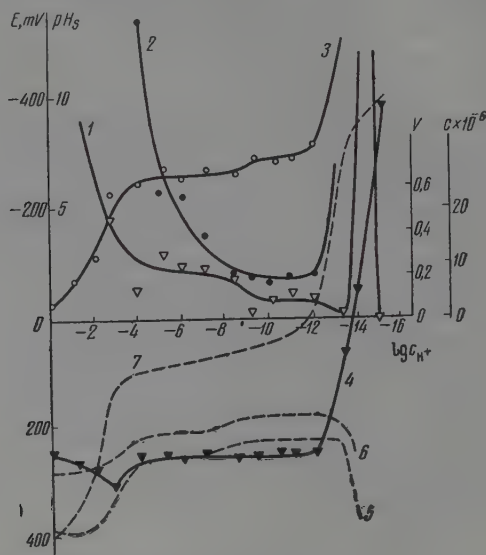


Рис. 2. Зависимость электродного потенциала и скорости окисления меди от  $\text{pH}_0$  среды в растворах, содержащих сульфат-ионы: 1 — скорость окисления в  $\text{мг/дм}^2 \text{час}$ ; 2 — концентрация ионов меди в  $\text{моль/л}$ ; 3 —  $\text{pH}$  через 120 час. коррозии; 4 — экспериментальное значение потенциала; 5 — теоретическое значение потенциала  $\text{Cu}|\text{Cu}^+$ ; 6 — то же для потенциала  $\text{Cu}|\text{Cu}^{2+}$ ; 7 — теоретическое значение потенциала электрода  $\text{Cu}|\text{Cu}_2\text{O}|\text{OH}^-$  для  $\text{pH}$ , устанавливающегося в растворе

валентные, так и двухвалентные ионы меди, между которыми должно устанавливаться равновесие  $\text{Cu}^0 + \text{Cu}^{2+} \rightleftharpoons 2\text{Cu}^+$ . Кроме того, в процессе коррозии образуются продукты сложного состава, произведение растворимости которых неизвестно (основные хлориды, основные карбонаты и другие), а не один какой-либо определенный продукт ( $\text{CuCl}$  или  $\text{CuOH}$ ).

Однако вследствие того, что в формулу Нернста входит логарифм концентрации, а не концентрация, изменение произведения растворимости даже в 1000 раз даст довольно незначительное изменение потенциала. Несмотря на указанные недочеты проведенных расчетов, они тем не менее, на наш взгляд, представляют определенный интерес.

Как видно из представленных экспериментальных данных, все полученные кривые грубо можно разделить на три области: 1) при  $\text{pH}_0 < 2$ ; 2) от  $\text{pH}_0 = 3$  до  $\text{pH}_0 = 11(12)$  и 3) при  $\text{pH}_0 > 12$ . Более тонкое рассмотрение и сопоставление всех кривых, данных на рисунках, позволяет сразу же разделить область  $\text{pH}_0 = 3$  до  $\text{pH}_0 = 7$  и  $\text{pH}_0 = 7$  до  $\text{pH}_0 = 12$ .

В области низких значений  $pH$ , как уже отмечалось выше, стационарное состояние не устанавливается, и в последующее время (свыше 120 час.) следует ожидать дальнейшей деформации всех кривых. По сути дела эта деформация кривых не может сопоставляться с остальными, относящимися к установившемуся (стационарному) состоянию. Однако все же можно отметить несомненное значительное влияние как ионов водорода, так и ионов электролита.

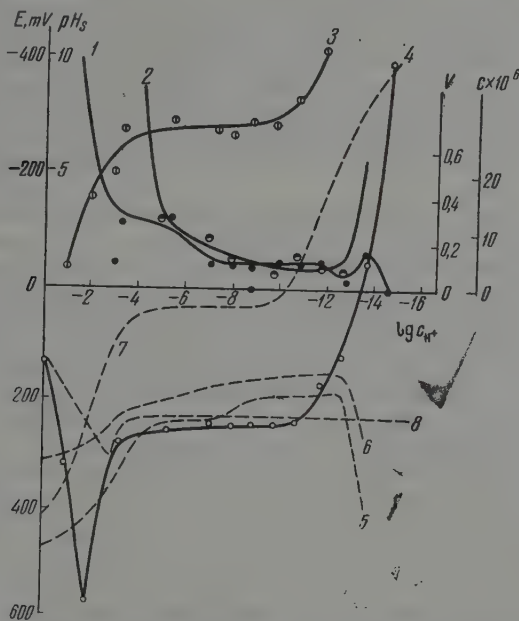


Рис. 3. Зависимость электродного потенциала и скорости окисления меди от  $pH_0$  среды в растворах, содержащих хлор-ионы: 1 — скорость окисления в  $мг/дм^2$  час; 2 — концентрация ионов меди в  $моль/л$ ; 3 —  $pH$  через 120 час. коррозии; 4 — экспериментальное значение потенциала; 5 — теоретическое значение потенциала  $Cu/Cu^{2+}$ ; 6 — то же для потенциала  $Cu/Cu_2O/OH^-$  для  $pH$ , устанавливающегося в растворе; 7 — теоретическое значение потенциала  $Cu/CuCl/Cl^-$  для данной концентрации иона хлора

В растворах, содержащих сульфат-ион, зависимость потенциала от  $pH_0$  сдвигается лишь незначительным сдвигом в положительную сторону при одновременном незначительном уменьшении скорости коррозии. Экспериментально измеренное значение  $E$  близко к потенциалу электрода  $Cu/Cu^{2+}$ . Концентрация ионов меди в растворах (суммарная) составляет от  $7,3$  до  $4,5 \cdot 10^{-3}$   $моль/л$ ;  $pH$  раствора непрерывно растет. В растворах соляной кислоты в этом интервале  $pH_0$  сдвиг потенциала в положительную сторону гораздо более резок, достигая максимума при  $pH \sim 2,0$ . Параллельно с этим более резко изменяется и скорость коррозии. Измеренное значение потенциалов не совпадает ни с одним из рассчитанных. Вероятней всего, это связано с образованием хорошо растворимых и достаточно прочных комплексных полихлоридов, которые при этих концентрациях появляются в растворе. Благодаря этому ускоряется не только катодный процесс (за счет деполяризации ионами  $Cu^{2+}$ ), но и анодный процесс. Концентрация меди (суммарная) в растворе более значительна, составляя от  $8,2$  до  $2,4 \cdot 10^{-2}$   $моль/л$ .



При увеличении  $pH_0 > 2,0$  по истечении 120 час. потенциал и скорость коррозии стремятся к некоторым постоянным значениям, независимым дальнейшего роста  $pH_0$ , и почти не зависящим также и от аниона электролита.

Скорость окисления несколько выше в интервале  $pH_0 = 3-7$  (в среднем до  $0,3-0,4 \text{ мг/дм}^2 \text{ час}$  ( $H_2SO_4$ ) и  $0,1-0,3 \text{ мг/дм}^2 \text{ час}$  ( $HCl$ )) при несколько более высокой концентрации ионов меди в растворе (от  $6 \cdot 10^{-6}$  до  $1,0 \cdot 10^{-6} \text{ моль/л}$ ), и несколько ниже в интервале  $pH_0 = 8-12$  (в среднем до  $0,15-0,05 \text{ мг/дм}^2 \text{ час}$ ), при соответственно несколько более высоком содержании растворенной меди ( $8 \cdot 10^{-6}-3 \cdot 10^{-6} \text{ моль/л}$ ).

В средней области  $pH$  растворов стабилизируется практически на одном и том же значении, лежащем между 6,5 и 7,5: в среднем в интервале  $pH_0 4-8$ , и 7,2 в интервале  $pH_0 8-12$  (эти различия в растворах, содержащих  $SO_4^{2-}$ -ионы, более резки, чем для растворов, включающих  $Cl^-$ -ионы).

Измеряемые значения потенциала в интервале  $pH_0 3-7$  близки к потенциалу электрода  $Cu|Cu^+$ . При  $pH_0 > 7$  измеренные и вычисленные значения потенциалов для сульфатсодержащих растворов не совпадают, в растворах, содержащих  $Cl^-$ -ионы (при постоянной добавке  $0,01 \text{ N NaCl}$ ) действительно близки к потенциалу  $Cu|CuCl|Cl^-$ .

Несовпадение измеренного значения потенциала с рассчитанным  $Cu|Cu^+$ ,  $Cu|Cu^{2+}$  или  $Cu|Cu_2O|OH^-$  в более щелочных растворах ( $pH_0 = 8-12$ ), в которых стабилизация  $pH$  в основном связана с поглощением  $CO_2$ , обусловлено, по-видимому, тем, что состав продуктов коррозии этой области  $pH_0$  меняется. Малорастворимые основные соли меди, разделяющиеся при более низких значениях  $pH_0$  (3-7), переходят в состояние, содержащие ион  $CO_3^{2-}$  (как это имеет место и при окислении свинца в водных растворах [10]), в связи с чем уменьшается и их растворимость ( $c_{Cu}$  в растворах падает до  $10^{-6} \text{ моль/л}$ ).

Ход кривых  $E-t$  и  $v-t$  [6] показывает, что уменьшение скорости коррозии меди в слабощелочных и слабощелочных растворах, сопровождаемое сдвигом потенциала в положительную сторону, связано в основном с торможением анодного процесса. Надо полагать, что это торможение является результатом электрофоретической блокировки анодных участков поверхности меди отрицательно заряженными частицами указанных выше нерастворимых соединений меди (основных солей, карбонатов соединений, хлористой меди, ибо в изученных условиях эти соединения могут быть заряжены только отрицательно).

В области сильно щелочных растворов ( $pH_0 \geq 13$ ) измеренный потенциал меди испытывает резкий сдвиг в отрицательную сторону, а скорость окисления в присутствии как  $SO_4^{2-}$ , так и  $Cl^-$ -ионов сначала возрастает (в последнем случае подъем менее резок), и в растворе появляется растворимый куприт меди. Однако с дальнейшим повышением  $pH_0$  скорость окисления снова падает и в  $10 \text{ N}$  растворе  $NaOH$  практически становится равной нулю. В этой крайней точке потенциал становится равным потенциалу меднозакисного электрода. В области более высоких значений  $pH$  таким образом, наблюдается сначала облегчение и усиление анодного процесса (за счет растворения защитной пленки в щелочи), а затем процесс окисления замедляется уже вследствие торможения катодного процесса, вызываемого в основном, очевидно, обеднением раствора кислородом при столь высокой концентрации щелочи ( $10 \text{ N NaOH}$ ), в пользу чего говорит найденное численное значение электродного потенциала меди.

Проведенное исследование показывает, что предположения, высказанные предшествующими авторами об электрохимическом и коррозионном поведении меди в зависимости от  $pH$  раствора, не охватывают всего круга явлений и верны лишь в некотором интервале значений  $pH$ . В ряде случаев совпадение это может считаться чисто случайным. Причиной это

ется игнорирование резких изменений pH во времени и роли тех факторов, которые устанавливаются между стационарным значением и другими, характерными для изучаемого процесса величинами.

### Выводы

1. Проведено исследование зависимости электродных потенциалов и скорости окисления меди от pH среды в растворах, содержащих ионы меди или сульфата.

2. Установлено, что наблюдаемые значения потенциала и скорости окисления меди зависят не от начального значения pH, а от значения, устанавливающегося в процессе коррозии.

3. Определяющее влияние на потенциал и скорость окисления меди оказывают состав продуктов коррозии, анионы исходного раствора и концентрация ионов меди, перешедших в раствор.

Академия наук ЛатвССР  
Институт химии

Поступила  
6.1.1958

### ЛИТЕРАТУРА

- O. Gatty and E. C. R. Spooner, The electrode potential behaviour of corroding metals in aqueous solutions, Oxford, 1938.  
Г. В. Акимов и В. П. Батраков, Необратимые электродные потенциалы меди и серебра, Сб. «Исследования в области электрохимического и коррозионного поведения металлов и сплавов», Оборонгиз, М., 1950.  
Г. В. Акимов и И. Л. Розенфельд, Ж. физ. химии, 25, 1436, 1940; Докл. АН СССР, 26, 456, 1940; И. Л. Розенфельд, Кандидатская диссертация, Москва, 1945.  
W. Katz, Werkstoffe und Korrosion, 1950, 10; Z. Metallkunde, 7, 5—6, 1953.  
В. М. Кадек и Л. К. Лепинь, Изв. АН ЛатвССР, № 8 (121), 129, 1957.  
В. М. Кадек и Л. К. Лепинь, Изв. АН ЛатвССР, № 9 (122), 125, 1957.  
Л. К. Лепинь и А. Я. Вайваде, Ж. физ. химии, 28, 435, 1954; Л. К. Лепинь, А. Я. Вайваде и З. Ф. Ошис, Ж. физ. химии, 29, 350, 1955.  
В. М. Кадек и Л. К. Лепинь, Изв. АН ЛатвССР, № 5 (118), 1957.  
А. Я. Шаталов и Ю. А. Подвязкин, Тр. Воронежск. ун-та, 32, 39, 49, 1953.  
З. Ф. Ошис и Л. К. Лепинь, Изв. АН ЛатвССР, № 12 (89), 125, 1954.

### DEPENDENCE OF THE OXIDATION RATE AND ELECTRODE POTENTIAL OF COPPER ON THE SOLUTION PH

L. K. Lepin<sup>1</sup> and V. M. Kadec (Riga)

#### Summary

It has been shown that the potential-initial pH ( $pH_0$ ) and the copper oxidation rate —  $pH_0$  curves may be divided into three regions.

In the first region ( $pH_0 < 3$ ) the electrode potential and the rate of copper oxidation vary with the  $pH_0$  and depend upon the anions of the acids.

In the second region ( $pH_0 = 3—11$ ) stabilization of the pH, which assumes a practically constant value of  $pH_s = 6.4—7.2$ , is observed to take place during the oxidation. Here the electrode potential and oxidation rate depend upon this stationary pH value, but not upon the initial pH nor upon the electrolyte composition.

In the third region ( $pH > 11$ ) a still greater dependence of the electrode potential on the oxidation rate on  $pH_0$  (in fact on the  $OH^-$  concentration) is observed. The electrode potential shifts to the negative, but the oxidation rate passes through a maximum, diminishing subsequently to zero (passivation of the metal).

In all solutions considerable influence on the electrode potential and oxidation rate of copper is exerted by the nature, properties and structure of the deposits formed on the metal surface, but in solutions of lower pH the electrode potential and oxidation rate are also affected by the concentration of the copper ions accumulating in the solution on oxidation.

ФАКТОРЫ, ОКАЗЫВАЮЩИЕ ВЛИЯНИЕ НА ПЕРВОНАЧАЛЬНОЕ  
НАПРЯЖЕНИЕ АДсорбЦИОННОГО МИКРОЭЛЕМЕНТАSb (ГЕЛЬ) KCl 0,1N ( $\text{Hg}_2\text{Cl}_2 + \text{KCl } 0,1N$ ) Hg

(ПОТЕНЦИОМЕТРИЧЕСКАЯ ХРОМАТОГРАФИЯ)

Б. Валигура

Метод адсорбционного анализа, получивший название хроматографии, был создан М. С. Цветом [1—4] больше чем 50 лет назад.

Адсорбционная техника, разработанная М. С. Цветом, стала в науке методом анализа и получения химических соединений, отличающихся высокой степенью чистоты. Первоначально методом М. С. Цвета можно было изучать только окрашенные вещества или их смеси, адсорбирующиеся на неокрашенных адсорбентах. Но число бесцветных химических соединений довольно велико. В результате проведения адсорбционного анализа неокрашенные вещества также разделяются на составные части; однако зоны, возникающие в колонке, не видимы. В таких случаях контроль процесса возможен только благодаря применению специальных методов.

В процессе развития хроматографии был разработан ряд методов, дающих возможность контролировать ход хроматографического разделения неокрашенных веществ и позволяющих идентифицировать их после разделения. К этим методам относятся: ультрафиолетовая хроматография, метод окрашенных производных, метод Тизелиуса—Классона, потенциометрический метод Каменского, хроматополярграфия, метод измерения электропроводности, метод измерения диэлектрической постоянной, радиохроматография и пр.

Область применения всех этих методов, однако, ограничена, и нет ни одного из них, который позволил бы полностью решить проблему хроматографии неокрашенных соединений. В одном из этих методов, так называемом потенциометрическом методе, используется специальный микроэлемент, при помощи которого можно обнаружить кислые и щелочные соединения, окислители и восстановители как в средах, не проводящих электрического тока (например, в чистом бензине или в газах), так и в проводящих (в водных и спиртовых растворах, в бензино-спирто-водных растворах и других).

Потенциометрический метод был разработан и введен в практику научных исследований акад. Каменским [5—10], проф. физической химии Ягеллонского университета в Кракове. Этот метод применяется при разложении неокрашенных соединений на хроматографических колонках, на бумаге и при хроматографии газов. Он заключается в измерении потенциала микроэлектрода, соприкасающегося с адсорбционной колонкой или с жидкостью, вытекающей из адсорбента, и использует электрохимические свойства химических соединений.

Падающее большинство веществ, встречаемых в природе или в продуктах промышленного синтеза, имеет характер кислый или щелочной, окислительный или восстановительный. Такие вещества можно без особых затруднений обнаружить в парах или в жидкости, выходящих из колонки, если применить микроэлемент, соединенный с электрометром (например, Линдемана, Вульфа или Цейсса—Перукка).

Микроэлемент, применяемый при потенциометрическом методе, является одной самых главных частей хроматографической аппаратуры. Схема такого элемента представлена на рис. 1. Индикаторным электродом служит проволока (платиновая, сурьмяная, смутная или из другого металла), запаянная капиллярную трубку из тугоплавкого стекла, единенную шлифом с боковым разветвлением электрода сравнения (например, каломельного электрода).

Элемент состоит из двухполуэлементов: индикаторного электрода 1 (платинового или сурьмяного) и каломельного электрода 2, соединенных друг с другом (на рис. 1 показано справа) при помощи длинного конусообразного шлифа, влажного раствором хлорида калия. Благодаря применению этого шлифа индикаторные электроды можно заменять по мере надобности. Микроэлемент можно поместить в отшлифованное отверстие адсорбционной колонки (рис. 2). Жидкость, протекающая через адсорбент, после соприкосновения с кончиком элемента стекает по боковой трубке.

Элемент, представленный на рис. 1, может применяться непосредственно только в среде, проводящей электрический ток. Как известно, хроматографическое разделение проводится также и в неводных растворах, отличающихся небольшой диэлектрической постоянной, так как многие органические соединения трудно растворимы в воде. При пользовании микроэлементом в неэлектропроводной среде, например в чистом бензине или в газовой среде, нужно получить на рабочей поверхности элемента электропроводную пленку, создающую электрический контакт между индикаторным электродом и электродом сравнения.

Как известно, совершенно сухой на вид гель кремневой кислоты содержит значительное количество воды. Если на верхнюю часть элемента поместить каплю золя кремневой кислоты и затем высушить, то образовавшаяся гелевая пленка будет содержать достаточное количество воды и благодаря своей электропроводности соединять индикаторный электрод и электрод сравнения. Таким образом, микроэлемент, снабженный гелевой пленкой, может применяться в средах, не проводящих тока. Гелевая пленка играет также роль среды, адсорбирующей кислоты основания, окисляющиеся и восстанавливающиеся вещества, вызывающие изменение потенциала индикаторного электрода. Диэлектрическая постоянная растворителей, применяемых при хроматографических процессах, обычно не велика. Если в среде такого растворителя имеются диссоциированные органические кислот или оснований, то они будут самопроизвольно перемещаться в среду с более высокой диэлектрической постоянной, что связано с уменьшением свободной энергии. Средой с более высокой диэлектрической постоянной является именно пленка, состоящая из геля кремневой кислоты (титановой кислоты или алюмогеля). Толщина пленки колеблется в пределах  $10^{-4}$ — $10^{-5}$  см, электрическое сопротивление достигает миллионов омов. Электрическое сопротивление конусообразного шлифа тоже велико. Вследствие вышеуказанного внутреннее сопротивление элемента весьма значительно и для измерений его неприменимы гальванометры; в этих условиях необходим электрометр.

Для обнаружения исследуемого вещества кончик элемента соприкасается с каплями, вытекающими из адсорбционной колонки, или прикладывающееся непосредственно к столбу адсорбента, выступающего из колонки. Кратковременное соприкосновение элемента с колонкой (или с бумагой, применяемой обычно в хроматографии) достаточно для того, чтобы дать возможность в течение нескольких

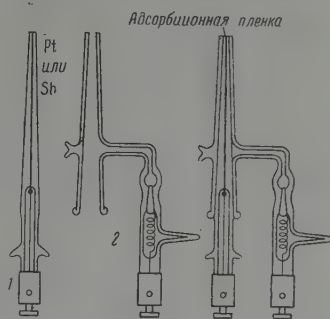


Рис. 1. Адсорбционный микроэлемент: 1 — платиновый либо сурьмяный электрод; 2 — каломельный электрод. Справа показан элемент в собранном виде

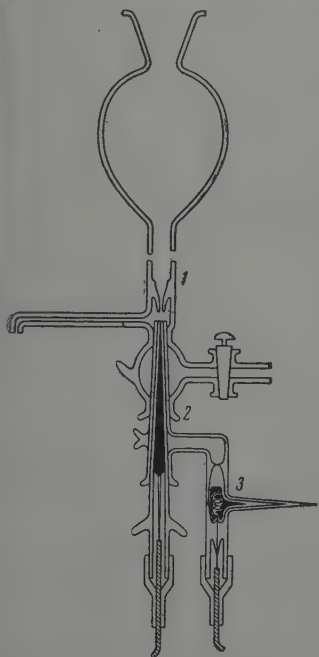


Рис. 2. Схема аппарата для потенциометрической хроматографии: 1 — адсорбционная колонка; 2 — сурьмяный электрод; 3 — каломельный электрод



секунд определить потенциал, отвечающий данному рН, или окислительно-восстановительный потенциал раствора, протекающего через колонку или бумагу.

Потенциометрический метод допускает применение как чистых, так и смешанных растворителей. Ясно, что нет нужды применять электрод с гелевой пленкой, если растворитель проводит электрический ток. Даже в случае раствора в бензине, содержащем несколько процентов этанола, электропроводность имеет достаточно большое значение, и гелевая пленка не нужна, если только прибором, измеряющим напряжение, является квадрантный электрометр или ламповая схема.

Потенциометрический метод может дать сведения о том, в каких условиях воспроизводим хроматографический анализ. Очень часто оказывается, что недостаточно очищенный продажный адсорбент содержит примеси, которые продвигаются вдоль колонки совместно с исследуемым веществом; в таком случае результаты хроматографического анализа воспроизводятся плохо. Таким образом, электрод является хорошим индикатором степени чистоты растворителя, который течет через адсорбент. Это одна из дальнейших возможностей применения микроэлемента.

Потенциометрический метод может также применяться при хроматографии на бумаге. После проявления хроматограммы полоска фильтровальной бумаги подвергается сушке, а потом помещается на стеклянной пластинке и опрыскивается, например, раствором хлорида калия. Касаясь электродом полоски бумаги в точках, отделенных друг от друга на несколько миллиметров, можно доказать присутствие зон разделенных соединений.

Одним из характерных свойств электрода является его чувствительность по отношению к восстанавливающим, окисляющим, кислым или щелочным газам. Поэтому микроэлемент находит также применение при хроматографическом анализе газов и паров.

### Экспериментальная часть

В работах по потенциометрической хроматографии, проведенных с применением адсорбционного элемента, состоящего из сурьмяного и кадмиевого электродов, можно заметить, что первоначальные напряжения этого элемента различаются. Производя опыты в одинаковых условиях, трудно добиться воспроизводимости первоначального потенциала, равно как воспроизводимости полного изменения электродного потенциала в течение адсорбционного анализа. Многочисленные эксперименты показали, что напряжение элемента (с сурьмяным индикаторным электродом), снабженного гелевой пленкой, может принимать разные первоначальные значения в зависимости от ряда факторов. Колебания могут достигать нескольких десятков милливольт. Однако после установления равновесия, напряжение элемента становится постоянным, благодаря чему микроэлемент может найти применение в хроматографическом анализе.

Прежде всего надо обратить внимание на воспроизводимость потенциала сурьмяного электрода, которая зависит от следующих факторов:

1) от движения растворов по отношению к действующей поверхности электрода [11, 14];

2) от степени насыщения раствора кислородом [12];

3) от загрязнения сурьмы, из которой изготовлен электрод [13, 14];

4) от температуры и метода отливки сурьмяного электрода [14];

5) от метода очистки действующей поверхности электрода.

После формовки гелевой пленки появляются новые факторы, которые тоже могут в меньшей или большей степени влиять на первоначальное значение потенциала электрода, а именно: а) толщина адсорбционной пленки, б) температура сушки пленки, в) продолжительность сушки, г) случайные загрязнения, происходящие из атмосферы, в которой сушилась пленка, д) род применяемого при эксперименте растворителя, который может дегидратировать или гидратировать пленку, е) влияние примесей, вымываемых из адсорбционной колонки (так называемый потенциал фона), которые могут подкислять или подщелачивать пленку. Это влияние зависит от сорта применяющегося адсорбента, от содержащихся в нем активизирующих веществ и т. д.

Число параметров, которые необходимо учесть, довольно велико и потому, желая добиться полной воспроизводимости первоначального напряжения элемента, нужно вести работу в строго стандартных условиях.

Я провел несколько сотен экспериментов и установил, что первоначальная величина напряжения элемента редко воспроизводится и колеблется в большей или меньшей степени в зависимости от влияния вышеуказанных факторов; однако средний первоначальный потенциал (потенциал на) всегда постоянен.

Гелевые пленки, гарантирующие электрический контакт между индикаторным и сравнительным электродами, я изготовлял, помещая на шлифованном кончике элемента (поверхностью в  $0,1256 \text{ см}^2$ ) каплю золя кремневой кислоты объемом в  $10 \text{ мм}^3$ , после испарения которой накладывалась еще одна капля объемом в  $10 \text{ мм}^3$ . Получаемая таким образом

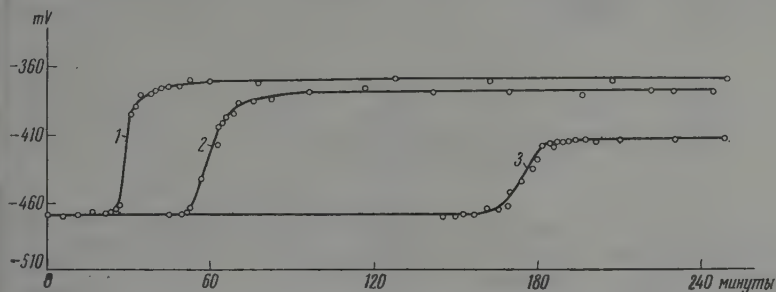


Рис. 3. Влияние толщины гелевой пленки на напряжение адсорбционного микроэлемента

пленка имеет хорошие свойства. Пленки, образующиеся после испарения только капли  $10 \text{ мм}^3$ , были слишком тонки, не выдерживали механического воздействия струи раствора, вытекающего из адсорбционной колонки, и часто подвергались разрушению. Поэтому пленка изготовлялась всегда путем поочередного испарения двух капель (каждая в  $10 \text{ мм}^3$ ), измеряемых калиброванной пипеткой. Определив содержание  $\text{SiO}_2$  в золе кремневой кислоты, можно вычислить толщину гелевой пленки, образовавшейся на электроде. Если брать  $20 \text{ мм}^3$  золя кремневой кислоты, содержащих  $8,8 \cdot 10^{-6} \text{ г SiO}_2$ , то после сушки получается гелевая пленка толщиной в  $3,1 \cdot 10^{-5} \text{ см}$ . Ясно, что вычисленное значение толщины пленки является только приблизительной величиной, так как при расчетах учитывался исключительно  $\text{SiO}_2$ , а не принималась во внимание вода, входящая в состав структуры геля.

В течение процесса сушки гелевой пленки напряжение элемента постепенно изменяется, достигая некоторой определенной величины. На рис. 3 изображены кривые изменения напряжения микроэлемента (состоящего из сурьмяного и каломельного электродов) в течение процесса сушки гелевых пленок, изготовленных из разных объемов золя. Изменения напряжения измерялись, начиная с момента помещения золя в верхней части элемента, до полного испарения капли и образования пленки. Напряжения измерялись при  $21-23^\circ \text{C}$ . Кривая 1 (рис. 3) снята для пленки, изготовленной из  $10 \text{ мм}^3$  золя, кривая 2 соответствует пленке из  $20 \text{ мм}^3$  золя, а кривая 3 — пленке из  $40 \text{ мм}^3$  золя.

После помещения в верхней части элемента капли золя объемом в  $10 \text{ мм}^3$  (кривая 1) напряжение \* равнялось  $-468 \text{ мВ}$ , после сушки напряжение установилось на постоянном уровне  $-372 \text{ мВ}$ . При испарении капли объемом в  $40 \text{ мм}^3$  в таких же условиях (кривая 3) напряжение после установления равновесия равнялось  $-414 \text{ мВ}$ . Эта разница между установленными напряжениями связана со свойствами высушенных пленок, с количеством содержащейся в них воды и с их электропроводностью.

\* В качестве измерительного прибора, позволяющего определить разницу потенциалов, применялся квадрантный электрометр Кембридж Инструмент Компани.

Проведенные исследования дали возможность установить, что слишком тонкие пленки (образовавшиеся после испарения  $10 \text{ мл}^3$ ) не давали хороших результатов. Их электрическое сопротивление слишком велико и они трескаются при измерениях вследствие своей тонкости. Толстые пленки (изготовленные путем испарения  $40 \text{ мл}^3$  золя) также не давали

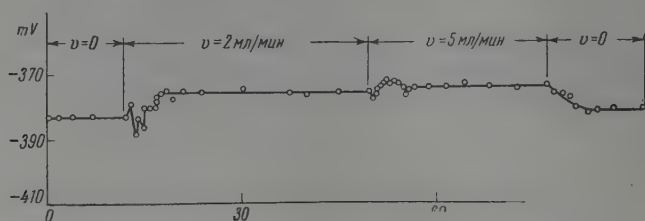


Рис. 4. Зависимость напряжения микроэлемента от скорости движения потока бензинового раствора

положительных результатов, так как они хотя и были устойчивы и обладали хорошей электропроводимостью, но препятствовали диффузии исследуемых веществ в направлении к электроду. Кроме того, адсорбируя одно вещество, пленка, покрывающая электрод, теряла чувствительность по отношению к другим химическим соединениям, выходящим из хроматографической колонки. Самые лучшие результаты удалось получить в случае гелевых пленок, изготовленных путем поочередного испарения двух капель (каждая объемом в  $10 \text{ мл}^3$ ). Суммарное время сушки составляло 45–60 мин.

Установленное напряжение адсорбционного микроэлемента (покрытого гелевой пленкой) может принимать разные значения в зависимости от скорости движения исследуемого раствора. Разница может достигать 10–20 mV.

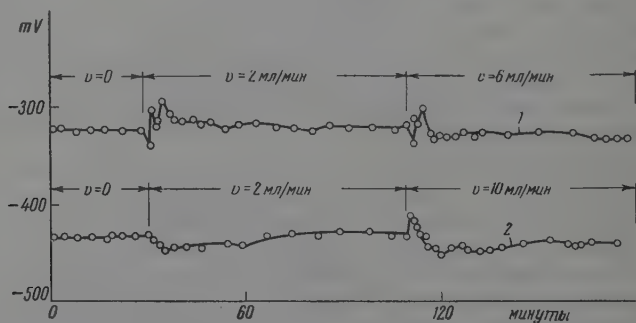


Рис. 5. Напряжение микроэлемента при разных скоростях движения потока: 1 — кислого бензинового раствора и 2 — щелочного бензинового раствора

На рис. 4 изображены результаты опыта, в котором чистый бензин пропусклся с различными скоростями через колонку, наполненную кварцевым песком. Самые большие колебания потенциала электрода можно заметить в первый момент после изменения скорости течения раствора, затем потенциал устанавливается на постоянном уровне, не возвращаясь к первоначальному значению.

В кислой среде чувствительность микроэлемента по отношению к измерениям скорости движения раствора немного больше. Увеличение

скорости выше  $0,1 \text{ см}^3/\text{сек.}$  вызывает резкие, но кратковременные колебания напряжения и потенциал не возвращается к первоначальному значению даже спустя некоторое время (рис. 5, 1). В щелочной среде изменение скорости движения раствора влияет на напряжение микроэлемента иначе (рис. 5, 2).

Полученные результаты показывают, что быстрые изменения скорости движения раствора вызывают продолжительные изменения потенциала ртутного электрода. Эти изменения постепенно исчезают и, спустя некоторое время, потенциал ртутного электрода возвращается к первоначальному значению. Как видно из рис. 5 (кривая 2), в щелочной среде большие изменения скорости не изменяют заметным образом потенциал электрода. Более заметные изменения имеют место только при больших скоростях течения раствора. Проведение наблюдений подтверждают результаты, полученные А. А. Щербаковым [4]. Во избежание колебаний напряжения элемента в течение хроматографического анализа эксперименты наводят проводить при постоянной скорости движения раствора по отношению к электроду.

Первоначальное значение напряжения адсорбционного микроэлемента сильно зависит от рода применяемого адсорбента. Продажные адсорбенты чаще всего недостаточно чисты и содержат большие количества примесей, выходящих совместно с исследуемым веществом. Присутствие этих примесей сильно снижает воспроизводимость результатов хроматографического анализа.

Это обстоятельство является причиной того, что, повторяя анализ при применении разных препаратов одного и того же адсорбента, нельзя добиться полностью воспроизводимых результатов. Об этом говорят кривые, изображающие изменение напряжения элемента, снятые потенциометрическим методом.

Иногда присутствие некоторых примесей в адсорбенте может оказывать выгодным, так как они позволяют искусственно подгонять первоначальное значение напряжения элемента, подбирая условия, выгодные для проведения эксперимента. Так, при помощи микроэлемента можно обнаруживать присутствие слабых кислот, щелочных, окисляющих, восстанавливающих или даже нейтральных соединений. Если первоначальный потенциал индикаторного электрода искусственно подогнан, то после появления в верхней части элемента вещества, химически нейтрального, напряжение элемента изменится в течение процесса элюирования.

Продажные препараты окиси алюминия и углекислого кальция, предназначенные для хроматографии, имеют щелочную реакцию, что может вызывать затруднения при потенциометрической хроматографии на колонках, если объектом исследования являются химические соединения очень слабощелочного характера. В этом случае изменение напряжения адсорбционного элемента, вызванное появлением в фильтрате исследуемого слабощелочного вещества, очень мало в сравнении с потенциалом, приобретаемым электродом вследствие действия на него растворителя, выходящегося через щелочной адсорбент. Примером может служить хроматографический анализ хинальдина, проведенный из бензинового раствора при использовании окиси алюминия в качестве адсорбента. Исследование проводилось следующим образом: через колонку (высотой в 60 мм и

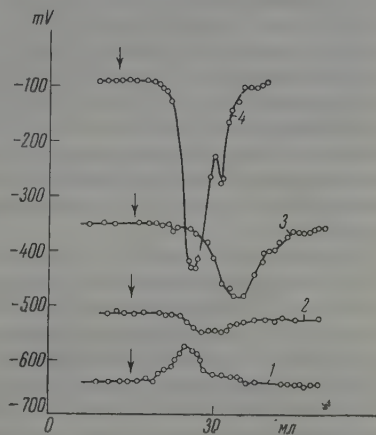


Рис. 6. Электрохимический анализ хинальдина на разных адсорбентах



диаметром 7 мм) с окисью алюминия пропускался сначала чистый бензин. После введения в верхнюю часть 2 мл 0,001 М раствора хинальдина через адсорбент снова пропускался чистый растворитель. Кривая 2 рис. 6 изображает ход изменения напряжения адсорбционного микроэлемента при опыте с хинальдином.

Немного больший скачок потенциала можно получить, применяя в качестве адсорбента гидроокись алюминия В. Д. Н. (British Drug Houses) имеющую слабокислый характер (рН приблизительно 6). Результаты этого опыта представляет кривая 3 рис. 6 (2 мл 0,001 М бензинового раствора хинальдина, высота колонки 60 мм).

Еще большего изменения напряжения микроэлемента удалось добиться при применении однозамещенного сернокислого кальция, получаемого в результате воздействия серной кислоты на хлорид кальция. Приготовленный таким образом сернокислый кальций, несмотря на длительное промывание водой, содержит остаток неорганической кислоты, который может повлиять желаемым образом на изменение напряжения элемента в течение хроматографического анализа слабых органических оснований. Кривая 4 рис. 6 представляет результаты опыта, проведенного при применении колонки с сернокислым кальцием высотой в 60 мм. В качестве анализируемого раствора применялся 0,001 М бензиновый раствор хинальдина (2 мл).

Совершенно другие изменения напряжения элемента получаются в случае применения довольно сильного щелочного адсорбента, каким является гранулированный углекислый кальций продукции Мерка (кривая 1 рис. 6). Как видно из рис. 6, кривая 1, показывающая изменение напряжения элемента при хроматографическом анализе 2 мл бензинового 0,001 М раствора хинальдина, перевернута по отношению к другим. В последнем опыте индикаторный электрод вследствие того, что первоначальный потенциал был подогнан в направлении отрицательных значений, ведет себя так, как будто на него действует кислое вещество. Проведенные опыты доказывают, что при некоторых значениях первоначального потенциала адсорбционного микроэлемента исследуемое вещество могло бы остаться незамеченным и пройти в фильтрат; при других первоначальных напряжениях измерение кривых изменения потенциала приводило к очень хорошим результатам.

## Выводы

1. Для проведения хроматографического анализа из растворов, не проводящих тока, при применении потенциометрического метода формируются гелевые пленки на рабочей поверхности элемента для обеспечения хорошего контакта между индикаторным и каломельным электродом. Присутствие этой пленки оказывает влияние на первоначальное напряжение элемента, вызывая его более или менее сильное смещение. Изменения вносят также такие факторы, как толщина адсорбционной пленки, степень ее сухости, температура и продолжительность сушки, случайные загрязнения, попадающие из воздуха, род применяемого адсорбента. Совокупность всех факторов, которые могут оказывать влияние, определяет первоначальное значение напряжения элемента.

2. Установлено, что среднее напряжение микроэлемента всегда постоянно, что дает возможность использовать его в хроматографии.

3. Для хорошо высушенных пленок первоначальное напряжение элемента немного смещено в сторону положительных значений. Недостаточно высушенные пленки смещают напряжение элемента к более отрицательным значениям. Это явление может быть успешно использовано в потенциометрической хроматографии, так как оно дает возможность в некоторой степени регулировать первоначальное напряжение элемента.

4. При адсорбционном анализе щелочных соединений выгодно, чтобы напряжение элемента передвинулось немного в сторону положительных значений. При анализе кислот первоначальный потенциал желательно сместить в сторону более отрицательных значений, так как тогда произойдут большие скачки напряжения в направлении положительных величин.
5. На первоначальное значение напряжения микроэлемента влияют также загрязнения адсорбента, которые могут вымываться при анализе. Это явление можно в некоторых случаях использовать при адсорбционном анализе смесей.
6. Установившееся напряжение адсорбционного микроэлемента может также изменяться в некоторых границах при изменении скорости движения растворов по отношению к действующей поверхности элемента. Самые большие колебания возникают в первый момент после изменения скорости, после чего напряжение устанавливается. Поэтому адсорбционные анализы, проводимые потенциометрическим методом должны вестись при постоянной скорости истечения фильтрата по отношению к действующей поверхности элемента.

Ягеллонский университет

Кафедра физической химии и электрохимии  
Краков

Поступила  
7.I.1958

# ЛИТЕРАТУРА

1. М. С. Цвет, Тр. Варшавск. о-ва естествоиспыт., Отд. биол., 14, 20, 1903.
2. М. С. Цвет, Ber. Dtsch. bot. Ges., 24, 316, 384, 1906.
3. М. С. Цвет, Хромофиллы в растительном и животном мире, Варшава, 1910.
4. М. С. Цвет, Хроматографический адсорбционный анализ, Избранные работы, Изд-во АН СССР, 1946.
5. B. Kamiński, Bull. Acad. polon. sci., A. No 7—10, 127, 1948, No 1—4, 75, 81, 87, 1949; A. No 7—10, 157, 1949. No 1—10, 73, 1950; B. Kamiński, Z. Było, B. Waligóra, Bull. Acad. polon. sci., A. No 3—6, 199, 1951, B. Kamiński, B. Waligóra, Z. Acad. polon., A. No 3—6, 223, 1951; B. Kamiński, Z. Było, Bull. Acad. polon. sci., A. No 3—6, 224, 1951.
6. B. Kamiński, Rozprawy Wydziału Matematyczno Przyrodniczego P. A. U. t. 74 Dział A, Seria III Tom 34, No 3, 1—47, 1949.
7. B. Kamiński, Sprawozdania P. A. U., Tom LII, Nr 10, 913, 1951; ibid. Tom LII Nr. 10, 914, 1951; ibid. Tom LIII, Nr. 3, 169, 1952; Kamiński B., Puchalkówna K., Doliński Z., ibid. Tom LIII. I, 39, 1952. ibid. Tom LIII, Nr. I, 40 (1952); ibid. Tom LIII, Nr. 1, 42, 1952.
8. B. Kamiński, C. R. M., Acad. Polon., No 10, 84, 1951.
9. B. Waligóra, Bull. Acad. Polon., Cl. III, I. Nos 3—4. 143, 1953; B. Kamiński, B. Waligóra, Bull. Acad. polon. sci., No 6, 245, 1953; B. Kamiński, Z. Było, Bull. Acad. polon. sci., No 6, 251, 1953, B. Kamiński, K. Puchalkówna, Z. Doliński. Bull. Acad. polon. sci., No 7, 297, 1953; Bull. Acad. polon. sci., No 7, 305, 1953; B. Kamiński, I. Mazur, Bull. Acad. polon. sci., No 6, 325, 1955, B. Kamiński, J. Kulawik, Bull. Acad. polon. sci., No 7, 401, 1955; Bull. Acad. polon. sci., No 8, 1956, B. Kamiński, I. Kulawik, Bull. Acad. polon. sci., No 6, 387, 1956.
10. B. Waligóra, Zeszyty Naukowe U. J. Matematyka—Fizyka—Chemia, No 1, 83, 1955; Z. Było, ibid. No 1, 131, 1955; K. Gustaw, ibid, No 2, 125, 1956.
11. K. Fiscjebek, F. Eimer, Z. Elektrochem., 44, 845, 1938.
12. Y. Kauko, L. Z. Knappenberg, Z. Elektrochem. 45, 760, 1939; P. Wulf, W. Kordozki, W. Erenberg, Z. Elektrochem. 41, 542, 1935.
13. G. A. Perley, Ind. Engng. Chem. Analit. Ed. II, 316, 1939.
14. А. А. Щербakov, Ж. аналит. химии, 6, 157, 1951.

FACTORS INFLUENCING THE INITIAL ELECTROMOTIVE FORCE OF THE  
MICROVOLTAIC ADSORPTION CELL SB (GEL) KCL 0.1N (Hg<sub>2</sub>Cl<sub>2</sub>+KCL 0.1N)Hg.  
(POTENTIOMETRIC CHROMATOGRAPHY)

*B. Waligóra (Krakov)*

S u m m a r y

In applying the microvoltaic adsorption cell of B. Kamienski to chromatographic analysis in non-conducting solvents, it is necessary to form gel layers on the working surface of the cell in order to make contact between the indicator and reference electrodes.

The presence of this gel layer causes a shift in the initial electrode potential. This depends upon such factors as the thickness of the adsorption layer and degree of its drying, the temperature and duration of the drying, accidental contaminations from the atmosphere, and the nature of the adsorbents and solvents employed.

The author investigated the influence of these factors on the magnitude of the shift of the electrode potential.

The study has shown that the initial emf of the microvoltaic adsorption cell may be controlled. This phenomenon may be used with success in the potentiometric chromatography of organic acids and bases.

---

## ТЕРМОДИНАМИЧЕСКИЕ ИССЛЕДОВАНИЯ ПРИ НИЗКИХ ТЕМПЕРАТУРАХ

ТЕПЛОЕМКОСТЬ ХЛОРИДА И ИОДИДА КАДМИЯ МЕЖДУ 1,6 И 300° К.  
ЭНТАЛЬПИЯ И ЭНТРОПИЯ  $\text{CdCl}_2$  И  $\text{CdI}_2$  ПРИ 298, 16° К

*Е. С. Ицкевич и П. Г. Стрелков*

С целью получения численных значений энтропии и энтальпии при стандартной температуре были продолжены измерения теплоемкости хлорида и иодида кадмия выше 100° К. Результаты измерений от 1,6 до 100° К обсуждение в свете современных теоретических работ были опубликованы ранее [1].

Данные по энтропии и энтальпии  $\text{CdCl}_2$  и  $\text{CdI}_2$  представляют как практический, так и теоретический интерес, так как относятся к двум членам морфного ряда.

**Хлорид кадмия.** Измерения теплоемкости безводного хлорида кадмия выше 100° К проводились на том же препарате, в том же адиабатическом вакуумном калориметре и с тем же платиновым термометром сопротивления, что и измерения ниже этой температуры [1, 2]. Теплоемкость пустого калориметра была определена в интервале температур от 1,6 до 303° К. Значения ее графически выравнивались. Отдельные экспериментальные точки отклоняются от выравненной кривой не более чем на 0,7% (среднее отклонение гораздо меньше). Величина теплоемкости пустого калориметра составляла от 15% (при 10,9° К) до 38% (при 296,3° К) определяемой величины. Так как кривая теплоемкости была достаточно гладкой, точки выше 100° К снимались через большие температурные интервалы. Были сняты 32 точки от 101,28 до 296,32° К. На рис. 1 показаны результаты измерений теплоемкости  $\text{CdCl}_2$  во всей области от 1,6 до 296,3° К. Всего от 1,6 до 296,32° К было произведено 258 определений теплоемкости. В табл. 1 оказалось возможным привести лишь выравненные значения молярной теплоемкости  $\text{CdCl}_2$  (калория принята равной 85 абс. дж). Общую среднюю погрешность результатов измерений мы оцениваем менее чем в 1%.

Нам не известны другие измерения теплоемкости хлорида кадмия в том интервале температур. А. Н. Крестовников и Г. А. Каретников [3] измеряли теплоемкость  $\text{CdCl}_2$  при высоких температурах. Приведенные выше значения теплоемкости при 200, 300, 400 и 500° С получены из экспериментальных данных интерполяцией при помощи уравнения

$$c = 0,10154 - 1,536 \cdot 10^{-6}t + 0,877 \cdot 10^{-7}t^2,$$

где  $c$  — удельная теплоемкость, а  $t$  — температура в °С. На рис. 2 приведены точки А. Н. Крестовникова и Г. А. Каретникова и наши выравненные значения. Видно, что оба ряда значений легко укладываются на одну кривую.

Для вычисления энтропии и энтальпии  $\text{CdCl}_2$  при стандартной температуре мы графически сгладили температурную зависимость  $C_p$  на всем интервале от 1,6 до 298,16° К и численным интегрированием получили конечные величины. Экстраполяция ниже 1,6° К производилась по кубиче-



Таблица 1

Молярная теплоемкость  $\text{CdCl}_2$  (выравненные данные)

$T, ^\circ\text{K}$	$C_p,$ кал/град·моль	$T, ^\circ\text{K}$	$C_p,$ кал/град·моль	$T, ^\circ\text{K}$	$C_p,$ кал/град·моль
2	0,0022	48	5,93	180	16,12
3	0,0075	50	6,23	185	16,24
4	0,0177	55	6,97	190	16,35
5	0,0356	60	7,72	195	16,45
6	0,065	65	8,42	200	16,54
7	0,112	70	9,08	205	16,63
8	0,182	75	9,73	210	16,72
9	0,273	80	10,32	215	16,80
10	0,382	85	10,87	220	16,88
12	0,644	90	11,37	225	16,95
14	0,928	95	11,82	230	17,03
16	1,232	100	12,22	235	17,09
18	1,51	105	12,60	240	17,16
20	1,79	110	12,97	245	17,22
22	2,07	115	13,31	250	17,28
24	2,35	120	13,63	255	17,34
26	2,645	125	13,93	260	17,40
28	2,94	130	14,21	265	17,46
30	3,23	135	14,57	270	17,51
32	3,53	140	14,72	275	17,57
34	3,83	145	14,94	280	17,62
36	4,12	150	15,16	285	17,68
38	4,42	155	15,35	290	17,74
40	4,72	160	15,53	295	17,80
42	5,02	165	15,69	298,16	17,84
44	5,32	170	15,85	300	17,85
46	5,63	175	15,99		

Таблица 2

Молярная теплоемкость  $\text{CdJ}_2$  (выравненные данные)

$T, ^\circ\text{K}$	$C_p,$ кал/град·моль	$T, ^\circ\text{K}$	$C_p,$ кал/град·моль	$T, ^\circ\text{K}$	$C_p,$ кал/град·моль
2	0,0061	48	11,32	180	17,82
3	0,0205	50	11,70	185	17,87
4	0,050	55	12,53	190	17,93
5	0,105	60	13,24	195	17,98
6	0,197	65	13,83	200	18,02
7	0,312	70	14,31	205	18,07
8	0,465	75	14,74	210	18,11
9	0,655	80	15,08	215	18,14
10	0,880	85	15,37	220	18,18
12	1,375	90	15,60	225	18,21
14	1,91	95	15,81	230	18,24
16	2,52	100	15,99	235	18,26
18	3,145	105	16,16	240	18,28
20	3,79	110	16,33	245	18,30
22	4,43	115	16,48	250	18,32
24	5,10	120	16,63	255	18,34
26	5,76	125	16,77	260	18,36
28	6,39	130	16,91	265	18,38
30	7,00	135	17,03	270	18,40
32	7,58	140	17,15	275	18,42
34	8,13	145	17,26	280	18,44
36	8,67	150	17,37	285	18,47
38	9,18	155	17,46	290	18,49
40	9,65	160	17,54	295	18,51
42	10,10	165	17,62	298,16	18,53
44	10,52	170	17,69	300	18,54
46	10,92	175	17,75		

тому закону [1]. Результаты оказались следующими:

$$S_{298,16}^0 = 27,55 \pm 0,08 \text{ кал/град.моль},$$

$$H_{298,16}^0 - H_0 = 3791,3 \pm 11,4 \text{ кал/моль}.$$

Мы численно проинтегрировали кривую рис. 2 и определили значение энтропии и энтальпии  $\text{CdCl}_2$  при температуре плавления ( $841,2^\circ \text{K}$ ):

$$S_{841,2(\text{ТВ})} = 48,09 \text{ кал/град.моль},$$

$$H_{841,2(\text{ТВ})} - H_0 = 14789 \text{ кал/моль}.$$

Эти значения, конечно, не могут претендовать на полную достоверность. Они являются некоторым приближением, погрешность которого оценить затруднительно.

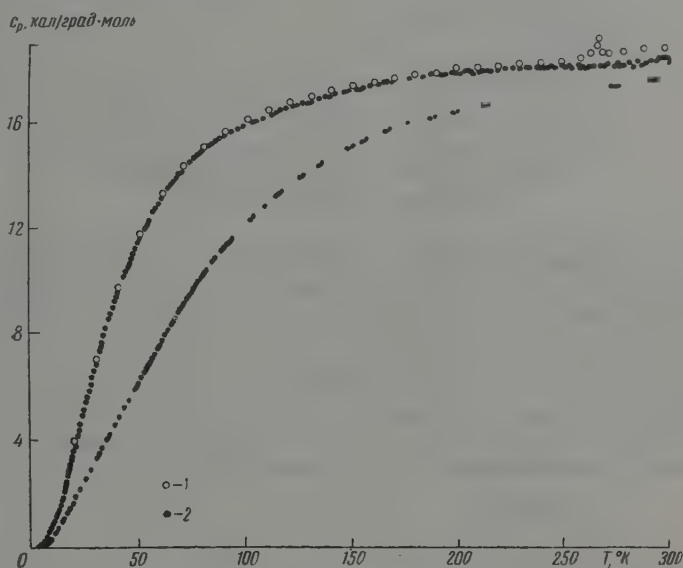


Рис. 1. Теплоемкость  $\text{CdCl}_2$  и  $\text{CdJ}_2$  от 0 до  $300^\circ \text{K}$ : 1 — данные из [4] (выравненные); 2 — наши данные

Иодид кадмия. Измерения теплоемкости иодистого кадмия выше  $100^\circ \text{K}$  проводились так же, как и вышеописанные измерения хлористого кадмия. В работах [1, 2] мы уже упоминали о том, что, покрыв измерениями без пропусков интервал от  $1,6$  до  $300^\circ \text{K}$ , мы не обнаружили фазовых переходов. Величина теплоемкости пустого калориметра при измерениях с  $\text{CdJ}_2$  составляла от 20% (при  $10,7^\circ \text{K}$ ) до 65% (при  $300^\circ \text{K}$ ) определяемой величины. В области выше  $100^\circ \text{K}$  нами было произведено 33 определения теплоемкости  $\text{CdJ}_2$ , а в интервале от  $1,65$  до  $302,51^\circ \text{K}$  общей сложности было получено 307 точек. Поэтому так же, как и для  $\text{CdCl}_2$  в табл. 2, оказалось возможным привести только выравненные значения молярной теплоемкости  $\text{CdJ}_2$ . Общую среднюю погрешность результатов измерений мы оцениваем менее чем в 1%.

Нам известна только одна работа по определению теплоемкости иодистого кадмия при низких температурах. Это — статья Дворкина, Сесора и Артсделена [4], которые измерили теплоемкость  $\text{CdJ}_2$  между  $16$  и  $302^\circ \text{K}$ . В работе [2] наши результаты были частично сопоставлены с измерениями [4].

Авторы [4] обнаружили слабо выраженную особенность теплоемкости  $\text{CdJ}_2$  около  $270^\circ \text{K}$  (изменение энтальпии около  $3 \text{ кал/моль}$ ). Так как принадлежность этой особенности решетке  $\text{CdJ}_2$  представлялась нам сомнительной, мы провели измерения теплоемкости второго образца  $\text{CdJ}_2$  между  $260$  и  $275^\circ \text{K}$ , пытаясь обнаружить особенность на кривой теплоемкости. Был использован калориметр с запрессованным в нем иодидом

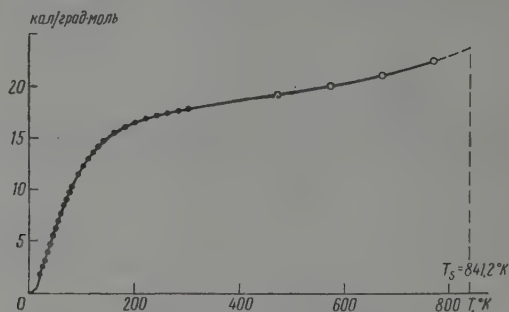


Рис. 2. Теплоемкость  $\text{CdCl}_2$  от  $0$  до  $800^\circ \text{K}$ : ○—данные работы [3]; ●—наши данные (выравненные);  $T_s$ —температура плавления  $\text{CdCl}_2$

кадмия, с которым мы работали при гелиевых температурах [1]. Абсолютные значения теплоемкости в этом случае нас не интересовали, поэтому отсутствие градуировки теплоемкости пустого калориметра вблизи комнатной температуры не имело значения. Для удаления воздуха и следов влаги из препарата калориметр с заранее высушенной солью дополнительно откачивался около  $10$  час. при  $120^\circ \text{C}$  через впаянный в крышку капилляр. Затем последний пережимался под вакуумом и отпаивался. Такая обработка исключала появление дополнительной теплоемкости вблизи  $273^\circ \text{K}$  за счет замораживания остатков воды в препарате.

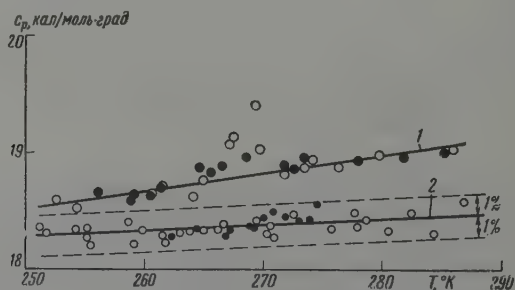


Рис. 3. Теплоемкость  $\text{CdJ}_2$  в области  $250$ — $290^\circ \text{K}$ : 1—данные работы [4]; 2—наши измерения (светлые кружки — первый препарат, черные кружки — второй препарат)

Было получено  $12$  значений теплоемкости (две серии измерений) в интервале  $262,26$ — $274,56^\circ \text{K}$ . Результаты этих измерений приведены на рис. 3. Ход точек, относящихся как к первому, так и ко второму препаратам, показывает, что аномалия, наблюдавшаяся в [4], была обусловлена методикой или состоянием препарата Дворкина и др. Ими было сделано семь серий измерений. Из них только в трех сериях оказались четыре точки со значениями теплоемкости выше  $19 \text{ кал/град.моль}$ , которые могут

считаться определяющими аномалию. На рис. 3 эти три серии точек обозначены светлыми кружками. Абсолютные значения теплоемкости нашего порошкового препарата были получены при помощи привязки значения теплоемкости в одной точке ( $273,0^\circ \text{K}$ ) к кривой первого препарата. Разброс точек, как видно из рис. 3, менее 1 %.

На рис. 1 показаны полученные нами экспериментальные значения теплоемкости  $\text{CdJ}_2$  от 1,6 до  $302,5^\circ \text{K}$  и выравненные значения из работы [4]. Сопоставление наших данных и данных из работы [4] показывает, что имеются три области систематических расхождений, ниже  $25^\circ \text{K}$ , между  $90$  и  $160^\circ \text{K}$  и выше  $200^\circ \text{K}$  данные [4] идут выше наших. Средняя величина этих расхождений 1,0%. Наиболее значительным является расхождение при температурах выше  $260^\circ \text{K}$ . При температуре  $273^\circ \text{K}$  оно достигает 3%. Присутствие аномалии, которая не воспроизводилась на всех наших препаратах «ч. д. а.», заставляет сомневаться в точности значений авторов [4].

Нами получены значения энтропии и энтальпии  $\text{CdJ}_2$  при стандартной температуре:

$$S_{298,16}^0 = 37,67 \pm 0,09 \text{ кал/град.моль},$$

$$H_{298,16}^0 - H_0 = 4512,2 \pm 11,3 \text{ кал/моль}.$$

Значение энтропии, полученное в (4), было

$$S_{298,16}^0 = 38,50 \text{ кал/град.моль}.$$

Разница составляет  $0,83 \text{ кал/град.моль}$ . Согласно нашему подсчету разница в  $0,50$  падает на область ниже  $30^\circ \text{K}$  и связана с тем, что авторы [4] закончили измерения при температуре  $16^\circ \text{K}$  и экстраполировали от нее к абсолютному нулю. Остальная разница в основном связана с расхождением выше  $260^\circ \text{K}$ .

### Выводы

1. Измерены теплоемкости хлорида и иодида кадмия в области температур от  $100$  до  $300^\circ \text{K}$ .

2. Получены значения энтропии и энтальпии хлорида кадмия при стандартной температуре

$$S_{298,16}^0 = 27,55 \pm 0,08 \text{ кал/град.моль},$$

$$H_{298,16}^0 - H_0 = 3791,3 \pm 11,4 \text{ кал.моль}.$$

3. При помощи данных А. Н. Крестовникова и Г. А. Каретникова получены приближенные значения энтропии и энтальпии хлорида кадмия при температуре плавления:

$$S_{841,2^\circ \text{K(ТВ)}} = 48,09 \text{ кал/град.моль},$$

$$H_{841,2^\circ \text{K(ТВ)}} - H_0 = 14789 \text{ кал/моль}.$$

4. Значения энтропии и энтальпии иодида кадмия при стандартной температуре

$$S_{298,16}^0 = 37,67 \pm 0,09 \text{ кал/град.моль},$$

$$H_{298,16}^0 - H_0 = 4512,2 \pm 11,3 \text{ кал/моль}.$$

5. Измерения теплоемкости иодида кадмия в области  $260$ — $275^\circ \text{K}$ , проведенные на двух различных образцах квалификации «ч. д. а.», показали отсутствие аномалий в теплоемкости при температурах  $267$ — $270^\circ \text{K}$ . Это позволяет заключить, что неуверенная аномалия кривой теплоемкости  $\text{CdJ}_2$  вблизи  $270^\circ \text{K}$  [4] не имеет отношения к теплоемкости его кристаллической решетки.



## ЛИТЕРАТУРА

1. Е. С. Ицкевич, П. Г. Стрелков, Ж. эксперим. и теор. физ., 32, 46, 1957.
  2. Е. С. Ицкевич, П. Г. Стрелков, Докл. АН СССР, 106, 805, 1956.
  3. А. Н. Крестовников, Г. А. Каретников, Редкие металлы, № 35, 1935.
  4. A. S. Dworkin, D. J. Sasmor, E. R. van Artsdalen, J. Amer. Chem. Soc., 77(5), 1304, 1955.
- 

THERMODYNAMIC STUDIES AT LOW TEMPERATURES. VIII. THE HEAT CAPACITY OF CADMIUM CHLORIDE AND IODIDE BETWEEN 1.6 AND 300° K. THE ENTHALPY AND ENTROPY OF  $\text{CdCl}_2$  AND  $\text{CdI}_2$  AT 298.16° K

*E. S. Itskevich and P. G. Strelkov (Moscow)*

Summary

The heat capacity of cadmium chloride and iodide at 100 to 300° K has been measured with the objective of obtaining data on the entropy and enthalpy. From the results of this and the previous work (measurement of the heat capacity of these salts within the range of 1.6 to 100° K) the entropy and enthalpy at 298.16° K have been calculated, giving values of 27.55 cal/deg. mole and 3791.3 cal/mole for the chloride and 37.67 cal/deg. mole and 4512.2 cal/mole for the iodide. With the aid of the data of Karetnikov and Krestovnikov approximate values have been obtained for the entropy and enthalpy of cadmium chloride at the melting point (841.2° K), viz., 48.09 cal/deg. mole and 14789 cal/mole.

---

## ИЗОТЕРМЫ АДСОРБЦИИ ИЗ ТРЕХКОМПОНЕНТНЫХ РАСТВОРОВ

Н. Н. Грязев и А. В. Киселев

В литературе имеется большое число работ по адсорбции органических веществ на разнообразных адсорбентах из бинарных растворов. Значительно сложнее изучение адсорбции из растворов, содержащих три более компонента. В немногочисленных опубликованных исследованиях приводятся лишь отдельные точки, преимущественно при небольших равновесных концентрациях [1—5]. В этих работах концентрация одного из компонентов смеси практически оставалась постоянной.

Изучение адсорбции из тройных и более сложных растворов представляет большой теоретический интерес. Оно должно помочь понять механизм многочисленных практически весьма важных адсорбционных процессов, в которых происходит одновременная адсорбция нескольких веществ. Наряду с успешно развивающейся адсорбционной хроматографией многокомпонентных смесей, необходимо изучение адсорбционных равновесий — изотерм адсорбции компонентов из таких смесей. В настоящей работе изучены изотермы адсорбции следующих трехкомпонентных жидких растворов: цетан + уксусная кислота + лауриновая кислота, цетан + уксусная кислота + пальмитиновая кислота и цетан + уксусная кислота +  $\alpha$ -метилнафталин. Эти системы были выбраны по двум соображениям. Во-первых, для моделирования условий адсорбционной регенерации минеральных масел (цетан и  $\alpha$ -метилнафталин моделируют углеводородную часть легких фракций трансформаторного и турбинного масел, а жирные кислоты моделируют низко- и высокомолекулярные продукты окисления). Во-вторых, уксусная кислота была выбрана в качестве вещества, ограниченно растворимого в цетане, а лауриновая и пальмитиновая — в качестве веществ, неограниченно растворимых в цетане. Добавление высокомолекулярных кислот и  $\alpha$ -метилнафталина к цетану в достаточных количествах приводит к неограниченной растворимости уксусной кислоты. Таким образом, имелась возможность исследовать влияние изменений условий объемной растворимости трехкомпонентных растворов на их адсорбцию.

## Экспериментальная часть

**Адсорбенты.** Были использованы одна из наиболее активных волжских опок (№ 120 из района села Каменный Яр Сталинградской области) и промышленный образец силикагеля КСК (образец 4). Оба адсорбента были ранее применены одним из нас в ряде адсорбционных процессов [6—8]. Удельная поверхность  $s$  для опоки № 120, рассчитанная по БЭТ из изотермы адсорбции паров азота, оказалась равной  $107 \text{ м}^2/\text{г}$ . Характер кривых распределения указывает на то, что опока № 120 относится к адсорбентам четвертого структурного типа по нашей классификации [9], т. е. к неоднороднопористым, однако, на кривой распределения в интервале значений эффективных диаметров  $100\text{—}110 \text{ \AA}$  имеется заметный максимум, т. е. в этой опоке более развиты поры таких размеров. Аналогичная картина распределения объема пор по радиусам для некоторых волжских опок получена в работах [10, 11]\*.

\* В [10, 11] была использована несколько заниженная величина площади, занимаемой молекулой бензола в плотном монослое.

Удельная поверхность силикагеля КСК-4 была определена из изотермы адсорбции паров метанола [12], снятой нами на гравиметрической установке ( $s = 290 \text{ м}^2/\text{г}$ ,  $s' = 295 \text{ м}^2/\text{г}$ ). На кривой распределения объема пор по размерам для этого силикагеля имеется отчетливо выраженный максимум, соответствующий порам с диаметрами горл около 100 Å. Для опытов по адсорбции из растворов адсорбенты предварительно измельчались и отбиралась фракция, проходящая через сито в 90 меш, после чего адсорбенты подвергались термической активации на воздухе при температуре 200° С в течение двух часов.

Характеристика примененных углеводородов и органических кислот. Цетан. Мы использовали цетан, применяемый в промышленности как эталон для определения цетановых чисел. После выдерживания над опоккой или силикагелем в течение нескольких месяцев и последующей перегонки под вакуумом цетан имел следующие константы: т. кип. 286—287° С (760 мм); т. кип. 152—153° С (12 мм); т. пл. 16—18° С;  $d_4^{20} 0,7734$ ;  $n_D^{20} 1,4350$ . Литературные данные [13]: т. кип. 287,1° С (760 мм); т. пл. 16,5—18,1° С;  $d_4^{20} 0,7734—0,7751$ ;  $n_D^{20} 1,4345—1,4352$ .

$\alpha$ -Метилнафталин подвергался такой же очистке, как и цетан: т. кип. 243—245° С (760 мм); т. кип. 130—132° С (30 мм);  $d_4^{20} 1,0012$ ;  $n_D^{20} 1,6131$ ; литературные данные [14]: т. кип. 244,6° С (760 мм);  $d_4^{20} 1,00$ ;  $n_D^{20} 1,618$ .

Уксусная кислота. Безводная уксусная кислота была получена из уксусного ангидрида и ледяной уксусной кислоты. После двукратного вымораживания она была перегнана. Т. кип. 118—118,5° С (760 мм); т. пл. 16° С;  $d_4^{20} 1,0478$ ;  $n_D^{20} 1,3721$ . Литературные данные [14]: т. кип. 118,1° С (760 мм); т. пл. 16,7° С;  $d_4^{20} 1,049$ ;  $n_D^{20} 1,3715$ .

Лауриновая кислота имела т. пл. 43—44° С (по [13] 44° С).

Пальмитиновая кислота плавилась при температуре 63—64° С (по [13] 63—64° С).

Проведение опытов и методы анализа смесей. Адсорбционные опыты проводились по принятой в лаборатории адсорбции Московского университета методике [15]. К навескам адсорбента (0,5—2 г), помещенным в ампулы, добавлялось определенное количество раствора (5—10 мл). Запаянная ампула после этого встряхивалась в водяном термостате при температурах  $20 \pm 0,1$  или  $60 \pm 0,1$ ° С до достижения равновесия. После достижения равновесия встряхивание прекращалось, и ампула оставалась в покое в термостате 1—2 часа, затем раствор по возможности быстро отделялся от адсорбента и центрифугировался для отделения от следов взмученного адсорбента.

Анализ бинарных растворов. Бинарные растворы: цетан +  $\alpha$ -уксусная кислота; цетан + лауриновая кислота и цетан + пальмитиновая кислота анализировались при помощи интерферометра ИТР-2. Для анализа смеси цетан +  $\alpha$ -метилнафталин была использована большая разница в их показателях преломления  $n_D^{20}$  (1,4350 и 1,6131 соответственно), так что величины  $n_D^{20}$  можно было определять при помощи рефрактометра ИРФ-22. Предварительно была снята кривая зависимости  $n_D^{20}$  от концентрации  $\alpha$ -метилнафталина в смеси цетан +  $\alpha$ -метилнафталин.

Анализ трехкомпонентных растворов.

1) Цетан + уксусная кислота + лауриновая кислота. Для анализа нами была использована различная растворимость этих компонентов в воде. При взбалтывании смеси с водой уксусная кислота полностью переходит в водный слой, а растворимость в последнем лауриновой кислоты и цетана настолько ничтожна, что практически не влияет на показания такого чувствительного прибора, как интерферометр. Так, показания интерферометра с водой или цетаном не изменялись после взбалтывания воды с цетаном и с раствором цетан + лауриновая кислота. Показания интерферометра с водным раствором уксусной кислоты в кювете (с концентрацией не выше 1—1,5 моль/л) не изменялись после взбалтывания этого раствора с цетаном и с раствором цетан + лауриновая кислота. Таким образом, раствор в цетане содержал лишь лауриновую кислоту, уксусная кислота полностью извлекалась водой. После ряда уточнений для анализа была использована следующая методика (пригодная для смесей с концентрацией уксусной кислоты до 1,5 моль/л): к 5 мл исследуемой смеси добавлялось 25 мл дистиллированной воды. Полученная смесь взбалтывалась при комнатной температуре при помощи механической мешалки в течение 30 мин. Затем водный слой отделялся, центрифугировался, и содержание в нем уксусной кислоты определялось интерферометром. Содержание лауриновой кислоты в цетановом слое, после центрифугирования, также определялось интерферометром. Определение концентраций интерферометром производилось при помощи соответствующих калибровочных кривых.

2) Цетан + уксусная кислота + пальмитиновая кислота. Анализ этой тройной смеси проводился аналогичным способом. Однако при комнатной температуре из растворов выпадали кристаллы пальмитиновой кислоты, и это создавало серьезные трудности при проведении анализа. В связи с этим анализ проводился при повышенных температурах. Была проверена полнота извлечения уксусной кислоты из тройной

еси. Доказано, что водные растворы уксусной кислоты практически не растворяли других компонентов смеси. Методика анализа тройной смеси: к 5 мл раствора добавлялось 25 мл дистиллированной воды. Смесь нагревалась до 60°С и в нагретом состоянии взбалтывалась. Водный слой после этого отделялся и анализировался на содержание уксусной кислоты при помощи интерферометра. При анализе смеси цетан + пальмитиновая кислота в термостате интерферометра и в кювете поддерживалась температура  $40 \pm 1^\circ\text{C}$ . При этом раствор оставался во время определения прозрачным и происходило выделение кристаллов пальмитиновой кислоты. Следует отметить, что при концентрации пальмитиновой кислоты выше  $0-150 \text{ ммоль/л}$  надо поддерживать в термостате интерферометра более высокую температуру, чтобы избежать серьезных изменений в конструкции интерферометра ИТР-2 сделать трудно. В связи с этим в данной смеси мы ограничились исследованием изотермы адсорбции пальмитиновой кислоты при концентрациях, не превышающих  $100 \text{ ммоль/л}$ .

3) Для анализа тройной смеси цетан + уксусная кислота +  $\alpha$ -метилнафталин также была использована растворимость уксусной кислоты в воде. Однако оказалось, что в водных растворах уксусной кислоты  $\alpha$ -метилнафталин практически нерастворим. Растворимость его увеличивается с концентрацией уксусной кислоты ( $\text{CH}_3\text{COOH}$ ) в тройной смеси. Нами был построен калибровочный график для определения концентрации уксусной кислоты в водных вытяжках из тройных смесей (рис. 1). По оси  $AC$  отложены показания барабана интерферометра; по оси  $AB$  — концентрация уксусной кислоты  $c_2$ . На графике изображена серия калибровочных линий, каждая из которых соответствует определенной постоянной концентрации  $c_3$  ( $\alpha$ -метилнафталина), от 0 до  $1 \text{ моль/л}$  — концентрации чистого  $\alpha$ -метилнафталина. Значения этих концентраций указаны на линиях  $A'C''$ . Таким образом линия  $A'C'$  соответствует концентрации  $c_2(\text{CH}_3\text{COOH})$  в водной вытяжке, сделанной из бинарной смеси уксусная кислота +  $\alpha$ -метилнафталин (без цетана); линия  $B'C''$  соответствует концентрации  $c_2(\text{CH}_3\text{COOH})$  в водной вытяжке для бинарной смеси уксусная кислота + цетан (без  $\alpha$ -метилнафталина). Все линии, расположенные между  $A'C'$  и  $B'C''$ , соответствуют значениям  $c_3$  для водных вытяжек из тройной смеси (при соответствующих постоянных значениях  $c_3(\alpha\text{-CH}_3\text{C}_6\text{H}_5)$ ). Эта методика анализа была проверена на ряде смесей известного состава. Можно полагать, что подобная методика определения состава тройных систем может быть применима и в ряде других случаев. При построении калибровочной кривой рефрактометра для смеси  $\alpha$ -метилнафталин + цетан незначительная растворимость  $\alpha$ -метилнафталина в воде была учтена: эти смеси предварительно взбалтывались водой в тех же условиях, что и тройные смеси.

**Обработка результатов.** На основании результатов анализов каждой тройной смеси мы вычисляли величину адсорбции (избытка)  $x_i^v$  [16], принимая, что данный компонент  $i$  адсорбируется из определенного объема раствора (в нашем случае содержащего три компонента). Расчет производился по обычной формуле [15], применительно к системе из трех компонентов. Так в расчете на 1 г адсорбента:

$$x_2^{(v)} = \frac{(c_2^0 - c_2) v}{m} \quad (1)$$

$$x_3^{(v)} = \frac{(c_3^0 - c_3) v}{m}, \quad (2)$$

где  $x_2^{(v)}$  и  $x_3^{(v)}$  — величины адсорбции компонентов 2 и 3 в  $\text{ммоль/г}$ ,  $c_2^0$  и  $c_3^0$  — начальные концентрации компонентов 2 и 3 в  $\text{ммоль/л}$ ,  $c_2$  и  $c_3$  — равновесные концентрации компонентов 2 и 3 в  $\text{ммоль/л}$ ,  $v$  — объем раствора в миллилитрах,  $m$  — вес адсорбента в граммах. В расчете на единицу поверхности

$$\Gamma_2^{(v)} = \frac{x_2^{(v)}}{s} \cdot 10^3 = \frac{(c_2^0 - c_2) v \cdot 10^3}{sm} \quad (3)$$

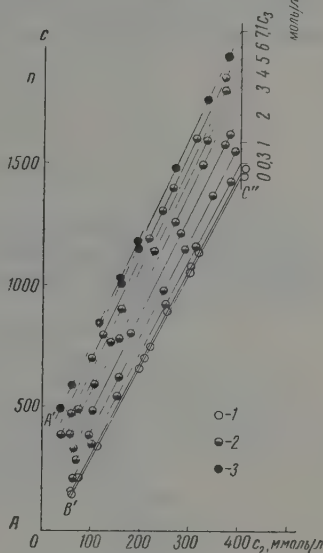


Рис. 1. Калибровочные кривые для определения равновесных концентраций уксусной кислоты в смеси с цетаном и  $\alpha$ -метилнафталином: 1 — для водных вытяжек из смеси цетан + уксусная кислота; 2 — для водных вытяжек из тройной смеси; 3 — для водных вытяжек из смеси уксусная кислота +  $\alpha$ -метилнафталин



и

$$\Gamma_3^{(v)} = \frac{x_3^{(v)}}{s} \cdot 10^3 = \frac{(c_2^0 - c_2) v \cdot 10^3}{sm}, \quad (4)$$

где  $\Gamma_2^{(v)}$  и  $\Gamma_3^{(v)}$  — абсолютные величины адсорбции компонентов 2 и 3 в  $\mu\text{моль}/\text{м}^2$ ,  $s$  — удельная поверхность адсорбента в  $\text{м}^2/\text{г}$ .

Известный интерес представляет определение суммарной адсорбции двух компонентов тройной смеси. Эта величина определялась по уравнениям:

$$x_{\Sigma}^{(v)} = x_2^{(v)} + x_3^{(v)} = \frac{v}{m} [(c_2^0 + c_3^0) - (c_2 + c_3)] \quad (5)$$

и

$$\Gamma_{\Sigma}^{(v)} = \Gamma_2^{(v)} + \Gamma_3^{(v)} = \frac{x_2^{(v)} + x_3^{(v)}}{s} \cdot 10^3. \quad (6)$$

Так как каждая из полученных нами величин  $x_2^{(v)}$ ,  $x_3^{(v)}$ ,  $\Gamma_2^{(v)}$ ,  $\Gamma_3^{(v)}$ ,  $x_{\Sigma}^{(v)}$  и  $\Gamma_{\Sigma}^{(v)}$  зависит в общем случае от двух переменных (концентраций двух компонентов), то изотермы адсорбции и трехкомпонентных растворов изображаются поверхностями в пространственных диаграммах.

### Обсуждение результатов

Адсорбция из трехкомпонентного раствора цетан + уксусная кислота + лауриновая кислота [17]. На рис. 2 приведена пространственная изотерма адсорбции уксусной кислоты.

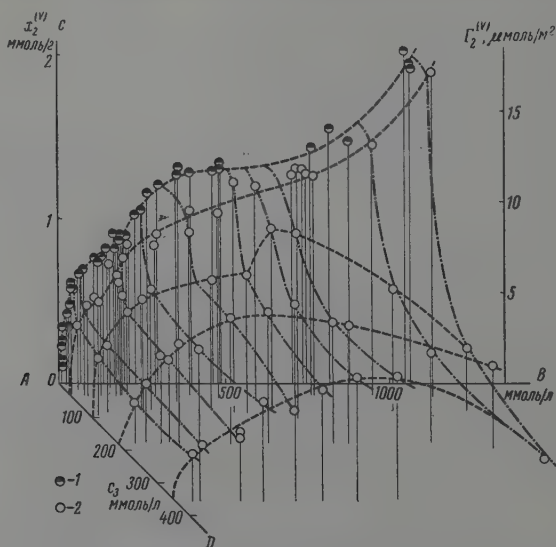


Рис. 2. Пространственная изотерма адсорбции уксусной кислоты из тройной смеси: цетан + уксусная кислота + лауриновая кислота: 1 — адсорбция уксусной кислоты из цетана; 2 — адсорбция уксусной кислоты из тройной смеси

уксусной кислоты из вышеуказанной тройной смеси при температуре  $60^\circ\text{C}$  на опилке № 120. На плоскости  $AB$  изображена изотерма адсорбции уксусной кислоты из цетана (в отсутствие лауриновой кислоты). Интерпретация волнообразного характера этой кривой приведена в одной из предыдущих работ [18]. Присутствие лауриновой кислоты оказывает большое влияние как на величину адсорбции, так и на форму изотерм (при  $c_2(\text{C}_{18}\text{H}_{37}\text{COOH}) = \text{const}$  или  $c_3(\text{C}_{12}\text{H}_{25}\text{COOH}) = \text{const}$ ). Точки, расположенные на поверхности, по-

зывают величину адсорбции  $x_2^{(v)}$  и  $\Gamma_2^{(v)}$  уксусной кислоты из тройной смеси. При адсорбции уксусной кислоты из бинарной смеси с цетаном или в присутствии лишь небольших количеств  $C_{11}H_{23}COOH$  (при  $c_3 < 100$  ммоль/л) изотермы имеют S-образный характер (система с ограниченной раствори-

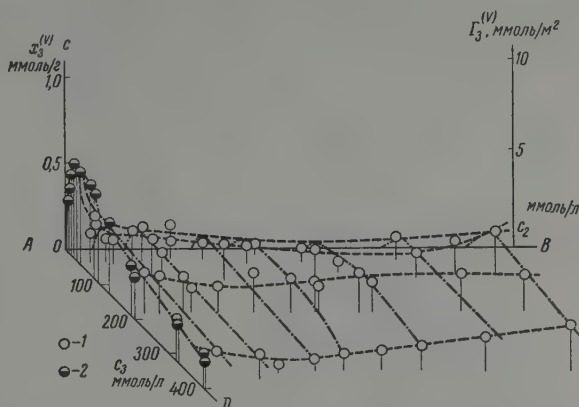


Рис. 3. Пространственная изотерма лауриновой кислоты из тройной смеси: 1 — адсорбция лауриновой кислоты из тройной смеси; 2 — адсорбция лауриновой кислоты из цетана

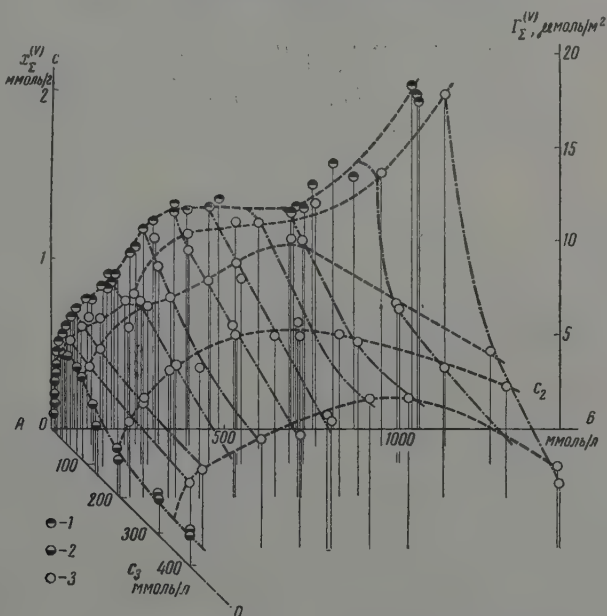


Рис. 4. Пространственная изотерма адсорбции уксусной кислоты и лауриновой кислоты из тройной смеси: 1 — адсорбция уксусной кислоты из цетана; 2 — адсорбция лауриновой кислоты из цетана; 3 — адсорбция уксусной и лауриновой кислот из цетана

мостью). При больших величинах  $c_3$  данная система становится неограниченно растворимой, и изотермы (при  $c_3 = \text{const}$ ) проходят через максимум. По мере увеличения равновесных концентраций лауриновой кисло-

ты адсорбция уксусной кислоты снижается, особенно сильно при  $c_3 = 100-200$  ммоль/л.

На рис. 3 приведены для той же тройной смеси значения  $x_3^{(v)}$  и  $\Gamma_3^{(v)}$ . На плоскости  $CAD$  приведена изотерма адсорбции лауриновой кислоты из цетана. Так как лауриновая кислота неограниченно растворима в цетане, то изотерма проходит через максимум с последующим медленным падением. Точки, расположенные на поверхности, показывают величину

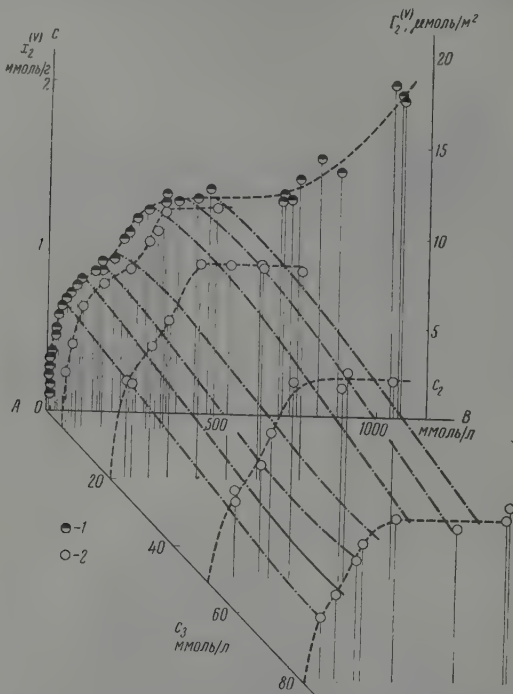


Рис. 5. Изотерма адсорбции уксусной кислоты из тройной смеси: цетан + уксусная кислота + пальмитиновая кислота (обозначения см. рис. 2)

адсорбции  $x_3^{(v)}$  и  $\Gamma_3^{(v)}$  лауриновой кислоты из тройной смеси. Адсорбция лауриновой кислоты при небольших значениях  $c_3$  с ростом  $c_2$  довольно быстро падает, но затем по мере увеличения  $c_2$  при  $c_3 = \text{const}$  адсорбция даже возрастает, по-видимому, за счет уменьшения адсорбции уксусной кислоты, которая, пройдя максимум, падает (рис. 2). При  $c_2 = \text{const}$  значения  $x_3^{(v)}$  проходят через максимум, причем сохраняется тот же характер изотермы адсорбции лауриновой кислоты, как и в отсутствие уксусной кислоты. Однако положение максимума на каждой из изотерм ниже, чем в случае адсорбции одной лауриновой кислоты благодаря адсорбции уксусной кислоты.

На рис. 4 приведена изотерма адсорбции обеих кислот из тройной смеси. По оси  $AC$  отложены суммарные значения  $x_2^{(v)} + x_3^{(v)}$  (5) и  $\Gamma_2^{(v)} + \Gamma_3^{(v)}$  (6). На плоскостях  $CAB$  и  $CAD$  приведены, соответственно, изотермы адсорбции уксусной кислоты и лауриновой кислоты из бинарных растворов в цетане. Общий характер изотерм адсорбции при  $c_2 = \text{const}$  или  $c_3 = \text{const}$  остается качественно таким же, как и на рис. 2. Это объясняется тем, что адсорбция уксусной кислоты по своей величине зна-

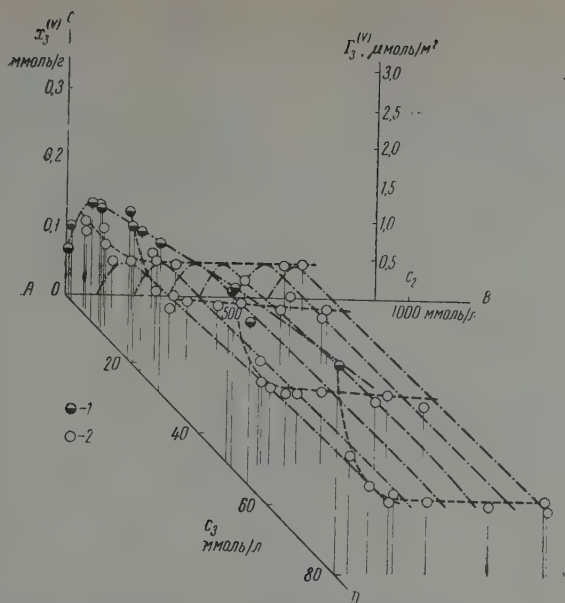


Рис. 6. Изотерма адсорбции пальмитиновой кислоты из тройной смеси: 1 — адсорбция пальмитиновой кислоты из цетана; 2 — адсорбция пальмитиновой кислоты из тройной смеси

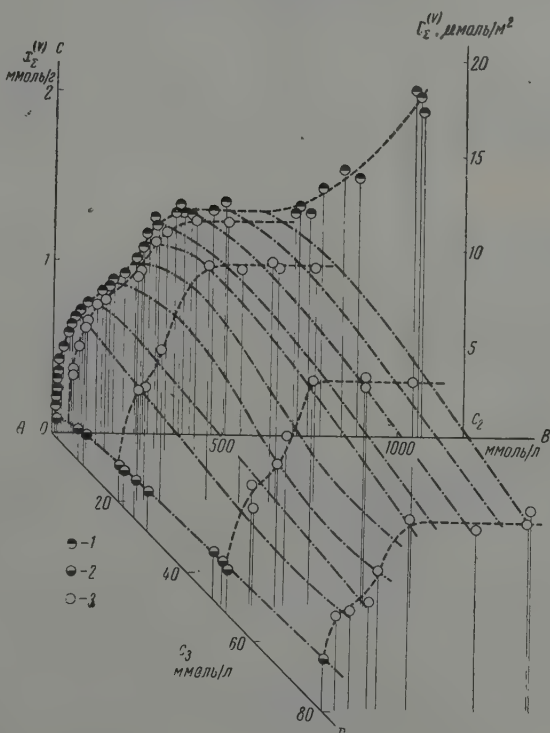


Рис. 7. Изотерма адсорбции  $x_{\Sigma}^{(v)}$  и  $\Gamma_{\Sigma}^{(v)}$  из тройной смеси: 1 — адсорбция уксусной кислоты из цетана; 2 — адсорбция пальмитиновой кислоты из цетана; 3 — адсорбция  $x_{\Sigma}^{(v)}$  и  $\Gamma_{\Sigma}^{(v)}$  из тройной смеси



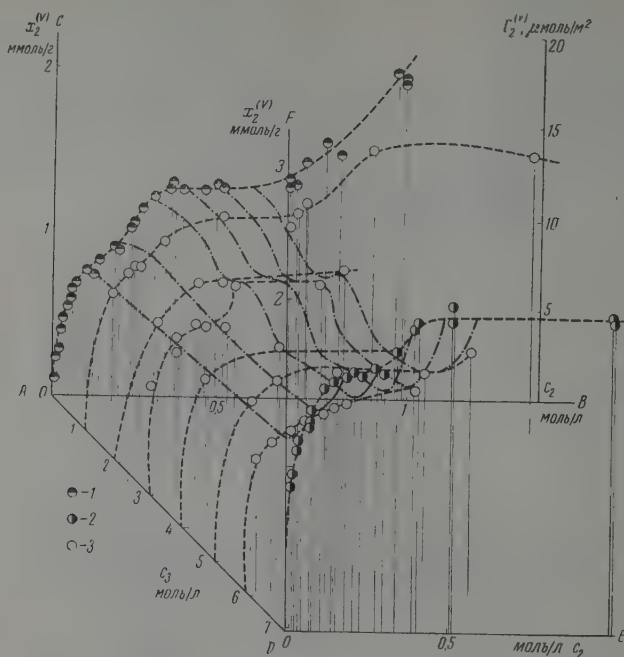


Рис. 8. Пространственная изотерма адсорбции уксусной кислоты из тройной смеси цетан + уксусная кислота +  $\alpha$ -метилнафталин на опоке № 120: 1 — адсорбция уксусной кислоты из цетана; 2 — адсорбция уксусной кислоты из  $\alpha$ -метилнафталина; 3 — адсорбция уксусной кислоты из тройной смеси

чительно превосходит адсорбцию лауриновой кислоты. Наблюдается аналогичное изменение характера изотерм (при  $c_3 = \text{const}$ ) из S-образного (ограниченно растворимая система) в изотермы, проходящие через максимум (неограниченно растворимая система).

Адсорбция на опоке № 120 из раствора цетан + уксусная кислота + пальмитиновая кислота. В связи с ука-

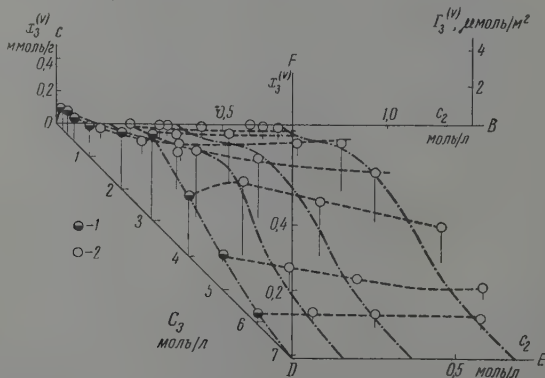


Рис. 9. Изотерма адсорбции  $\alpha$ -метилнафталина: 1 — адсорбция  $\alpha$ -метилнафталина из цетана; 2 — адсорбция  $\alpha$ -метилнафталина из тройной смеси

ными выше затруднениями изотерма адсорбции для этой смеси была взята для относительно небольшого интервала равновесных концентраций уксусной кислоты до  $c_2 \approx 500$  ммоль/л и для пальмитиновой кислоты до  $c_3 \approx 80$  ммоль/л). Изотермы адсорбции уксусной кислоты приведены на рис. 5. Характер изотерм при  $c_3 = \text{const}$  сохраняется таким же, как и для бинарной смеси цетан + уксусная кислота, наблюдается лишь незначительное снижение величины  $x_2^{(v)}$  по мере увеличения концентрации пальмитиновой кислоты (при  $c_2 = \text{const}$ ).

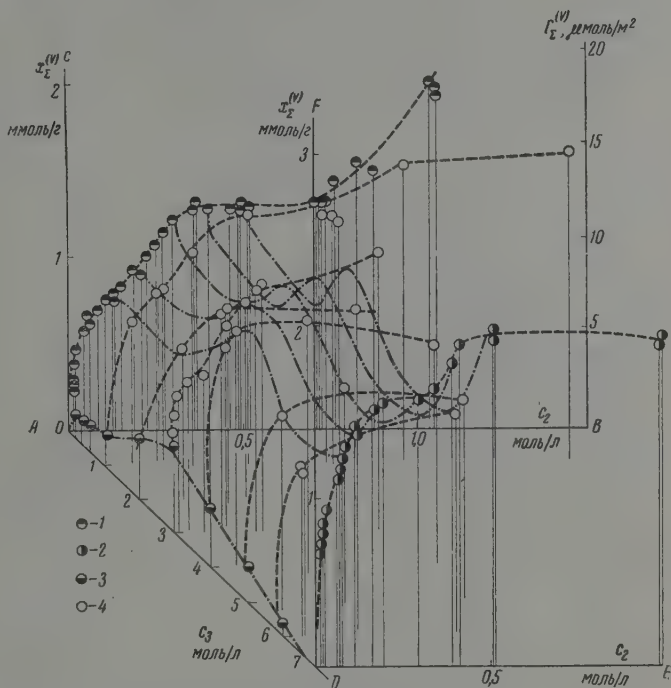


Рис. 10. Изотерма адсорбции уксусной кислоты и  $\alpha$ -метилнафталина из тройной смеси на опоке № 120: 1 — адсорбция уксусной кислоты из цетана; 2 — адсорбция уксусной кислоты из  $\alpha$ -метилнафталина; 3 — адсорбция  $\alpha$ -метилнафталина из цетана; 4 —  $x_2^{(v)}$  и  $\Gamma_{\Sigma}^{(v)}$  для тройной смеси

На рис. 6 приведена пространственная изотерма адсорбции пальмитиновой кислоты из тройной системы. На плоскости  $CAD$  приведена изотерма адсорбции пальмитиновой кислоты из цетана (при  $c_2 = 0$ ). Эта изотерма должна проходить через максимум (неограниченно растворимая система), однако нами этот максимум не был достигнут, так как снят был лишь начальный участок изотермы. Большое влияние на величину адсорбции  $x_3^{(v)}$  оказывает присутствие уксусной кислоты. Величина адсорбции  $x_3^{(v)}$  по мере увеличения концентрации уксусной кислоты быстро падает в два-три раза. Это указывает на то, что поверхность опоки преимущественно покрывается молекулами уксусной кислоты, которые вытесняют с поверхности молекулы пальмитиновой кислоты. Дальнейшее увеличение концентрации уксусной кислоты от 100 до 500 ммоль/л мало сказывается на величине адсорбции  $x_3^{(v)}$ , которая для этого интервала концентраций остается практически постоянной (при  $c_3 = \text{const}$ ).

Суммарная адсорбция кислот  $x_{\Sigma}^{(v)}$  показана на пространственной изотерме рис. 7. В связи с тем, что величина адсорбции пальмитиновой

кислоты намного меньше, чем уксусной, общий характер изотермы остается примерно таким же, как и для изотермы уксусной кислоты (рис. 8). Значения  $x_2^{(v)}$  при концентрациях  $c_2$  от 400 до 700 ммоль/л (при разных  $c_3$ ) остаются близкими. Это указывает на то, что общее количество молекул, адсорбированных на 1 г адсорбента уже близко к постоянной величине.

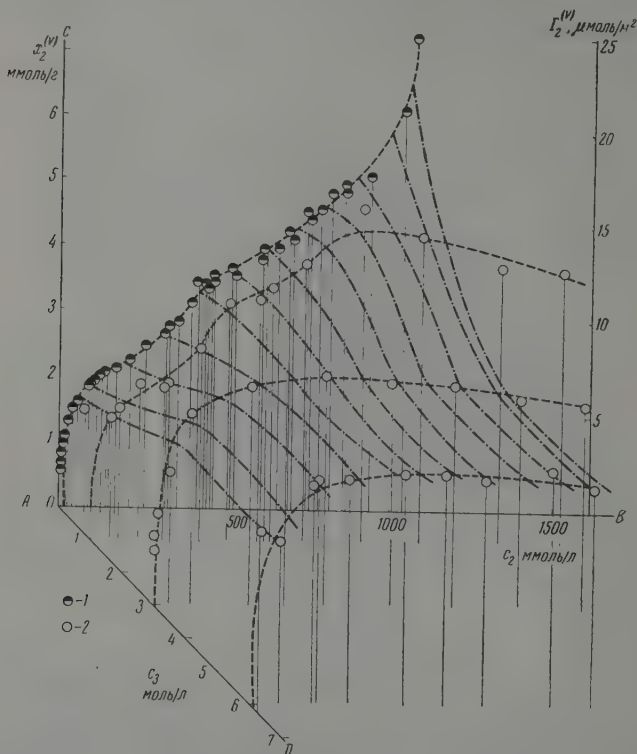


Рис. 11. Изотерма адсорбции уксусной кислоты из тройной смеси на силикагеле KCK (обозначения см. рис. 8)

чине, однако для подробного выяснения этого вопроса следует от величины адсорбции (избытка) перейти к величинам полного содержания компонентов в объеме поверхностного слоя [16].

Адсорбция на опоке № 120 при 60° С из раствора цетан + уксусная кислота +  $\alpha$ -метилнафталин. Изотерма адсорбции уксусной кислоты ограничена в пространстве четырьмя плоскостями (рис. 8). На плоскости  $CAB$  приведена изотерма адсорбции уксусной кислоты из цетана (при  $c_3 = 0$ ). Кривая, изображенная на плоскости  $FDE$ , является изотермой адсорбции уксусной кислоты из  $\alpha$ -метилнафталина (при  $c_1 = 0$ ). Точки, расположенные на поверхности, показывают величину адсорбции  $x_2^{(v)}$  из тройной смеси. Довольно сложный вид имеют изотермы адсорбции уксусной кислоты при  $c_2 = \text{const}$ . Обращает на себя внимание резкий подъем при переходе от  $c_2 = 6000$  ммоль/л к чистому  $\alpha$ -метилнафталину, однако это требует дополнительного исследования. Изотермы  $x_2^{(v)}$  при  $c_3 = \text{const}$  меняют свой характер при переходе от цетана к  $\alpha$ -метилнафталину. Так изотерма из S-образной для бинарной смеси уксусная кисло-

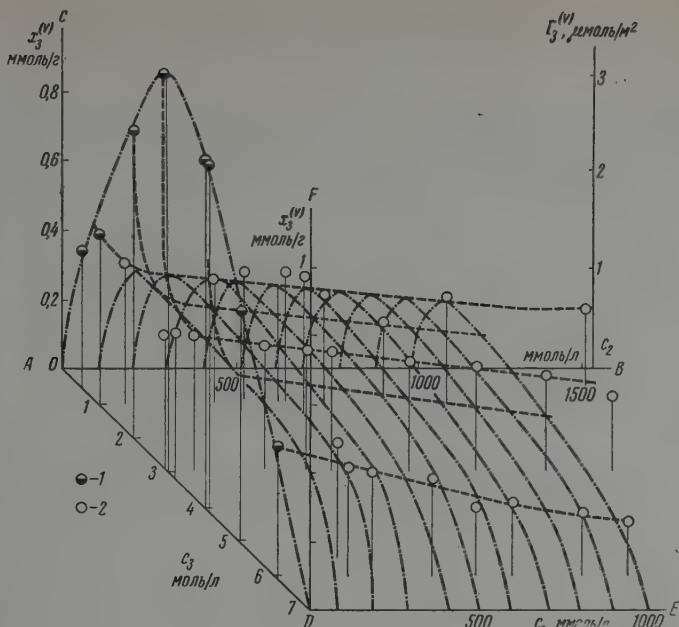


Рис. 12. Изотерма адсорбции  $\alpha$ -метилнафталина из тройной смеси на силикагеле КСК (обозначения см. рис. 9)

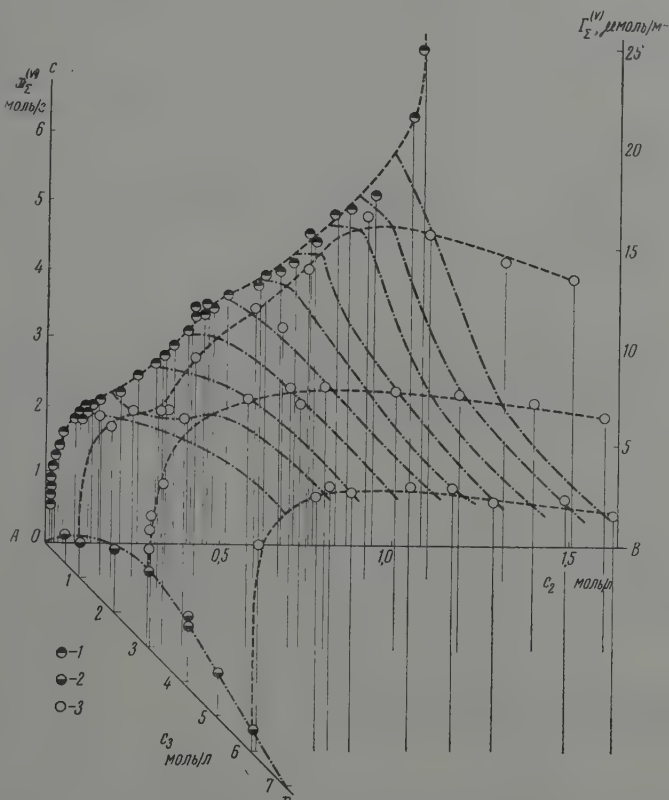


Рис. 13. Изотерма адсорбции  $x_\Sigma^{(v)}$  и  $\Gamma_\Sigma^{(v)}$  на силикагеле КСК (обозначения см. рис. 10)



та + цетан при добавлении  $\alpha$ -метилнафталина переходит в изотерм, проходящую через максимум. Однако вид этих изотерм несколько отличается от обычно приводимых в литературе тем, что в начальной части они имеют волнообразный характер. Этот волнообразный характер связан с переориентацией молекул адсорбата [15], который в этом случае вызывается ассоциацией молекул уксусной кислоты в димеры [18].

Пространственная изотерма адсорбции  $\alpha$ -метилнафталина из тройной смеси приведена на рис. 9. Системы цетан +  $\alpha$ -метилнафталин и цетан + уксусная кислота +  $\alpha$ -метилнафталин имеют неограниченную растворимость, и все изотермы при  $c_2 = \text{const}$  проходят через максимум. Величина адсорбции  $x_3^{(v)}$  при  $c_3 = \text{const}$  снижается по мере увеличения равновесных концентраций уксусной кислоты. Особенно заметным это снижение является при относительно небольших значениях  $c_3$  (до 1000 ммоль/л).

Суммарные значения адсорбции уксусной кислоты и  $\alpha$ -метилнафталина  $x_{\Sigma}^{(v)}$  и  $\Gamma_{\Sigma}^{(v)}$  приведены на рис. 10. Изотермы адсорбции при  $c_2 = \text{const}$  имеют характерный седлообразный вид с двумя минимумами и максимумом в средней части. Этот максимум соответствует максимуму на изотермах адсорбции  $x_3^{(v)}$  и  $\Gamma_3^{(v)}$  (рис. 9).

Адсорбция на силикагеле КСК-4 при 20° из растворов цетан + уксусная кислота +  $\alpha$ -метилнафталин. На рис. 11–13 приведены изотермы адсорбции  $x_2^{(v)}$  и  $\Gamma_2^{(v)}$ ,  $x_3^{(v)}$  и  $\Gamma_3^{(v)}$ ,  $x_{\Sigma}^{(v)}$  и  $\Gamma_{\Sigma}^{(v)}$  для данной тройной смеси. Общий характер изотерм адсорбции примерно такой же, как и в случае адсорбции на опоке № 120. Однако величина адсорбции  $x_2^{(v)}$ ,  $x_3^{(v)}$  и  $x_{\Sigma}^{(v)}$  значительно больше, так как силикагель имеет удельную поверхность, в три раза большую, чем опока. Обращает на себя внимание резкое снижение величины адсорбции  $\alpha$ -метилнафталина в присутствии уксусной кислоты (рис. 12). При сравнении абсолютных изотерм ( $\Gamma_2^{(v)}$ ,  $\Gamma_3^{(v)}$  и  $\Gamma_{\Sigma}^{(v)}$ ) опоки и силикагеля нетрудно убедиться, что соответствующие изотермы близки друг к другу, несмотря на то, что они снимались при различных температурах. Дальнейшее обсуждение полученных изотерм будет дано в следующей статье.

Авторы выражают благодарность Е. В. Храповой за помощь при снятии изотермы адсорбции паров азота.

### Выводы

1. Сняты изотермы адсорбции отдельных компонентов из ряда тройных систем на каменноярской опоке и крупнопористом силикагеле и построены пространственные изотермы адсорбции для тройных систем: цетан + уксусная кислота + лауриновая кислота, цетан + уксусная кислота + пальмитиновая кислота и цетан + уксусная кислота +  $\alpha$ -метилнафталин.

2. Введение третьего компонента в бинарную смесь влияет на величину адсорбции и изменяет характер изотерм адсорбции. В связи с изменением растворимости компонентов смеси от ограниченной к неограниченной изотермы из S-образных переходят в изотермы, проходящие через максимум. В изученных случаях компонент, лучше адсорбирующийся в бинарной смеси, сильнее адсорбируется и из тройной смеси.

3. Абсолютные изотермы адсорбции для опоки и силикагеля близки

## ЛИТЕРАТУРА

- H. Freundlich u. M. Masius, V Bemmelen, V Festschrift, 88, 1910.  
 P. Rona u. Tôht, Biochem. Zt., 64, 288, 1914.  
 G. Rapp, a. D. F. Othmer, Industr. and Engng. Chem., 5, 430, 1944.  
 Н. Ф. Ермоленко, Изв. АН БССР, 3, 229, 1944.  
 Н. Н. Грязев и С. М. Раховская, Сб. Тр. Конференции по адсорбции при МГУ, стр. 196, 1957.  
 Н. Н. Грязев, С. М. Раховская и Б. Н. Трахтман, Электр. стан-  
 ции, 12, 33, 1954.  
 Н. Н. Грязев, С. М. Раховская и Б. Н. Трахтман, Сб. Научн.  
 сооб. Саратов. автодор. ин-та, 2, 33, 1955.  
 Н. Н. Грязев и С. М. Раховская, Научн. ежегодник СГУ, 570, 1955.  
 А. В. Киселев, Ж. физ. химии, 23, 452, 1949.  
 Ф. А. Слисаренко, С. И. Сорокин, Е. И. Тимофеева и  
 В. А. Забелин, Сб. «Поверхностные химические соединения и их роль  
 в явлениях адсорбции», Изд-во МГУ, 1957, стр. 189.  
 Ф. А. Слисаренко, С. И. Сорокин, Е. И. Тимофеева  
 и В. А. Забелин, Ж. прикладной химии, 30, 1127, 1957.  
 Л. Н. Соболева, А. В. Киселев, Ж. физ. химии, 32, 49, 1959.  
 Р. Д. Оболенцев, Физические константы углеводов жидких топлив  
 и масел, Гостоптехиздат, 1953.  
 Справочник химика, т. II, Госхимиздат, 1951.  
 А. В. Киселев и И. В. Шкалов, Ж. физ. химии, 30, 94, 1956.  
 А. В. Киселев, Успехи химии, 25, 705, 1956.  
 Н. Н. Грязев, Докл. АН СССР, 118, 121, 1958.  
 Н. Н. Грязев, Докл. АН СССР, 118, 317, 1958.

## ISOTHERMS OF ADSORPTION FROM TRICOMPONENT SYSTEMS

N. N. Gryazev and A. V. Kiselev (Moscow)

## Summary

The isotherms of adsorption on a natural adsorbent — opok — and on a coarsely porous silica gel have been obtained for the individual components of the ternary liquid systems: cetane + acetic acid + lauric acid, cetane + acetic acid + palmitic acid and cetane + acetic acid +  $\alpha$ -methylnaphthalene. The adsorption isotherms have been represented as surfaces in tri-dimensional diagrams. The addition of the third component to the binary mixture lowers the adsorption of the components from the ternary mixture compared to their adsorption from the binary one. In connection with the change in mutual solubility of the components of the mixture the character of the adsorption isotherm of the individual components changes from an S-shaped one to one passing through a maximum. The surfaces representing the absolute isotherms of adsorption of the components from the ternary mixtures are of very similar character for silica and opok.

КИНЕТИКА ФАЗОВЫХ ПРЕВРАЩЕНИЙ В СПЛАВНЫХ Cu—Si  
КОНТАКТНЫХ МАССАХ И ЕЕ СВЯЗЬ С КИНЕТИКОЙ ПРЯМОГО  
СИНТЕЗА ЭТИЛХЛОРСИЛАНОВ

В. Д. Крылов, Я. И. Вабель, Ю. Н. Ефремов,  
А. М. Клемина и С. Л. Лельчук

Изучение структуры Cu—Si сплавов, применяющихся в качестве одного из видов контактных масс в прямом синтезе алкил- и арилхлорсиланов, позволило установить некоторые закономерности в структурных превращениях этих сплавов в ходе синтеза и их значение.

Было установлено, что все изученные Cu—Si сплавы с содержанием кремния 13—97 вес.%, независимо от их активности в упомянутом процессе качественно не отличались между собой по фазовому составу и состояли в согласии с диаграммой состояния сплавов Cu—Si, из двух фаз: кремний и интерметаллического соединения  $\text{Cu}_3\text{Si}$  ( $\eta$ -фаза) [1]. В процессе обработки сплава хлористым этилом последний весьма активно взаимодействует с кремнием  $\eta$ -фазы, что приводит к ее распаду и образованию кристалликов меди.

По данным Хэрда и Рохова [2] катализатором процесса прямого синтеза алкилхлорсиланов является медь, которая образует промежуточные соединения в виде алкилмеди и полухлористой меди. К. А. Андрианов [3] считает, что катализатор образует алкилмедьхлорид, при распаде которого регенерируется свободная медь. А. Л. Клебанский и В. С. Фихтенгольц [4] указывают, что каталитическое действие в реакции этого типа оказывает не свободная медь, а интерметаллическое соединение меди и кремния, которое в процессе синтеза распадается и вновь регенерируется. По их мнению, в реакцию с алкилхлоридами может вступать только кремний, входящий в интерметаллическое соединение.

Имелик и Трамбуз [5], получавшие контактные массы спеканием порошков кремния и окислов меди с последующим восстановлением их в атмосфере водорода, установили, что контактные массы, полученные таким путем, активны лишь при наличии в них интерметаллического соединения. Однако наблюдаются опыты, в которых, несмотря на наличие в контактной массе интерметаллического соединения, процесс идет с очень малой скоростью, либо не идет совсем. В этом случае, как было установлено [1], распад  $\text{Cu}_3\text{Si}$  и образование кристалликов меди происходит с гораздо меньшей скоростью, по сравнению с процессом на активном сплаве.

Кинетика реакции между хлористым этилом и кремнием тесно связана со структурными превращениями, происходящими в Cu—Si сплавах при взаимодействии последних с хлористыми алкилами.

В настоящей работе приведены данные по изучению кинетики фазовых превращений в сплавных Cu—Si контактных массах и связи этих превращений с кинетикой прямого синтеза этилхлорсиланов.

## Экспериментальная часть

Методика. Исследовались образцы Cu—Si сплава с содержанием меди 24,7 вес.%, который приготавливался сплавлением кремния марки КР-1 и меди марки М-2 в высокочастотной индукционной печи. Спектральный анализ сплава показал наличие в нем примесей: 1,5% Fe, 0,3% Al, 0,2% Ca и Mg. В каждом опыте в среднюю часть вертикально расположенной реакционной трубки из молибденового стекла длиной 1000 мм и диаметром 30 мм загружалось около 20 г измельченного сплава (0,25—0,5 мм). Схемы контроля и измерения температуры обеспечивали постоянство ее в реакционной зоне в пределах 2°. Загруженный в реактор сплав нагревался до заданной

температуры опыта в токе сухого азота. После этого через реакционную трубку проходила газовая смесь, состоящая из 56% хлористого этила, разбавленного азотом, которая предварительно высушивалась в колонках с хлористым кальцием и перхлоридом магния. Технический хлористый этил, применяемый в опытах, очищался перегонкой и имел после очистки т. кип. 12,5° и т. пл. — 138,—139°, что указывало на его высокую чистоту. Скорость подачи хлористого этила в реактор составляла 8 моль/мин. Продукты реакции, состоящие из смеси этилхлорсиланов  $(C_2H_5)_2SiCl_2$ ,  $C_2H_5SiCl_3$ ,  $C_2H_5SiHCl_2$  и  $(C_2H_5)_3SiHCl$ , в определенные моменты времени подвергались гидролизу для определения количества превращенного хлористого этила. Примененный нами способ отбора проб обеспечивал возможность непрерывного наблюдения за скоростью суммарной реакции превращения хлористого этила.

При помощи вышеописанной методики исследуемые образцы Cu—Si сплава обрабатывались хлористым этилом в течение 10, 30 мин., 1, 2, 3 и 6 час. при 280, 300, 325, 340 и 360° С. В каждом случае рентгеновским методом определялся количественный фазовый состав контактной массы. Образцы для рентгеновской съемки готовили набиванием сплава, измельченного в ступке и просеянного через сито 100 меш., в капилляр из цапон-лака. Съемка велась в камера ВРС-3 ( $d = 143,3$  мм) с Cu-излучением. Рентгенограммы фотометрировались на регистрирующем микрофотометре МФ-4. Для всех количественных исследований экспозиции съемки были подобраны таким образом, чтобы почернения фотометрируемых линий не выходили за пределы прямолинейной области кривой почернений. Предварительно по эталонным смесям были построены графики:  $\frac{P_{Si}}{P_{\eta}} = f_1 \frac{I_{Si}}{I_{\eta}}$  и  $\frac{P_{Si}}{P_{Cu}} = f_2 \frac{I_{Si}}{I_{Cu}}$ , где  $P_{Si}$ ,  $P_{\eta}$ ,  $P_{Cu}$  — количество соответствующей фазы в смеси,  $I_{Si}$ ,  $I_{\eta}$ ,  $I_{Cu}$  — интенсивность исследуемых линий. Количественное содержание фазы в образцах сплава определялось по формулам:

$$P_{\eta} = \frac{1}{1 + \frac{f_1}{f_2} \frac{I_{Cu}}{I_{\eta}} + f_1 \frac{I_{Si}}{I_{\eta}}} \cdot 100 \quad \text{и} \quad P_{Cu} = \frac{1}{1 + \frac{f_2}{f_1} \frac{I_{\eta}}{I_{Cu}} + f_2 \frac{I_{Si}}{I_{Cu}}} \cdot 100.$$

Коэффициенты  $f_1$  и  $f_2$  определялись из эталонных графиков. Проверка данной методики по эталонным смесям показала, что абсолютная ошибка определения фазового состава составляла 1—2%.

**Результаты измерений.** При помощи описанной выше методики была изучена кинетика фазовых превращений в Cu—Si сплаве (1,7% Cu) в процессе его обработки хлористым этилом. На рис. 1 приведены кривые зависимости количества распавшейся части  $\eta$ -фазы от времени.

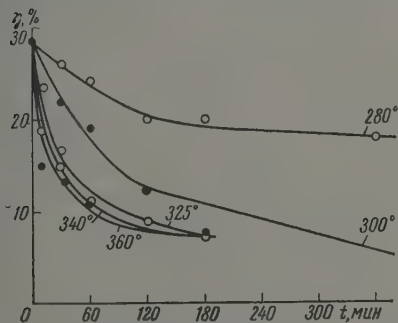


Рис. 1

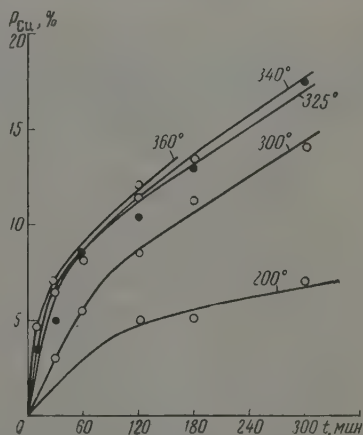


Рис. 2

при обработке сплава при 280, 300, 325, 340 и 360° С. Как видно из этого графика, точки на кривых для 340° и еще больше для 360°, соответствующие минутной обработке сплава, выпадают из общей закономерности плавного хода кривых для 280, 300 и 325°. На рис. 2 представлены кривые количества меди, образовавшейся при распаде  $\eta$ -фазы в тех же условиях обработки сплава.



Кинетику распада  $\eta$ -фазы можно описать уравнением

$$dP = k(P_0 - P)dt, \quad (1)$$

где  $dP$  — изменение количества нераспавшейся части  $\eta$ -фазы за промежуток времени  $dt$ ;  $P_0$  — исходное количество  $\eta$ -фазы;  $P$  — количество распавшейся  $\eta$ -фазы к моменту времени  $t$ ;  $k$  — константа скорости распада  $\eta$ -фазы. Вводя величину  $n = P/P_0$  и интегрируя уравнение (1), получим

$$\frac{P_0 - P}{P} = 1 - n = e^{-kt}. \quad (2)$$

На рис. 3 приведены графики зависимости  $\ln(1 - n) = f(t)$  для различных температур. Прямолинейная зависимость, требуемая уравнением (2), соблюдается, как это видно из рис. 3, не на всем временном интервале об-

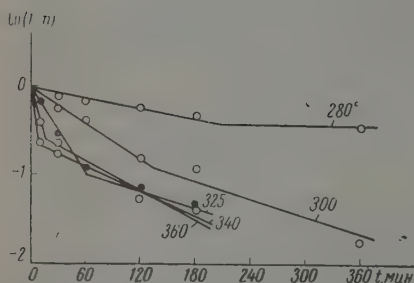


Рис. 3

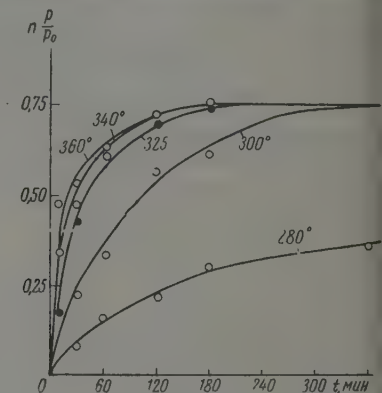


Рис. 4

работки сплава, а лишь на некотором отрезке, причем величина этого отрезка связана обратной зависимостью с температурой обработки сплава. Начиная с некоторого момента времени, изменение  $\ln(1 - n)$  замедляется, что указывает на уменьшение скорости распада  $\eta$ -фазы. Очевидно, урав-

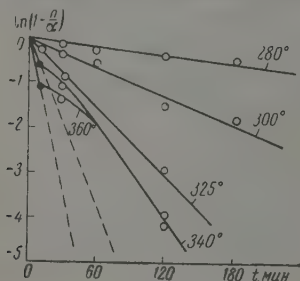


Рис. 5

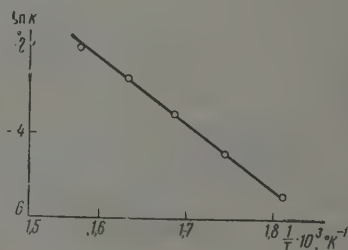


Рис. 6

нение (2) не может быть применимо к процессу распада  $\eta$ -фазы во всем интервале времени обработки сплава; следовательно, не все количество  $\eta$ -фазы способно распасться указанным путем.

Из представленной на рис. 4 зависимости  $n = \varphi(t)$  видно, что экспериментальные точки для всех температур обработки сплава хлористым этилом асимптотически приближаются к значениям  $\sim 0,73$ . Очевидно, что при использовании уравнения (2) следует учитывать только ту част

фазы, которая способна распасться, т. е. вместо  $P_0$  нужно брать  $\alpha P_0$ , где коэффициент  $\alpha$  ( $0 < \alpha < 1$ ) показывает, какая часть  $\eta$ -фазы распадается. В нашем случае  $\alpha = 0,73$ . Уравнение (2) с учетом коэффициента  $\alpha$  примет вид:

$$n = \alpha (1 - e^{-kt}). \quad (3)$$

Графики этого уравнения для 280, 300 и 325, 340, 360° С приведены на рис. 5, они являются прямыми линиями. Исключение составляют графики для температур обработки сплава при 340 и 360°.

Из наклона прямых (рис. 5) были определены значения  $k$  — константы скорости распада  $\eta$ -фазы. Значения  $k$  для 340 и 360° определялись по тангенсному наклону кривых.

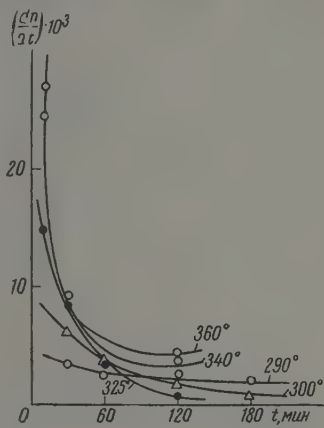


Рис 7

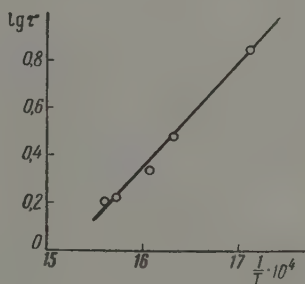


Рис. 8

На рис. 6 приведен график зависимости  $\ln k$  от  $1/T$ , где  $T$  — абсолютная температура обработки сплава. Как видно, экспериментальные точки удовлетворительно ложатся на прямую линию, что дает возможность описать температурную зависимость скорости распада  $\eta$ -фазы следующим уравнением:  $k = Ae^{-U/RT}$ , где  $U$  — энергия активации, которая была подсчитана из наклона прямой (рис. 6) и оказалась равной 30 000 кал/моль.

Скорость распада  $\eta$ -фазы в любой момент времени может быть подсчитана по уравнению  $dn/dt = \alpha k e^{-kt}$ , полученному дифференцированием уравнения (3). На рис. 7 представлены графики зависимости скорости распада  $\eta$ -фазы от времени обработки сплава при различных температурах. Как видно из этих графиков, скорость распада  $\eta$ -фазы или, иными словами, скорость реакции между хлористым этилом и кремнием  $\eta$ -фазы для обработки сплава при 325, 340 и 360°, начиная с 30-минутной обработки, является примерно одинаковой. После 60-минутного взаимодействия сплава с хлористым этилом скорость распада  $\eta$ -фазы для всех температур примерно одинакова.

Нами также была измерена скорость распада  $\eta$ -фазы и образования  $\eta$ -фазы при обработке хлористым этилом при 340° неактивного сплава такого же состава. Оказалось, что скорость распада  $\eta$ -фазы у такого неактивного сплава резко снижается по сравнению со скоростью распада  $\eta$ -фазы активного сплава при тех же условиях опыта. Кинетические кривые для  $\eta$ -фазы неактивного сплава, обработанного при 340°, совпали с кинетическими кривыми распада  $\eta$ -фазы активного сплава, обработанного хлористым этилом при 280°, активность которого при этой температуре была ничтожна. Оказалось также, что и скорости реакции образования гилхлорсиланов в этом случае также совпали.

Для сопоставления результатов, полученных при изучении кинетики фазовых превращений в  $\text{Cu—Si}$  сплавах, с кинетикой образования этилхлорсиланов исследовалась скорость превращения хлористого этила в зависимости от продолжительности его взаимодействия со сплавом при указанных выше температурах.

Как показали опыты, в самом начале процесса сплав реагирует с хлористым этилом с ничтожной скоростью, т. е. практически реакция не идет. Иными словами, при взаимодействии хлористого этила с  $\text{Cu—Si}$  сплавом наблюдается индукционный период. На рис. 8 представлена зависимость  $\ln \tau = f(1/T)$ , где  $\tau$  — продолжительность индукционного периода,  $T$  — абсолютная температура опыта. Продолжительность индукционного периода подчиняется уравнению  $\tau e^{-E_i/RT} = \text{const.}$  Подсчитанная энергия активации лимитирующей стадии процесса оказалась равной  $22\,000 \pm 2000$  кал/моль.

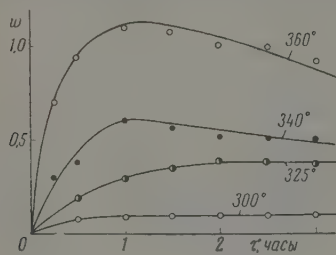


Рис. 9

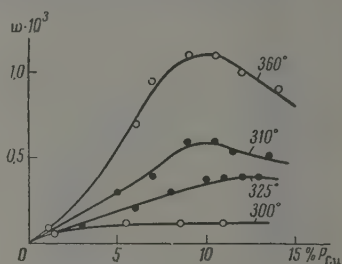


Рис. 10

После наблюдаемого индукционного периода скорость реакции растет, достигая примерно через 60 мин. максимальной величины (рис. 9), тем большей, чем выше температура опыта. При более низких температурах (до  $340^\circ$ ) достигнутое максимальное значение скорости реакции в течение продолжительного времени изменяется незначительно; при более высоких температурах скорость превращения хлористого этила в этилхлорсилан постепенно снижается. Оказалось, что зависимость логарифма максимальной скорости реакции от обратного значения температуры удовлетворительно подчиняется закону Аррениуса с эффективной энергией активации, равной  $22\,000 \pm 2000$  кал/моль.

По данным графиков  $P_{\text{Cu}} = f_1(t)$  (рис. 2) и  $w = f_2(t)$  (рис. 9) была построена зависимость  $w = \varphi(P_{\text{Cu}})$ , представленная на рис. 10. Приведенный на рис. 10 график показывает, что максимальная скорость реакции для исследованных температур наблюдается при наличии примерно 9—10 вес. % свободной меди.

### Обсуждение результатов

Ранее полученные результаты и данные настоящей работы позволяют дать общую картину фазовой структуры сплавных  $\text{Cu—Si}$  контактных масс и ее превращений в процессе прямого синтеза этилхлорсиланов, а также связи этих превращений с кинетикой процесса.

Наблюдаемый в начальной стадии реакции индукционный период может быть объяснен формированием активных центров реакции на поверхности  $\eta$ -фазы, на создание которых необходимо некоторое время.

С другой стороны, поскольку в индукционном периоде скорость распада  $\eta$ -фазы мала, количества меди, являющейся катализатором данного процесса, недостаточно для заметной активации реакции, протекающей с участием свободного кремния. Несомненно, что начальная активность  $\text{Cu—Si}$  сплава по отношению к хлористому этилу связана со скоростью распада  $\eta$ -фазы, т. е. с реакционной способностью кремния, входящего

остав соединения  $\text{Cu}_3\text{Si}$ . По всей вероятности, атомы кремния, входящие в решетку  $\eta$ -фазы, более реакционноспособны, чем атомы кремния, входящие в решетку кремния.

Интересно отметить, что, исследуя кинетику реакции взаимодействия хлористого этила со свинцово-натриевым сплавом, М. Б. Нейман и В. А. Шуннов [6] установили для данной реакции наличие индукционного периода. В работах вышеуказанных авторов показана повышенная реакционная способность интерметаллических соединений по отношению к окислителям, по сравнению со сплавами, не имеющими интерметаллических фаз.

Сравнительно высокое значение энергии активации, характеризующей распад  $\eta$ -фазы (30 000 кал), указывает на то, что в начальной стадии процесса прямого синтеза еще не имеет место диффузионное торможение, т. е. скорость взаимодействия не лимитируется переносом хлористого этила. Как видно из полученных нами данных, распад  $\eta$ -фазы при температурах 280—325° (рис. 3 и 5) выражается уравнением реакции первого порядка. Следовательно, скорость распада  $\eta$ -фазы экспоненциально уменьшается. При более высоких температурах реакции наблюдается отклонение закона распада  $\eta$ -фазы от первого порядка, причем, как это показывают графики зависимости  $\ln(1-n) = f(t)$  на рис. 3, отклонение наступает тем быстрее, чем выше температура процесса. На наш взгляд, это отклонение от логарифмического закона, связанное с замедлением скорости распада  $\eta$ -фазы, обуславливается блокированием нераспавшейся части  $\eta$ -фазы, образующейся медью и продуктами реакции [1]. С течением времени происходит полная блокировка участков  $\eta$ -фазы, после чего ее распад практически прекращается. Блокировке реакционной поверхности должна благоприятствовать ее высокая поверхностная энергия; следовательно, ее повышенная способность адсорбировать образующуюся медь и продукты реакции (этилхлорсиланы, продукты термического распада, посторонние примеси и т. д.).

Сопоставление скорости распада  $\eta$ -фазы и скорости реакции образования этилхлорсиланов (рис. 7 и 9) показывает, что максимальное значение скорости реакции и ее зависимость от температуры не связаны со скоростью распада  $\eta$ -фазы, по крайней мере для температур 325° и выше, а для этих температур скорость распада  $\eta$ -фазы практически одинакова после 30-минутной обработки сплава. Интересно отметить, что в момент достижения максимальных значений скорости реакции образования этилхлорсиланов, резко зависящих от температуры, скорость распада  $\eta$ -фазы почти одинакова для всех исследованных температур. Следовательно, в момент достижения максимальной скорости реакции распад  $\eta$ -фазы при температурах 325° и выше подвержен диффузионному торможению вследствие блокировки поверхности  $\eta$ -фазы, в то время как суммарная реакция образования этилхлорсиланов в этих условиях опыта не лимитируется диффузией. Все это дает право заключить, что в данном случае графики на рис. 9 описывают каталитическую реакцию между хлористым этилом и кремнием, не входящим в интерметаллическое соединение. При этом образующаяся при распаде  $\eta$ -фазы медь является катализатором, и увеличение количества выделившейся меди должно повышать скорость изучаемой реакции. Действительно, реакция превращения хлористого этила в этилхлорсиланы в начале процесса, по сути дела, имеет автокаталитический характер (рис. 9). Если бы процесс лимитировался только расходом интерметаллической фазы, то наблюдалось бы уменьшение скорости реакции, как это имеет место при распаде  $\eta$ -фазы. Следовательно, ускорение реакции взаимодействия хлористого этила со сплавом объясняется, в первую очередь, каталитическим действием образующейся меди. Именно каталитическим действием свободной меди можно объяснить тот факт, что энергия активации суммарного химического процесса имеет значение 22 000 кал, а не 30 000 кал, как в случае распада  $\eta$ -фазы.



Необходимо отметить, что скорость реакции может увеличиваться также за счет роста реакционной поверхности, ибо согласно опытным данным [2], подтвержденным нами при микроскопическом исследовании сплавов Cu—Si, обработанных хлористым этилом, изучаемая реакция локализуется на межфазовой границе кремния и меди.

Тот факт, что максимальная скорость реакции наблюдается при наличии примерно 9—10 вес. % свободной меди, удовлетворительно согласуется с данными ряда патентов, установивших оптимальное количество меди в контактных массах для подобных процессов, равное примерно 10 вес. %

Снижение скорости реакции можно объяснить, с одной стороны, наличием блокировки кремния, не входящего в интерметаллическое соединение (как и в случае распада  $\eta$ -фазы), и, с другой стороны, падением активности самого катализатора — меди.

Как видно, в изучаемом процессе весьма важную роль играет интерметаллическое соединение  $\text{Cu}_3\text{Si}$ . Это соединение, с нашей точки зрения, является инициатором процесса и, что самое главное, донором катализатора. Из данных эксперимента следует, что у неактивных или малоактивных сплавов скорость распада  $\eta$ -фазы и образования меди мала, по сравнению с активными сплавами. Малая скорость распада  $\eta$ -фазы может быть обусловлена отравлением реакционной поверхности  $\eta$ -фазы примесями, содержащимися в хлористом этиле и являющимися ядами для данного процесса. С другой стороны, исходя из факта локализации химического процесса на межфазовой границе, можно предположить, что та или иная скорость распада  $\eta$ -фазы, т. е. та или иная активность сплава, обусловлена различным состоянием реакционной поверхности кристаллического сплава. Значительную роль в этом случае могут играть примеси в исходных компонентах сплава — меди и кремнии, а также примеси, могущие попасть в сплав при его приготовлении.

В заключение нужно отметить, что для окончательного суждения о механизме каталитического действия меди и влиянии поверхностной структуры контактных масс на кинетику реакции прямого синтеза алкиларилхлорсиланов необходимо проведение электронографического исследования контактных масс.

Авторы выражают благодарность С. А. Голубцову за обсуждение результатов и интерес к данной работе.

### Выводы

1. Изучена кинетика фазовых превращений сплавных Cu—Si контактных масс в процессе синтеза и ее связь с кинетикой образования этилхлорсиланов.
2. Установлена роль интерметаллического соединения  $\text{Cu}_3\text{Si}$  в сплавных контактных массах для процесса прямого синтеза этилхлорсиланов.
3. Установлено влияние меди, образующейся при распаде интерметаллического соединения, на кинетику реакции взаимодействия хлористого этила с кремнием.

Поступила  
9.1.1958

### ЛИТЕРАТУРА

1. В. Д. Крылов и Ю. Н. Ефремов, Ж. физ. химии, 31, 2522, 1957.
2. D. T. Hurd, E. G. Rochow, J. Amer. Chem. Soc., 67, 1057, 1945.
3. К. А. Андрианов, Кремнийорганические соединения, ГНТИ, 1953.
4. А. Л. Клебанский, В. С. Фихтенгольд, Ж. общ. химии, 26, 1956.
5. V. Imelik, P. Grambouze, C. R., 238, 680, 1954.
6. М. Б. Нейман, В. А. Шушуров, Кинетический метод физико-химического анализа, Изд-во АН СССР, 1948.

KINETICS OF PHASE TRANSITIONS IN FUSED Cu—Si CONTACT MASSES  
AND THE RELATION OF THE KINETICS WITH THOSE OF THE DIRECT  
SYNTHESIS OF ETHYLCHLOROSILANES

*V. D. Krylov, Ya. I. Waabel, Yu. N. Efremov,  
A. M. Klenina, and S. L. Lel'chuk*

*(Moscow)*

S u m m a r y

The kinetics of phase transitions of fused Cu — Si contacts in the process of direct synthesis and the relation of the kinetics with the kinetics of formation of ethylchlorosilanes have been studied.

The part played by the intermetallic compound  $\text{Cu}_3\text{Si}$  of the fused contact masses in the direct synthesis of ethylchlorosilanes has been ascertained.

The effect of copper formed on decomposition of the intermetallic compound on the kinetics of interaction of ethyl chloride and silicon has been ascertained.

---

## ОБ АССОЦИИ ИОНОВ В РАСТВОРАХ

## II. ПРИЧИНЫ «АНОМАЛЬНОЙ» ЭЛЕКТРОПРОВОДНОСТИ

А. М. Сухотин и З. Н. Тимофеева

В 1891 г. И. А. Каблуков, изучая растворы HCl в изоамиловом спирте впервые показал, что эквивалентная электропроводность электролита может возрастать при увеличении его концентрации [1]. С тех пор это явление, получившее название аномальной электропроводности, неоднократно наблюдалось при исследовании неводных растворов. На изотермах проводимости для некоторых систем наблюдалось появление минимума или максимума, а иногда обоих экстремумов одновременно.

Аномальная концентрационная зависимость электропроводности в различных системах вызывается разными причинами. В ряде случаев растворенное вещество образует с растворителем химическое соединение, способное диссоциировать на проводящие ток новые частицы. Большинство таких систем изучено школой В. А. Плотнокова. Растворы, в которых происходит химическое взаимодействие компонентов, ниже рассматриваться не будут.

Систематическое изучение свойств неводных растворов замещенных аммониевых солей, проводившееся в течение последних 25 лет Краусом, Фуоссом и их сотрудниками, показало, что появление минимума на изотерме проводимости является общим свойством растворов 1-1-валентных солей в растворителях с достаточно низкой диэлектрической проницаемостью.

Попытки теоретического объяснения аномальной электропроводности делались давно. Мы не будем касаться истории этого вопроса, так как она была уже освещена [2].

В настоящее время широко распространена теория образования ионных тройников Фуосса и Крауса [3, 4]. Она излагается в ряде учебников и монографий [2, 5—7]. Сущность ее сводится к допущению того, что в области концентраций, отвечающей минимуму электропроводности, наряду с образованием ионных пар, начинают образовываться ионные тройники. Доля тройников растет с увеличением концентрации, что и вызывает увеличение электропроводности, так как тройники могут принимать участие в переносе электричества. Теория Фуосса и Крауса приводит к следующему выражению для зависимости эквивалентной электропроводности бинарного электролита  $\lambda$  от концентрации  $c$ :

$$\lambda\sqrt{c} = \lambda_0\sqrt{K} + \lambda_{от}\frac{\sqrt{K}}{K_T}c, \quad (1)$$

где  $\lambda_0$  — сумма эквивалентных электропроводностей простых ионов при бесконечном разведении;  $\lambda_{от}$  — то же для ионных тройников;  $K$  — константа диссоциации ионных пар;  $K_T$  — константа диссоциации ионных тройников.

Линейная зависимость  $\lambda\sqrt{c}$  от  $c$  для некоторых растворов была обнаружена экспериментально [8, 9]. Это считают подтверждением теории ионных тройников. Однако во многих случаях линейность наблюдается лишь в области концентраций до минимума на кривой  $\lambda - c$ . Покажем это на примерах растворов нитрата тетраизоамиламмония в диоксано-водно-

си. [10] и NaJ в смеси  $C_2H_5OH + CCl_4$  (рис. 1, 2). Точки, отвечающие минимумам на кривой  $\lambda - c$ , отмечены значком  $c_{мин}$ . Как можно видеть, линейная зависимость нарушается именно в той области, где, согласно теории Фуосса и Крауса, становится заметной концентрация ионных тройников.

Отсутствие линейной зависимости между  $\lambda/\sqrt{c}$  и  $c$  для растворов пикрат-тетраизоамиламмония в бензоле и ряде других растворителей отмечает Фуосс [9]. В другой работе Лудер, П. Краус, Ч. Краус и Фуосс [11] отмечают неприменимость теории ионных тройников к растворам  $AgClO_4$  перхлората тетрабутиламмония в бензоле и диоксане.

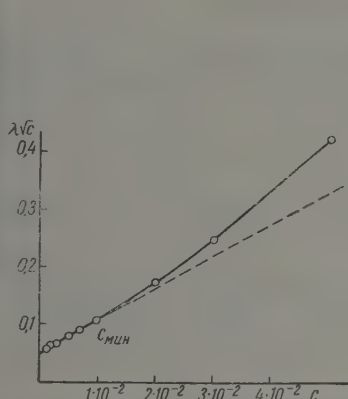


Рис. 1. Проверка теории ионных тройников (нитрат тетраизоамиламмония в смеси диоксана с водой,  $D=5,8$ )

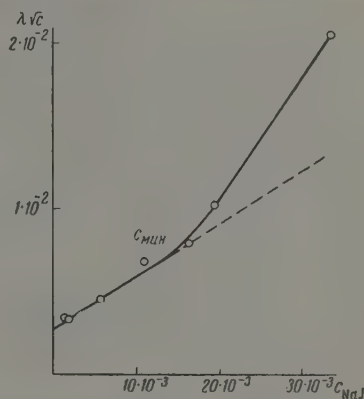


Рис. 2. Проверка теории ионных тройников (NaJ в смеси 9,6% этанола и 90,4% четыреххлористого углерода)

Такие примеры, число которых можно было бы значительно увеличить, показывают, что наблюдаемая в ряде случаев линейная зависимость  $\lambda\sqrt{c}$  от  $c$  вряд ли может считаться определенным подтверждением теории ионных тройников.

В 1952 г. одним из нас было высказано предположение о том, что появление минимума на изотермах проводимости в растворах с низкой диэлектрической проницаемостью можно объяснить на основании общих свойств ионных растворов, без привлечения представлений о ионных тройниках [12]. Это предположение основывалось на анализе выражения для термодинамической константы равновесия между ионами и ионными парами:

$$K = \frac{\alpha^2 f_{\pm}^2 c}{(1-\alpha) f_{\mp}} \approx \frac{\alpha^2 f_{\pm}^2 c}{1-\alpha}, \quad (2)$$

где  $\alpha$  — степень диссоциации ионных пар на ионы;  $c$  — концентрация;  $f_{\pm}$  — средний ионный коэффициент активности,  $f_{\mp}$  — коэффициент активности ионных пар, принимаемый равным единице.

Для простоты рассмотрим случай, когда  $\alpha \ll 1$ . Тогда, решая уравнение относительно  $\alpha$ , получим

$$\alpha = \frac{\sqrt{K}}{f_{\pm} \sqrt{c}}. \quad (3)$$

При очень малой ионной концентрации, когда значение  $f_{\pm}$  близко к единице, изменение степени диссоциации практически полностью определяется фактором в знаменателе множителем  $\sqrt{c}$ . Это ведет к падению  $\alpha$  с ростом  $c$ . При увеличении концентрации ионный коэффициент активности, как известно, уменьшается. В результате этого величина произведения  $f_{\pm} \sqrt{c}$



может начать уменьшаться, что поведет к возрастанию степени диссоциации с ростом концентрации.

Таким образом, уравнение для термодинамической константы диссоциации предусматривает возможность появления минимума на кривой  $\alpha$  —  $c$  а следовательно, и на изотерме проводимости.

Настоящая работа представляет попытку использования этих представлений для объяснения концентрационной зависимости электропроводности растворов в растворителях с низкой диэлектрической проницаемостью.

### Экспериментальная часть

Объектом исследования служили растворы йодистого натрия в смесях этилового спирта с четыреххлористым углеродом, диэлектрическая проницаемость которых менялась от 2,32 до 24,25. Изучены также растворы NaJ в водно-диоксановых смесях с диэлектрической проницаемостью, равной 6,8 и 9,53.

Йодистый натрий марки «ч. д. а» трижды перекристаллизовывался из воды, промывался спиртом и высушивался при 100°. Соль хранилась над  $P_2O_5$ . Работы с NaJ производились в сухой камере.

Четыреххлористый углерод марки «ч. д. а» был осушен над  $CaCl_2$  и дважды перегнан. Отбиралась фракция, кипящая при 76,8—76,9°. Она имела  $n_D^{25}$  1,4573,  $d_4^{25}$  1,5844,  $\gamma^{25}$  0,0089 пуаза.

Этиловый спирт сушили над CaO. Собиралась фракция, кипящая при 78,2—78,4°. Содержание воды контролировалось по плотности; оно было менее 0,1%. Константы применявшегося спирта:  $n_D^{25}$  1,3596,  $d_4^{25}$  0,7851,  $\gamma^{25}$  0,0108 пуаза.

Диоксан марки «ч. д. а», очищенный перегонкой, имел константы:  $n_D^{25}$  1,4200,  $d_4^{25}$  1,0279,  $\gamma^{25}$  0,0115 пуаза.

Были измерены плотность, вязкость и диэлектрическая проницаемость смесей этилового спирта с четыреххлористым углеродом.

Результаты представлены в табл. 1 и на рис. 3 и 4, где приведены для сравнения данные других авторов, удовлетворительно совпадающие с нашими.

Таблица 1

Плотность, вязкость и диэлектрическая проницаемость смесей этилового спирта с четыреххлористым углеродом при 25°

Вес. % $C_2H_5OH$	$d_4^{25}$ , г/см <sup>3</sup>	Вес. % $C_2H_5OH$	$\eta$ , сантипуазы	Вес. % $C_2H_5OH$	$D$
0,0	1,5844	0,0	0,89	0,0	2,23
2,7	1,5411	2,3	0,86	2,8	2,32
4,1	1,5202	2,8	0,84	3,9	2,40
6,9	1,4819	5,0	0,86	7,8	3,0
8,1	1,4642	8,6	0,88	9,5	3,4
9,6	1,4419	11,2	0,89	19,5	7,0
12,6	1,4077	21,4	0,96	39,0	13,2
16,2	1,3638	27,9	0,99	50,0	16,0
40,0	1,1272	49,4	1,05	100,0	24,3
56,5	1,0117	57,2	1,08		
85,0	0,8462	100,0	1,09		
100,0	0,7851				

Электропроводность хорошо проводящих растворов NaJ в смешанных растворителях определялась при помощи обычной мостовой схемы. Источником тока служил звуковой генератор типа ЗГ-10, нуль-инструментом — телефон с усилителем. Точность измерений была не менее 0,5%.

Растворы, имевшие высокое сопротивление, изучались на установках собранной по мостовой схеме с электрометрической лампой ЭО-1. Ошибка измерений в этом случае достигала 5%.

Измерения производились при  $25,0 \pm 0,1^\circ$ . Растворы готовились весовым путем. Были приняты меры для предотвращения испарения раствора в процессе приготовления растворов и во время измерений.

Результаты измерений электропроводности растворов NaJ в смесях  $\text{H}_2\text{O} - \text{CCl}_4$  и  $\text{H}_2\text{O} - \text{диоксан}$  приведены в табл. 2.

Таблица 2

бивалентная электропроводность  $\lambda$  растворов NaJ в смесях этилового спирта с четыреххлористым углеродом и диоксана с водой при  $25^\circ\text{C}$

2,8 вес. % $\text{C}_2\text{H}_5\text{OH}$ $D = 2,32$		4,07 вес. % $\text{C}_2\text{H}_5\text{OH}$ $D = 2,4$		5,47 вес. % $\text{C}_2\text{H}_5\text{OH}$ $D = 2,6$		8,1 вес. % $\text{C}_2\text{H}_5\text{OH}$ $D = 3,0$	
$\text{NaJ} \cdot 10^4$ , моль/л	$\lambda \cdot 10^4$ , ом $^{-1}\text{см}^2$	$\text{C NaJ} \cdot 10^4$ , моль/л	$\lambda \cdot 10^4$ , ом $^{-1}\text{см}^2$	$\text{C NaJ} \cdot 10^4$ , моль/л	$\lambda \cdot 10^4$ , ом $^{-1}\text{см}^2$	$\text{C NaJ} \cdot 10^4$ , моль/л	$\lambda \cdot 10^4$ , ом $^{-1}\text{см}^2$
207	3,94	260	21,0	349	7,65	402	6,19
143	3,12	115	9,8	159	3,74	238	3,55
98,2	2,24	63,0	6,8	81,6	3,47	131	2,66
60,4	1,76	29,4	6,5	50,8	3,35	74,4	2,00
49,5	1,64	5,70	9,1	20,3	3,28	56,0	2,09
49,0	1,52	2,43	13,0	14,4	3,92	21,9	2,51
33,1	1,49	1,02	22,2	5,62	5,27	8,71	3,58
11,1	1,41	0,426	37,0	3,88	6,31	3,88	6,11
4,37	2,14	0,091	75,0	1,55	10,6	1,87	8,77
1,63	3,82			0,82	14,9		
0,28	7,83						

9,6 вес. % $\text{C}_2\text{H}_5\text{OH}$ $D = 3,4$		20 вес. % $\text{C}_2\text{H}_5\text{OH}$ $D = 7,2$		30 вес. % $\text{C}_2\text{H}_5\text{OH}$ $D = 10,6$		40 вес. % $\text{C}_2\text{H}_5\text{OH}$ $D = 13,6$	
$\text{NaJ} \cdot 10^4$ , моль/л	$\lambda \cdot 10^4$ , ом $^{-1}\text{см}^2$	$\text{C NaJ} \cdot 10^4$ , моль/л	$\lambda$ , ом $^{-1}\text{см}^2$	$\text{C NaJ} \cdot 10^4$ , моль/л	$\lambda$ , ом $^{-1}\text{см}^2$	$\text{C NaJ} \cdot 10^4$ , моль/л	$\lambda$ , ом $^{-1}\text{см}^2$
336	11,3	110	2,74	19,5	5,64	14,3	8,67
195	7,33	101	2,62	14,4	5,63	8,80	9,60
162	6,42	59,5	2,13	10,7	5,78	4,77	10,0
111	6,25	24,4	2,16	5,59	5,90	1,89	12,7
68,0	5,31	14,8	2,20	2,76	6,41	1,11	13,9
56,3	6,09	9,07	2,58	1,41	7,45	6,19	17,0
31,1	6,78	5,56	2,89	1,11	7,90	3,39	19,1
17,8	7,86	3,20	3,28	0,18	13,1	9,98	26,6
14,6	8,90					3,48	30,4
7,08	11,0						
5,35	11,8						
2,54	17,5						

100 вес. % $\text{C}_2\text{H}_5\text{OH}$ $D = 24,25$		82 вес. % $\text{C}_4\text{H}_8\text{O}_2$ $D = 9,53$		88,8 вес. % $\text{C}_4\text{H}_8\text{O}_2$ $D = 6,8$	
$\text{C NaJ} \cdot 10^3$ , моль/л	$\lambda$ , ом $^{-1}\text{см}^2$	$\text{C NaJ} \cdot 10^3$ , моль/л	$\lambda$ , ом $^{-1}\text{см}^2$	$\text{C NaJ} \cdot 10^3$ , моль/л	$\lambda$ , ом $^{-1}\text{см}^2$
4,02	26,9	45,7	11,1	65,1	2,63
1,37	32,2	15,7	12,4	35,9	2,36
0,588	36,3	13,4	12,8	18,3	2,15
0,196	40,2	8,76	13,5	9,30	2,42
0,078	42,6	6,20	14,7	3,77	2,94
		2,2	18,4	2,58	3,62
				1,12	4,26
				0,62	5,70

Полученные данные показывают, что зависимость электропроводности изученных растворов NaJ от концентрации соли и диэлектрической проницаемости растворителя в общих чертах подобна найденной Фуоссом и Краусом [10] для растворов нитрата тетраизоамиламмония в смесях дион

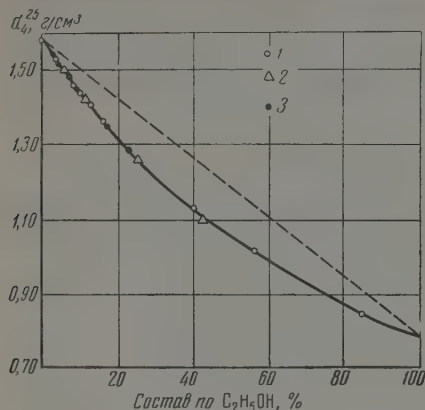


Рис. 3. Плотность системы  $C_2H_5OH - CCl_4$ : 1 — наши данные, 2 — данные работы [17], 3 — данные работы [18]

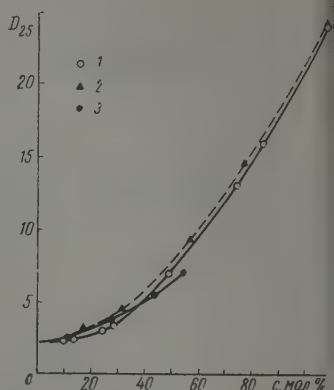


Рис. 4. Диэлектрическая проницаемость системы  $C_2H_5OH - CCl_4$ : 1 — наши данные, 2 — данные работы [18], 3 — данные работы [18]

сана с водой. Это еще раз подтверждает, что существование минимума на изотермах проводимости при достаточно низкой диэлектрической проницаемости растворов представляет собой общее явление.

Если справедливо предположение о том, что ионные тройники в растворах не образуются и появление минимума на кривых  $\lambda - c$  вызывает

Таблица 3

Значения эквивалентной электропроводности при бесконечном разведении  $\lambda_0$  константы диссоциации  $K$  и коэффициента  $B$  в уравнении (7) для растворов NaJ в смесях  $C_2H_5OH - CCl_4$

Вес. % $C_2H_5OH$	Диэлектри- ческая прони- цаемость $D$	Вязкость $\eta$ , сантипуазы	$\lambda_0$	$K$	$B$
2,8	2,32	0,84	61,5	$5,5 \cdot 10^{-15}$	274
4,07	2,4	0,85	60,8	$1,34 \cdot 10^{-13}$	186
5,47	2,6	0,86	60,1	$4,6 \cdot 10^{-12}$	81,5
8,07	3,0	0,88	58,8	$4,1 \cdot 10^{-10}$	43,5
9,6	3,4	0,89	58,1	$2,3 \cdot 10^{-9}$	29,0
20,0	7,2	0,95	54,4	$2,8 \cdot 10^{-6}$	5,8
30,0	10,6	1,00	51,7	$6,6 \cdot 10^{-5}$	3,0
40,0	13,6	1,03	50,2	$2,7 \cdot 10^{-4}$	2,25

ся уменьшением ионного коэффициента активности, то значения  $f_{\pm}$  могут быть рассчитаны по уравнению (2). Величины  $\alpha$  в этом случае можно найти из соотношения  $\alpha = \lambda/\lambda_0$ . Для определения  $\lambda_0$  и  $K$  существуют и часто применяются два аналогичных способа, предложенных Фуоссом и Краусом [13] и Шедловским [14]. Оба они предусматривают применение предельного закона Дебая — Хюккеля для расчета ионных коэффициентов активности и поэтому не могут быть использованы в нашем случае, так как

идельный закон для растворов с низкой диэлектрической проницаемостью неприменим.

Для нахождения  $\lambda_0$  было использовано известное правило Вальдена — саржевского  $\lambda_0\eta_0 = \text{const}$ , где  $\eta_0$  — вязкость растворителя. В случае смесей  $\text{C}_2\text{H}_5\text{OH} - \text{CCl}_4$  было использовано значение  $\lambda_0\eta_0 = 0,517$ ; величина  $\lambda_0 = 47,4$  получена Бараком и Хартли [15] для растворов NaJ в чистом спирте. Для смесей воды с диоксаном принято  $\lambda_0\eta_0 = 1,136$ , данным Вальдена [16] относительно NaJ в водных растворах. Рассчитанные значения  $\lambda_0$  приведены в табл. 3.

Известно, что в растворах рассматриваемого типа при достаточно больших концентрациях существует только равновесие между ионными парами и простыми ионами.

При больших разведениях значение  $f_{\pm}$  стремится к единице. В этом случае уравнение (2) принимает вид:

$$K = \left(\frac{\lambda}{\lambda_0}\right)^2 c, \quad (4)$$

и в логарифмической форме:

$$\lg \lambda = \lg \lambda_0 \sqrt{K} - \frac{1}{2} \lg c. \quad (5)$$

Линейная зависимость  $\lg \lambda$  от  $\lg c$  с угловым коэффициентом  $-\frac{1}{2}$  неоднократно наблюдалась для неводных растворов. Она имеет место и в нашем случае, что свидетельствует о применимости уравнения (4) в области малых концентраций и дает возможность рассчитать с его помощью величины  $K$ . В табл. 4 для примера приведены рассчитанные величины  $(\lambda/\lambda_0)^2 c$  для двух составов растворителя.

Таблица 4

Значения  $(\lambda/\lambda_0)^2 c$  для растворов NaJ в смесях  $\text{C}_2\text{H}_5\text{OH} - \text{CCl}_4$  при 25°C

4,07 вес. % $\text{C}_2\text{H}_5\text{OH}$		9,6 вес. % $\text{C}_2\text{H}_5\text{OH}$	
$c_{\text{NaJ}} \cdot 10^4$ , моль/л	$\left(\frac{\lambda}{\lambda_0}\right)^2 c \cdot 10^{13}$	$c_{\text{NaJ}} \cdot 10^4$ , моль/л	$\left(\frac{\lambda}{\lambda_0}\right)^2 c \cdot 10^3$
260	319	336	127
115	30,1	195	31,0
63,0	7,98	162	19,8
29,4	3,39	111	12,8
5,70	1,28	68,0	5,68
2,43	1,11	56,3	6,18
1,02	1,36	31,1	4,24
0,43	1,56	17,8	3,26
0,091	1,37	14,6	3,42
		7,08	2,53
		5,35	2,21
		2,54	2,30

Найденные таким путем значения  $K$  приведены в табл. 3.

Для растворов в растворителях, содержащих 20, 30 и 40% спирта, а также для диоксано-водных смесей расчет таким способом провести не удалось из-за отсутствия опытных данных в области очень малых концентраций. В этих случаях для нахождения констант диссоциации была использована эмпирически обнаруженная линейная зависимость

$$\lg \frac{\alpha^2 c}{1-\alpha} = \lg K + 2B\sqrt[3]{\alpha c}. \quad (6)$$

и, учитывая уравнение (2),

$$\lg f_{\pm} = -B\sqrt[3]{\alpha c} \quad (7)$$





## ЛИТЕРАТУРА

- И. А. Каблуков, ЖРФХО, 23, 409, 1891.  
 В. К. Семенченко, Физическая теория растворов, ОГИЗ, 1941.  
 R. M. Fuoss, Ch. Kraus, J. Amer. Chem. Soc., 55, 2387, 1933.  
 R. M. Fuoss, Ch. A. Kraus, J. Amer. Chem. Soc., 57, 1, 1935.  
 А. И. Бродский, Современная теория электролитов, Госхимтехиздат, 1934.  
 С. Глестон, Введение в электрохимию, ИИЛ, 1951.  
 Г. Харнед, Б. Оуен, Физическая химия растворов электролитов, ИИЛ, 1952.  
 G. S. Bien, Ch. A. Kraus, R. M. Fuoss, J. Amer. Chem. Soc., 56, 1860, 1934.  
 R. M. Fuoss, Z. Elektrochem., 39, 513, 1933.  
 Ch. A. Kraus, R. M. Fuoss, J. Amer. Chem. Soc., 55, 21, 1933.  
 F. Luder, P. Kraus, Ch. Kraus, R. Fuoss, J. Amer. Chem. Soc., 58, 255, 1936.  
 А. М. Сухотин, Исследование по энергетике неводных растворов щелочно-галогидных солей, Диссертация, Ленинград, 1952.  
 Ch. A. Kraus, R. M. Fuoss, J. Amer. Chem. Soc., 55, 476, 1933.  
 T. Shedlovsky, J. Franklin Inst., 225, 739, 1938.  
 M. Barack, H. Hartley, Z. phys. Chem., A165, 272, 1933.  
 P. Walden, Das Leitvermögen der Lösungen, B. IV, I. Teil, S. 126, Leipzig, 1924.  
 W. Graffunder, E. Heymann, Z. Physik, 72, 744, 1936.  
 I. J. Krichma, J. W. Williams, J. Amer. Chem. Soc., 49, 2408, 1927.

ON ASSOCIATION OF IONS IN SOLUTIONS. II. THE CAUSES  
 OF «ANOMALOUS» ELECTROCONDUCTIVITY

*A. M. Sukhotin and Z. N. Timofeeva (Leningrad)*

Summary

The electroconductivity of sodium iodide solutions in ethyl alcohol-carbon tetrachloride and dioxane-water mixtures has been measured at 25° C. It has been suggested that the «anomalous» electroconductivity may be explained without recourse to conceptions of ionic triplets provided the change in the activity coefficients of the ions with concentration be taken into account. The thermodynamic dissociation constants of NaJ in the solutions have been determined. With the aid of the expression for the thermodynamic dissociation constant the ionic activity coefficients of NaJ in the solutions have been calculated.

## ЭЛЕКТРОЛИТИЧЕСКАЯ ДИССОЦИАЦИЯ В НЕВОДНЫХ СИСТЕМАХ

IX. СИСТЕМА *n*-АНИЗИДИН — АЛЛИЛОВОЕ ГОРЧИЧНОЕ МАСЛО

С. П. Мискиджян

Нами было показано, что при взаимодействии аллилового горчичного масла с анилином, пиперидином, пиридином и *o*-толуидином наряду с замещенными тиомочевинами образуются соответствующие роданистоводородные аллиламины, которые являются электролитами и обуславливают значительную электропроводность растворов этих систем [1].

В настоящей статье приводятся результаты исследования взаимодействия между аллиловым горчичным маслом и *n*-анизидином. Эта система еще никем не была изучена. Поэтому для выяснения характера взаимодействия между компонентами системы мы решили изучить ее различными методами физико-химического анализа (по вязкости, плотности, электропроводности). Результаты этих исследований показали, что, как и в ранее изученных нами системах, основным продуктом взаимодействия является замещенная тиомочевина (в данном случае аллил-*n*-анизидил-тиомочевина).

Поскольку растворы системы обладают значительной электропроводностью и дают положительную реакцию на ион  $\text{SCN}^-$ , мы предположили, что и в этой системе, так же как и в изученных ранее [1], наряду с основной реакцией протекает побочный химический процесс, в результате которого получается роданистоводородный аллил-*n*-анизидин, являющийся электролитом. Полученные нами результаты исследования полностью подтвердили это предположение.

## Экспериментальная часть

Аллиловое горчичное масло получено методом, описанным в работе [1]. Нами использована фракция, кипящая при  $149\text{--}150,5^\circ$  ( $P = 735$  мм.рт.ст.),  $n_D^{20}$  1,5265 и  $d_4^{20}$  1,0115. *n*-Анизидин перекристаллизовывался из спиртового раствора двукратно. Он имел слегка сероватый оттенок, т. пл.  $57,5^\circ\text{C}$ . Смеси готовились по весу в ампулах, которые затем наполнялись азотом (во избежание окисления при их нагревании) и запаивались.

После смешивания компонентов смеси разогревались, особенно сильно растворы, содержащие от 30 до 60 мол. % *n*-анизидина, и темнели. В первый день они представляли собой жидкость, вязкость которой возрастала при приближении к составу 1 : 1. Через три дня полностью закристаллизовались все смеси, содержащие от 30 до 60 мол. % *n*-анизидина. В остальных смесях выпали кристаллы, за исключением смеси с 10 мол. % *n*-анизидина.

Это указывает, что между компонентами системы происходит энергичное химическое взаимодействие. Качественными реакциями (как это мы делали в наших предыдущих работах) нам удалось обнаружить ион  $\text{SCN}^-$  во всех смесях системы. В связи с этим мы определили концентрацию

$N^-$  в зависимости от состава смесей системы колориметрическим методом [1]. В таблице приведены результаты этих измерений.

Наличие ионов  $SCN^-$  в смесях изучаемой системы указывает, что эти смеси должны проводить электрический ток. Это и подтверждается опытами (таблица).

Содержание мол. % n-анизида	Концентрация $SCN^-$		$\chi_{60^\circ} \cdot 10^3$		$\eta_{\text{вн.}}$ , пуазы		$\chi\eta \cdot 10^3$ до нагрева
	до нагрева	после нагрева	до нагрева	после нагрева	до нагрева	после нагрева	
10	0,8	13,5	1,14	0,754	0,057	0,036	0,042
20	2,1	17,5	1,23	0,545	0,051	0,137	0,063
30	4,1	13,5	0,770	0,411	0,083	0,094	0,064
33	5,6	13,6	0,529	0,337	0,206	0,231	0,109
40	6,1	11,5	0,213	0,110	0,236	—	0,050
47	4,8	—	0,401	0,035	1,212	—	0,486
50	5,3	5,7	0,467	—	0,984	—	0,460
53	5,4	4,1	0,652	—	0,702	0,679	0,458
60	4,1	2,9	1,30	0,120	0,218	0,273	0,282
70	3,1	1,3	1,86	0,169	0,088	0,213	0,164
80	1,0	—	1,98	0,233	0,046	0,044	0,090
90	—	—	1,51	0,190	0,024	—	0,036

Удельная электропроводность растворов при  $60 \pm 0,5^\circ$  была измерена обычным образом в сосуде закрытого типа с гладкими платиновыми электродами.

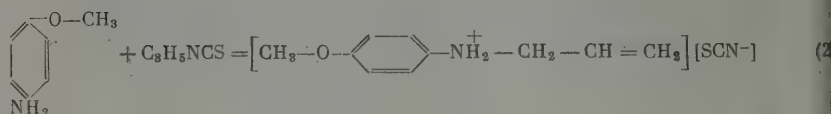
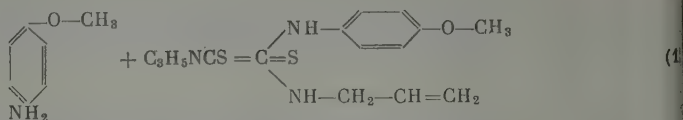
Из таблицы видно, что величина удельной электропроводности имеет минимальные значения, что, как известно [2], характерно для рациональных, проводящих ток систем, компоненты которых не проводят ток и не реагируют между собой [3]. На глубокое химическое взаимодействие компонентов системы указывают также измерения вязкости, результаты которых приведены в таблице.

Если использовать полученные нами данные по вязкости и электропроводности и рассчитать исправленную (приведенную) электропроводность, т.е.  $\chi\eta$ , то мы увидим симбатное изменение этой величины с концентрацией  $SCN^-$  в зависимости от состава смесей. Это указывает на то, что электропроводность смесей системы обусловлена образовавшимся в результате реакции соединением, анионом которого является  $SCN^-$ , поскольку компоненты системы ни в чистом виде, ни в смесях не являются электролитами [2]. С целью выяснения влияния нагрева на свойства смесей изучаемой нами системы, мы подвергли их нагреванию при  $100 \pm 5^\circ$  в течение час., после чего вновь определили концентрацию ионов  $SCN^-$ , удельную электропроводность и вязкость. Все полученные данные включены в таблицу. Как и следовало ожидать на основании наших прежних исследований [1], концентрация  $SCN^-$  в смесях с избытком аллилового горчичного масла после нагревания значительно возросла, достигая в отдельных случаях 17,5%. Это свидетельствует о том, что при нагревании реакция протекает в сторону образования соединения, анионом которого является  $SCN^-$ , причем реакция протекает лучше при избытке аллилового горчичного масла. Этим и объясняется то обстоятельство, что максимальная концентрация  $SCN^-$  после нагрева смещается в сторону масла. Вязкость растворов системы после нагрева также резко возрастает (и сдвигается в сторону масла), из-за чего удельная электропроводность уменьшается.

Все вышеприведенные измерения, а также некоторые другие данные, которые будут приведены ниже, дают нам основание считать, что при смешивании аллилового горчичного масла с n-анизидином протекают две параллельные реакции, приводящие к образованию замещенной тиомочевинны (1) и роданистоводородного аллил-n-анизида (2), являющегося



электролитом:



Первая реакция является основной. Так, в эквимольной смеси продукт первой реакции составляет 94,7%. Побочная реакция усиливается лишь при нагревании в смесях с избытком аллилового горчичного масла. Мы задались целью выделить эти продукты реакции в чистом виде. Для этого из трех полностью затвердевших смесей, содержащих 47, 50, 53 мол. % *n*-анизидина, т. е. близких по соотношению компонентов к 1 : 1 мы выделили кристаллическое вещество путем промывки смесей 90% этиловым спиртом. Полученное кристаллическое вещество было подвергнуто двукратной перекристаллизации из спиртового раствора. Оно имело т. пл.  $170 \pm 1^\circ \text{C}$ . Молекулярный вес вещества, определенный криоскопическим методом в диоксановом растворителе, равен 223,3. Молекулярный вес аллил-*n*-анизидилтиомочевин равен 222.

Для выделения другого продукта реакции — роданистоводородного аллил-*n*-анизидина, мы, как и в наших предыдущих работах, воспользовались тем, что в горячей воде он растворяется значительно лучше, чем аллил-*n*-анизидил-тиомочевина. Экстрагированием горячей водой из всех смесей системы мы извлекли интересующее нас вещество. Отогнав воду под вакуумом ( $p = 10-20$  мм рт. ст.), нам удалось получить вязкую бурого цвета жидкость с содержанием более 60% роданистоводородного аллил-*n*-анизидина (последний определялся колориметрическим методом по концентрации  $\text{SCN}^-$  [1]). Остальные 40% приходятся на аллил-*n*-анизидил-тиомочевину, которая также частично растворяется и переходит в водный раствор.

Полученную указанным способом вязкую жидкость мы подвергли электролизу в приборе, описанном в одной из наших работ [1]. Условия электролиза те же. При этом наблюдались следующие явления у электродов.

У анода выделялся кислород в количестве, несколько раз меньше, чем следовало ожидать, зная количество пропущенного электричества. Это свидетельствует о том, что часть выделяющегося кислорода расходуется на окисление продукта электролиза.

Анолит во время электролиза остается бесцветным, но дает положительную реакцию на  $\text{SCN}^-$ , причем интенсивность реакции с хлорным железом возрастает по мере протекания электролиза. В конце электролиза анолит дает положительную реакцию также и на ион  $\text{SO}_4^{2-}$  (с  $\text{BaCl}_2$ ). После нейтрализации анолита  $\text{KOH}$  и выпаривания воды нам удалось выделить в кристаллическом виде как  $\text{KCNS}$ , так и  $\text{K}_2\text{SO}_4$ .

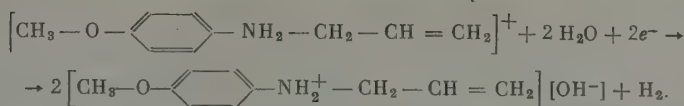
У катода выделялся водород в количестве, эквивалентном количеству пропущенного электричества. Католит по мере протекания электролиза желтел, давал интенсивную характерную окраску с фенолфталеином ( $\text{pH} > 10$ ) и титровался кислотой.

Результаты электролиза дают нам основание считать, что у электродов протекают следующие электрохимические реакции:

у анода:



катода:



Это подтверждает предложенную нами выше схему химического взаимодействия между компонентами системы.

### Выводы

1. Методами физико-химического анализа изучена система аллиловое орчичное масло — *n*-анизидин.
2. Установлено, что в системе, наряду с протеканием основной реакции, приводящей к образованию аллил-*n*-анизидил-тиомочевины, получается роданистоводородный аллил-*n*-анизидин, который является электролитом.

Львовский медицинский  
институт

Поступила  
9.I.1958

### ЛИТЕРАТУРА

- С. П. Мискиджьян, Ж. общ. химии, 26, 1046, 1956; 27, 1755, 1957; С. П. Мискиджьян и Ф. Н. Козленко, Сообщ. ВХО им. Менделеева, вып. 1, 37, 1953.  
Н. А. Трифонов, Изв. Пермск. биол. научно-иссл. ин-та, 7, 343, 1931.  
Н. С. Курнаков, Собр. избр. работ, т. 1, Изд-во АН СССР, 1938, стр. 25.

## ELECTROLYTIC DISSOCIATION IN NON-AQUEOUS SOLUTIONS

### IX. THE SYSTEM *p*-ANISIDINE — ALLYLIC MUSTARD OIL

*S. P. Miskidzh'yan (Lvov)*

#### Summary

The system allylic mustard oil—*p*-anisidine has been studied with the aid of methods of physico-chemical analysis. It has been established that two parallel reactions take place in the system, leading to the formation of allyl-*p*-anisidyl-thiourea and allyl-*p*-anisidine rhodanate, which is an electrolyte.

On the basis of the electrolysis of allyl-*p*-anisidine rhodanate a mechanism has been advanced of its electrolytic dissociation.

# ИССЛЕДОВАНИЕ РАВНОВЕСИЯ $\text{ClO}_{2p-p} + e \rightleftharpoons \text{ClO}_{2p-p}^-$ В ВОДНЫХ РАСТВОРАХ ПРИ РАЗЛИЧНЫХ ТЕМПЕРАТУРАХ

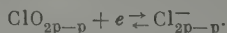
*Н. В. Троицкая, К. П. Мищенко и И. Е. Флис*

Известно, что  $\text{ClO}_2$  и хлориты находят широкое применение в качестве окислителей.

Было установлено [1, 2], что при их воздействии на растительные и древесные волокна происходит разрушение лигнина, красящих веществ и окисление конечных полуацетальных и гидроксильных групп макромолекул клетчатки. При этом глюканидные связи внутри отдельных молекул не разрушаются. Следовательно, в данном случае окислительные процессы не сопровождаются деструкцией волокна, которое в связи с этим не теряет механической прочности и приобретает ценные химические и физико-химические свойства [4—5].

Вышеуказанное обстоятельство явилось причиной того, что растворы  $\text{ClO}_2$  и хлоритов получили всеобщее признание как новое bleaching средство в целлюлознобумажном производстве и текстильной промышленности.

Обычно процесс отбелики производится в слабокислой среде [3], где имеет место равновесие:



В связи с этим изучение его может явиться одной из ступеней на пути к термодинамической характеристике процессов окисления в растворах хлорита и двуокиси хлора. Кроме того, равновесие (1) в сочетании с другими может быть применено для термодинамической характеристики и других процессов с участием двуокиси хлора или хлоритов в растворе.

В литературе опубликовано несколько исследований окислительных потенциалов растворов хлоритов и  $\text{ClO}_2$ .

Так, например, Холст [6] измерял окислительные потенциалы в забуференных растворах, полученных сливанием растворов хлорита натрия и  $\text{ClO}_2$  при  $18 \pm 20^\circ \text{C}$ . Значения pH были: 3,98; 5,01; 6,81. Автор нашел, что окислительно-восстановительному равновесию, имеющему место в растворе, соответствует нормальный окислительный потенциал, равный 0,95 V. Значения  $\varphi_{\text{ClO}_2/\text{ClO}_2^-}$ , данные Холстом, по-видимому, не вполне соответствуют равновесному состоянию, так как при их вычислении концентрации  $\text{ClO}_2$  и  $\text{NaClO}_2$  в растворе не определялись, а подсчитывались из соотношения объемов сливаемых растворов.

Позднее И. Е. Флис совместно с Т. М. Васильевой [7] провели измерения окислительных потенциалов при  $25^\circ \text{C}$  в растворах хлоритов в широких пределах pH.

Зависимость между окислительным потенциалом и pH, найденная этими авторами, в различных интервалах pH подчинена различным закономерностям. Было показано, что в области  $\text{pH} = 4-6$  окислительный потенциал сравнительно мало зависит от активной кислотности среды. Подкисление раствора хлорита сопровождается накоплением  $\text{ClO}_2$ , и, по предположению авторов, в зоне pH от 4 до 6 окислительный потенциал определяется равновесием (1).

В работе одного из нас [8] было показано, что потенциал платинового электрода в растворе, содержащем хлорит и двуокись хлора, в слабокислой среде ( $\text{pH} = 6-7$ ) действительно определяется равновесием (1) и обратим.

Из опытных данных И. Е. Флис вычислил нормальный потенциал этого равновесия,  $\varphi_{\text{ClO}_2/\text{ClO}_2^-}$ , который оказался равным при  $25^\circ \text{C}$  0,934 V [8].

Обратимость э. д. с. на платиновом или золотом электродах в слабокислых растворах хлорита и двуокиси хлора, по-видимому, вытекает из работы Холста [6]. Наличие ее предполагается также Додженом и Таубе [9] и Латимером [10].

Основываясь на результатах исследований, выполненных вышеуказанными авторами, мы провели изучение потенциала платинового электрода в растворах хлорита и двуокиси хлора в зоне pH от 4 до 6, считая, что измеренные величины обусловлены равновесием (1). Потенциометрические опыты выполнены при 10, 25, 35 и  $50^\circ \text{C}$ , т. е. в том интервале температур, в котором изучаемые системы наиболее часто применяются в практике.

## Экспериментальная часть

Все измерения потенциалов и рН исследуемого раствора проводились компенсационным методом при помощи потенциометра Рапса, в схему которого была включена электрометрическая усилительная лампа типа П01. Вторым полуэлементом служил насыщенный каломельный электрод. Нужный температурный режим поддерживался в термостатах, куда помещались каломельный электрод и рабочий сосуд с припаянной крышкой и укрепленными в ней стеклянным и платиновым электродами.

Таблица 1

## Результаты опытных определений потенциала равновесия (1)

рН	$C_{\text{ClO}_2} \cdot 10^3$ , моль/л	$\mu \cdot 10^2$	$f_{\text{ClO}_2}$	$a_{\text{ClO}_2} \cdot 10^3$	$\varphi_{\text{оп}}, \text{V}$	$\varphi^\circ_{\text{ClO}_2/\text{ClO}_2}$ , V
$T = 283^\circ \text{K}$						
5,05	6,60	4,131	0,7914	12,36	0,678	0,952
5,05	7,48	5,021	0,7551	14,95	0,670	0,946
5,00	2,64	3,655	0,8024	9,35	0,668	0,952
5,00	5,72	3,296	0,8114	8,03	0,681	0,948
5,00	7,92	2,990	0,8194	7,03	0,692	0,948
5,05	6,60	4,125	0,7914	12,27	0,678	0,952
5,05	6,60	5,059	0,7718	15,87	0,669	0,949
5,50	2,08	3,564	0,8046	8,94	0,663	0,948
5,50	5,40	3,272	0,8119	8,58	0,680	0,950
5,50	7,92	2,949	0,8206	7,22	0,691	0,948
$T = 298^\circ \text{K}$						
4,95	4,28	3,327	0,8106	9,06	0,676	0,941
4,90	1,43	3,566	0,8046	9,95	0,688	0,934
5,00	4,28	4,574	0,7818	12,93	0,662	0,936
4,85	1,43	3,711	0,8011	9,91	0,640	0,935
4,90	3,33	3,525	0,8056	9,29	0,665	0,937
4,95	5,24	3,303	0,8112	8,69	0,681	0,939
5,00	5,24	4,629	0,7805	13,74	0,665	0,935
5,43	1,90	3,699	0,8013	10,05	0,654	0,940
5,43	5,24	3,252	0,8125	8,98	0,682	0,941
5,43	4,76	6,329	0,7485	18,61	0,656	0,937
$T = 308^\circ \text{K}$						
4,72	4,84	3,113	0,8162	8,25	0,668	0,920
4,72	6,16	2,895	0,8231	7,96	0,678	0,922
4,77	7,04	3,835	0,7982	11,41	0,655	0,916
4,77	4,84	4,769	0,7776	16,33	0,650	0,920
5,37	3,04	3,591	0,8039	8,91	0,651	0,917
5,37	5,22	2,842	0,8235	8,86	0,670	0,922
5,37	8,26	3,031	0,8183	7,21	0,682	0,917
5,37	6,96	4,261	0,7883	11,83	0,665	0,917
5,37	6,52	5,393	0,7654	15,98	0,655	0,917
5,37	2,61	3,102	0,8164	9,23	0,651	0,922
$T = 323^\circ \text{K}$						
4,74	9,90	3,733	0,8005	11,70	0,666	0,896
4,74	9,45	4,552	0,7821	15,30	0,654	0,894
4,69	4,05	3,288	0,8116	8,57	0,650	0,896
4,69	6,30	3,093	0,8166	8,26	0,666	0,899
4,69	9,00	2,852	0,8231	7,03	0,676	0,895
4,74	7,20	3,919	0,7962	12,62	0,658	0,899
4,74	6,75	4,772	0,7775	16,44	0,645	0,896
5,34	3,15	3,579	0,8042	9,22	0,645	0,900
5,34	9,00	3,063	0,8175	6,89	0,675	0,894
5,34	7,20	4,336	0,7866	12,12	0,657	0,897



Двуокись хлора была получена путем восстановления хлората калия щавелевой кислотой в присутствии серной кислоты [11].

Сжижением газ очищался от примеси  $\text{CO}_2$  и от возможных примесей хлора и затем при испарении поглощался дистиллированной водой, полученной при двойной перегонке с добавками  $\text{KMnO}_4$ .

Раствор хлорита натрия приготавливался действием  $\text{Na}_2\text{O}_2$  («х. ч.») на водный раствор  $\text{ClO}_2$  [12].

Перед опытом растворы хлорита натрия и  $\text{ClO}_2$  анализировались на содержание ионов:  $\text{ClO}_2^-$ ,  $\text{ClO}^-$ ,  $\text{Cl}^-$ ,  $\text{ClO}_3^-$ ,  $\text{OH}^-$ ,  $\text{HCO}_3^-$ ,  $\text{CO}_3^{2-}$  [13—15]. Исследуемый раствор получался путем сливания определенных объемов растворов  $\text{NaClO}_2$  и  $\text{ClO}_2$ . Для создания необходимого интервала pH раствор подкислялся обычно уксусной кислотой. Было установлено, что последняя практически не взаимодействует ни с  $\text{ClO}_2$ , ни с  $\text{ClO}_2^-$ . Аналогичный вывод вытекает также из литературных данных [16].

В серии потенциометрических опытов измерялись потенциал и pH раствора при одновременном отборе проб для определения концентрации  $\text{ClO}_2$  и хлорита в растворе. На протяжении опыта соотношения  $\text{ClO}_2$  и  $\text{ClO}_2^-$  несколько раз менялись добавками забуференного раствора  $\text{NaClO}_2$  или раствора  $\text{ClO}_2$ ; pH раствора контролировался при помощи стеклянного электрода, который был прокалиброван по ряду буферных растворов с pH, известными с точностью до 0,02. Потенциал платинового сетчатого электрода, погруженного в раствор, в условиях наших опытов при обретае постоянства в течение 2—3 мин.

Нормальный окислительный потенциал системы рассчитывался по формуле:

$$\varphi_{\text{ClO}_2/\text{ClO}_2^-} = \varphi_{\text{ClO}_2/\text{ClO}_2^-}^\circ + 2,303 \frac{RT}{nF} \lg \frac{a_{\text{ClO}_2}}{a_{\text{ClO}_2^-}}.$$

На основании данных анализа вычислялась ионная сила раствора по уравнению Дебая и Гюккеля находился коэффициент активности. Активность иона  $\text{ClO}_2^-$ . Активность  $\text{ClO}_2$  принималась приблизительно равной концентрации, так как последняя в исследуемых растворах невелика.

Результаты измерений и расчетов представлены в табл. 1.

Обработка опытных данных привела к следующим средним значениям нормальных потенциалов равновесия (1) и отвечающих им изменений изобарного потенциала системы:

Таблица 2

T, °K	283	298	306	323
$\varphi_{\text{ClO}_2/\text{ClO}_2^-}^\circ, \text{V}$ $\Delta Z^\circ, \text{ккал/моль}$	$0,949 \pm 0,003$ —21,9	$0,936 \pm 0,003$ —21,6	$0,920 \pm 0,003$ —21,2	$0,897 \pm 0,003$ —20,7

Обработкой экспериментального материала с применением методов наименьших квадратов были получены следующие зависимости  $\varphi_{\text{ClO}_2/\text{ClO}_2^-}^\circ$  и  $\Delta Z^\circ$  от температуры:

$$\varphi_{\text{ClO}_2/\text{ClO}_2^-}^\circ = -5,376 + 0,0613 T - 0,03194 T^2 + 0,00200 T^3 \text{V}, \quad (2)$$

$$\Delta Z^\circ = 124,0 + 0,005 T^2 - 0,05 T^3 - 1,4 T \text{ ккал/моль}. \quad (3)$$

### Выводы

1. Проведены потенциометрические исследования равновесия (1) применением платинового электрода и вычислены нормальные потенциалы его при 10, 25, 35 и 50° С.

2. Зависимости  $\varphi^{\circ}_{\text{ClO}_2/\text{ClO}_2^-}$  и изменения изобарного потенциала исследуемой системы от температуры (интервал  $10 \div 50^\circ$ ) выражаются, соответственно, уравнениями (1) и (2).

Ленинградский технологический институт

Поступила  
10.I.1958

### ЛИТЕРАТУРА

1. E. Schmidt, G. Malyoth, Ber., 57, 1836, 1924.
2. A. Jeanes, S. Isbell, J. Res. Nat. Bur. Standards, 27, 125, 1927.
3. Л. Е. Аким, Л. В. Зырянова, В. Е. Кильки, Г. А. Гладиллина, Тр. Ленинград. технол. ин-та, вып. 3, 3, 1955.
4. W. Pigman, R. Goerr, Chemistry of the Carbon-hydrates, III. V., 1948.
5. E. Hagglund, Chemistry of Wood, 3, Ed., A. P., N. Y., 1951.
6. G. Holst, Svensk papperstidn., 48, 23, 1945.
7. И. Е. Флис, Т. М. Васильева, Тр. Ленинград. технол. ин-та, вып. 4, 149, 1956.
8. И. Е. Флис, Ж. физ. химии, 32, 573, 1958.
9. H. Dodgen, H. Taube, J. Amer. Chem. Soc., 71, 2501, 1949.
10. В. М. Латимер, Окислительные состояния элементов и их потенциалы в водных растворах, ИИЛ, Москва, 1954.
11. E. Schmidt, E. Graumann, Ber., 54, 1861, 1921.
12. G. Levi, Gazz. chim. ital., 52, 56, 1922.
13. И. Е. Флис, М. К. Быняева, Тр. Ленинград. технол. ин-та, вып. 4, 157, 1956.
14. И. Е. Флис, Ж. аналит. химии, 10, 38, 1955.
15. И. Е. Флис, М. К. Быняева, Ж. аналит. химии, 11, 453, 1956.
16. E. Schmidt, F. Duysen, Ber., 54, 3242, 1921.

### INVESTIGATION INTO THE EQUILIBRIUM $\text{ClO}_{2\text{sol}} + e \rightleftharpoons \text{ClO}_{2\text{sol}}^-$ IN AQUEOUS SOLUTIONS AT VARIOUS TEMPERATURES

N. V. Troitskaya, K. P. Mishchenko and I. E. Flis (Leningrad)

#### Summary

Potentiometric investigations have been made of the equilibrium  $\text{ClO}_{2\text{sol}} + e \rightleftharpoons \text{ClO}_{2\text{sol}}^-$  using a platinum electrode, its normal potentials being calculated at 10, 25, 35, 50°. The temperature dependence of  $\varphi^{\circ}_{\text{ClO}_2/\text{ClO}_2^-}$  and  $\Delta Z^{\circ}_{\text{ClO}_2/\text{ClO}_2^-}$  of the system (over the range 10--50°) is expressed by the following equations, respectively:

$$\varphi^{\circ}_{\text{ClO}_2/\text{ClO}_2^-} = -5.376 + 0.0613 T - 0.05194 T^2 + 0.05200 T^3 \quad (2)$$

$$\Delta Z^{\circ}_{\text{Cl}_2\text{O}/\text{ClO}_2^-} = 124.0 + 0.025 T^2 - 0.055 T^3 - 1.4 T \text{ kcal/mole.} \quad (3)$$

## О СТАЦИОНАРНЫХ КОНЦЕНТРАЦИЯХ ОКИСИ АЗОТА В РАЗРЯДЕ

### II. ОПЫТЫ С УЗКОЙ ТРУБКОЙ И ВОЗДУХОМ

*А. Н. Мальцев, Е. Н. Еремин и И. Н. Воробьева*

В статье Е. Н. Еремина и А. Н. Мальцева [1] изложены результаты исследования зависимости стационарных концентраций окиси азота  $[\% \text{NO}]_{\infty}$  при синтезе ее из воздуха в тлеющем разряде от силы тока при разных давлениях в широком сосуде.

В настоящей работе изучена та же зависимость  $[\% \text{NO}]_{\infty}$  при давлениях между 50 и 300 мм рт. ст. для воздуха в узком реакторе.

### Экспериментальная часть

Синтез окиси азота в разряде производился в циркуляционной установке, описанной ранее [1]. Электрическая схема и методика работы были аналогичны тем, которые приведены в статье [1]. Реактор (рис. 1) представлял собой кварцевую трубку

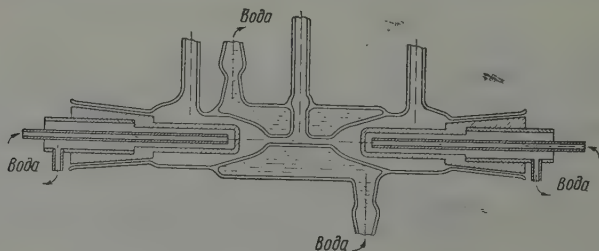


Рис. 1. Продольный разрез реактора

с электродами из нержавеющей стали, посаженными на шлифах. Диаметр трубки в зоне горения разряда был равен 3 мм; длина узкой части — 32 мм, расстояние между электродами 60 мм. При циркуляции во время опыта газ входил в трубку с двух сторон в широкие околоэлектродные пространства и покидал ее через отросток в середине зоны разряда.

**Результаты опытов.** На рис. 2 (кривые 1—4) даны экспериментальные кривые зависимости стационарной концентрации окиси азота от силы тока для давлений 50, 100, 200 и 300 мм рт. ст. Из рисунка видно, что существуют два типа зависимости  $[\% \text{NO}]_{\infty}$  от силы тока: 1) при давлениях 50 и 100 мм рт. ст. (кривые 1 и 2) стационарная концентрация окиси азота сначала растет, затем, по-видимому, стремится к пределу; 2) при давлениях 200 и 300 мм рт. ст. (кривые 3 и 4) после резкого возрастания  $[\% \text{NO}]_{\infty}$  проходит через максимум.

На том же рисунке (кривые 5—8) приведена для сравнения зависимость  $[\% \text{NO}]_{\infty}$  — сила тока для широкого реактора. Как видно из рисунка, общий характер кривых  $[\% \text{NO}]_{\infty}$  —  $i$  для узкого и широкого реакторов одинаков.

Различие, однако, состоит, во-первых, в том, что в узкой трубке как предельные, так и максимальные концентрации значительно (примерно

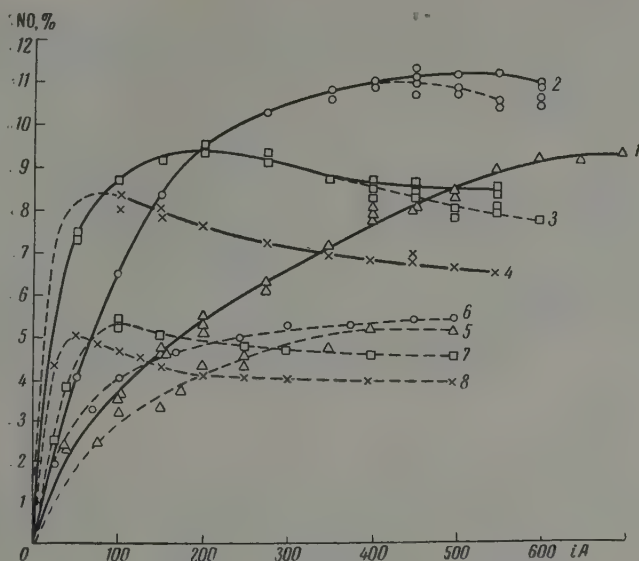


Рис. 2. Зависимость стационарной концентрации окиси азота от силы тока. Для узкой трубки: 1 — 50 мм рт. ст.; 2 — 100 мм рт. ст.; 3 — 200 мм рт. ст.; 4 — 300 мм рт. ст. Кривые 5, 6, 7 и 8 относятся к широкому сосуду. Кривая 1 не может быть продолжена в сторону больших сил тока, а кривая 4 — в сторону меньших вследствие ограниченности технических возможностей установки

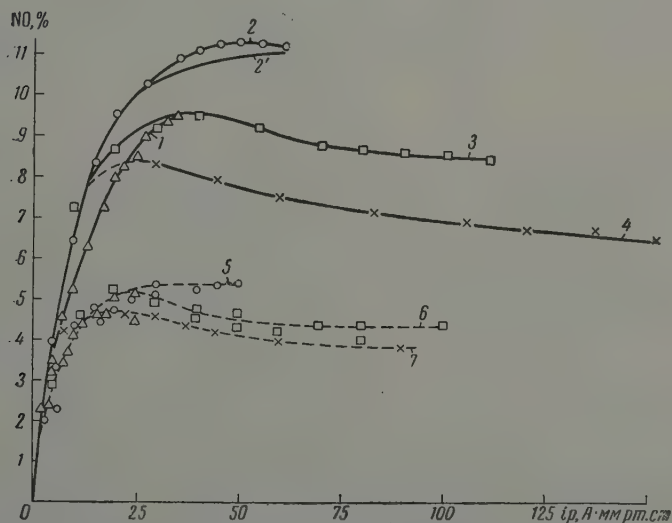


Рис. 3. Зависимость стационарной концентрации окиси азота от переменной  $i p$ . Нумерация кривых соответствует рис. 2. Кривая 2' вычислена по формуле (1) со значением констант:  $a = 0,794$  и  $b = 0,00494$ . Кривые 5, 6 и 7 относятся к широкому сосуду



вдвое) превышают концентрации, достигавшиеся в широком сосуде. При этом концентрация окиси азота, равная 11,3%, полученная при 100 мм рт. ст., значительно больше когда-либо достигавшихся концентраций NO при

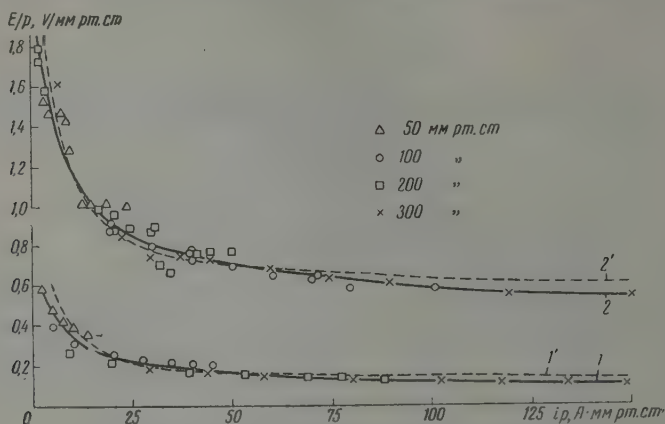


Рис. 4. Зависимость относительного градиента потенциала  $E/p$  ( $V/mm \cdot mm$  рт. ст.) от переменной  $ip$  ( $A \cdot mm$  рт. ст.): 1 — опытная кривая для узкого реактора; 1' — вычисленная кривая по формуле (1) со значением констант  $C = 0,12 V/mm \cdot mm$  рт. ст. и  $d = 2,38 V \cdot A/mm$ . Кривые 2 и 2' — опытная и вычисленная по формуле (1) для широкого сосуда

прямом синтезе ее из воздуха. Во-вторых, максимумы при 200 и 300 мм рт. ст. в случае узкого реактора не достигают предельной концентрации

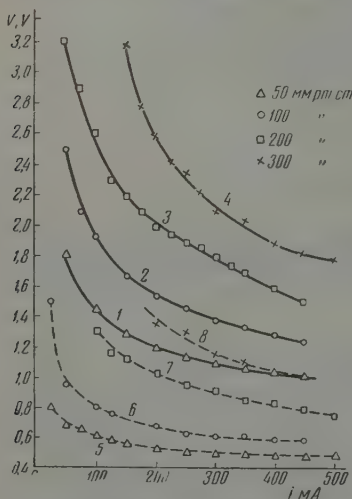


Рис. 5. Вольтамперные характеристики:  $V$  (KV) от  $i$  (mA) для воздуха: 1, 2, 3 и 4 получены для узкой трубки; 5, 6, 7 и 8 — для широкого сосуда

окси азота, устанавливающейся при более низких давлениях, как это приблизительно имеет место в широком реакторе (рис. 2, кривые 5—8). Это, по-видимому, связано с причинами, проявляющимися дополнительно в условиях больших давлений и сил тока и, как указывалось ранее [1], ведущими к появлению в этих условиях максимумов концентраций.

Более общий характер зависимости между стационарной концентрацией окиси азота и электрическими характеристиками разряда можно наблюдать, если рассмотреть  $[\%NO]_{\infty}$  как функцию произведения силы тока на давление ( $ip$ ). Такая связь между  $[\%NO]_{\infty}$  и  $ip$  была впервые установлена Е. Н. Ереминым и Б. Г. Людковской [2].

В нашей работе также наблюдается такая зависимость. Откладывая на ординате  $[\%NO]_{\infty}$ , а на абсциссе значение  $ip$  мы получили, как это видно на рис. 3, при малых  $ip$  довольно близкое совпадение кривых для всех давлений, как было раньше найдено Е. Н. Ереминым и А. Н. Мальцевым [1] для воздуха в широком реакторе. Затем, по мере роста  $ip$ , кривые расходятся и при больших  $ip$  идут почти параллельно.

ельно оси абсцисс, т. е. % NO, начиная с некоторых значений  $i_p$ , меняется мало (кривые 2, 3, 4, на рис. 3).

Для сравнения на том же рис. 3 (кривые 5 — 7) дана зависимость % NO —  $i_p$  для воздуха в широком сосуде, взятая из работы [1]. Произведение  $i_p$  (сила тока  $\times$  давление), как показано в [1], непосредственно связано с электрическими характеристиками разряда.

На рис. 4 дана зависимость отношения напряжения горения разряда вольтах к длине разрядного промежутка (миллиметры) и давлению (мм рт. ст.) от  $i_p$ . При относительно больших давлениях, с которыми мы работали, эту величину можно отождествить со средним градиентом потенциала в столбе разряда  $E/p$ . Для всех изученных давлений, как видно на рис. 4, кривая 1 сначала резко падает с увеличением  $i_p$ , а затем переходит в почти горизонтальную прямую. Опытная кривая может быть описана эмпирической формулой, предложенной в [1]:

$$\frac{E}{p} = C + \frac{d}{i_p}, \quad (1)$$

где  $C = 0,12$  В/мм·мм рт. ст. и  $d = 2,38$  В·А/мм. На этом же рисунке дана опытная кривая  $E/p$  —  $i_p$  (кривая 2) для воздуха в широком сосуде [1], которая передается той же формулой с константами  $C = 0,575$  В/мм·мм рт. ст. и  $d = 6,25$  В·А/мм (кривая 2).

Как видно из рисунка, характер зависимости  $E/p$  —  $i_p$  одинаков в обоих случаях. Вместе с тем кривая для узкого сосуда лежит значительно ниже кривой для широкого сосуда. Относительные продольные градиенты потенциала в узком сосуде приблизительно в четыре раза меньше, чем в широком. Кривые рис. 4 получены на основе вольтамперных характеристик разряда, снятых для всех изученных давлений. Напряжение горения разряда измерялось вольтметрами С-95 и С-96 и сравнивалось с показаниями, полученными при помощи измерительных трансформаторов НОМ-6 и НОМ-10. Показания различных приборов совпадали вполне удовлетворительно. На рис. 5 даны вольтамперные характеристики для воздуха в узком (кривые 1—4) и широком сосудах (кривые 5—8). Типичный характер падающих вольтамперных характеристик сохраняется в обоих случаях.

### Обсуждение результатов

Согласно ранее выполненным расчетам [3] максимальная термодинамически равновесная концентрация окиси азота в воздухе при 50 мм рт. ст. равна 3,18 объем.%, а при 100 мм рт. ст. лишь на несколько десятых процента больше. Таким образом, предельная концентрация окиси азота 11,3%, полученная нами при 100 мм, более чем в три раза превышает максимально возможную равновесную, а это безусловно доказывает нетермический характер активации реакции. В то же время она в два раза выше наибольшей предельной концентрации окиси азота, полученной в широком сосуде (5,5%) [1].

В связи с качественным сходством зависимостей  $[\% \text{NO}]_\infty$  от силы тока и переменной  $i_p$ , полученных для широкого и узкого сосудов, мы можем, используя аргументацию первой статьи [1], считать, что прохождение кривых через максимумы при более высоких давлениях связано с причинами, появляющимися дополнительно в этих условиях при больших силах тока. Эти причины, возможно, связаны с повышенной температурой газа, развивающейся при больших давлениях и силах тока и усиливающей разложение окиси азота. В самом деле, по данным работы [4] гетерогенное (на кварце) разложение окиси азота становится заметным при 500° С, а гомогенное — при 800° С. В условиях больших давлений и сил тока в наших опытах такие температуры вполне реальны. С дру-

гой стороны, кривая 2 рис. 2, относящаяся к 50 мм рт. ст., стремится, по-видимому, к тому же пределу, что и кривая 2, полученная при 100 мм. Поэтому, так же как и в первой статье, мы можем предположить, что при отсутствии упомянутых выше дополнительных причин зависимость стационарной концентрации окиси азота от  $ip$  выражалось бы одной кривой, стремящейся для всех давлений к пределу 11,3%. Строго говоря, это не совсем так; функции от  $ip$  для 50 и 100 мм (кривые 1 и 2 рис. 3) не совпадают точно, но все же они расположены несравненно ближе друг к другу, чем кривые 1 и 2 (рис. 2), представляющие зависимость  $[\%NO]_{\infty}$  просто от силы тока. Иными словами, мы полагаем, что первоначально, т. е. при малых  $ip$  процессы образования и разложения окиси азота обусловлены чисто «электрическими причинами» без наложения процессов термического характера. В этой области концентрации NO как в широком сосуде, так и в узкой трубке является приблизительно однозначной функцией от  $ip$ . Как показано в статье [1], эту функцию можно представить в виде

$$[\%NO]_{\infty} = \frac{a[ip]}{[1 + b(ip)^2]^{1/2}}, \quad (2)$$

где  $a$  и  $b$  — постоянные. Расчеты показывают, что кривую 2 рис. 3 можно с удовлетворительной точностью вычислить по соотношению (2), полагая  $a = 0,794$  и  $b = 0,00494$ , т. е. при константе  $a$ , в точности совпадающей с найденной для широкого сосуда, и при константе  $b$ , в 4,24 раза меньшей соответствующего значения для широкого сосуда. Вычисленная кривая 2'' на рис. 3 лишь при  $ip = 30$ —55 несколько расходится с опытной.

В соответствии с кинетическим уравнением для реакции окисления азота в разряде

$$\%NO = \frac{k_0}{k_1}(1 - e^{-k_1 t}),$$

полученном в одной из прежних работ [5], стационарная концентрация  $[\%NO]_{\infty} = k_0/k_1$ , где  $k_0$  — обобщенная константа образования окиси азота,  $k_1$  — константа первого порядка разложения. Следовательно,

$$\frac{a(ip)}{[1 + b(ip)^2]^{1/2}} = \frac{k_0}{k_1},$$

или

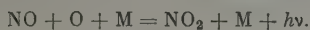
$$k_0 = \theta a(ip) \text{ и } k_1 = \theta [1 + b(ip)^2]^{1/2},$$

где  $\theta$  — коэффициент пропорциональности, который, вообще говоря, может быть различен для узкой трубки и широкого сосуда. Отметив величины, относящиеся к узкой трубке штрихом и приняв во внимание, что  $a' = a$ , получим для отношения констант в обоих случаях:

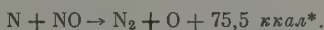
$$\frac{k'_0}{k_0} = \frac{\theta'}{\theta}; \quad \frac{k'_1}{k_1} = \frac{\theta'}{\theta} \frac{[1 + b'(ip)^2]^{1/2}}{[1 + b(ip)^2]^{1/2}} \xrightarrow{(ip) \rightarrow \infty} \frac{\theta'}{\theta} \left[ \frac{b'}{b} \right]^{1/2}.$$

Есть основания полагать, что  $\theta'/\theta > 1$ . Поэтому, если  $k'_0/k_0$  при переходе от широкой трубки к узкой увеличится в  $\theta'/\theta$  раз, то  $k'_1/k_1$  увеличится, вообще говоря, в меньшее число раз, а именно в пределе (т. е. при  $ip \rightarrow \infty$ ) в  $\frac{\theta'}{\theta} \left[ \frac{b'}{b} \right]^{1/2}$  раз. Таким образом, что непосредственную причину увеличения стационарных концентраций в узкой трубке можно видеть в относительно менее интенсивном протекании реакции разложения окиси азота, связанной, возможно, с действием непосредственно прилегающей к зоне разряда кварцевой поверхности. Каков же механизм действия поверхности? Для ответа на этот вопрос следует напомнить, что в ши-

ком сосуде зона разряда, размеры которой зависят от силы тока и давления, окружена диффузной областью желто-зеленого свечения, являющегося, как показали А. Л. Шнеерсон и Е. Н. Еремин [6], хемилуминесценцией реакции окисления азота атомным кислородом:



Следовательно, в околоразрядной области несомненно наличие значительных концентраций атомов кислорода, которые могут инициировать цепное разложение окиси азота:



Подобный механизм был предположен Вайзе и Фречем [4] для термической реакции разложения NO. В данном случае, однако, различие состоит в том, что атомный кислород образуется в разряде и диффундирует в околоразрядные области. С этой точки зрения может быть понятна и роль стенки узкой трубки, препятствующей развитию диффузных областей и обрывающей цепное разложение окиси азота вне разряда.

В заключение остановимся на факте наличия в узкой трубке значительных меньших относительных градиентов потенциала по сравнению с широким сосудом (рис. 4). Этот факт представляется, на первый взгляд, несколько удивительным, так как обычно считается, что уменьшение радиуса трубки ведет к увеличению  $E/p$  вследствие возрастающей потери заряженных частиц на стенках. В нашем случае, однако, сравниваются не узкая трубка, а широкий сосуд, в котором разряд горит в виде свободного пламени, с узкой трубкой. В сосуде, содержащем в средней своей части пламя разряда, очевидно, возникают интенсивные конвекционные токи газа, продувающие разряд и ведущие к потере заряженных частиц и к гашению разряда. Кроме того, в свободно горящем пламени амбипольная диффузия заряженных частиц ничем не ограничена, они как бы расползаются в разные стороны, и для сосредоточения их на электродах, что необходимо для поддержания тока, требуются повышенные градиенты потенциала.

При больших силах тока (450—600 ма) в некоторых опытах обнаруживали снижение  $[\% \text{NO}]_\infty$ . Так из рис. 2 видно, что при значительных силах тока кривые 2, 3 разветвляются. Можно отметить, что низкие ветви этих кривых соответствуют  $[\% \text{NO}]_\infty$ , полученным в опытах, когда стенки реактора были заметно покрыты, по-видимому, окислами железа за счет распыления электродов. Возможно, что эти факты связаны между собой.

### Выводы

1. В продолжение прежней работы [1] изучена зависимость стационарных концентраций окиси азота от силы тока при давлениях 50, 100, 200, 300 мм рт. ст. при синтезе ее из воздуха в электрическом разряде в узкой трубке ( $d = 3$  мм).
2. Подтверждены ранее найденные зависимости  $[\% \text{NO}]_\infty$  от произведения силы тока на давление.
3. Показано, что  $[\% \text{NO}]_\infty$  в узкой трубке примерно в два раза выше, чем в широком сосуде, что, вероятно, связано с относительно меньшей скоростью разложения окиси азота.
4. Достигнута стационарная концентрация окиси азота, равная 1,3 объемн. %, превышающая все ранее получавшиеся при синтезе NO из воздуха.

\* Здесь приняты энергии диссоциации  $\text{N}_2$  и NO, равные соответственно 225,2 и 149,7 ккал/моль.



5. Показано, что относительные продольные градиенты потенциалов в узкой трубке примерно в четыре раза ниже, чем в широком сосуде.

6. Результат обсужден с точки зрения цепного разложения окиси азота.

Московский государственный  
университет им. М. В. Ломоносова

Поступила  
10.I.1958

#### ЛИТЕРАТУРА

1. Е. Н. Еремин и А. Н. Мальцев, Ж. физ. химии, 30, 1616, 1956.
2. Е. Н. Еремин и Б. Г. Людковская, Тр. ГИАП, 2, 98, 1953.
3. Е. Н. Еремин и А. Н. Мальцев, Ж. физ. химии, 30, 1179, 1956.
4. H. Wise, F. Fresh, J. Chem. Phys., 20, 1724, 1952.
5. С. С. Васильев, Н. И. Робозев и Е. Н. Еремин, Ж. физ. химии, 7, 619, 1936.
6. А. Л. Шнейерсон и Е. Н. Еремин, Ж. физ. химии, 26, 1493, 1952.

### ON THE STEADY STATE CONCENTRATIONS OF NITROGEN OXIDE IN DISCHARGE

#### II. EXPERIMENTS WITH A NARROW TUBE AND AIR

*A. N. Mal'tsev, E. N. Eremin and I. N. Vorob'eva (Moscow)*

#### Summary

In continuation of the previous work (1) the dependence of the stationary concentrations of nitrogen oxide  $[\% \text{ NO}]_{\infty}$  on the current strength has been studied at pressures 50, 100, 200 and 300 mm Hg on synthesis of the oxide from air in the electrical discharge in a narrow tube ( $d = 3 \text{ mm}$ ).

The previously found relation between  $[\% \text{ NO}]_{\infty}$  and the product of the current strength and the pressure ( $ip$ ) has been confirmed.

It has been shown that  $[\% \text{ NO}]_{\infty}$  in a narrow tube is about twice as high as in a wide vessel, which is evidently associated with the relatively lower rate of decomposition of the nitrogen oxide.

A stationary concentration of nitrogen oxide equal to 11.3% per volume has been achieved, surpassing all results previously obtained on the synthesis of NO from air.

The relative longitudinal potential gradients in a narrow tube have been shown to be four times as low as in a wide container.

The results have been discussed from the standpoint of the chain decomposition of nitrogen oxide.

# ПЕРЕНАПРЯЖЕНИЕ КАТОДНОГО ВОССТАНОВЛЕНИЯ КИСЛОРОДА И ЭНЕРГИЯ АКТИВАЦИИ СООТВЕТСТВУЮЩИХ ЭЛЕКТРОХИМИЧЕСКИХ ПРОЦЕССОВ

А. У. Акопян

Изучением перенапряжения катодного восстановления кислорода на различных металлах занимались многие исследователи [1—10], однако механизм этого важного процесса еще полностью не выяснен.

Процесс катодного восстановления кислорода протекает на ряде электродов в две стадии [1, 8, 9], которые могут быть изучены в отдельности. В кислой среде этими стадиями будут



а в щелочной среде суммируя реакцию



В щелочной среде:



а в сумме



В предшествовавших работах перенапряжение катодного восстановления кислорода в большинстве случаев изучалось лишь при комнатной температуре, поэтому имеющиеся данные не позволяют определить энергию активации и предэкспоненциальный множитель для данной реакции. Ниже излагаются результаты измерений перенапряжения катодного восстановления кислорода на ртутном, платиновом, золотом и серебряном электродах в кислой и щелочной средах при различных температурах\*.

## Экспериментальная часть

Для исследования перенапряжения катодного восстановления кислорода служила установка, представленная на рис. 1.

Для создания разных температур система термостатировалась. Колебания температуры не превышали  $\pm 0,1^\circ\text{C}$ . Сила поляризационного тока регулировалась реостатом и отсчитывалась при помощи микро- и миллиамперметров.

Измерение потенциалов электродов производилось по обычной компенсационной схеме с высокосомным потенциометром постоянного тока типа ППТ-1. Нуль-инструмент служил стрелочный гальванометр, а для контроля использовался зеркальный гальванометр.

Для приготовления ртутного электрода ртуть подвергалась двукратной перегонке. Поверхность ртутного электрода составляла  $5\text{ см}^2$ . Поверхности электродов платины, серебра и золота составляли по  $2,5\text{ см}^2$ . Золотой электрод готовился анодированием серебряной пластины, гальваническим путем (толщина слоя  $0,01\text{ мм}$ ).

\* Опыты со свинцовым катодом не дали воспроизводимых результатов из-за быстрого окисления электрода.

Измерения производились в водных растворах 1,0158 N  $\text{H}_2\text{SO}_4$  и 1N NaOH. Электродом сравнения для кислой среды служил сернокислый ртутный электрод  $\text{Hg}_2\text{SO}_4 - \text{Hg}$ , а для щелочной — оксидорту́тный электрод  $\text{HgO} - \text{Hg}$ . Во избежание возникновения диффузионных и термодиффузионных потенциалов электрод сравнения содержал тот же раствор, что и поляризационная ячейка и имел ту же температуру. Измерения потенциалов катодов производились при 0,20, 40 и 60° С в атмосфере чистого кислорода, который поступал из электролизера при давлении 1 атм. Для проверки воспроизводимости каждый опыт повторялся не менее трех раз, и при сопоставлении результатов использовался результат первого измерения. В щелочной среде наблюдалась лучшая воспроизводимость, чем в кислой. Растворы готовились из химически чистых реактивов.

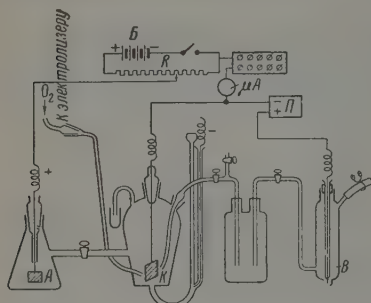
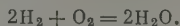


Рис. 1. Установка для измерения перенапряжения катодного восстановления кислорода

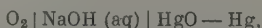
Для вычисления величины перенапряжения из результатов измерений в растворе 1,0158 N  $\text{H}_2\text{SO}_4$  были использованы данные по э. д. с. цепи [14]



в сочетании с термодинамическими данными [12] для реакции



Для вычислений значений перенапряжения в растворе 1N NaOH были использованы данные по э. д. с. цепи



которые были определены из термодинамических данных [12] для реакции

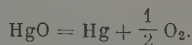
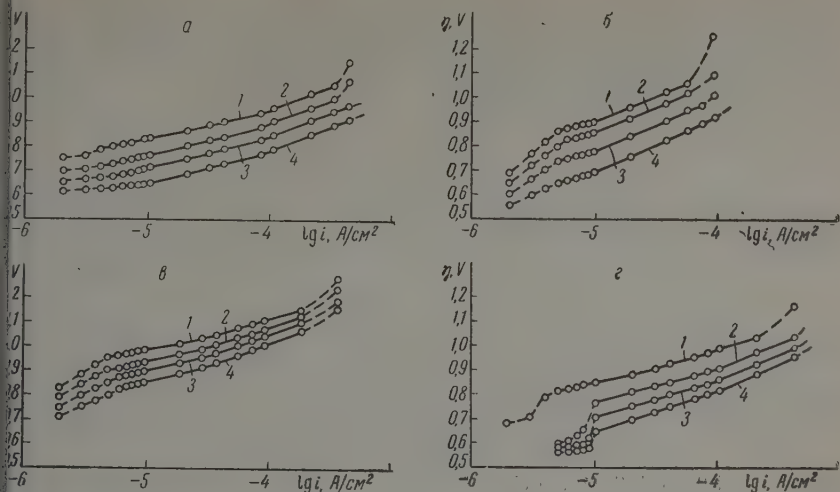


Таблица 1

Электроды	1,0158 N $\text{H}_2\text{SO}_4$				1 N NaOH			
	0	20	40	60° С	0	20	40	60° С
Первый участок								
Ртуть	1,500	1,475	1,450	1,425	0,530	0,525	0,520	0,515
Платина	1,455	1,430	1,400	1,370	0,475	0,470	0,465	0,460
Золото	1,400	1,370	1,340	1,320	0,550	0,540	0,535	0,530
Серебро	1,500	1,470	1,440	1,420	0,550	0,540	0,535	0,530
Второй участок								
Ртуть	1,890	1,875	1,850	1,830	0,700	0,675	0,650	0,630
Платина	1,650	1,630	1,615	1,600	0,685	0,660	0,640	0,620
Золото	1,670	1,650	1,630	1,615	0,700	0,675	0,650	0,630
Серебро	1,720	1,715	1,710	1,700	0,700	0,675	0,650	0,630



ис. 2. Зависимость перенапряжения катодного восстановления кислорода в 1,0158  $\text{H}_2\text{SO}_4$  от  $\lg i$  на различных электродах: а — Au; б — Hg; в — Ag; г — Pt, и при температурах: 1 — 0; 2 — 20; 3 — 40 и 4 — 60° C

зависимость перенапряжения от логарифма плотности тока показана на ис. 2 для кислой среды и на рис. 3 для щелочной среды.

На кривых рисунков отчетливо видны два участка, в каждом из которых выполняется уравнение Тафеля

$$\eta = a + b \lg i, \quad (8)$$

где  $i$  — плотность тока,  $a$  и  $b$  — постоянные.

В кислой среде первый участок начинается при  $i \approx 5 \cdot 10^{-6} \text{ A/cm}^2$ , а второй — при  $i \approx 5 \cdot 10^{-5} \text{ A/cm}^2$ . В щелочной среде соответственно при  $i \approx 2 \cdot 10^{-6} \text{ A/cm}^2$  и  $i = 2 \cdot 10^{-5} \text{ A/cm}^2$ .

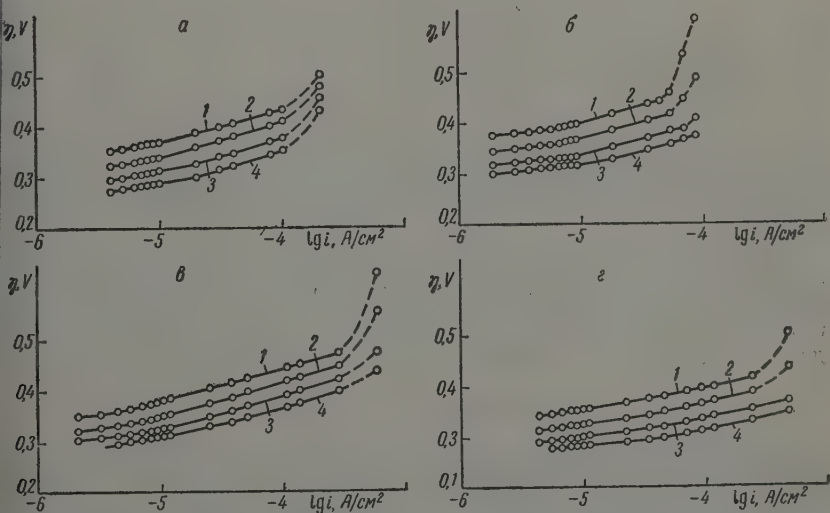


Рис. 3. Зависимость перенапряжения катодного восстановления кислорода в 1 N NaOH от  $\lg i$  при различных температурах и электродах. Обозначения соответствуют рис. 2



Можно принять [1, 8, 9, 13], что первый участок кривых  $\eta$ ,  $\lg i$  отвечает восстановлению кислорода в перекись водорода, т. е. реакциям (1) или (2), а второй реакциям (2) или (5).

В табл. 1 приведены значения  $a$ .

Величины  $b$  и

$$\gamma = 2,303 RT/bF, \quad (9)$$

где  $T$  — абсолютная температура,  $R$  — газовая постоянная,  $F$  — число Фарадея, приведены в табл. 2.

Таблица 2

Электроды	0		20		40		60° C	
	$b$	$\gamma$	$b$	$\gamma$	$b$	$\gamma$	$b$	$\gamma$

1,0158 N H<sub>2</sub>SO<sub>4</sub>, первый участок

Ртуть	0,110	0,49	0,120	0,48	0,130	0,47	0,140	0,47
Платина	0,110	0,49	0,120	0,48	0,130	0,47	0,140	0,47
Золото	0,105	0,51	0,115	0,50	0,123	0,50	0,130	0,50
Серебро	0,105	0,51	0,115	0,50	0,123	0,50	0,130	0,50

## Второй участок

Ртуть	0,240	0,26	0,215	0,26	0,220	0,28	0,230	0,28
Платина	0,170	0,31	0,190	0,30	0,210	0,30	0,220	0,30
Золото	0,180	0,30	0,185	0,31	0,195	0,31	0,210	0,31
Серебро	0,160	0,33	0,170	0,34	0,185	0,33	0,200	0,33

## 1 N NaOH, первый участок

Ртуть	0,027	2,00	0,030	1,93	0,035	1,80	0,037	1,78
Платина	0,027	2,00	0,030	1,93	0,033	1,88	0,035	1,88
Золото	0,029	1,86	0,032	1,81	0,035	1,80	0,037	1,78
Серебро	0,029	1,86	0,032	1,81	0,035	1,80	0,037	1,78

## Второй участок

Ртуть	0,060	0,90	0,065	0,90	0,068	0,91	0,070	0,94
Платина	0,060	0,90	0,063	0,92	0,066	0,93	0,070	0,94
Золото	0,060	0,90	0,065	0,90	0,070	0,89	0,075	0,88
Серебро	0,060	0,90	0,065	0,90	0,070	0,89	0,075	0,88

Из табл. 1, 2 видно, что величины  $\gamma$  в пределах точности измерений не зависят от температуры. Для первого участка в кислой среде  $\gamma$  близка к 0,5; в щелочной среде наклон кривых значительно меньше,  $\gamma$  близка к двум.

Для второго участка наклон кривых примерно в два раза больше, чем для первого участка; для кислой среды  $\gamma$  близка к 0,25, а для щелочной среды  $\gamma$  близка к единице. За исключением величины  $\gamma$  для второго участка в щелочном растворе, приведенные результаты хорошо согласуются с данными для ртути и серебра имеющимися в литературе [6, 9, 13].

## Обсуждение результатов

Значения  $\gamma = 2$ , полученные для первого участка кривых  $\eta$ ,  $\lg i$  в щелочном растворе, отвечают наклонам кривых, которые должны наблюдаться, если потенциал электрода является равновесным по отношению к реакции (4), и плотность тока отвечает скорости диффузии H<sub>2</sub>O<sub>2</sub> от электрода [9, 13]. Величина  $\gamma$  в данном случае равна числу электронов, присоединяемых при восстановлении. На других участках кривых мы, по-видимому,

ем дело с электрохимической поляризацией при этом,  $\gamma = \alpha n$ , где  $\alpha$  — коэффициент переноса электродного процесса [14],  $n$  — число участвующих в реакции электронов. В частности для первого участка в кислой среде лимитирующей стадией является реакция [13]



а которой

$$\gamma = \alpha = 0,5.$$

альная энергия активации электрохимического процесса определяется уравнением [15, 16]:

$$\left( \frac{\partial \ln i}{\partial T} \right)_\eta = \frac{A}{RT^2}. \quad (11)$$

о уравнение формально приложимо при всех условиях, включая и асток кривой, где перенапряжение обусловлено концентрационной поляризацией и разностью равновесных потенциалов, отвечающих реакциям (4) и (6), т. е. первый участок в щелочном растворе.

Опытные данные описываются уравнением

$$\eta = a + \frac{RT}{\gamma F} \ln i \quad (12)$$

не зависящей от температуры величиной  $\gamma$ .

Из уравнения (12) получаем

$$\left( \frac{\partial \ln i}{\partial T} \right)_\eta = \frac{\gamma F \left( a - T \frac{da}{dT} \right) - \gamma F \eta}{RT^2}. \quad (13)$$

равнивая уравнения (11) и (13), находим, что

$$A = A_0 - \gamma F \eta, \quad (14)$$

$$A_0 = \gamma F \left( a - T \frac{da}{dT} \right) \quad (15)$$

$$A_0 = \gamma F \left( a - \frac{da}{d \ln T} \right); \quad (16)$$

— величина  $A$  при  $\eta = 0$ .

По данным табл. 1 может быть построена зависимость  $a$  от  $\ln T$ . Легко убедиться, что она имеет прямолинейный характер для всех испытанных электродов. Вычисленные по уравнению (16) величины  $A_0$  для процесса, отвечающего первому участку, приведены в табл. 3. Там же даны величины  $A$  для плотности тока  $i = 1 \cdot 10^{-6} \text{ А/см}^2$  при  $20^\circ \text{С}$ , полученные при помощи уравнения (14)\* (первый участок) и для плотности тока  $i = 1 \cdot 10^{-4} \text{ А/см}^2$  и  $20^\circ \text{С}$  (второй участок).

Величины  $A$  для первого и второго участков кривых  $\eta$ ,  $\lg i$  различных металлов близки между собой.

Интегрирование уравнения (9) дает

$$i = B e^{-A/RT}, \quad (17)$$

е  $B$  — предэкспоненциальный множитель, численно равный такой плотности тока, при которой реальная энергия активации равняется нулю.

\* При вычислении значений  $A$  для первого участка кривой в растворе  $1 \text{ N NaOH}$  концентрационная поляризация принята за некоторое перенапряжение  $\eta$ , которому соответствует некоторая условная энергия активации  $A$ .

Таблица 3

Энергия активации, *кал/моль*

Электроды	1,0158 N H <sub>2</sub> SO <sub>4</sub>		1N NaOH	
	A <sub>0</sub>	A	A <sub>0</sub>	A

## Первый участок

Ртуть	20500	11300	25800	10200
Платина	20000	11700	24800	10500
Золото	20400	11700	24900	10600
Серебро	21700	11100	25000	10700

## Второй участок

Ртуть	13000	6800	20900	12500
Платина	13100	6900	20300	12200
Золото	13300	7000	20900	12400
Серебро	13800	6500	20900	12200

Из уравнения (17) получаем

$$\lg B = \lg i + \frac{A}{2,303 RT}. \quad (18)$$

При помощи уравнения (18) и данных табл. 3 были вычислены значения *B*, приведенные в табл. 4.

Таблица 4

Предэкспоненциальный множитель *B*, *A/см<sup>2</sup>*

Электроды	Первый участок		Второй участок	
	1,0158 N H <sub>2</sub> SO <sub>4</sub>	1N NaOH	1,0158 N H <sub>2</sub> SO <sub>4</sub>	1 N NaOH
Ртуть	3·10 <sup>3</sup>	4·10 <sup>2</sup>	12	2·10 <sup>5</sup>
Платина	5·10 <sup>3</sup>	7·10 <sup>2</sup>	14	1·10 <sup>5</sup>
Золота	5·10 <sup>3</sup>	8·10 <sup>2</sup>	17	2·10 <sup>5</sup>
Серебро	2·10 <sup>3</sup>	9·10 <sup>2</sup>	10	1·10 <sup>5</sup>

Из табл. 4 видно, что порядок величин предэкспоненциального множителя для различных металлов в данной среде почти одинаков как в случае первого, так и в случае второго участка кривых.

Из равенства *B* следует, что при данной *i* величины *A* должны быть равны. Это подтверждается данными табл. 3.

В заключение считаю своим приятным долгом выразить искреннюю благодарность проф. Б. Н. Кабанову и проф. М. И. Темкину за ряд весьма ценных указаний при выполнении настоящей работы.

## Выводы

1. Исследовано перенапряжение катодного восстановления кислорода на ртути, платине, золоте и серебре в кислом и щелочном растворах при 0, 20, 40 и 60° С.

2. Полученные кривые зависимости перенапряжения от логарифма плотности тока содержат по два линейных участка, отвечающих уравнению Тафеля, с различными значениями постоянных *a* и *b*. Можно принять, что первый участок отвечает образованию перекиси водорода, и второй — образованию воды.

3. Значения  $b$  показывают, что первый участок в щелочной среде отпадает концентрационной поляризации; в других случаях, по-видимому, имеет место электрохимическая поляризация.

4. Из опытных данных вычислены значения реальной энергии активации  $A$  катодного восстановления кислорода и соответствующие предэкспоненциальные множители  $B$ . Величины  $A$  и  $B$  мало зависят от природы электрода.

Ереванский политехнический  
институт им. К. Маркса

Поступила  
10.1.1958

#### ЛИТЕРАТУРА

- Я. Гейровский, Полярографический метод, ОНТИ, 1937.  
Н. Д. Томашов, Коррозия металлов с кислородной деполяризацией, Изд-во АН СССР, 1947.  
А. Н. Фрумкин, Успехи химии, 18, 9, 1949.  
Б. Н. Кабанов, Ж. физ. химии, 22, 53, 1948.  
З. А. Иофа, Я. Б. Шимшелевич и Е. Ш. Андреева, Ж. физ. химии, 23, 828, 1949.  
А. И. Красильщиков, Ж. физ. химии, 23, 332, 1949.  
А. И. Красильщиков, Тр. Совещания по электрохимии, Изд-во АН СССР, М., 1953, стр. 71.  
В. С. Багоцкий и Д. Л. Мотов, Докл. АН СССР, 71, 501, 1950.  
В. С. Багоцкий и И. Е. Яблокова, Ж. физ. химии, 11, 1663, 1953.  
В. С. Багоцкий и И. Е. Яблокова, Докл. АН СССР, 85, 599, 1952.  
U. Nagel, W. Naege, J. Amer. Chem. Soc., 57, 31, 1935.  
В. Латимер, Окислительные состояния элементов и их потенциалы в водных растворах, М., 1954.  
А. Н. Фрумкин, В. С. Багоцкий, З. А. Иофа, Б. Н. Кабанов, Кинетика электродных процессов, Изд-во МГУ, М., 1952.  
П. Делахей, Новые приборы и методы в электрохимии, М., 1957.  
М. И. Темкин, Ж. физ. химии, 22, 1081, 1948.  
М. И. Темкин, Тр. Совещания по электрохимии, Изд-во АН СССР, М., 1953, стр. 181.

#### OVERVOLTAGE OF THE CATHODIC REDUCTION OF OXYGEN AND THE ACTIVATION ENERGY OF THE CORRESPONDING ELECTROCHEMICAL PROCESSES

*A. U. Akopyan (Yerevan)*

#### Summary

A study has been made of the cathodic reduction of oxygen on mercury, platinum, gold and silver in acid and alkaline solutions at various temperatures. The curves obtained expressing the relation between the overvoltage and the logarithm of the current density have two linear regions corresponding to Tafel's equation with different values for the constants  $a$  and  $b$ . It may be assumed that the first region corresponds to formation of hydrogen peroxide and the second to formation of water. The value of  $b$  shows that the first region in alkaline medium corresponds to concentration polarization; in other cases, evidently electrochemical polarization takes place.

The real activation energy  $A$  of the cathodic reduction of oxygen and the corresponding pre-exponential factor  $B$  have been calculated from the experimental data. The values of  $A$  and  $B$  depend little on the nature of the cathode.



## К ВОПРОСУ ОБ ОБРАЗОВАНИИ ГИДРООКИСИ АЛЮМИНИЯ

А. А. Трапезников и А. М. Толмачев

Гидроокиси алюминия посвящено большое число исследований, что связано со сложностью процессов, протекающих при ее образовании, а также с многообразием областей ее применения.

Целью нашей работы являлось изучение влияния рН при осаждении [1] и других условий приготовления гидроокиси алюминия на ее загущающие и некоторые другие свойства в олеосредах в связи с использованием гидроокиси в полиграфических красках. Метод осаждения при постоянном рН описан нами в [1].

По литературным данным [2—7] титрование растворов солей алюминия щелочными реагентами сопровождается образованием основных солей алюминия, устойчивость которых зависит от аниона соли [2, 3].

Основные хлориды и сульфаты алюминия были выделены в свободном состоянии [3, 4, 8, 9], причем было обнаружено, что основные хлориды хорошо растворимы и поэтому легко переходят в гидроокись при повышении рН в процессе титрования до 5,5—6,0, тогда как основные сульфаты плохо растворимы и в связи с этим устойчивы в широком интервале рН. В ряде работ [10—14] подчеркнуто большое влияние адсорбции  $H^+$  и  $OH^-$  ионов, а также ряда анионов на процесс титрования солей алюминия и на полноту выделения алюминия из растворов его солей.

## Экспериментальная часть

При производстве гидроокиси алюминия для полиграфических красок применяются растворы калийалюминиевых квасцов и соды, в связи с чем основная часть нашей работы была проведена с этими реагентами. В то же время, с целью упрощения условий реакции, мы применяли во многих случаях растворы едкого натра. При титровании применялись 0,4994 *N* раствор калийалюминиевых квасцов, 0,4910 *N* раствор хлорида алюминия и растворы NaOH (освобожденной от  $CO_2$  приготовлением через повышенную концентрацию) различной концентрации. Титрование проводилось потенциометрически со стеклянным электродом (потенциометр ППТВ-1 с усилительной приставкой) при 18—21° С. Результаты титрования показаны в виде кривых на рис. 1. При титровании раствора квасцов раствором едкого натра 0,104 *N* была получена кривая 1, при обратном титровании щелочи квасцами — кривая 2. Титрование квасцов щелочью в присутствии избытка хлористого бария показано кривой 3. Кривая 4 отражает титрование раствора хлорида алюминия щелочью (0,414 *N*). В связи с тем, что при старении системы наблюдалось изменение значений рН во времени, было предпринято специальное длительное исследование изменений рН всех растворов вдоль кривой титрования. Для этого в 20 колбочек было прилито по 20 мл раствора квасцов и добавлено различное количество щелочи (0,54 *N*), что позволяло построить всю кривую титрования на разных этапах старения раствора (кривые рис. 2, а). Первое измерение рН производилось через 30 мин. после сливания растворов, а затем периодически через определенные промежутки времени. Аналогичные измерения рН были проведены в опытах с обратным порядком сливания растворов щелочи и квасцов (кривые

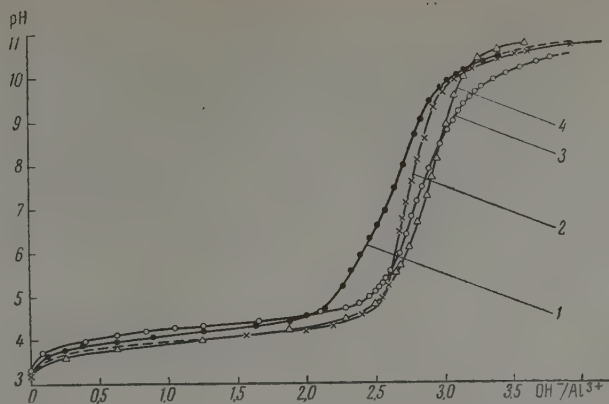


Рис. 1. Кривые титрования 0,5 N растворов сульфата и хлорида алюминия различными методами

ис 2, б). Сливание растворов производилось с относительно большой скоростью, так что свойства системы при прямом и обратном приливании реагентов не должны, по существу, отличаться. Этим же методом были изучены растворы хлорида алюминия при добавлении к ним щелочи (0,414 N) (кривые рис. 2, в).

В верхнем левом углу рис. 2 приведена схема изменений рН во времени для серии кривых а.

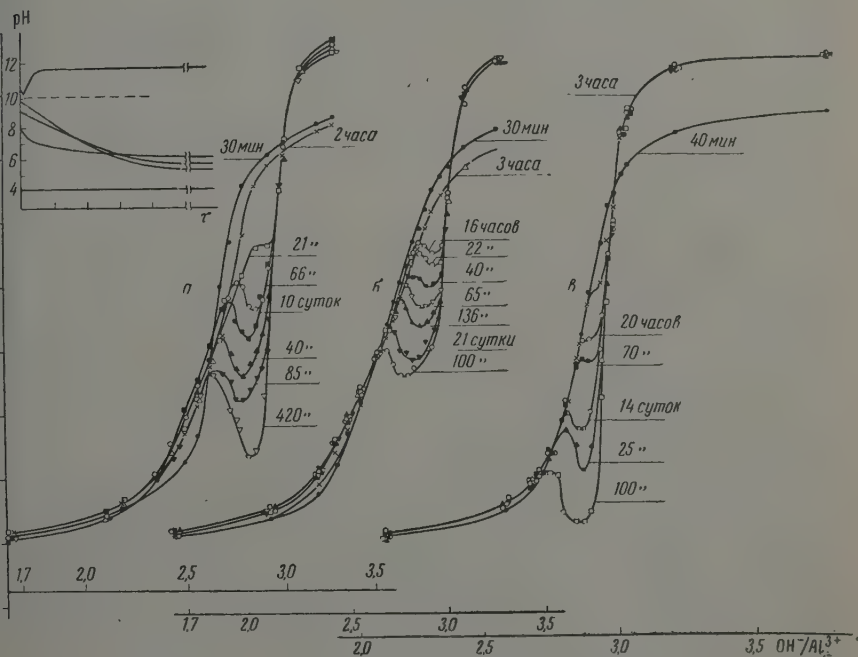


Рис. 2. а, б — кривые титрования растворов сульфата и в — хлорида алюминия щелочным натром, полученные на разных стадиях старения системы. В левом верхнем углу показана схема изменения рН во времени в начальный период старения системы с сульфатом алюминия

В специальной серии осаджений гидроокись алюминия готовилась путем постепенного добавления 0,5 *N* раствора соды к 0,5 *N* раствору квасцов до достижения различных рН (т. е. неполным титрованием квасцов содой). При этом, чтобы избежать расщепления основной соли при более высоких рН, осадки, полученные добавлением соды до достижения рН=4,5 и рН=5,3, промывались дистиллированной водой, подкисленной соляной кислотой до таких же значений рН (остальные осадки промывались дистиллированной водой с рН = 5,8 — 6,0), до отрицательной реакции на ион  $\text{SO}_4^{2-}$  в фильтрате. Осадки были высушены при 105° С, взвешены и проанализированы на содержание  $\text{SO}_4^{2-}$ . Полученные результаты представлены в таблице.

рН	4,5	5,3	6,0	6,5	7,0	8,0
Содержание $\text{SO}_4^{2-}$ в осадке, вес. %	40,23 30,11*	28,59 22,02*	21,88	18,92	16,12	10,91
Выход в % к теоретическому в расчете на смесь $\text{Al}(\text{OH})_3$ и $[\text{Al}(\text{OH})_2]_2\text{SO}_4$	71,3 70,3*	98,5 98,5*	89,6	75,0	73,5	79,0

\* Значения получены при промывке осадка дистиллированной водой с рН = 5,8 — 6,0.

### Обсуждение результатов

Сдвиг кривых, изображенных на рис. 1, в сторону больших значений  $\text{ОН}/\text{Al}$  при замене сульфатов алюминия на хлорид связан с большей растворимостью основных хлоридов и более легким переходом их в гидроокись при повышении рН. При обратном порядке титрования основной сульфат алюминия образуется, естественно, в меньшей степени, и кривая титрования также сдвигается в сторону больших значений  $\text{ОН}/\text{Al}$  по сравнению с кривой прямого титрования. Аналогичные результаты получены Л. К. Лешинь и А. Я. Вайваде [2] при титровании 0,5 *N* растворов сульфата и хлорида алюминия, но в их работе отношение  $\text{ОН}/\text{Al} = 3,0$  достигалось при рН = 7,5—8,0.

Следует отметить, что состав осадка (рассматриваемого для простоты, как смесь  $\text{Al}(\text{OH})_3$  и  $[\text{Al}(\text{OH})_2]_2\text{SO}_4$ ), рассчитанный по данным таблицы, приблизительно совпадает с рассчитанным по кривой титрования (рис. 1, кривая 1). С другой стороны, данные таблицы могут дать представление о полноте извлечения алюминия из раствора квасцов при различных рН в примененных условиях улавливания осадка. Выход, близкий к 100% от теоретического выхода, рассчитанного с учетом изменения в составе осадка, получается при рН = 5,3 (см. таблицу). По-видимому, при рН < 5,0 и рН > 5,3 алюминий либо не осаждается полностью из раствора, либо некоторая часть осадка настолько сильно пептизирована или мелкодисперсна, что при отделении фильтрацией не улавливается.

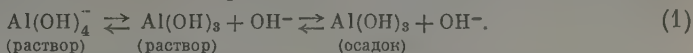
Как видно из кривых рис. 2, старение осадков в растворах с различными рН приводит к сложному изменению формы кривой титрования.

При соотношении  $3,0 < \text{ОН}/\text{Al} < 4,0$ , рН в первые два часа немного уменьшается, а затем резко возрастает, оставаясь далее постоянным. При соотношениях  $\text{ОН}/\text{Al} < 3,0$ , рН уменьшается во времени, причем тем быстрее, чем выше начальное значение рН. На кривой титрования при этом образуются максимум и минимум, смещающиеся вниз по кривой. В кислых растворах (рН = 4,0—4,5) рН во времени почти не меняется.

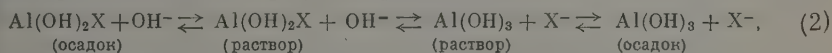
Кинетику подобного изменения рН при старении смесей различных количеств перхлората алюминия и щелочи при малых концентрациях растворов подробно изучал Броссет [15], однако общие кривые титрова-

и не строились и образование максимума на кривой титрования не отмечалось.

Сложный характер изменения формы кривой титрования при старении может быть связан с несколькими одновременно идущими процессами, частично описанными в литературе. Так, в соответствии с данными Фрикке [1], можно считать, что повышение рН во времени в области  $3,0 < \text{ОН}/\text{Ал} < 4,0$  связано с уменьшением растворимости осадка гидроокиси при старении и с идущим вследствие этого распадом алюминатного иона по схеме:



Интересно, что скорость возрастания рН близка для систем с  $\text{SO}_4^{2-}$  и ионами, т. е. не зависит от анионного состава раствора, как это и следует из приведенной схемы. При этом в первые два часа, когда растворимость гидроокиси алюминия еще относительно велика, преобладает, по-видимому, реакция образования  $\text{Al}(\text{ОН})_4^-$  из  $\text{Al}(\text{ОН})_3$  и избыточного количества  $\text{ОН}^-$  ионов, что приводит к некоторому уменьшению рН. При соотношении  $\text{ОН}/\text{Ал} < 3,0$  уменьшение рН во времени можно объяснить постепенным переходом основных солей (образовавшихся в первый момент в кислой области  $\text{рН} = 4,0-4,5$  и неустойчивых при более высоких рН) в гидроокись по схеме:



где  $\text{X} = \text{Cl}^-$  или  $\text{SO}_4^{2-}$ .

Состав основных солей может быть при этом и иным. Так как растворимость основных хлоридов значительно превышает растворимость основных сульфатов, скорость процесса уменьшения рН в случае хлоридов намного больше, чем в случае сульфатов. Это подтверждается кривыми рис. 2. Постоянство рН во времени в кислой области  $\text{рН} = 4,0-4,5$  можно объяснить устойчивостью основных солей в этой области рН.

Для объяснения появления максимума на кривой титрования рассмотрим подробнее схему (2). Скорость протекания реакции по этой схеме слева направо тем больше, чем больше концентрация  $\text{ОН}^-$  ионов и растворимость основной соли и чем меньше растворимость гидроокиси алюминия. Таким образом, одновременно протекают два процесса: 1) уменьшение рН, проходящее тем быстрее, чем выше концентрация  $\text{ОН}^-$  ионов, вследствие чего на кривой титрования должна была бы образоваться площадка, смещающаяся вниз по кривой, 2) старение гидроокиси алюминия, приводящее к уменьшению ее растворимости и заключающееся в переходе первоначально аморфной или малоустойчивой кристаллической формы гидроокиси, например, бомита, в устойчивую кристаллическую форму гидраргиллита, протекающее тем быстрее, чем выше рН раствора, в котором происходит старение. Вследствие этого, в осадках, полученных первоначально при более высоких рН, будет больше накоплено новой кристаллической фазы, чем в осадках, полученных первоначально при более низких рН. Большее же количество центров кристаллизации может, по-видимому, привести к тому, что процесс дальнейшей кристаллизации будет протекать с большей скоростью. Реакция по схеме (2) и после того, как рН в каких-либо растворах станет одинаковым, будет протекать с большей скоростью для осадков, полученных первоначально при более высоких рН. В связи с этим на кривой титрования образуются максимум и минимум, смещающиеся вниз по кривой.

Изложенная здесь схема не является вполне окончательной, однако, она подтверждается некоторыми качественными наблюдениями за изменением характера осадков при их старении в растворах с различными рН, также рентгенограммами, снятыми для осадков, выделенных после 420 часов старения из растворов сульфатов.

Так, если проследить характер осадка вдоль всей кривой титрования,



то окажется, что, начиная с низких рН, осадки представляют собой компактные крупнокристаллические частицы, но по мере повышения рН и приближения к площадке или к максимуму кривой титрования осадки становятся спльно пептизированными студнеобразно-аморфными, образующими сплошную сетку, медленно отделяющуюся от маточного раствора. При дальнейшем возрастании рН осадки вновь приобретают ярко выраженную кристалличность, их дисперсность уменьшается, частицы быстро оседают. Соответственно этому рентгенограммы осадков, выделенных из разных растворов, показывают, что в области наиболее кислых  $\text{pH} = 4,10$  линии интерференции достаточно четкие, далее по мере возрастания рН до максимума кривой титрования ( $\text{pH} = 6,6$ ) резкость линий уменьшается, и в максимуме кривой рентгенограмма почти не имеет линий, указывая на аморфную или мелкокристаллическую природу частиц. Этот аморфный осадок является, очевидно, переходной стадией превращения неустойчивой кристаллической фазы в устойчивую. При переходе кривой через максимум к пониженным рН нарастает четкость интерференционных линий, и, наконец, в области  $\text{pH} = 7,7$  многие первоначально широкие линии оказываются расщепленными на отдельные четкие линии. Таким образом, более быстрое понижение рН в области более высоких рН (появление максимума) связано с ускоренной кристаллизацией частиц в этой области.

Сопоставляя эти данные с имеющимися в литературе указаниями на то, что переход бомбитной структуры в гидрагиллитную осуществляется через раствор, а возможно, и через промежуточное аморфное состояние [17], а также с тем, что пептизация осадка гидроокиси при старении проходит через максимум [18], что связывают с указанным выше превращением кристаллических форм, можно прийти к выводу, что образование максимума на кривой титрования действительно связано с перестройкой структуры осадка гидроокиси алюминия. Эта же перестройка структуры осадка может привести и к изменению его адсорбционной способности по отношению к  $\text{H}^+$  и  $\text{OH}^-$  ионам. Для более подробного выяснения причин обнаруженного нами сложного характера изменения формы кривой титрования при старении системы необходимы дальнейшие исследования.

В заключение следует отметить, что кривые титрования для предельно постаревших растворов имеют почти вертикальную среднюю часть, расположенную при  $\text{OH}/\text{Al} \approx 3,0$ . Это указывает на то, что если бы осадок, образующийся при обычном титровании, сразу же отделялся в виде чистой предельно кристаллизованной  $\text{Al}(\text{OH})_3$ , почти не адсорбирующей ионов из раствора, то кривая титрования уже в первый момент была бы такой же, какая получается после длительного старения.

### Выводы

1. Проведено потенциметрическое титрование растворов калийалюминиевых квасцов и хлорида алюминия содой и щелочью в различных условиях. Отмечено, что рН наиболее полного выделения алюминия из 0,5 N раствора квасцов 0,5 N раствором соды лежит в области  $\text{pH} = 5,0-5,3$ .
2. При систематическом изучении изменения формы кривой титрования раствора квасцов и хлорида алюминия щелочью во времени обнаружено появление максимума и минимума на кривой титрования. Сложный характер изменения формы кривой титрования объяснен на основе одновременно идущих процессов постепенного превращения кристаллических структур гидроокиси алюминия и перехода основных солей алюминия в гидроокись.

## ЛИТЕРАТУРА

- А. А. Трапезников и А. М. Толмачев, Ж. физ. химии, **32**, 725, 1958.  
Л. К. Леппинь и А. Я. Вайваде, Ж. физ. химии, **27**, 217, 1953.  
G. Denku J. Alt, Z. anorgan. Chem., **269**, 244, 1952.  
H. W. Kohlschütter u. P. Hantelmann, Z. anorgan. Chem., **248**, 319, 1941.  
W. D. Treadwell u. O. T. Lien. Helv. chim. acta, **14**, 473, 1931.  
Britton, J. Chem. Soc., **127**, 2120, 1925.  
G. Denk u. L. Bauer, Z. anorgan. Chem., **267**, 89, 1952.  
М. Е. Шишнихшвили, В. А. Каргин и А. Л. Бацанадзе, Ж. физ. химии, **21**, 391, 1947.  
Б. Е. Шишнихшвили, Изв. АН СССР, **2**, 169, 1950.  
S. N. Tewari u. S. Chosh, Kolloid-Z., **124**, 69, 1951.  
S. N. Tewari u. S. Chosh, Kolloid-Z., **127**, 27, 1952; **130**, 167, 1953; **128**, 19, 1953.  
W. A. Jajnik, Kolloid-Z., **80**, 152, 1937.  
R. P. Graham u. D. Y. Crawford, J. Colloid. Sci, **2**, 5, 509, 1947.  
S. P. Marion u. A. W. Thomas, J. Colloid. Sci, **1**, 221, 1946.  
C. Brosset, Acta chemica Scandinavica, **6**, 910, 1952.  
K. Fricke u. K. Meyring, Z. anorgan. Chem., **214**, 269, 1933. R. Fricke, Kolloid-Z., **49**, 230, 1930.  
W. Feitknecht, Kolloid-Z., **136**, 52, 1954; Ch. Slonim, Z. Electrochem., **36**, 439, 1930.  
G. F. Hüttig u. A. Zorner, Z. Electrochem., **35**, 184, 191, 1929; Kolloid-Z., **55**, 199, 1930.
- 

## ON THE FORMATION OF ALUMINUM HYDROXIDE

*A. A. Trapeznikov and A. M. Tolmachev (Moscow)*

## Summary

Titration has been carried out of 0.5 *N* solutions of aluminum sulfate and chloride. In comparison of the results of titration of aluminum sulfate solutions and analysis of the precipitates deposited at different pH values it has been established that the use in the titration curve at OH/Al = 2.0 begins cohen formation of the basic sulfate of the simplest formula  $[\text{Al}(\text{OH})_2]\text{SO}_4$  ends.

Titration curves for aluminum sulfate and chloride have been obtained at various stages of aging of the system. Maxima and minima have been revealed on the titration curve, the appearance and position of which are associated with change in the structure or composition of the precipitate (aluminum hydroxide and the basic sulfates) and its solubility in the aging process.

---

# ТЕМПЕРАТУРНЫЙ КОЭФФИЦИЕНТ РАСШИРЕНИЯ *n*-ПАРАФИНА $C_{30}H_{62}$

Ю. В. Млюх

В связи с изучением температурного изменения межмолекулярных расстояний в кристаллах длинноцепочечных соединений мы произвели измерение параметров характерной для многих веществ этого типа ромби-

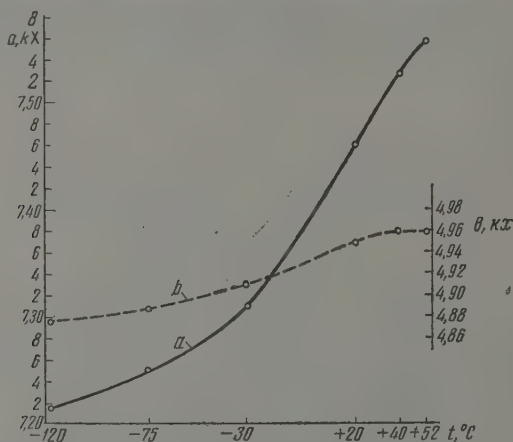


Рис. 1. Температурные изменения параметров подъячейки  $n - C_{30}$

ческой подъячейки парафина  $C_{30}$  в плоскости, перпендикулярной цепям в интервале температур от  $-120^\circ$  до  $52^\circ$  С. Аналогичные измерения ранее были проделаны Мюллером [1] для  $n$ -парафинов  $C_{23}$  и  $C_{29}$  лишь в интервале температур от  $20^\circ$ С до точки плавления.

$t, ^\circ\text{C}$	Значения параметров, кХ		$t, ^\circ\text{C}$	Значение параметров, кХ	
	$a$	$b$		$a$	$b$
+52	7,556	4,958	—30	7,310	4,910
+40	7,526	4,959	—75	7,250	4,888
+20	7,460	4,949	—120	7,216	4,876

Примечание. Точность определения параметров  $\pm 0,005$  кХ.

Результаты измерения, приведенные в таблице и на рис. 1, показывают анизотропию изменения параметров кристаллической подъячейки при температурном расширении. Можно видеть, что изменение ячейки происхо-

т, в основном, за счет параметра  $a$ . В то время как максимальный коэффициент теплового расширения для параметра  $b$  равен  $\alpha_b^{\text{max-c}} = 0,00016 \text{ град}^{-1}$ , для параметра  $a$  имеем  $\alpha_a^{\text{max-c}} = 0,00050 \text{ град}^{-1}$ . Оба эти значения соответствуют интервалу температур примерно от  $0^\circ$  до  $+20^\circ \text{C}$ .

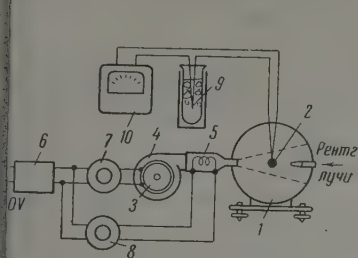


Рис. 2

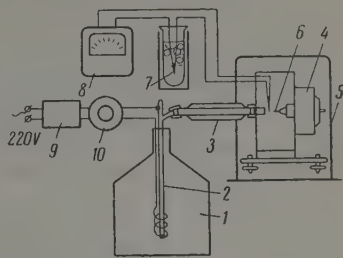


Рис. 3

рис. 2. Камера типа ВРС, приспособленная для съемки при повышенной температуре: 1 — камера ВРС; 2 — держатель с образцом и горячий спай термопары; 3 — электромотор; 4 — турбинка; 5 — электрическая печка; 6 — стабилизатор напряжения; 8 — вариаторы; 9 — холодный спай термопары, помещенный в сосуд Дьюара с тающим льдом; 10 — микроамперметр

рис. 3. Камера типа РКУ-114, приспособленная для съемки при низких температурах: 1 — сосуд Дьюара; 2 — трубка для вывода холодных паров азота с электронагревателем на конце; 3 — дьюаровская трубка; 4 — камера РКУ-114; 5 — ящик из органического стекла; 6 — образец и спай термопары; 7 — спай термопары, помещенный в сосуд Дьюара с тающим льдом; 8 — микроамперметр; 9 — стабилизатор напряжения; 10 — вариатор

Интересно отметить, что измерения интенсивностей ряда рефлексов на рентгенограммах показали независимость положения атома углерода (в относительных координатах  $x/a$  и  $y/b$ ) от температурных изменений параметров элементарной ячейки.

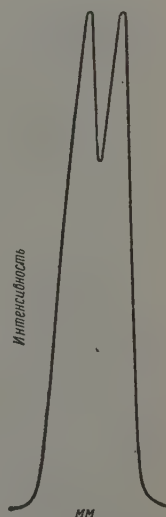
Экстраполяция кривых рис. 1 в сторону низких температур дает следующие предельные значения параметров:

$$a = 7,18 \pm 0,02 \text{ кХ};$$

$$b = 4,86 \pm 0,02 \text{ кХ}.$$

Измерения производились по порошковым рентгенограммам, полученным в стандартных рентгеновских камерах, модернизированных для съемки с подогревом до  $+80^\circ \text{C}$  (ВРС) и с охлаждением до  $-120^\circ \text{C}$  (РКУ-14). Использовалось  $K_\alpha$  излучение Си, монохроматизированное отражением от кристалла пентаэритрита. При этом экспозиция занимала 1 час. Расположение элементов аппаратуры показано на рис. 2 и 3. Температура измерялась при помощи термопары медь — константан и микроамперметра типа М-193. Спай термопары был расположен на расстоянии, менее 1 мм от образца.

Рис. 4. Форма линии от образца  $C_{30}$ , приготовленного по методу, описанному в тексте (получена микрофотометрированием)



Нагреватель для камеры ВРС состоит из электромотора с турбинкой, продувающей струю воздуха через электрическую печку, заключенную в стеклянную трубку. Сопло направляет расходящуюся струю горячего воздуха на держатель с образцом и спай термопары.



Для съемки с охлаждением в камеру РКУ-114 были внесены небольшие изменения. Изготовлена другая крышка, снабженная штуцером для впуска паров жидкого азота и отверстием для их выпуска, а также вводом для термопары. Металлический стержень для крепления головки с образцом заменен на текстолитовый. Камера заключена в ящик из органического стекла, что полностью исключило запотевание камеры, образца и пленки и обеспечило достаточную термоизоляции.

Для измерения параметров использовались отражения (110) и (200). Образец диаметром 1 мм приготавлился путем нанесения его равномерным слоем на медную проволочку диаметром 0,2 мм. Ввиду поглощения медью форма линии имела вид, представленный на рис. 4. Это давало возможность промерять порошковые рентгенограммы с достаточно высокой точностью. Линии Cu были использованы для определения эффективного диаметра пленки, которая закладывалась в камеру по асимметричному методу. Точность измерения параметров  $\pm 0,005$  кХ.

Трактовка полученных результатов, с точки зрения представленной органической кристаллохимии, дана в другой статье [2].

Алтор благодарит проф. А. И. Китайгородского за внимание к этой работе.

Академия наук СССР  
Институт элементоорганических  
соединений

Поступило  
31.I.1958

#### ЛИТЕРАТУРА

1. A. Müller, Proc. Roy. Soc. A, 138, 514, 1932.
2. А. И. Китайгородский и Ю. В. Мнюх. Докл. АН СССР, 121, 291, 1958.

#### TEMPERATURE COEFFICIENT OF EXPANSION OF THE *n*-PARAFFIN C<sub>30</sub>H<sub>62</sub>

*Yu. V. Mnyukh (Moscow)*

#### S u m m a r y

The parameters of the rhombic subcell characteristic of many chain compounds based on the aliphatic zig-zag have been measured over the temperature range  $-120^{\circ}$  to  $+52^{\circ}$  C on *n*-C<sub>30</sub>H<sub>62</sub> as example.

КИНЕТИЧЕСКИЕ ЗАКОНОМЕРНОСТИ РЕАКЦИИ МЕТАНА  
С ДВУОКИСЬЮ АЗОТА*А. Б. Гагарина и Н. М. Эмануэль*

Взаимодействие парафиновых углеводородов с двуокисью азота представляет собой пример сложного химического процесса, в котором реакция нитрования конкурирует с глубоким деструктивным окислением органической молекулы.

В подавляющем большинстве случаев, исследователей, изучавших этот класс процессов, интересовало получение с наибольшими выходами различных нитросоединений. Между тем весьма интересны также особенности реакции окисления двуокисью азота, которая относится к классу мало изученных в кинетическом отношении реакций окисления связанным кислородом. Кроме того, изучение химических систем, содержащих окислы азота, имеет большое значение для понимания механизма их гомогенно-каталитического действия в цепных реакциях. Как известно, небольшие добавки  $\text{NO}_2$  к смеси углеводородных газов с воздухом или кислородом весьма сильно ускоряют процесс газофазного окисления [1]. Весьма сильным стимулирующим действием обладают добавки  $\text{NO}_2$  к воздуху, которым производится жидкофазное окисление углеводородов, их смесей и сжиженных углеводородных газов (так называемое «газовое инициирование» [2]).

Поскольку в основе наблюдаемых явлений несомненно лежат реакции взаимодействия органических молекул с окислами азота, представляет интерес самостоятельное изучение этих процессов в химико-кинетическом спектре.

Как указывает А. В. Топчиев [3], исследование нитрования жирных углеводородов до настоящего времени развивалось главным образом по линии синтетической, т. е. в направлении изыскания методов получения азотсодержащих и других промежуточных и конечных продуктов, возникающих в ходе этой реакции. Поэтому рассмотрение всего многообразия процессов, протекающих при взаимодействии углеводородов с двуокисью азота находится в соответствии с современными требованиями к изучению данного класса химических процессов.

После работ М. И. Коновалова, который впервые экспериментально доказал возможность непосредственного введения группы  $\text{NO}_2$  в парафиновую молекулу, к настоящему времени выполнено большое число работ по поискам новых путей осуществления и интенсификации процессов непосредственного нитрования углеводородов: среди них — метод парофазного нитрования при помощи  $\text{HNO}_3$  под атмосферным давлением [4], газофазное нитрование  $\text{NO}_2$  [5], работы А. В. Топчиева и В. П. Алания, а также позднее и других авторов по применению галогенов [6], кислорода [7] и галоидоводородов для увеличения выходов нитросоединений. Внимание исследователей привлекает не только практический результат, но и механизм реакций  $\text{RH}$  с  $\text{NO}_2$ , однако, экспериментальный материал содержит мало сведений в подтверждение предлагаемых схем [8].

Из значительного числа работ, посвященных взаимодействию парафинов с  $\text{NO}_2$  лишь две выполнены в кинетическом плане.

В работе Иоффе [9] указывается, что в зависимости от температуры проведения процесса для реакции взаимодействия пентана с  $\text{NO}_2$  в статических условиях и при давлениях ниже атмосферного наблюдаются три характерных области реакции, до  $300^\circ\text{C}$  — область медленной реакции, в ходе которой образуются нитросоединения; немного нитритов,  $\text{CO}$ ,  $\text{CO}_2$ ,  $\text{NO}$ , выше  $300^\circ$  и некоторого критического давления — вторая область, где наблюдается люминесценция, которую авторы связывают с распадом нитритов и, наконец, выше  $300^\circ$  и другого критического давления — третья область, где смесь взрывает.

Работа Бромберга и Тейлора [10] посвящена кинетике взаимодействия металла с двуокисью азота в условиях струи при  $300\text{--}600^\circ\text{C}$  и в статических условиях при  $350\text{--}400^\circ\text{C}$ . Приведенные результаты анализа газообразных продуктов  $\text{CO}$ ,  $\text{CO}_2$ ,  $\text{N}_2$  и непрореагировавшего  $\text{CH}_4$  имеют лишь качественный характер. На основании измерений скоростей роста общего давления, отражающего развитие процесса глубокого окисления  $\text{CH}_4$ , авторы предлагают кинетическое уравнение процесса:

$R = c_1 [\text{CH}_4] [\text{NO}_2]^{0.8} - c_2 [\text{CH}_4]^2 [\text{NO}_2]$ , где  $R$  — начальная скорость реакции, а  $c_1$  и  $c_2$  — константы. Следует указать, что экспериментальные данные, полученные в этой работе, не позволяют сделать столь определенных выводов о порядках реакции и кинетическом уравнении. Дело заключается в том, что в случае изучения кинетических закономерностей взаимодействия углеводородов с  $\text{NO}_2$  в температурной области, где  $\text{NO}_2$  заметно диссоциирует, методика одновременного вброса углеводорода и  $\text{NO}_2$  в горячий сосуд, которая применялась в этой работе, является неприемлемой. Этот вопрос рассматривается нами более подробно при обосновании методики, принятой в нашей работе.

### Экспериментальная часть

**Методика.** Реакция взаимодействия  $\text{CH}_4$  и  $\text{NO}_2$  изучалась на статической вакуумной установке обычного типа. Реакционным сосудом являлся цилиндр длиной 15 см, объемом 200 см<sup>3</sup>, с окошками из плоскопараллельных оптических стекол. Для установления кинетических закономерностей реакции предполагалось использовать кинетические кривые роста давления, которыми сопровождается ход процесса и кривые расхода  $\text{NO}_2$ .

Давление измерялось мембранным манометром, а расход  $\text{NO}_2$  измерялся на фотоколориметрической установке, смонтированной вместе с реакционным сосудом. При температурах опытов ( $360\text{--}420^\circ$ ) равновесие:



сильно сминуто в сторону образования  $\text{NO}$  и  $\text{O}_2$ . Равновесие устанавливается быстро (1—5 мин.) по сравнению со временем протекания реакции  $\text{CH}_4$  с  $\text{NO}_2$  (15—60 мин.). Диссоциация  $\text{NO}_2$  так же, как и сама реакция, сопровождается ростом давления, поэтому мы уделили особое внимание методике заполнения сосуда реагирующими газами.

На рис. 1 показаны типичные кинетические кривые расхода  $\text{NO}_2$  и роста давления, полученные при впуске в реакционный сосуд заранее приготовленной смеси  $\text{CH}_4$  с  $\text{NO}_2$ . Отчетливо видны различные участки на этих кривых. Первый участок  $ab$  и  $a'b'$  соответствует меняющимся скоростям, а затем на большом участке  $bc'$  и  $b'c'$  скорость остается постоянной.

Небольшие участки кривых  $ab$  и  $a'b'$  соответствуют диссоциации  $\text{NO}_2$ . Поэтапно начальные скорости, которые мы вычислили бы по наклонам касательных к кривым в точках  $a$  и  $a'$  нельзя считать начальной скоростью процесса взаимодействия  $\text{CH}_4$  с  $\text{NO}_2$ . В связи с этим мы приняли следующую методику проведения опытов. Сначала в сосуд впускается двуокись азота, а затем после установления равновесия (1) в сосуд добавляется метан. Момент введения  $\text{CH}_4$  считается началом реакции.

При такой методике проведения опытов мы знаем не только значения начальных давлений  $\text{CH}_4$  и  $\text{NO}_2$ , но также и  $\text{NO}$  и  $\text{O}_2$ . Порядки реакции по начальным давлениям  $\text{CH}_4$  и  $\text{NO}_2$  найдены из наклона прямых в координатах  $\lg w_0 - \lg p_0$  и  $\lg \kappa - \lg p_0$ , где  $\kappa$  — коэффициент преобразования,

кинетических кривых к какой-либо кривой, выбранной за стандартную. Широко пользовались методом преобразования, так как оказалось, что кинетические кривые роста давления и расходования  $\text{NO}_2$  в каждой серии опытов подобны друг другу.

Коэффициент преобразования кривой  $I$  к кривой  $S$  представляет собой отношение  $\kappa = \alpha_1/\beta_1$ , где  $\alpha_1$  находится как отношение абсцисс  $x_1/x_S$  преобразуемых кривых, а  $\beta_1$  находится как отношение ординат  $y_1/y_S$ , при-

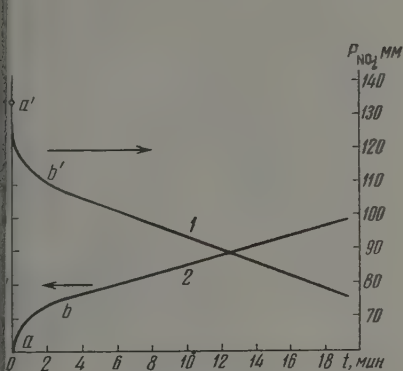


Рис. 1

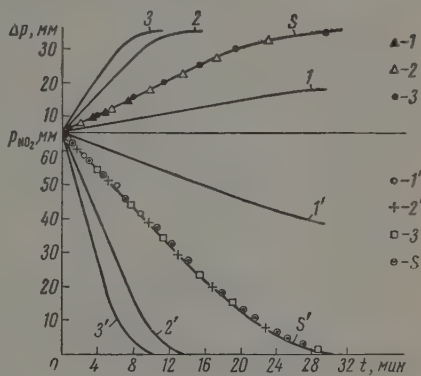


Рис. 2

с. 1. Кинетические кривые: 1 — расходования  $\text{NO}_2$  и 2 — роста давления, полученные при впуске в реакционный сосуд заранее заготовленной смеси метана (100 мм) и  $\text{NO}_2$  (135 мм)

с. 2. Кинетические кривые 1, 2, 3, S — роста давления и 1', 2', 3', S' — расходования  $\text{NO}_2$  при  $400^\circ \text{C}$ . Начальные давления:  $\text{NO}_2 = 65$  мм рт. ст. метана: для кривых 1 и 1' — 50 мм; S и S' — 100 мм; 2 и 2' — 200 мм; 3 и 3' — 300 мм. Результат преобразования кривых роста давления 1, 2, 3 к кривой S показан треугольниками и черной точкой. Результат преобразования кривых расходования  $\text{NO}_2$  к кривой S' показан квадратами и белой точкой. Кружок с точкой показывает результат преобразования кривой роста давления S к кривой S' расходования  $\text{NO}_2$

м для нахождения  $\beta_1$  преобразуемая кривая  $I$  должна быть построена в координатах  $(x_1/\alpha_1, y)$ . Кривые преобразуются в том случае, если  $\alpha_1$  и  $\beta_1$  сохраняют постоянство вдоль кривых. Математическое рассмотрение преобразования подобных кривых приводит к формуле:

$$n = \lg \kappa_1 - \lg \kappa_2 / \lg (p_A)_{01} - \lg (p_A)_{02} +$$

которая для кинетических кривых имеет следующий смысл:  $n$  — порядок реакции по начальному давлению компонента  $A$ ,  $\kappa_1$  и  $\kappa_2$  — коэффициенты преобразования кривых 1 и 2 к кривой S,  $(p_A)_{01}$ ,  $(p_A)_{02}$ ,  $(p_A)_{0S}$  — начальные давления компонента  $A$ , соответствующие кривым 1, 2, S. Исходные концентрации всех других компонентов реагирующей смеси должны оставаться постоянными.

Результаты экспериментов. На рис. 2 приведены кинетические кривые роста давления и расходования  $\text{NO}_2$  при  $400^\circ \text{C}$ . Аналогичные кривые изменения давления получены для  $380^\circ$  и  $420^\circ \text{C}$ . Во всех подобных сериях опытов начальное давление метана составляло 50, 100, 200, 300 мм рт. ст. при неизменном давлении  $\text{NO}_2$ , равном 65 мм. Обращает на себя внимание то, что характер кинетических кривых изменения давления и расходования  $\text{NO}_2$  одинаков, а именно: скорости роста давления и расходования  $\text{NO}_2$  остаются постоянными вплоть до больших глубин реакции. Кривая роста давления преобразуется в соответствующую кривую расхода  $\text{NO}_2$ , что свидетельствует об их про-



порциональности. Кинетические кривые изменения давления, снятые при одной температуре, также преобразуются друг к другу. На рис. 3 представлены зависимости  $\lg w_0$  и  $\lg \kappa$  от  $\lg(p_{\text{CH}_4})_0$ . Наклон прямых к оси  $\lg(p_{\text{CH}_4})_0$  дает порядок реакции по метану. Последний оказался равным единице при всех температурах.

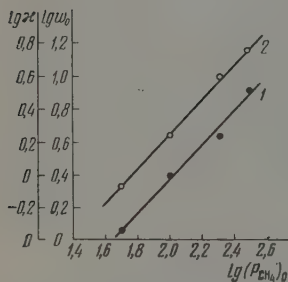


Рис. 3

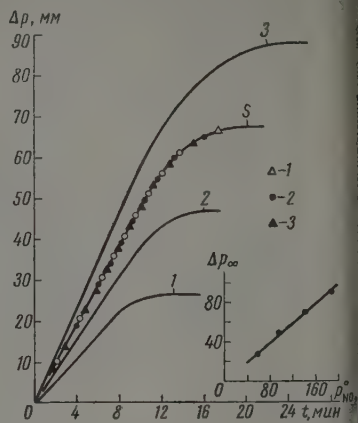


Рис. 4

Рис. 3. Зависимости  $\lg \kappa$  и  $\lg w_0$  от  $\lg(p_{\text{CH}_4})_0$  для определения порядка по метану.

Рис. 4. Кинетические кривые роста давления при  $400^\circ \text{C}$ . Начальные давления метана 100 мм рт. ст.; равновесной смеси 1—50 ( $p_{\text{NO}_2}$ )<sub>0</sub>, 67,4 ( $p_{\text{NO}}$ )<sub>0</sub>, 33,7 ( $p_{\text{O}_2}$ )<sub>0</sub>; 2—100 ( $p_{\text{NO}_2}$ )<sub>0</sub>, 107 ( $p_{\text{NO}}$ )<sub>0</sub>, 53 ( $p_{\text{O}_2}$ )<sub>0</sub>; 3—150 ( $p_{\text{NO}_2}$ )<sub>0</sub>, 140 ( $p_{\text{NO}}$ )<sub>0</sub>, 70 ( $p_{\text{O}_2}$ )<sub>0</sub>; 4—200 ( $p_{\text{NO}_2}$ )<sub>0</sub>, 170 ( $p_{\text{NO}}$ )<sub>0</sub>, 85 ( $p_{\text{O}_2}$ )<sub>0</sub>. Различные точки на кривой S показывают результат преобразования кривых 1, 2, 3 к стандартной. На рисунке показана также зависимость между предельным значением роста давления и начальным давлением двуокиси азота, которая является прямолинейной.

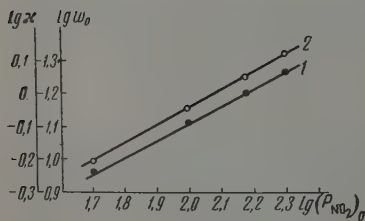


Рис. 5

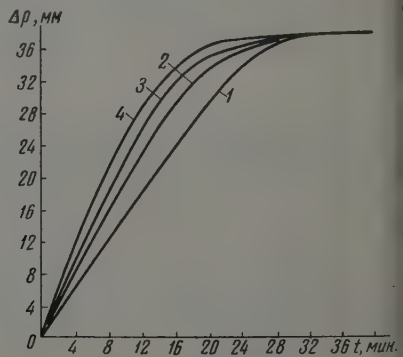


Рис. 6

Рис. 5. Зависимости  $1 - \lg \kappa$  и  $[2 - \lg w_0]$  от  $\lg(p_{\text{NO}_2})_0$  для определения порядка по  $\text{NO}_2$ .

Рис. 6. Кинетические кривые роста давления при  $400^\circ \text{C}$  ( $p_{\text{CH}_4}$ )<sub>0</sub> 150 мм рт. ст. в различных добавках  $\text{NO}$ . Кривые соответствуют следующим начальным давлениям равновесной смеси ( $\text{NO}_2$ ,  $\text{NO}$ ,  $\text{O}_2$ ): 1—100 ( $p_{\text{NO}_2}$ )<sub>0</sub>, 78,6 ( $p_{\text{NO}}$ )<sub>0</sub>, 39,3 ( $p_{\text{O}_2}$ )<sub>0</sub>; 2—100 ( $p_{\text{NO}_2}$ )<sub>0</sub>, 112,0 ( $p_{\text{NO}}$ )<sub>0</sub>, 19 ( $p_{\text{O}_2}$ )<sub>0</sub>; 3—100 ( $p_{\text{NO}_2}$ )<sub>0</sub>, 145 ( $p_{\text{NO}}$ )<sub>0</sub>, 11,5 ( $p_{\text{O}_2}$ )<sub>0</sub>; 4—100 ( $p_{\text{NO}_2}$ )<sub>0</sub>, 343 ( $p_{\text{NO}}$ )<sub>0</sub>, 2,0 ( $p_{\text{O}_2}$ )<sub>0</sub>.

Определение порядка по двуокиси азота осложняется тем, что вместе с изменением начального давления  $\text{NO}_2$  изменяется также и начальное давление окиси азота и кислорода в соответствии с величиной константы равновесия.

На рис. 4 различными значками обозначен результат преобразования кривых 1, 2 и 3 к кривой  $S$ . По зависимостям  $\lg w_0$  и  $\lg \kappa$  от  $\lg(p_{\text{NO}_2})_0$  (рис. 5) определен «порядок» реакции по  $\text{NO}_2$ , равный 0,5. Следует обратить внимание на тот факт, что «порядок» реакции по  $\text{NO}_2$  меняется с температурой. Он оказывается равным единице при 360 и 380° С, равным 0,5 при 400° С, 0,3 при 420° С.

Как видно из рис. 4, предельные значения величин роста давления  $\Delta p_\infty$  пропорциональны начальным давлениям двуокиси азота. Тот факт,

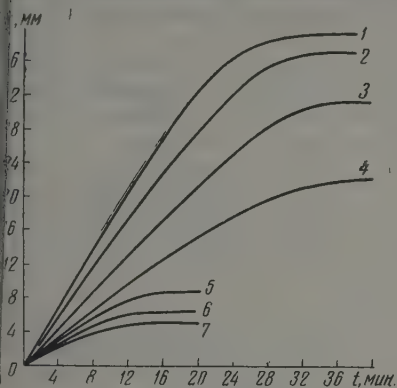


Рис. 7

рис. 7. Кинетические кривые роста давления при 400° С ( $p_{\text{CH}_4})_0$  мм рт. ст. и различных добавках кислорода. Кривые соответствуют следующим давлениям равновесной смеси: 1—100 ( $p_{\text{NO}_2})_0$ , 78,6 ( $p_{\text{NO}})_0$ , 39,3 ( $p_{\text{O}_2})_0$ ; 2—100 ( $p_{\text{NO}_2})_0$ , 66,6 ( $p_{\text{NO}})_0$ ; 5,5 ( $p_{\text{O}_2})_0$ ; 3—100 ( $p_{\text{NO}_2})_0$ , 44,0 ( $p_{\text{NO}})_0$ , 123,0 ( $p_{\text{O}_2})_0$ ; 4—100 ( $p_{\text{NO}_2})_0$ , 38,0 ( $p_{\text{NO}})_0$ , 64,5 ( $p_{\text{O}_2})_0$ ; 5—100 ( $p_{\text{NO}_2})_0$ , 33,6 ( $p_{\text{NO}})_0$ , 211,0 ( $p_{\text{O}_2})_0$ ; 6—100 ( $p_{\text{NO}_2})_0$ , 25,0 ( $p_{\text{NO}})_0$ , 376,0 ( $p_{\text{O}_2})_0$

рис. 8. Опыт для доказательства отсутствия влияния общего давления на скорость реакции. Кинетические кривые роста давления при 380° С: 1—взаимодействие 85 мм  $\text{O}_2$  и 117 мм  $\text{CH}_4$  без добавок; 2—то же с добавкой 162 мм кислорода. Точки на кривой 1 соответствуют опыту, в котором к исходной смеси было добавлено 162 мм азота вместо кислорода.

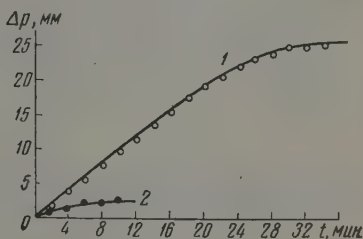


Рис. 8

то в сериях опытов с постоянным начальным давлением  $\text{NO}_2$  и различными давлениями  $\text{CH}_4$  (рис. 2) все кривые имеют одно предельное значение  $p_\infty$ , а в сериях опытов с постоянным начальным давлением  $\text{CH}_4$  и различными давлениями  $\text{NO}_2$  (рис. 4) в каждом случае предел по давлению оказывается пропорциональным исходному давлению  $\text{NO}_2$ , очевидно, обязанному, что остановка реакции наступает из-за израсходования  $\text{NO}_2$ , иными словами, все наши опыты проводятся в условиях избытка метана. Из анализа соотношения начальных давлений  $\text{CH}_4$  и  $\text{NO}_2$  в наших опытах видно, что стехиометрический коэффициент  $\text{NO}_2$  больше двух.

Для выяснения вопроса об участии  $\text{NO}$  и  $\text{O}_2$  в реакции были поставлены опыты, в которых начальные давления  $\text{CH}_4$  и  $\text{NO}_2$  оставались постоянными, и менялись только давлениям  $\text{NO}$  и  $\text{O}_2$ . Это достигалось следующим образом. Сосуд заполняется  $\text{NO}_2$  в таком количестве, чтобы после диссоциации равновесное давление  $\text{NO}_2$  было меньше 100 мм, затем в сосудпускается  $\text{NO}$  или  $\text{O}_2$ . Это вызывает смещение равновесия (1) в сторону образования  $\text{NO}_2$  (по пути  $k_2$ ). Величина добавки  $\text{NO}$  или  $\text{O}_2$  рассчитывается таким образом, чтобы после установления нового равновесия, давление  $\text{NO}_2$  стало равным 100 мм рт. ст.

На рис. 6 приведена серия кривых, полученная при различных добавках  $\text{NO}$  (температура 400° С). Начальные условия для каждой кривой приведены в подписи к рисунку. Из рис. 6 видно, что при различных добавках  $\text{NO}$  характер кинетических кривых не изменяется; вплоть до боль-

пних глубин реакции скорость изменения давления остается постоянной. Однако скорость процесса с увеличением добавки NO несколько растет.

На рис. 7 приведена серия кривых с добавками  $O_2$ . Начальные условия даны в подписи к рисунку. В случае добавки  $O_2$  мы имеем дело с сильным подавлением роста давления в системе. Увеличение скорости реакции при добавках NO и резкое подавление роста давления при добавках кислорода нельзя отнести за счет увеличения общего давления в системе. Об этом

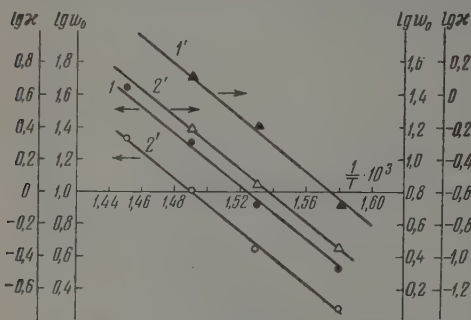


Рис. 9. Зависимости  $\lg k$  (1 и 1') и  $\lg w_0$  (2 и 2') от  $1/T$  определения температурной зависимости реакции,  $E = 42 \text{ ккал/моль}$ .

говорят, во-первых, различные эффекты по их характеру (хотя в обоих случаях давление в системе увеличивается) и, во-вторых, прямые опыты с добавками азота вместо кислорода.

На рис. 8 кривая 1 соответствует опыту без каких-либо добавок, кривая 2 — опыту с добавкой кислорода, а точки около кривой 1 соответствуют опыту с добавкой азота в количестве, равном добавке кислорода. Кривая 2 и точки на кривой 1 отвечают одинаковому общему давлению.

Для определения температурной зависимости скорости роста давления были выбраны кривые с одинаковыми начальными давлениями  $CH_4$  и  $NO_2$  при 360, 380, 400 и 420° С. Эти кривые преобразуются друг к другу путем изменения масштаба по двум осям. Зависимость  $\lg k$  ( $k$  — коэффициент преобразования) и  $\lg w_0$  от  $1/T$  дает хорошие прямые линии. Из наклона этих прямых определяется температурная зависимость реакции, равная 42 ккал/моль (рис. 9). Отчетливо выраженный рост давления при взаимодействии метана с  $NO_2$  указывает на сильное развитие окислительного направления процесса. Образование нитросоединений должно приводить к уменьшению давления, как это следует из стехиометрического уравнения:



Данные по изменению давления и уменьшению концентрации  $NO_2$  в наших опытах пока не позволяют судить о количественном соотношении этих направлений, а также о том, являются ли они параллельными или последовательными реакциями. С кинетической стороны процесс является сложным. Мы нашли, что скорость реакции пропорциональна давлению метана в первой степени, и имеется степенная зависимость от давления двуокиси азота. Однако реакция имеет нулевой порядок. До большой глубины скорость роста давления остается постоянной, не зависящей от значения давления исходных веществ в каждый момент времени.

Несомненно, что в кинетике процесса определенную роль играет равновесие (1). По ходу реакции, по мере исчезновения  $NO_2$ , окись азота и кислород реагируют, восстанавливая  $NO_2$  и, таким образом, увеличивая ее действующую концентрацию. Однако простые качественные рассуждения показывают, что этот процесс не может обеспечить нулевой порядок. Прирост давления  $NO_2$  может быть только меньше исчезнувшего количества молекул  $NO_2$ . В то же время для сохранения постоянного значения скорости нужно, чтобы прирост  $NO_2$  превышал не только израсходованное  $NO_2$ , но и мог компенсировать убыль метана. Несомненно, что в реакции  $CH_4$  с  $NO_2$  нулевой порядок по росту давления является результатом со-

ания большого числа элементарных стадий, в которых принимают участие помимо промежуточных веществ также и окись азота, и кислород, отсутствующие в зоне реакции.

### Выводы

1. Изучена кинетика взаимодействия метана с двуокисью азота по ступени давления, отражающему развитие глубокого окислительного процесса, и по уменьшению концентрации двуокиси азота.
2. Установлен нулевой порядок скорости суммарного роста давления первый порядок по начальному давлению метана.
3. Обнаружено ускоряющее действие добавок NO на процесс роста давления и сильное подавление реакции добавками кислорода.
4. Вычислена эффективная энергия активации процесса, равная  $42 \text{ ккал/мол.}$

Академия наук СССР  
Институт химической физики  
Москва

Поступила  
21.II.1958

### ЛИТЕРАТУРА

1. Л. В. Кармилова, Н. С. Ениколопан и А. Б. Налбандян, Ж. физ. химии, 30, 799, 1956.
2. Н. М. Эмануэль, Ж. физ. химии, 30, 347, 1956.
3. А. В. Топчиев, Нитрование углеводородов и других органических соединений, Изд-во АН СССР, М., 1956, стр. 303.
4. H. V. Hass, E. V. Hodge, B. Vanderbilt, Industr. and Engng Chem., 28, 341, 1936.
5. T. Urbanski, N. Slon, C. R., 204, 870, 1937.
6. А. В. Топчиев и В. П. Алания, Докл. АН СССР, 67, 297, 1949.
7. J. Bachman, J. Organ. Chem., 17, 906, 1952.
8. А. И. Титов, Успехи химии, 21, 881, 1953.
9. А. О. Yoffe, Research, 6, 113, 1956.
10. M. L. Bromberg, A. Taylor, J. Chem. Phys., 23, 2399, 1955.

### KINETIC RELATIONS IN THE REACTION OF METHANE AND NITROGEN DIOXIDE

*A. B. Gagarina and N. M. Emanuel' (Moscow)*

#### Summary

A study has been made of the kinetics of the interaction of methane with nitrogen dioxide from the rise in pressure, mirroring the development of a far-going oxidizing process, and from the decrease in concentration of the dioxide.

Zero order has been found for the rate of the over-all rise in pressure and first order with respect to the initial methane pressure.

An accelerating effect on the pressure rise from additions of NO, and a strong depression of the reaction from additions of oxygen have been disclosed. The effective energy of activation of the process has been calculated and found equal to 42 kcal/mole.



ВЛИЯНИЕ  $\gamma$ -ИЗЛУЧЕНИЯ  $\text{Co}^{60}$  НА ПРОНИЦАЕМОСТЬ  
ПОЛИЭТИЛЕНА ДЛЯ ВОДЯНОГО ПАРА

К. В. Чматов и Э. Э. Финкель

При действии излучений высокой энергии на полимеры в последних, как известно, происходят заметные изменения молекулярной структуры (переход от кристаллического состояния к аморфному, появление ненаасыщенности, образование поперечных связей — сшивание, приводящее к возникновению пространственной структуры и т. д.), сказывающиеся непосредственно на их физико-механических свойствах.

Очевидно, что перестройка молекулярной структуры полимеров в большей или меньшей степени должна сказаться на проницаемости их для газов и паров.

Особый интерес представляет изучение изменения проницаемости синтетических материалов для водяного пара в результате воздействия на них излучения высокой энергии. Связано это со следующими двумя обстоятельствами.

Во-первых, поскольку синтетические материалы широко применяются в качестве изоляционных и шланговых покрытий проводов и кабелей, весьма важно знать специфику их поведения в условиях действия полей излучений высокой энергии (например, провода и кабели, используемые в реакторостроении), ибо проникновение влаги сквозь защитные оболочки снижает как эксплуатационные качества, так и срок службы кабельных изделий.

Во-вторых, в последние годы наметилась тенденция к повышению теплостойкости полиэтиленовой изоляции проводов и кабелей путем радиационно-химической обработки [1]. Поэтому необходимо выяснить, как наряду с улучшением механических свойств изменяется влагонепроницаемость оболочки, ибо улучшение одних качеств может повлечь за собой ухудшение других.

## Экспериментальная часть

В качестве объекта исследования был выбран чистый полиэтилен. Выбор этот диктовался следующими соображениями: с одной стороны, полиэтилен представляет наибольший интерес для электрокабельной промышленности в силу присущих ему наиболее благоприятных как диэлектрических, так и технологических свойств; с другой стороны, влияние излучений высокой энергии на полиэтилен наиболее детально изучено, а это должно значительно облегчить объяснение получающихся результатов.

Образцы из чистого полиэтилена с молекулярным весом 20000—25000 (марка ОХК-501, ВТУ МХП 4138-55) в виде пленок толщиной 0,030—0,035 см изготовлялись методом горячего прессования.

Пленки облучались на воздухе на установке физико-химического института им. Л. Я. Карпова «К-20000», имеющей  $\gamma$ -источник  $\text{Co}^{60}$  с активностью  $\sim 20000$  с-экв. Ра [2] в интервале доз от 46 до 299 млн. рентген.

Измерение коэффициента влагонепроницаемости пленок производилось при помощи воды, меченной тритием, по методу, разработанному авторами [3—5]. На основании данных для стационарного потока диффузии рассчитывались коэффициенты диффузии и растворимости водяных паров в полиэтилене.

Полученные результаты представлены в табл. 1 и на рисунке.

Анализ полученных данных обнаруживает значительное и монотонное изменение всех трех параметров ( $P$ ,  $D$  и  $h$ ), характеризующих состояние

азца при нахождении во влажной среде, с увеличением дозы облучения.

Коэффициент диффузии при этом убывает, в то время как коэффициенты проницаемости и растворимости растут.

Если при изменении дозы облучения в 6 раз коэффициент диффузии уменьшается втрое, то проницаемость возрастает почти в 10 раз, а растворимость — в 25 раз.

Очевидно, что такое резкое изменение коэффициентов подтверждает наличие значительных структурных изменений, происходящих в полиэтилене в процессе облучения.

Для того чтобы подойти к объяснению полученной закономерности, рассмотрим коротко основные эффекты, являющиеся результатом воздействия излучения высокой энергии на полимеры и, в частности, на полиэтилен.

Систематические исследования как зарубежных, так и советских ученых [6—9] позволяют составить довольно полное представление о радиационно-химических реакциях, протекающих в полимерах при облучении. Реакции эти весьма разнообразны и сильно зависят от объекта исследования.

Первичными актами радиационно-химического процесса являются ионизация и возбуждение молекул, которые приводят к диссоциации и разрыву химических связей с образованием свободных радикалов. Вторичными процессами являются результаты взаимодействия активированных фрагментов молекул как друг с другом, так и с другими молекулами.

Ограничивая рассмотрение полиэтиленом, проследим за результатами вторичных процессов, протекающих при облучении.

Разрыв углерод-углеродных связей приводит к образованию как полимерных, так и мономерных радикалов. Первые, ввиду малой подвижности, рекомбинируют прежде, чем смогут уйти из сферы реакции. Наоборот,  $\text{H}$ ,  $\text{CH}_3$ ,  $\text{C}_2\text{H}_5$  и другие отнимают атом водорода от полимерных молекул и дают летучие продукты, обнаруживаемые масс-спектрометрическим анализом.

Образование свободных радикалов в результате разрыва углерод-водородных связей порождает новые радикалы путем отнятия водорода от окружающих молекул или путем изомеризации. Рекомбинация радикалов приводит к образованию разветвленных и сшитых молекул полиэтилена.

Наряду с процессами образования поперечных связей происходит и астичная деструкция молекул. Демполимеризация образовавшихся свободных радикалов, обладающих избытком энергии, приводит к образованию различного типа молекул с двойными связями, обнаруживаемыми при изучении инфракрасных спектров облученного полиэтилена.

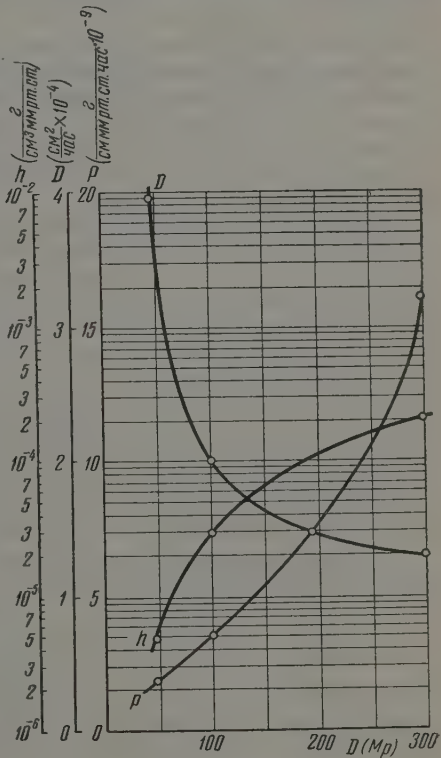


Рис. 1

Таблица 1

Доза, $10^4$ рентген	Толщина образца, см	Т-ра опыта, °C	Время отсечки, часы	Коефф. прониц., $P \cdot 10^6$	Коефф. дифф., $D \cdot 10^4$	Коефф. раствор. $n \cdot 10^6$	Натекание, $мг/см^2$ сутки
46	0,030	25,0	0,40	1,8	3,8	4,7	0,040
99	0,030	25,0	0,75	3,5	2,0	18,0	0,070
194	0,030	25,5	—	7,3	—	—	0,120
299	0,031	24,6	1,20	16,0	1,3	120,0	0,300

Примечание: Размерность коэффициента проницаемости  $г/см \cdot мм \cdot рт. ст. час$ ; размерность коэффициента диффузии  $см^2/час$ ; размерность коэффициента растворимости  $г/см^3 \cdot мм \cdot рт. ст.$

Облучение полиэтилена на воздухе, т. е. в присутствии кислорода и паров воды, ведет к окислению и возникновению карбонильных и гидроксильных групп. Молекулы с гидроксильными группами могут снова реагировать, образуя эфирные связи. В этом случае сшивание молекул полиэтилена происходит за счет образования кислородных мостиков между молекулами. Наряду с этим кислород может присоединяться и к имеющимся уже двойным связям.

Естественно, что процессы окисления будут сильнее происходить на поверхности образца, ибо поступление кислорода в толщу полиэтилена ограничивается не очень большой скоростью диффузии его из воздуха.

Наконец, кислород, отрывая от молекул полимера атом водорода, является источником свободных радикалов, которые, вступая в реакцию, будут увеличивать разветвленность и, в конечном счете, способствовать возникновению полярности.

Электроннографическое и рентгенографическое исследование облученного и необлученного полиэтилена показывает, что наряду с образованием поперечных связей происходит необратимый процесс перехода кристаллического полимера в аморфное состояние.

В свете рассмотренных выше представлений полученные результаты могут быть интерпретированы следующим образом.

Убывание коэффициента диффузии связано, с одной стороны, с переходом полиэтилена из кристаллического в аморфное состояние \*, и тем в

Таблица 2

Доза ( $10^4$ рентген)	$tg \delta \cdot 10^4$
0	18
46	28
99	41
194	72
299	99

большей степени, чем выше доза облучения, а, с другой стороны, — с увеличением плотности полиэтилена за счет сшивания при образовании поперечных связей.

Рост растворимости воды в полиэтилене по мере увеличения дозы облучения обусловлен, по-видимому, появлением полярности, сопровождающей, как уже отмечалось, процесс облучения полиэтилена в присутствии кислорода

и воды воздуха за счет образования карбонильных, карбоксильных и гидроксильных групп, а также кислородных мостиков.

Увеличение же коэффициента влагопроницаемости связано с ростом растворимости, ибо равновесное количество влаги в образце сильно возрастает; при этом в условиях стационарного процесса диффузии образец значительно больше как сорбирует, так и десорбирует водяных паров.

\* Как показали исследования, скорость поперечной диффузии четыреххлористого углерода и бензола, меченных  $C^{14}$ , в аморфном полиэтилене в три раза меньше, чем в полиэтилене со сферолитическими кристаллами, в которых естественные цепи расположены радиально [10].

им образом, значительное возрастание проницаемости полиэтилена водяных паров при облучении  $\gamma$ -излучением  $\text{Co}^{60}$  связано с увеличением его гидрофильности вследствие появления полярных групп. Это объяснение наблюдаемого эффекта основано на соображениях, вытекающих из анализа радиационно-химических реакций, сопровождающих радиолит полиэтилена.

Однако оно непосредственно подтверждается измерением зависимости величины  $\text{tg } \delta$  (которая, как известно, является параметром, чрезвычайно чувствительным к степени полярности материала) от дозы облучения. Данные измерений приведены в табл. 2.

Значительный рост величины  $\text{tg } \delta$  с увеличением дозы облучения однозначно указывает на рост полярности материала и подтверждает высказанные соображения вполне независимым путем.

Авторы считают своим приятным долгом поблагодарить В. Л. Карпов и Ю. М. Малинского за любезно предоставленную возможность облучения образцов полиэтилена, а также весьма полезное обсуждение полученных результатов, и А. С. Фридмана за обсуждение результатов и изменение диэлектрических потерь.

### Выводы

1. Исследовалась зависимость влагопроницаемости полиэтиленовых пленок от дозы облучения  $\gamma$ -лучами  $\text{Co}^{60}$  в интервале от 46 до 299 млн. рентген.
2. Установлено, что коэффициент диффузии с увеличением дозы облучения несколько падает, в то время как коэффициенты проницаемости и растворимости сильно возрастают.
3. Убытие коэффициента диффузии водяного пара через полиэтилен с увеличением дозы облучения объясняется, во-первых, переходом полиэтилена из частично кристаллического в аморфное состояние, и, во-вторых, увеличением плотности полиэтилена за счет сшивания при образовании поперечных связей.
4. Значительное возрастание растворимости водяного пара в полиэтилене обусловлено возникновением в нем полярных групп при радиолите под влиянием  $\gamma$ -излучения.
5. Возрастание проницаемости полиэтилена для водяных паров после действия  $\gamma$ -излучения связано с ростом растворимости, обусловленной появлением гидрофильности.
6. Значительное увеличение полярности полиэтилена после облучения  $\gamma$ -излучением  $\text{Co}^{60}$  подтверждается ростом величины  $\text{tg } \delta$ .
7. Полученные результаты указывают, что облучение полиэтиленовой изоляции проводов и кабелей в целях придания ей большей теплоустойчивости должно производиться либо в вакууме, либо в инертной атмосфере; облучение на воздухе ухудшает как диэлектрические, так и теплоизоляционные свойства полиэтилена.
8. Разработанный ранее метод исследования влагопроницаемости полимерных пленок при помощи воды, меченной тритием, является весьма чувствительным к структурным изменениям, происходящим в них при радиолите, и может быть использован для изучения характера этих изменений.

Академия наук СССР  
Институт физической химии]  
Научно-исследовательский институт  
кабельной промышленности

Поступила  
6.VIII.1958

### ЛИТЕРАТУРА

- R. M. Black, V. H. Wentworth, Патент № 766. 802, Лондон.  
А. Х. Брегер, В. А. Бельнский, В. Л. Карпов, С. Д. Прокудин, В. Б. Осипов. Тезисы докладов на Всесоюзной научно-технической



- конференции по применению радиоактивных и стабильных изотопов. Изд-во АН СССР, Москва, 1957.
3. Э. Э. Финкель, Ж. физ. химии, 31, 1650, 1957.
  4. Э. Э. Финкель. Сборник «Труды Всесоюзной научно-технической конференции по применению радиоактивных и стабильных изотопов. Москва, т. 1. Изотопы и излучение в химии, Изд-во АН СССР, 1958.
  5. E. E. Finkel, UNESCO, International conference on radioisotopes in scientific research, Paris, 9—20, Sept. 1957, Printed by Pergamon Press, London.
  6. В. Л. Карпов. Действие ядерных излучений на высокополимерные вещества. Заседания Отделения химических наук, Изд-во АН СССР, Москва, 1955.
  7. Н. А. Словохотова, В. Л. Карпов. Сборник работ по радиационной химии, Изд-во АН СССР, Москва, 1955.
  8. В. Л. Карпов, Б. И. Зверев, Сборник работ по радиационной химии, Изд-во АН СССР, Москва, 1955.
  9. С. С. Медведев, А. И. Праведников, Тезисы докладов 1-го Всесоюзного совещания по радиационной химии, Изд-во АН СССР, Москва, 1957.
  10. J. J. Point. The international journal of application radiation and isotopes, 2, 196, 1957.

## THE EFFECT OF $\gamma$ -RADIATION OF $\text{Co}^{60}$ ON THE WATER VAPOR PERMEABILITY OF POLYETHYLENE

*K. V. Chmutov and E. E. Finkel' (Moscow)*

### Summary

The dependence of the vapor permeability of polyethylene films on the  $\gamma$ -radiation dosage from  $\text{Co}^{60}$  has been studied over the dosage range 46 to 299 mil. roentgens. Determination of the vapor permeability was made with the aid of tritium-labeled water.

The coefficient of diffusion of water vapors in polyethylene has been found to fall somewhat with increase in the dosage on irradiation in air, whereas the solubility and permeability coefficients greatly increase.

The fall in the diffusion coefficient with increase in the radiation dosage is explained, in the first place, by the transition of the polyethylene from partially crystalline to an amorphous state and, in the second place, by the increase in density of the polyethylene owing to formation of cross linkages.

The considerable increase in solubility of the water vapor in polyethylene results from the formation of polar groups within it from radiolysis due to the  $\gamma$ -radiation.

The increase in permeability of the polyethylene for water vapor after the action of the  $\gamma$ -radiation is associated with growth in solubility.

# МЕТОДЫ И ТЕХНИКА ФИЗИКО-ХИМИЧЕСКОГО ИССЛЕДОВАНИЯ

## МАНОМЕТР ДЛЯ ИЗМЕРЕНИЯ ДАВЛЕНИЯ АГРЕССИВНЫХ ГАЗОВ

Р. Х. Бурштейн и Д. Л. Кондрашов

Известно, что измерение давления агрессивных газов, например, галоидов представляет значительные трудности. Этим обстоятельством можно объяснить, например, отсутствие в литературе весьма скудных данных по хемосорбции хлора, брома, йода, фтора и других газов на поверхности металла. Для измерения давления галоидов нами был сконструирован манометр Пирани, в котором натягивается проволока, покрытая тонким слоем стекла [1]. Для наших опытов была использована медная проволока диаметром  $\sim 10 \mu$ , покрытая слоем стекла в  $2 \mu$ . Манометр изображен на с. 1.

В сосуд 1 вплавляется ножка 2, снабженная крючками 3, которые служат для натягивания проволоки. Общая длина проволоки была равна 40 см. Проволока натягивается через перетяжки 4 и 5. После натягивания проволоки дно сосуда за-

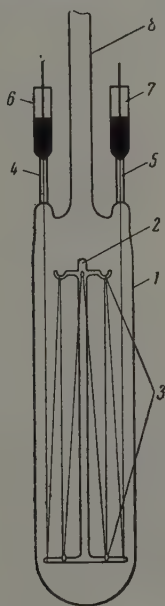


Рис. 1

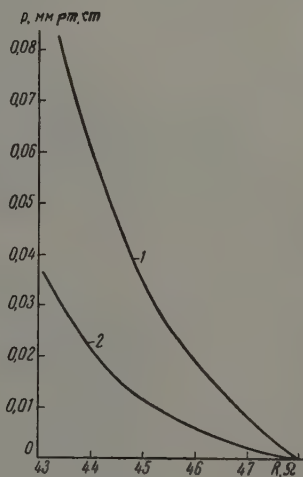


Рис. 2

плавляется, затем отверстия трубок 6 и 7 заклеиваются плицеином, через отвод 8 производится откачка воздуха из манометра. После откачки медная проволока, покрытая стеклом, вплавляется в перетяжках 4 и 5.

Для осуществления контакта с измерительной схемой, после растворения в Ф-слоя стекла, покрывающего медную проволоку выше впая, трубки 6 и 7 наполняются сплавом Вуда. При помощи отводка 8 прибор припаяется к установке, и производится обезгаживание при  $100^\circ \text{C}$ .

При изменении давления стенки сосуда 1 поддерживаются при  $20^\circ \text{C}$ , а нить нагревается до  $120^\circ \text{C}$ .

Сопротивление проволоки в описываемом манометре в течение 2—3 сек. принимает постоянное значение. Это указывает, что наличие стекла на поверхности проволоки не оказывает заметного влияния на его инерционность. Сопротивление манометра в вакууме было равно 51  $\Omega$ . Калибровочная кривая манометра по воздуху (кривая 1) приведена на рис. 2. Из табличных данных следует, что упругость паров хлора при  $-140^\circ$  равна  $5 \cdot 10^{-3}$  мм рт. ст., а при  $-156^\circ\text{C}$  —  $1 \cdot 10^{-3}$  мм рт. ст. В этих условиях сопротивление проволоки, как видно и рис. 2, меньше сопротивления проволоки при аналогичных условиях в воздухе (кривая 2). Описанный прибор был применен для измерения давления хлора в адсорбционном исследовании. В течение месяца калибровочная кривая практически не изменялась.

Академия наук СССР  
Институт электрохимии  
Москва

Поступила  
7.I.1959

#### ЛИТЕРАТУРА

1. А. В. Улитовский, Приборы и техника эксперимента, № 3, 115, 1957.

#### MANOMETER FOR MEASURING THE PRESSURES OF AGGRESSIVE GASES

*R. Kh. Burshtein and D. L. Kondrashov (Moscow)*

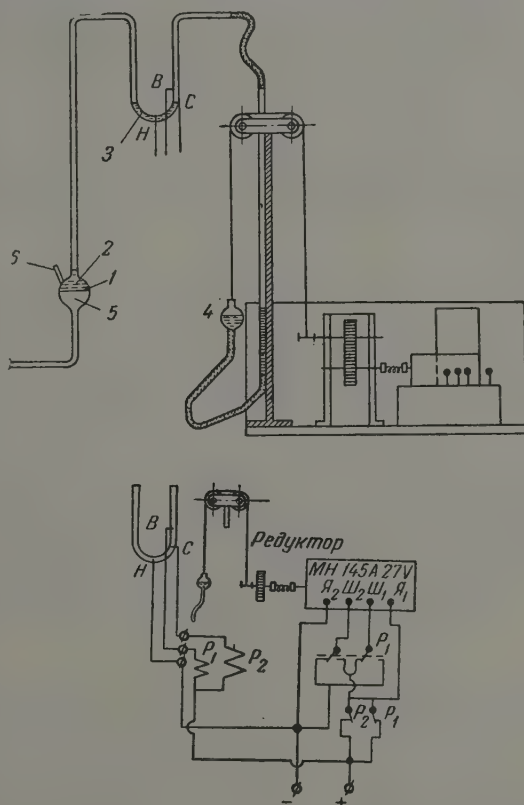
#### S u m m a r y

For measuring the pressures of aggressive gases use has been made of a Pirani type of manometer in which a copper wire has been hung, coated with a glass layer  $2 \mu$  thick. The manometer was used to measure the pressure of chlorine in adsorption studies. The calibration curve of the manometer maintained its values in the course of several months.

## САМОКОМПЕНСИРУЮЩИЙСЯ МЕМБРАННЫЙ МАНОМЕТР

Е. В. Чмутов, В. С. Лапик, П. М. Калачев и  
Ю. А. Силкин

При работе с агрессивными газами и парами обычно применяются манометры, основанные на упругих свойствах тел. Одним из таких приборов является манометр с плоской стеклянной мембраной. Из-за сравнительно узкого диапазона измеряемых давлений такие манометры чаще всего используются как дифференциальные или как пьезоинструменты. В последнем случае они снабжаются специальным компенсационным устройством. Однако ручная компенсация требует внимания экспериментатора в течение всей работы, что неудобно при длительных опытах.



Нижесписанный мембранный манометр с автоматической компенсацией позволяет работать в широком диапазоне давлений и не требует постоянного наблюдения. Чувствительным элементом манометра является тонкая мембрана 1 (рисунки). При повышении давления мембрана прогибается, причем повышает давление в объеме 2. Повышение давления меняет уровень ртути в жидкостном манометре 3, в результате чего ртуть замыкает контакты  $H-B$ . Это вызывает срабатывание реле  $P_1$ ,



которое включает реверсивный мотор МН-145А. Мотор поднимает сосуд 4 с ртутью (или другой жидкостью) для компенсации давления в объеме 5. При достижении компенсации контакты  $H - B$  размыкаются, реле  $P_1$  отпускает, и мотор останавливается. При понижении давления в объеме 5 ртуть в манометре 3 размыкает контакты  $H - C$ , что вызывает отпускание реле  $P_2$  и пуск мотора в обратную сторону. Сосуд 4 опускается, и компенсирующее давление уменьшается до достижения равновесия с давлением в объеме 5.

При этом вновь замыкаются контакты  $H - C$ , срабатывает реле  $P_2$ , и мотор останавливается. Для повышения чувствительности объем 2 через отросток 6 заполняется какой-либо жидкостью, например, дистиллированной водой. Диапазон изменения величины компенсирующего давления, а следовательно, и диапазон измеряемых давлений определяется высотой подъема сосуда 4 и удельным весом заполняющей его жидкости.

Релейная схема, показанная на рисунке, предназначена для работы с мотором постоянного тока типа МН-145А. Она применима также для конденсаторных моторов переменного тока (например, типа РД-07). Для работы с мотором типа СРД-2 схема должна быть видоизменена, чтобы обеспечивать замыкание первой или второй обмоток.

Академия наук СССР  
Институт физической химии  
Москва

Поступила  
16.III.1959

### SELF-COMPENSATING MEMBRANE MANOMETER

*K. V. Chmutov, V. S. Lapik, P. M. Kalachov*  
and *Yu. A. Silkin (Moscow)*

#### Summary

A simple construction has been described of a manometer with a plane glass membrane provided with an automatic device for compensating the pressure being measured.

The design permits measurement of the pressure of aggressive gases over a wide range of values.

## ДИСКУССИЯ

## О ВЫЧИСЛЕНИИ ИОНИЗАЦИОННЫХ ПОТЕНЦИАЛОВ АТОМОВ

А. Я. Лисютин

В работах [1, 2] было установлено, что экспериментально наблюдаемые ионизационные потенциалы атомов подчиняются нескольким, не зависимым друг от друга, эмпирическим формулам.

Вводя символы ионизационных потенциалов в виде  $E_{z, n}$ , где первый индекс соответствует порядковому номеру элемента  $z$ , а второй — порядковому номеру ионизирующего электрона  $n$  (причем отсчет этих электронов ведется, начиная с ближайшего к электрона), мы можем написать эти эмпирические формулы в виде:

$$E_{z, n} = E_{n, n} + (E_{n+1, n} - E_{n, n})(z - n) + k_n(z - n - 1)(z - n); \quad (1)$$

$$E_{z+1, n+1} = E_{z, n} + E_{n+1, n+1} - E_{n, n} + [k_n + \delta'_n(z - n - 1)](z - n); \quad (2)$$

$$E_{z-1, n+1} = E_{z, n} + E_{n+1, n+1} - E_{n+2, n} - [k_n'' - \delta_n''(z - n - 3)](z - n - 2); \quad (3)$$

$$E_{z, n+1} = E_{z, n} + E_{n+1, n+1} - E_{n+1, n} - [k_n''' - \delta_n'''(z - n - 2)](z - n - 1). \quad (4)$$

Здесь  $k_n, k_n', k_n'', k_n''', \delta_n, \delta_n', \delta_n'', \delta_n'''$  — параметры, не зависящие друг от друга и не зависящие от порядкового номера элемента. Они зависят только от номера ионизирующего электрона, на что указывает индекс.

Все эти параметры установлены эмпирически, в соответствии с экспериментальными наблюдениями ионизационных потенциалов. Для каждого параметра в указанных работах приведены таблицы.

Количество ионизационных потенциалов, экспериментально наблюдаемых, не важно, а потому формулы (1) — (4) преследуют цель обеспечения возможности предсказания ионизационных потенциалов, которые экспериментально еще не определены.

Если расположить все ионизационные потенциалы в виде полуквадратной таблицы, как всегда  $z \geq n$ , где определенным  $z$  соответствуют строки, а определенным  $n$  — столбцы, то формула (1) указывает на связь ионизационных потенциалов по вертикали, формулы (2) и (3) по диагоналям и (4) по горизонтали. Следует отметить, что формулы (3) и (4) по существу являются рекуррентными формулами, связывающими между собой только близко стоящие ионизационные потенциалы.

Прежде всего не трудно подметить, что формула (1) является следствием дифференциального уравнения второго порядка в конечных разностях:

$$\Delta^2 E_{z, n} = 2k_n, \quad (5)$$

вытекает непосредственно из (1), которое можно записать в виде

$$E_{z, n} = a_n + b_n z + c_n z^2.$$

Таким образом, что уравнения (2) — (4) являются следствием уравнения (1), что приводит к установлению определенной зависимости  $k_n, k_n', k_n'', k_n''', \delta_n, \delta_n', \delta_n'', \delta_n'''$  от  $E_{z, n}$  и  $k_n$ . Действительно, можно показать, что формула (2) является следствием формулы (1). Составим на основании (1) выражение для

$$E_{z+1, n+1} = E_{n+1, n+1} + (E_{n+2, n+1} - E_{n+1, n+1})(z - n) + k_{n+1}(z - n - 1)(z - n).$$

Таблица значений коэффициентов  $k, k', k'', k''', \delta', \delta'', \delta'''$ 

$n$	$k$	$\delta'-\delta''-\delta'''$	$k'$	$k''$	$k'''$	$n$	$k$	$\delta'-\delta''-\delta'''$	$k'$	$k''$	$k'''$
1	13,54	0,00	10,20	43,96	16,88	28	2,33	-1,21	-2,36	11,68	7,02
2	13,54	-10,13	-38,07	92,23	65,15	29	1,12	0,02	0,65	3,83	1,59
3	3,41	0,03	2,94	10,70	3,88	30	1,14	0,05	-1,04	5,60	3,32
4	3,44	0,10	0,31	13,45	6,57	31	1,19	0,03	0,80	3,96	1,58
5	3,54	0,05	2,17	11,99	4,91	32	1,22	0,02	0,74	4,14	1,70
6	3,59	0,05	2,07	12,29	5,11	33	1,25	0,01	0,20	4,80	2,30
7	3,64	0,03	0,90	13,66	6,38	34	1,26	0,04	0,74	4,30	1,78
8	3,67	0,05	2,07	12,61	5,27	35	1,30	0,02	0,80	4,40	1,80
9	3,72	0,05	1,97	12,91	5,47	36	1,32	0,03	-6,47	11,75	9,11
10	3,77	-2,15	-15,17	30,25	22,71	37	1,35	0,04	-0,05	5,45	2,75
11	1,62	0,02	1,21	5,27	2,03	38	1,39	0,04	1,75	4,81	1,03
12	1,64	0,08	-0,87	7,43	4,15	39	1,43	0,05	-1,81	7,53	4,67
13	1,72	0,04	1,26	5,62	2,18	40	1,48	0,04	1,61	4,31	1,35
14	1,76	0,04	1,21	5,81	2,31	41	1,52	-0,02	0,81	5,27	2,23
15	1,80	0,03	0,61	6,59	2,99	42	1,50	0,03	0,27	4,77	1,77
16	1,83	0,04	1,20	6,12	2,46	43	1,53	0,06	1,50	4,62	1,56
17	1,87	0,04	1,14	6,34	2,60	44	1,59	0,04	1,58	4,78	1,60
18	1,91	0,13	-8,22	15,86	12,04	45	1,63	0,02	1,15	5,37	2,11
19	2,04	0,05	-1,00	9,16	5,08	46	1,65	-0,74	-3,92	10,52	7,22
20	2,09	0,01	0,35	8,01	3,83	47	0,91	0,03	0,60	3,04	1,22
21	2,10	0,05	1,43	6,97	2,77	48	0,94	-0,01	-1,02	4,72	2,84
22	2,15	0,04	1,35	7,25	2,95	49	0,93	0,03	0,67	3,05	1,19
23	2,19	0,03	-1,87	10,63	6,25	50	0,96	0,03	1,51	2,32	0,41
24	2,16	0,04	0,68	7,96	3,64	51	0,99	0,01	-0,76	2,72	2,74
25	2,20	0,05	1,15	7,65	3,25	52	1,00	0,02	0,53	3,47	1,47
26	2,25	0,05	1,44	7,56	3,06	53	1,02	0,02	0,54	3,54	1,50
27	2,30	0,03	1,65	7,55	2,95	54	1,04	0,97	-5,17	9,33	7,25

Вычитая из написанного равенства уравнение (1), получим

$$E_{z+1, n+1} - E_{z, n} = E_{n+1, n+1} - E_{n, n} + [E_{n+2, n+1} - E_{n+1, n+1} - E_{n+1, n} + E_{n, n} + (k_{n+1} - k_n)(z - n - 1)](z - n).$$

Сравнивая это с формулой (2), мы будем иметь следующие выражения для  $k_n$  и  $\delta_n$ :

$$k'_n = E_{n+2, n+1} - E_{n+1, n+1} - E_{n+1, n} + E_{n, n},$$

$$\delta'_n = k_{n+1} - k_n,$$

что позволяет вычислять эти параметры через известные величины потенциалы ионизации и параметры  $k_n$ . Аналогично можно показать, что и (3), а также и (4) являются следствием (1), что дает возможность установить следующие соотношения

$$k''_n = 4k_n - E_{n+2, n+1} + E_{n+1, n+1} + E_{n+1, n} - E_{n, n},$$

$$\delta''_n = k_{n+1} - k_n,$$

$$k'''_n = 2k_n - E_{n+2, n+1} + E_{n+1, n+1} + E_{n+1, n} - E_{n, n},$$

$$\delta'''_n = k_{n+1} - k_n.$$

Таким образом, можно констатировать, что приведенные в работах [1, 2] таблицы для параметров  $k'_n, k''_n, k'''_n, \delta'_n, \delta''_n, \delta'''_n$  кроме  $k_n$  не являются независимыми, тем более, что они не отличаются точностью.

Утверждая, что формулы (2) — (4) являются скорее рекуррентными формулами, мы постараемся теперь установить связь между потенциалами ионизации для электронов, находящихся на достаточно большом расстоянии как по  $z$ , так и по  $n$ , для чего, используя вновь уравнение (1), напомним выражение для  $E_{z+a, n+b}$ , где  $a$  и  $b$  — любые целые числа, удовлетворяющие неравенству

$$z + a \geq n + b,$$

как у элемента с порядковым номером  $z + a$  не может быть электронов больше  $z = a$ , в виде

$$E_{z+a, n+b} + E_{n+b, n+b} + (E_{n+b+1, n+b} - E_{n+b, n+b})(z + a - n - b) + \\ + k_{n+b}(z + a - n - b - 1)(z + a - n - b).$$

Итак из этого равенства  $E_{z, n}$  по формуле (1) и производя соответствующие образования, будем иметь

$$E_{z+a, n-b} - E_{z, n} = E_{n+b, n+b} - E_{n, n} + [k_n(a - b) + E_{n+b+1, n+b} - \\ - E_{n+b, n+b} - E_{n+1, n} + E_{n, n} + (k_{n+b} - k_n)(z - n + a - b - 1)] \times \\ \times (z - n + a - b) + [E_{n+1, n} - E_{n, n} + k_n(z - n)](a - b).$$

### Выводы

Устанавливается, что из четырех эмпирических формул, приведенных для вычисления ионизационных потенциалов и даваемых в качестве независимых уравнений независимыми параметрами [1, 2], три могут быть выведены как следствие остальных уравнений. Это обстоятельство указывает на функциональную зависимость между параметрами, которая и приведена в работе.

Институт киноинженеров  
Ленинград

Поступила  
1.XII. 1957

### ЛИТЕРАТУРА

- П. В. Немцев, Ж. физ. химии, 29, 1031, 1955.  
П. В. Немцев, Ж. физ. химии, 29, 1236, 1955.



## ПИСЬМА В РЕДАКЦИЮ

ВЛИЯНИЕ ВНУТРИМОЛЕКУЛЯРНОГО ВЗАИМОДЕЙСТВИЯ  
НА МОЛЕКУЛЯРНУЮ РЕФРАКЦИЮ

Н. Н. Тютюлков

Рефракция  $R$  многих органических молекул может быть представлена как сумма рефракций отдельных связей  $R_i$ . В тех же случаях, когда наблюдаются отклонения от аддитивной схемы, например, для молекул с сопряженными связями, необходимо вводить экзальтацию  $\Delta R$ , характеризующую это отклонение.

В настоящей работе на осцилляторной модели химической связи рассматривается влияние взаимодействия сопряженных связей на рефракцию; при этом предполагается, что взаимодействие связей можно приближенно рассматривать как взаимодействие гармонических осцилляторов. Подобная модель с несколько иных точек зрения обсуждалась в работе Куна [1] и в монографии [2].

Сопоставим каждой химической двойной связи трехмерный осциллирующий диполь с массой  $m$ , зарядом  $e$ , «продольной» и двумя «поперечными» частотами  $\omega_1, \omega_2 = \omega_0$ .

При этом рефракция связи дается выражением

$$R = \frac{4}{3} \pi N \alpha = \frac{4}{9} \pi N \frac{e^2}{m} \frac{1}{\omega_1^2 - \omega_0^2} + \frac{4}{9} \pi N \frac{e^2}{m} \frac{2}{\omega_2^2 - \omega_0^2} = R_1 + 2R_2, \quad (1)$$

где  $\alpha$  — поляризуемость связи.

Для расчета рефракции двух сопряженных связей  $a$  и  $b$  необходимо решить уравнения колебаний двух диполей с учетом их взаимодействия и найденную величину  $R$  усреднить по всем ориентациям молекулы. Энергия диполь-дипольного взаимодействия  $U$  имеет вид

$$U[(p_a p_b) r^2 - 3(p_a r)(p_b r)] / r^5 \equiv \sum_{i,k} k_{ik} p_{a_i} p_{b_i}. \quad (2)$$

Здесь  $r$  обозначает радиус-вектор между диполями  $a$  и  $b$  с моментами  $p_a$  и  $p_b$  (рисунк). В дальнейшем для простоты ограничимся случаем компланарных связей, так что  $k_{ik} = 0$  при  $i, k = 3$ . Обобщение на пространственный случай не представляет затруднений.

Решая уравнения движения связанных диполей под действием периодической силы  $E = E_0 e^{i\omega t}$  ( $E_0$  — амплитуда напряженности электрического поля), получаем с точностью до членов порядка  $k^2$ :

$$p_{a_i} = E \frac{e^2}{m} (\omega_{a_i}^2 - \omega_0^2)^{-1} \cos(p_{a_i}, E) - E \frac{e^2}{m} (\omega_{a_i}^2 - \omega_0^2)^{-1} \sum_k k_{ik} (\omega_{b_k}^2 - \omega_0^2)^{-1} \cos(p_{b_k}, E), \quad (3)$$

и аналогичное выражение для  $p_{b_i}$ . Вычисляя проекцию суммарного момента  $p_a + p_b$  на вектор  $E$  и усредняя по всем ориентациям молекулы, приходим к выражению

$$R = R_a + R_b - \frac{3}{2\pi N} \sum_{ik} k_{ik} \cos \beta_{ik} R_{a_i} R_{b_k}, \quad (4)$$

где  $\beta_{ik}$  — угол между компонентами  $p_{a_i}$  и  $p_{b_k}$ . Третий член этой формулы равен экзальтации и характеризует отклонение от аддитивности. Выражая  $r$  в ангстремах и полагая  $N = 6,02 \cdot 10^{23}$ , получаем

$$\Delta R = -2,385 \sum_{k,i} k_{ik} \cos \beta_{ik} R_{a_i} R_{b_k}. \quad (5)$$

трудно получить также выражение для  $\Delta R$  с точностью до членов порядка  $k^3$ :

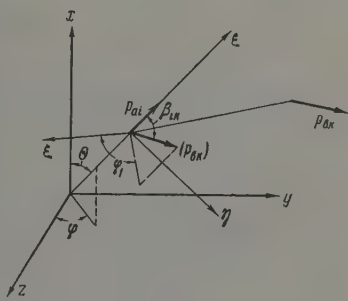
$$\Delta R = -2,385 \sum_{i,k} k_{ik} \cos \beta_{ik} R_{a_i} R_{b_k} + 1,425 \sum_{ik} k_{ik}^2 R_{b_k} R_{a_i} (R_{a_i} + R_{b_k}). \quad (6)$$

Рассчитаем на основании выражения (6) экзальтации некоторых органических молекул.

Экспериментальная величина  $\Delta R$  для бутадиена равна 1,42 [3]. Если для полязуемости связи  $C=C$  и молекулярных констант бутадиена использовать данные Бая и Ванга (см. [4]) и результаты электрооптических исследований [5], то вычисленные величины  $\Delta R$  для *транс*- и *цис*-конфигураций равны 1,49 и 0,07. Следовательно, для бутадиена должны принять *транс*-конфигурацию, что согласуется также с выводами работы [6]. С другой стороны, рассчитанная величина  $\Delta R = -0,07$  для *цис*-конфигурации находится в качественном согласии с экспериментальной величиной  $\Delta R = -0,03$  для 1,3-циклогексадиена.

Экспериментальная величина экзальтации 1,4-циклогексадиена равна  $-0,58$  [6, 7]. Поскольку молекулярные константы 1,4-циклогексадиена неизвестны, в качестве длины связи  $C_2-CN$  и угла  $CN-CN_2-CN$  мы используем соответствующие величины для молекулы циклогексана (1,53 Å и  $109^\circ 30'$ ). Вычисленная величина  $\Delta R$  равна  $-0,59$ .

Такое же удовлетворительное согласие между экспериментальными и вычисленными величинами  $\Delta R$  наблюдается для молекул 1,3-циклопентадиена [6] ( $R_{оп} = -0,31$ ,  $\Delta R_{выч} = -0,36$ ), метилвинил-ацетилен [7-10] ( $\Delta R_{оп} = 1,31$ ,  $\Delta R_{выч} = 1,80$ ), кротонового альдегида [11] ( $\Delta R_{оп} = 1,17$  [12];  $1,36$  [13],  $\Delta R_{выч} (транс) = 1,17$ ;  $\Delta R_{выч} (цис) = 0,05$ ) и карвенона [14] ( $\Delta R_{оп} = 1,14$ ,  $\Delta R_{выч} = 1,17$ ).



Высший медицинский институт  
Кафедра медицинской химии  
София

Поступила  
3.IX.1958

#### ЛИТЕРАТУРА

1. W. Kuhn, *Helv. chim. acta*, **31**, 1780, 1951.
2. М. В. Волькенштейн, М. А. Ельяшевич, Б. И. Степанов, *Колебания молекул*, т. II, Москва, 1949, стр. 247.
3. М. В. Волькенштейн, *Молекулярная оптика*, Москва, 1951, стр. 32, 65.
4. Landolt-Börnstein, *Zahlenwerte und Funktionen*, 3. Teil, Molekeln II, Berlin, 1951.
5. V. Schomaker, L. Pauling, *J. Amer. Soc.*, **61**, 1769, 1939.
6. W. Hüskel, *Theoret. Grndl. org. Chemie*, 1954, 2B, Leipzig, 214, 171.
7. М. В. Волькенштейн, *Строение и физические свойства молекул*, Москва, 1955, стр. 124.
8. R. A. Jacobson, W. H. Carothers, *J. Amer. Chem. Soc.*, **55**, 1622, 1933.
9. A. I. Vogel, W. T. Gressuel, G. H. Jaffery, J. Leicester, *J. Chem. Soc., London*, 531, 1952.
10. R. Spurr, V. Schomaker, *J. Amer. Chem. Soc.*, **69**, 2693, 1947.
11. H. Mackill, L. E. Sutton, *Trans. Faraday Soc.*, **47**, 691, 1951.
12. K. Auwers, F. Eisenlohr, *J. prakt. Chem. (2)*, **82**, 114, 116, 1910.
13. Я. К. Сыркин, М. Е. Дяткина, *Химическая связь и строение молекул*, М., 1946, стр. 244.
14. K. Auwers, F. Eisenlohr, *J. prakt. Chem. (2)*, **84**, 19, 1911.

## О СТРУКТУРЕ КОНДЕНСИРОВАННОГО В ВАКУУМЕ ГЕРМАНИЯ

Н. А. Шишаков

Известно, что кремний получается в кристаллическом состоянии (с решеткой типа алмаза) даже при конденсации в вакууме на подслое, имеющий комнатную температуру. Германий, наоборот, получается в кристаллическом виде лишь при достаточно точном нагревании подслоя; при конденсации же на холодный подслой он получается в аморфном виде.

Кенигом [1] электронографическим путем было показано, что по своей структуре твердый аморфный германий значительно отличается от жидкого. Детальное исследование структуры первого было проведено Фюрстом, Глоккером и Рихтером [2]. Тонкие слои германия получались конденсацией на кристалл хлористого натрия, имеющих комнатную температуру, отслаивались от кристалла водой и упаковывались стопками для рентгеновского исследования. Полученные сведения о рассеянии контролировались также электронографическим путем. Вместе с нашими электронографическими данными эти результаты приведены далее в табл. 1.

Если не считать наших данных для толстой пленки, можно констатировать удивительное совпадение всех этих данных друг с другом и значительное их отличие от данных для кристаллического германия, приведенных далее в табл. 3. Наши элек-

Таблица 1

Сравнительные данные о рассеянии электронных и рентгеновских лучей аморфным германием;  $I$  означает интенсивность максимума,  $d = \frac{\lambda}{2 \sin \vartheta}$

Электронные лучи [1]		Электронные лучи [2]		Рентгеновские лучи [2]		Наша тонкая пленка		Наша толстая пленка	
						электронные лучи			
<i>I</i>	<i>d</i>	<i>I</i>	<i>d</i>	<i>I</i>	<i>d</i>	<i>I</i>	<i>d</i>	<i>I</i>	<i>d</i>
Сильный	3,30	—	3,33	Сильный	3,30	Сильный	3,4	Сильный	3,7
»	1,87	—	1,84	»	1,83	»	1,8	»	1,8
Средний	1,20	—	1,18	Средний	1,18	»	1,16	Средний	1,11
		—	0,96	Слабый	0,97	—	—	Слабый	0,86
						Средний	0,74		
						Слабый	0,57		

Таблица 2

Интенсивности  $I$  и положения  $r$  максимумов на кривых радиального распределения для аморфного германия по различным данным

Глоккер [2]		Наш тонкий слой		Наш толстый слой	
$I$	$d$	$i$	$d$	$I$	$d$
Сильный	2,40	Сильный	1,3	Сильный	1,8
		»	1,7		
		»	2,4		
»	3,95	Слабый	3,0	»	3,6
		Сильный	4,0		
Слабый	5,2	Слабый	4,6	Слабый	4,5
»	5,9	Слабый	5,8	»	5,5

нографические данные имеют то преимущество для анализа радиального распределения, что они содержат очень далекие отражения, к которым очень чувствительна начальная часть кривой радиального распределения.

Найденная в [2] функция вероятности радиального атомного распределения показала, что на двух координационных сферах с радиусами 2,40 и 3,95 Å находятся соответственно числа атомов 4 и 12 (в жидком германии радиус первой координацион-

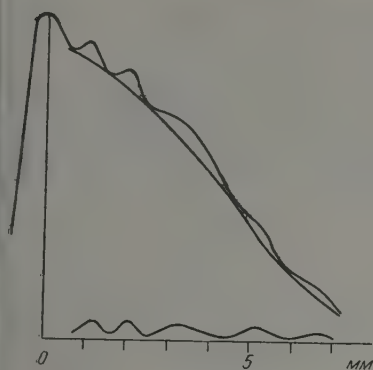


Рис. 1

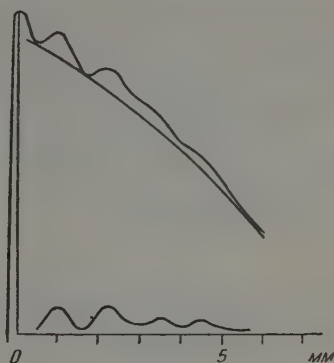


Рис. 2

ной сферы равен 2,70 Å). Авторы приходят к заключению, что степень порядка в аморфном германии распространяется всего лишь на два тетраэдра, где вершина одного является центром другого, как и в кристаллической решетке. Эти пары тетраэдров могут быть как угодно повернуты вокруг соединяющей их оси; от этого вторая координационная сфера не меняется, но характерное для кристаллического состояния расстояние 3,2 Å на кривых радиального распределения не проявляется.

Для того чтобы расширить кривую радиального распределения на область расстояний, меньших 2,0 Å, из исследовавшуюся в [2], мы также получили электронограммы от пленок германия, конденсированных на целлулоидную пленку в вакууме самом электронографе. Электронограммы подвергались далее микрофотометрированию.

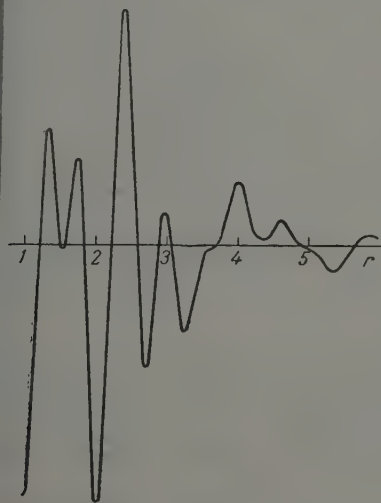


Рис. 3

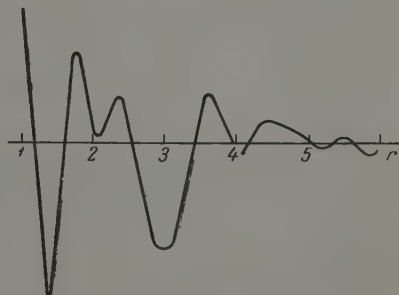


Рис. 4

На рис. 1 приведена микрофотометрическая запись с электронограммы, полученной с очень тонкой пленки германия. Вместе с нею приведена рафинированная кривая, полученная за вычетом фона от атомного рассеяния. На рис. 2 приведены такие же результаты для более толстой пленки германия, полученной путем добавочной конденсации германия на первую пленку.



Для получения кривых радиального распределения по известной [3] формуле

$$D(r) = \sum I s^2 \frac{\sin sr}{sr},$$

из первой экспериментальной кривой было использовано 26 ординат, а из второй — 21 ордината. Результаты представлены на рис. 3 и 4. Для сопоставления с данными [2] приводится табл. 2, которая позволяет сделать следующие заключения.

Найденные в [2] межатомные расстояния 2,4 и 4,0 Å обнаруживаются и в наших опытах, в особенности с тонкой пленкой германия. Поэтому сделанные в [2] выводы о структуре аморфного германия представляются в основном правильными.

О межатомных расстояниях, превышающих 4,0 Å, ничего определенного сказать нельзя, так как максимумы выражены недостаточно отчетливо. Заслуживает внимания область самых малых расстояний, хотя о ней можно судить только на основании наших опытов.

Сильный максимум при  $r = 1,7-1,8$  Å представляется реальным, но его нельзя отнести к расстоянию Ge—Ge. Поэтому следует признать, что в данном объекте

Таблица 3

Результат рентгенографирования тонких листочков конденсированного в высоком вакууме германия. Излучение железное, нефильтрованное

Излучение	<i>I</i>	<i>d</i>	<i>hkl</i>	<i>a</i>
β	5	3,32	111	5,75
α	10	3,32	111	5,75
β	5	2,005	220	5,67
α	10	2,013	220	5,69
β	5	1,706	311	5,66
α	10	1,712	311	5,68
β	3	1,415	400	5,66
α	5	1,414	400	5,66
α	5	1,296	331	5,65
β	3	1,080	333	5,62
α	8	1,153	422	5,65
α	8	1,088	333	5,64
β	3	0,948	531	5,61
α	8	0,997	440	5,64
Среднее 5,66 Å				

имеется в значительных количествах также и кислород, может быть, в виде атомарного иона  $O^{2-}$ , ибо для расстояния Ge—O известна близкая величина, а именно 1,6 Å в кристаллической двуокиси  $GeO_2$ . Происхождение окиси германия на поверхности понять не трудно, если принять во внимание, что в электронографе во время опыта вполне мог быть вакуум порядка  $10^{-4}$  мм рт. ст., а время жизни слоя до получения электронограммы составляло примерно 1 мин. Если считать, что парциальное давление кислорода составляло здесь 0,2 общего давления остаточного газа, то за эту минуту о поверхность пленки ударились бы  $4 \cdot 10^{16}$  молекул кислорода. Поэтому условия для возникновения некоторой окисной пленки можно считать вполне благоприятными.

Происхождение другого сильного максимума, которому соответствует расстояние 1,3 Å, может быть объяснено предположением, что в объекте исследования находятся в значительных количествах также и молекулы (или молекулярные ионы) кислорода. Именно такой молекулярный ион наблюдался ранее [3] в одной из окисей золота, причем выводы по кривой радиального распределения были подтверждены и исследован

иями структуры этой окиси по текстурдиаграмме [4]. Было показано также [5], что на поверхности разных металлов существует поверх обычной окисной пленки также и слой кислорода, способный улетучиваться при понижении давления, что указывает на его молекулярную природу. Поэтому вполне можно предполагать, что на поверхности германия существует (даже при низких давлениях), кроме некоторой окисной пленки, также и надстройка из молекул (или молекулярных ионов) кислорода, расстояния в которых и проявляются на кривой радиального распределения.

Однако все эти соображения, указывающие на аморфный характер конденсированного германия, нельзя считать абсолютной истиной. Представлялось, что причиной аморфного состояния мог бы оказаться кислород, который должен был присутствовать в виде примеси к германию в значительных количествах в силу того, что все указанные опыты с получением конденсированных слоев проводились в весьма умеренном вакууме. Следует ли отсюда, что структура конденсированного германия не зависит от степени совершенства вакуума?

Чтобы решить этот вопрос, пришлось заняться получением конденсированных слоев германия в вакууме порядка  $10^{-6} - 10^{-7}$  мм рт. ст., причем испарение кусочка германия производилось только после предварительного длительного его прогревания при температуре около  $800^\circ C$ . Результат получился противоположным прежним результатам. Оказалось, что в хорошем вакууме германий получается при конденсации в прекрасном кристаллическом состоянии (табл. 3), и в этом отношении он не отличается от конденсированного кремния.

Из таблицы видно, что конденсированному германию свойственна структура алмазного типа. Особо следует подчеркнуть, что высокие интенсивности отражений при

бших углах рассеяния указывают на достаточно высокое совершенство решетки. Таким образом причиной полного расстройтва решетки в прежних исследованиях приходится считать включенный внутрь германия кислород.

Конденсация в высоком вакууме дает кристаллический продукт.

Академия наук СССР  
Институт физической химии  
Москва

Поступила  
18.II.1959

#### ЛИТЕРАТУРА

- H. König, Optik, 3, 201, 1948.  
O. Fürst, R. Glocker, R. Richter, Z. Naturforsch, 4a, 540, 1949;  
6a, 38, 1951.  
Н. А. Шишаков, Ж. физ. химии, 31, 33, 1957.  
Н. А. Шишаков, Кристаллография, 2, 686, 1957.  
В. В. Андреева и Н. А. Шишаков, Ж. физ. химии, 32, 1671, 1958.
-

## ВЛИЯНИЕ ИОНОВ $\text{SO}_4^{2-}$ НА ОБРАЗОВАНИЕ КАТОДНОЙ ПЛЕНКИ ПРИ ЭЛЕКТРООСАЖДЕНИИ ХРОМА

М. А. Шлугер и В. А. Казаков

В последнее время рядом авторов [1—3] в результате анализа осциллограмм «сила тока — время» показано, что при электролизе раствора хромовой кислоты, содержащего ионы сульфата, на поверхности катода образуется пленка. Эта пленка вызывает смещение катодного потенциала до значений, при которых оказываются возможными разряд ионов водорода и осаждение металлического хрома. Обычно считали [2—6], что роль вводимых в электролит ионов  $\text{SO}_4^{2-}$  состоит в растворении или разрыхлении катодной пленки, образующейся в растворе чистой хромовой кислоты. Однако вопреки общепринятому мнению, А. Т. Ваграмян и Д. Н. Усачев [7] считают, что присутствие в электролите постороннего аниона способствует образованию пленки и затрудняет процесс восстановления.

С целью выяснения роли ионов  $\text{SO}_4^{2-}$  в формировании пленки, нами было впервые проведено микроследование катодного процесса при электроосаждении хрома при помощи микрокиноустановки МКУ-1. Наблюдения вели в проходящем свете, скорость киносъемки варьировалась от 1,5 до 12 кадр./сек. В качестве катода наиболее удобным оказалось использовать острие заточенной электролитическим путем медной проволоки, имевшей диаметр 0,3 мм. Перед опытами катод покрывали слоем хрома. Электролиз вели при 20°C с платиновым анодом в кювете емкостью 10 мл. Сила тока была равна 25 мА, что соответствовало получению средней плотности тока порядка 50 А/дм<sup>2</sup>. Концентрация  $\text{CrO}_3$  во всех случаях была 250 г/л.

Непосредственно в процессе электроосаждения пленку обнаружить не удалось из-за обильного выделения пузырьков водорода, затрудняющих наблюдение катодной поверхности. Однако после выключения тока пленка десорбируется, разрыхляется и в течение нескольких секунд вокруг катода образуется коллоид, отчетливо наблюдаемый под микроскопом. По прошествии некоторого времени коллоид полностью растворяется.

На рис. 1 представлены кинокадры, иллюстрирующие появление пленки вокруг катода после выключения поляризующего тока. Первый кадр фиксирует момент выключения тока. На кадрах 2—5 видны последовательные стадии появления катодной пленки. Кадры на рис. 2 сняты при прекращении электролиза раствора, не содержащего ионов  $\text{SO}_4^{2-}$ . Из сопоставления рис. 1 и 2 следует, что катодная пленка при электролизе раствора хромовой кислоты обнаруживается лишь в присутствии ионов  $\text{SO}_4^{2-}$ . т. е., когда происходит осаждение металлического хрома.

Необходимо также отметить и тот факт, что пленка образуется только в том случае, когда электролиз велся при тех значениях катодного потенциала, при которых осаждается хром и выделяется водород. Если электролиз вести при более положительном потенциале катода, когда идет лишь неполное восстановление до  $\text{Cr}^{3+}$ , то пленка не образуется. Это можно объяснить тем, что в последнем случае не происходит повышения pH прикатодного слоя до тех значений, при которых оказывается возможным образование коллоида.

Как следует из рис. 3, увеличение концентрации ионов  $\text{SO}_4^{2-}$  способствует образованию более плотной пленки. Наблюдаемое явление (рис. 3) нельзя объяснить более активным действием повышенной концентрации  $\text{SO}_4^{2-}$  на коагуляцию коллоида, ибо в этом случае, после выключения поляризующего тока, время его существования уменьшалось. В действительности имеет место обратное явление — с увеличением концентрации  $\text{H}_2\text{SO}_4$  от 2,5 до 5 и 10 г/л, с момента выключения тока и до полного растворения пленки проходит соответственно: 12—13, 16—17 и 20—22 сек.

Таким образом, полученные результаты так же, как и выводы по работе [7], свидетельствуют о том, что введение в раствор для электроосаждения хрома ионов  $\text{SO}_4^{2-}$  способствует не разрыхлению, а наоборот, — образованию пленки на катоде. С этой точки зрения, представляется более логичным объяснить очень многие явления, наблюдаемые при электроосаждении хрома. Так, например, наличие максимума выхода хрома по току при увеличении концентрации серной кислоты, по-видимому, объясняется тем, что вначале ионы  $\text{SO}_4^{2-}$  необходимы для образования пленки, вызывающей смещение катодного потенциала в сторону более электроотрицательных значений, о

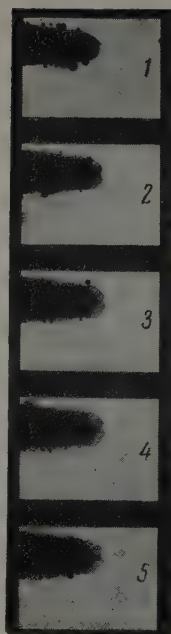


Рис. 1

Рис. 1. Образование пленки вокруг катода при включении поляризующего тока.  $\text{CrO}_3$  250 г/л,  $\text{H}_2\text{SO}_4$  5 г/л (Увеличение 35)

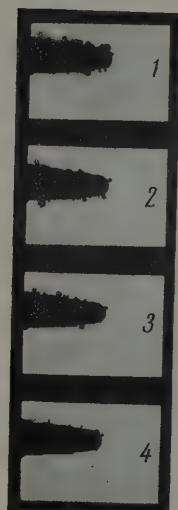


Рис. 2

Рис. 2. То же, что на рис. 1, но для раствора, не содержащего  $\text{H}_2\text{SO}_4$

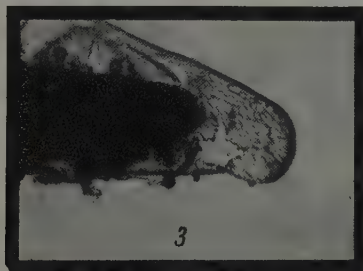


Рис. 3. Пленка на катоде при различном содержании  $\text{H}_2\text{SO}_4$ : 1 — 2,5 г/л; 2 — 5 г/л 3 — 10 г/л (Увеличение 85)





ако в дальнейшем, с увеличением концентрации  $H_2SO_4$ , образование слишком плотного слоя коллоида затрудняет катодный процесс.

Дальнейшее подробное исследование физико-химической природы и свойств катодной пленки несомненно позволит полнее выяснить механизм электроосаждения ррома.

Поступила  
23.III.1959

#### ЛИТЕРАТУРА

- А. Т. Ваграмян и Д. Н. Усачев, Теория и практика электролитического хромирования, Изд-во АН СССР, М., 1957.  
H. Gerischer, M. Kärpel, Z. phys. Chem., 8, 258, 1956.  
М. А. Шлугер, Тр. 4-го Совещания по электрохимии, Изд-во АН СССР, 1959.  
В. И. Лайнер и Н. Т. Кудрявцев, Основы гальваностегии, т. 1, Металлургиядат, М., 1953.  
Ю. Ю. Матулис и М. А. Мицкус, Тр. АН ЛитССР, Б1 (13), 39, 1958.  
А. И. Фаличева и А. И. Левин, Ж. прикл. химии, 32, 308, 1959.  
А. Т. Ваграмян и Д. Н. Усачев, Ж. физ. химии, 32, 1900, 1958.
-

# ОБ ИЗМЕНЕНИИ ФОРМЫ ЛИНИИ ЭЛЕКТРОННОГО ПАРАМАГНИТНОГО РЕЗОНАНСА С ТЕМПЕРАТУРОЙ В РАДИКАЛАХ ПЕРЕКИСНОГО ТИПА

Ю. Н. Молин и Ю. Д. Цветков

Спектр электронного парамагнитного резонанса (ЭПР) облученного тефлона исследовался в работах [1, 2]. В работе [2] было показано, что под действием кислорода первоначально образующиеся радикалы



превращаются в радикалы перекисного типа



Спектр электронного парамагнитного резонанса радикала (2) не имеет сверхтонкой структуры и представляет собою асимметричную линию. Отсутствие сверхтонкой структуры связано с тем, что неспаренный электрон локализован главным образом на атомах кислорода, ядра которых не имеют магнитного момента.

В работе [2] было установлено, что форма линии поглощения радикала (2) существенно зависит от температуры. Нами было проведено исследование формы линии поглощения радикала (2) в интервале температур от  $-198^\circ$  до  $150^\circ\text{C}$ . На рис. 1 показана первая производная линии поглощения, снятая при трех различных температурах. При  $-198^\circ$  и при  $26^\circ\text{C}$  производная линия поглощения имеет асимметричную форму, характерную для анизотропного уширения в случае парамагнитных систем, обладающих осевой симметрией  $g$ -фактора. Обращает на себя внимание тот факт, что асимметрия линии меняет знак при переходе от  $-198^\circ$  к  $26^\circ\text{C}$ , а при температурах около  $-50^\circ\text{C}$  наблюдается почти симметричная линия.

На рис. 2 показано, как меняется с температурой асимметрия линии. За меру асимметрии была принята величина  $A = (h_1 - h_2)/(h_1 + h_2)$ , где  $h_1$  и  $h_2$  соответствуют абсолютным значениям максимума и минимума на производной линии поглощения. Зависимость величины  $A$  от температуры показывает, что в интервалах температур от  $-200^\circ$  до  $-103^\circ\text{C}$  и от  $50^\circ$  до  $150^\circ\text{C}$  величина асимметрии линии практически не меняется. В интервале от  $-100^\circ$  до  $50^\circ\text{C}$  происходит плавное изменение формы линии, причем асимметрия меняет знак при  $\sim 50^\circ\text{C}$ . Неоднократными измерениями было установлено, что наблюдаемые изменения формы линии во всем указанном диапазоне температур являются обратимыми. Кроме того, измерение среднего  $g$ -фактора при  $-198^\circ$  и при  $+26^\circ\text{C}$  дали одну и ту же величину, равную  $2,017 \pm 0,003$ . Поэтому есть все основания полагать, что в указанном интервале температур исследуемый радикал не меняет своей структуры.

Полученные результаты можно объяснить, исходя из предположения, что изменение формы линии с температурой обусловлено изменением характера движения группы  $-\text{O} - \dot{\text{O}}$  относительно  $\text{C} - \text{O}$  связи в радикале (2). При низкой температуре ( $\sim -200^\circ\text{C}$ ) вращение группы  $-\text{O} - \dot{\text{O}}$  относительно  $\text{C} - \text{O}$  связи полностью заторможено. Форма линии в этом случае определяется анизотропией  $g$ -фактора неподвижной  $-\text{O} - \dot{\text{O}}$  группы. При повышении температуры группа  $-\text{O} - \dot{\text{O}}$  получает возможность поворачиваться относительно  $\text{C} - \text{O}$  связи. Если частота поворотов будет достаточно велика по сравнению с шириной исходной линии, выраженной в единицах частоты (в рассматриваемом случае порядка  $10^3$  сек.<sup>-1</sup>), то повороты будут приводить к усреднению  $g$ -фактора по всем возможным положениям  $-\text{O} - \dot{\text{O}}$  группы и к изменению формы линии. Аналогичное усреднение имеет место в жидкостях [3], однако, в отличие от жидкостей, в данном случае будет происходить лишь «частичное» усреднение  $g$ -фактора. Горизонтальные участки кривой на рис. 2 отвечают, таким образом, двум крайним случаям: отсутствию вращения  $-\text{O} - \dot{\text{O}}$  группы и возможности достаточно быстрых поворотов этой группы.

Рассмотрим простейшую модель, предполагающую, что при высоких температурах

ах ( $t > 50^\circ \text{C}$ ) имеет место свободное вращение — О —  $\dot{\text{O}}$  группы относительно С — О связи. Магнитные свойства такой свободно вращающейся группы нетрудно выразить через магнитные свойства неподвижной группы. Будем считать, что  $g$ -фактор неподвижной — О —  $\dot{\text{O}}$  группы обладает осевой симметрией (ось симметрии направлена вдоль О — О связи). Это предположение не является вполне строгим, так как влияние атома С, с которым связана — О —  $\dot{\text{O}}$  группа, должно приводить к некоторому отклонению от осевой симметрии. Однако это отклонение, вероятно, невелико, поскольку форма линии электронного парамагнитного резонанса при температуре  $-200^\circ \text{C}$  хорошо описывается в предположении об осевой симметрии  $g$ -фактора. В случае свободного вращения  $g$ -фактор радикала тоже будет обладать осевой симметрией, причем ось симметрии будет теперь совпадать с осью вращения, т. е. с направлением С — О связи. Компоненты  $g$ -фактора вращающейся группы можно выга-

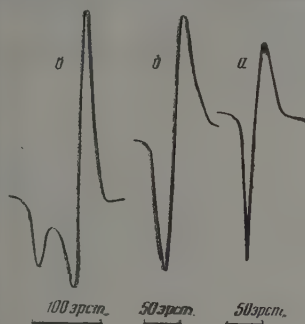


Рис. 1

Рис. 1. Первая производная линии поглощения радикала (2): а — при  $26^\circ \text{C}$ , б — при  $-50^\circ \text{C}$ , в — при  $-196^\circ$

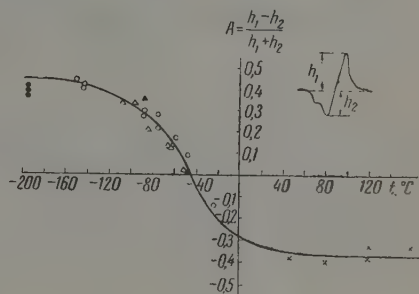


Рис. 2

Рис. 2. Зависимость асимметрии линии от температуры (крестики, кружки и треугольники соответствуют различным сериям измерений)

вить через компоненты  $g$ -фактора неподвижной группы — О —  $\dot{\text{O}}$ , произведя усреднение по вращению. Поскольку в рассматриваемом случае  $g_{\parallel} - g_{\perp} = \Delta g \ll g_{\parallel}$ ,  $g_{\perp}$ , при расчете можно ограничиться лишь членами первого порядка относительно  $\Delta g / g$ , что позволяет получить следующую простую формулу:

$$\frac{\Delta g'}{\Delta g} = 1 - \frac{3}{2} \sin^2 \alpha. \quad (3)$$

Здесь  $\alpha$  — угол между направлениями связи С — О и О — О,  $\Delta g = g_{\parallel} - g_{\perp}$  относится к неподвижной — О —  $\dot{\text{O}}$  группе;  $\Delta g' = g'_{\parallel} - g'_{\perp}$  относится к вращающейся — О —  $\dot{\text{O}}$  группе. При выводе этой формулы мы воспользовались известным выражением для  $g$ -фактора системы, обладающей осевой симметрией:

$$g_{\theta} = \sqrt{g_{\parallel} \cos^2 \theta + g_{\perp} \sin^2 \theta}, \quad (4)$$

где  $\theta$  — угол между осью симметрии и направлением внешнего магнитного поля, а  $g_{\perp}$  и  $g_{\parallel}$  соответствуют перпендикулярному и параллельному направлению магнитного поля относительно оси симметрии [4]. Полученная формула (4) позволяет определить угол  $\alpha$  между связями в радикале (1), если известны  $\Delta g$  и  $\Delta g'$ . Из анализа кривых поглощения найдено

$$\begin{aligned} \Delta g &= +(33 \pm 3) \cdot 10^{-3}, \\ \Delta g' &= -(12 \pm 4) \cdot 10^{-3}, \end{aligned}$$

откуда  $\alpha = 75 \pm 15^\circ$ .

Отметим, что из одного лишь факта, что  $\Delta g$  и  $\Delta g'$  имеют разные знаки, следует

$$\alpha > \arcsin \sqrt{\frac{2}{3}} \approx 55^\circ.$$

Рассмотренная выше модель свободно вращающейся —O—Ȯ группы является, конечно, лишь первым приближением. Для строгой количественной интерпретации полученных данных необходимо знать форму и высоту потенциального барьера для вращения —O—Ȯ группы.

Академия наук СССР  
Институт химической физики  
Москва

Поступила  
28.VIII.1958

#### ЛИТЕРАТУРА

1. W. B. Ard, H. Shields, W. Gordy, J. Chem. Phys., 23, 1927, 1955.
  2. Ю. Д. Цветков, Н. Н. Бубнов, М. А. Макульский, Ю. С. Лазуркин и В. В. Воеводский, Докл. АН СССР, 122, 1053, 1958.
  3. H. McConnell, J. Chem. Phys., 25, 709, 1956.
  4. D. J. E. Ingram. «Spectroscopy of Radio and Microwave Frequencies, London, 1955, 151.
-

## ХРОНИКА

ТРЕТЬЯ УКРАИНСКАЯ РЕСПУБЛИКАНСКАЯ КОНФЕРЕНЦИЯ  
ПО ФИЗИЧЕСКОЙ ХИМИИ

В Киеве при Институте физической химии им. Л. В. Писаржевского АН УССР 22—23 декабря 1958 г. проходила третья Украинская республиканская конференция по физической химии. В ней участвовало около 200 физико-химиков от 49 научных учреждений 13 городов. Было проведено 2 пленарных и 15 секционных заседаний, на которых заслушано 68 докладов по различным актуальным проблемам физической химии. Открывая Конференцию, А. И. Бродский указал задачи, стоящие перед физической химией, и отметил недостаточное использование в УССР передовых методов исследования, например, инфракрасной, микроволновой спектроскопии, рентгеновского и электронного структурного анализа, изотопных методов; недостаточно также разрабатываются проблемы квантовой химии.

С. С. Уразовский (Харьков) на пленарном заседании доложил результаты электрохимического исследования молекулярного полиморфизма карбоновых кислот в растворах. Д. Ф. Калинович, И. Н. Францевич, И. И. Ковенский и М. Ф. Смолина (Киев) сообщили об акцепторно-донорном взаимодействии между атомами в металлических твердых растворах. Н. А. Измайлов (Харьков) предложил общее уравнение для константы ионообменного равновесия, объясняющее свойства ионитов и влияние растворителей на ионный обмен. В докладе А. И. Бродского (Киев) были классифицированы методы применения изотопов для изучения механизма химических реакций: меченые атомы, изотопный обмен, изотопное разбавление и кинетический изотопный эффект. С. И. Иванчев и А. И. Юрженко (Львов) сообщили об исследовании скорости разложения и инициирующей активности персульфата калия в присутствии солей жирных кислот.

На заседаниях секции «Механизм химических процессов и строение молекул» П. Морозов, Г. И. Рыбакова, Н. К. Морозова, В. Н. Хлебникова и Д. С. Ковальчук (Днепропетровск) доложили об изучении пирамидальных гидридов и дейтеридов, для которых были вычислены колебательные частоты, силовые постоянные и термодинамические функции. Р. В. Визгерт и Я. П. Беркман (Львов) сообщили об установленном механизме ацилкислородного механизма для щелочного и нейтрального гидролиза арилсульфонатов. А. Ф. Рекашева и Э. П. Дарьева (Киев) доложили о найденном в реакциях Мервейна — Пондорфа и диспропорционирования ксантогидрола в кислой среде небольшом изотопном эффекте ( $k_H/k_D = 1,8$  и  $1,9$ ), что согласуется с представлением внутримолекулярном переходе водорода в шестичленном промежуточном комплексе. М. О. Терешевич, О. К. Скарпе и Т. С. Шелехова (Днепропетровск) доложили о влиянии природы катиона на подвижность атомов кислорода в нитратах. Н. И. Гришко и Е. Н. Гурьянова (Днепропетровск, Москва) сообщили об изотопном обмене серы в солях и эфирах органических тиосульфокислот. Н. М. Туркевич и Е. В. Владимирская (Львов) сообщили о результатах спектрофотометрического изучения производных изазолидона-4.

Проблемы фотохимии были освещены в трех докладах. И. И. Дилунг и Б. Я. Данин (Киев) наблюдали образование молекулярного комплекса хлорофилла с хлоридом оловом, на котором под воздействием красного света происходили внутрикомплексные электронные переносы, приводящие к образованию восстановленных форм хлорофилла.

На секции «Теория растворов» А. З. Голик, А. Ф. Скрышевский, П. Ф. Чоплан, В. Е. Барановский (Киев) доложили об исследовании строения полиэтилсилоксанов, их вязкости, плотности, сжимаемости и поверхностного натяжения. С. Д. Равикович (Киев) предложил уравнение, не содержащее произвольных постоянных, и выражающее коэффициент вязкости через величины, характеризующие молекулярную структуру жидкости.

Доклад Г. В. Самсонова (Киев), сделанный на заседании секции: «Фазовые равновесия. Физико-химический анализ», был посвящен исследованию физико-химических свойств соединений переходных металлов IV, V и VI групп периодической системы



с неметаллами. Эти свойства соответствуют характеру электронных переходов, совершающихся при образовании металлоподобных соединений указанного типа.

Вопросы теории электролитов освещались в 11 докладах. Е. Я. Горенштейн (Киев) нашел, что в пределах одной и той же группы периодической системы с ростом поляризуемости ионов увеличивается степень упорядоченности электролита и вместе с тем повышается вязкость раствора. И. О. Галингер, И. М. Роднянский и Н. А. Белова исследовали теплоемкость и электропроводность растворов электролитов при высоких температурах. Б. Ф. Марков и Н. Х. Тумапова (Киев) доложили об изучении превращения гидратных форм солей в растворе. Н. А. Измайлов, Н. П. Дзюба (Харьков) исследовали поведение веществ со слабокислотными свойствами в диметилформамиде методом потенциометрического титрования. Н. А. Измайлов и Э. Л. Гуревич (Харьков) изучили спектры поглощения пикриновой кислоты и пикрата натрия в неводных растворах.

На секции «Электрохимические процессы» А. С. Афанасьев, А. Н. Бурмистрова, В. И. Сотникова и Е. Н. Чапкова (Днепропетровск) сообщили дополнительные сведения об участии перекиси водорода в механизме кислородного электрода на окисленной стали в щелочи. А. И. Бродский, И. Ф. Франчук, В. А. Луценко-Бурмакина, А. С. Фоменко, Т. М. Абрамова и И. Л. Ганкина (Киев) доложили об изучении изотопными методами механизма ряда реакций, лежащих в основе промышленных процессов получения перекиси водорода и неорганических пероксидов. В. В. Стендер и В. Г. Селиванов (Днепропетровск) сообщили об исследовании фтороборатных расплавов термическим анализом и установлении механизма его разложения на электродах. Доклад Г. А. Емельяненко (Днепропетровск) был посвящен выяснению причин аномального влияния температуры на скорость электроосаждения некоторых металлов. А. С. Афанасьев и О. Я. Миросинченко (Днепропетровск) при изучении электровосстановления монокристаллов магнетита установили ступенчатое протекание процесса и выяснили его кинетику.

Развитию представлений о механизме адсорбционных и ионообменных процессов были посвящены доклады Н. А. Измайлова и С. Х. Мушиной (Харьков), изучивших влияние температуры и молекулярно сорбирующихся добавок на обмен органических ионов на ионитах; Л. С. Ивановой и Д. Н. Стражеско (Киев), исследовавших механизм адсорбции электролитов активным углем; М. В. Товбина и В. П. Мусненко (Киев), изложивших данные по динамике десорбции йода из силикагелей. З. З. Высоцкий (Киев) дал критический обзор существующих взглядов на механизм формирования гелей и подчеркнул решающее значение в этом процессе химической природы поверхности.

На заседаниях секции «Кинетика и катализ» Н. А. Стукановская и В. А. Ройтер (Киев) показали в своем докладе, что в процессе окисления нафталина на пятиокиси ванадия кислород катализатора не участвует в процессе окисления. М. Я. Рубаник (Киев) доложил об изучении каталитического окисления этилена в окись этилена; Я. Б. Гороховатский и М. Я. Рубаник (Киев) — об исследовании электронного взаимодействия кислорода и этилена с серебром. Ю. А. Сигуровская, П. П. Радченко, О. А. Стрельцов и М. Т. Русов (Киев) изложили свои исследования о формировании технического аммиачного катализатора различными восстановителями. В. П. Ушакова, Г. П. Корнейчук, Н. А. Стукановская, В. Г. Третак, Т. Г. Волощина и И. А. Константинова (Киев) в своем докладе показали, что для получения 1,4-нафтохинона прямым каталитическим окислением нафталина наиболее перспективным являются сложные ванадиевые катализаторы. В. В. Шаля (Киев) и Т. П. Корниенко (Киев) привели доказательства гетерогенно-гомогенного механизма для окисления метана и бутан-пропановой смеси. В докладе Д. Н. Стражеско, З. Д. Скрипник, Л. Л. Червяцовой и Г. Ф. Янковской (Киев) было показано важное значение химической природы поверхности активного угля как катализатора. М. А. Писотковская и И. Е. Неймарк (Киев) показали, что в каталитическом отношении двуокись титана равноценна двуокиси кремния. О кинетике гидролиза ди- и триметилалкил- и аллил-трифторо-бора доложили И. Г. Рыс и С. Л. Идель (Днепропетровск). О внедрении каталитического метода очистки воздуха для кислородных установок от ацетилена и паров смазки сообщили Г. Я. Туровский и В. А. Ройтер (Киев). Об усовершенствовании промышленного каталитического получения фталенового ангидрида доложили Г. П. Корнейчук, В. А. Ройтер, Я. В. Жигайло и В. Я. Вольфсон (Киев).

При обсуждении на Конференции семилетних планов, составленных в Академии наук УССР по проблемам химического строения, кинетики и реакционной способности, научных основ подбора катализаторов, синтеза минеральных сорбентов и ионообменников, выяснилась возможность расширить эти планы за счет неакадемических учреждений УССР, особенно кафедр вузов.

Конференция отметила, что объем ведущихся на Украине работ по этим важнейшим проблемам еще далеко не отвечает потребностям и задачам современной науки и практики. По проблеме «Теория химического строения, кинетики и реакционной способности» необходимо усилить исследования промежуточных стадий химических реакций, по структуре молекул и квантовой химии. Нужно шире применять новейшие физические и физико-химические методы (спектральные, электронный и ядерный парамагнитный резонанс и другие).

По проблеме «Научные основы подбора катализаторов» приято целесообразным

организовать чтение специальных курсов кинетики и катализа в университетах и химико-технологических вузах, подготовить издание учебных пособий по кинетике и катализу и серии монографий «Промышленные катализаторы», а также улучшить координацию работ по катализу. Следует создать на Украине исследовательский центр химической переработке нефтяных продуктов, в котором достаточное место было бы уделено проблеме каталитического крекинга и каталитическим процессам переработки продуктов крекинга в активные полупродукты тяжелого органического сырья.

По проблеме «Научные основы синтеза минеральных сорбентов» следует обратить особое внимание на изучение влияния химического модифицирования поверхности сорбентов на их адсорбционные свойства, разработку методов получения адсорбентов с порами молекулярных размеров, получение специфических сорбентов для глубокого разделения сложных смесей, сорбентов для глубокой осушки газов и т. д.

Академия наук СССР  
Институт физической химии  
им. Л. В. Писаржевского

*В. А. Луценко - Бурмакина*



## ГЕОРГИЙ МИТРОФАНОВИЧ ПАНЧЕНКОВ

(К 50-летию со дня рождения)

24 апреля 1959 г. исполнилось 50 лет видному советскому физико-химику, профессору Московского института нефтехимической и газовой промышленности им. И. М. Губкина и МГУ Георгию Митрофановичу Панченкову. В течение 28 лет он ведет плодотворную научно-исследовательскую работу, тесно увязывая ее с запросами народного хозяйства и сочетая ее с большой педагогической и научно-организационной работой.

Основными областями научных интересов Г. М. Панченкова являются кинетика гетерогенных каталитических процессов, методы разделения и анализа изотопов и теория жидкого состояния.

Г. М. Панченков разработал общие методы расчета скоростей химических реакций в потоке, позволяющие рассчитывать скорости любого типа реакций как в стационарных, так и в нестационарных условиях. Эти работы имеют большое значение для многих отраслей промышленности, где применяются методы проведения процессов в потоке. Используя эти методы, Г. М. Панченков с сотрудниками исследовал реакции термического и каталитического крекинга углеводородов и нефтяных фракций нефти. Кроме того, с использованием этих методов были исследованы реакции диспропорционирования водорода в углеводородах, изомеризации, алкилирования, полимеризации, образования кокса на катализаторах и выжига кокса при регенерации катализаторов. Полученные количественные зависимости позволили подойти к разработке хорошо научно обоснованных кинетических методов и реакционных устройств. При помощи этих методов в настоящее время проверяется работа промышленных установок по крекингу и полимеризации с целью выявления оптимальных режимов их работы.

Работы Г. М. Панченкова по каталитическому крекингу сыграли большую роль в создании промышленных установок крекинга. Г. М. Панченковым с сотрудниками было исследовано большое число различного типа катализаторов и найдены катализаторы оптимального состава, которые в настоящее время нашли широкое применение в промышленности.

Интересными и важными работами Г. М. Панченкова являются исследования механизма превращения углеводородов на алюмосиликатных катализаторах с использованием дейтерия в качестве меченого атома.

Г. М. Панченковым разработана теория вязкости жидкостей, позволившая получить зависимость вязкости жидкостей от температуры, давления и состава, находящуюся в хорошем согласии с опытом. Работы Г. М. Панченкова по теории вязкости жидкостей являются крупным успехом советской науки в одной из трудных и мало разработанных областей теории жидкого состояния. Эти работы в 1952 г. были удостоены Сталинской премии в области науки.

Общие методы, разработанные Г. М. Панченковым для описания процесса течения

кости, оказалось возможным распространить и на описание других свойств жидкостей. В последнее время Г. М. Панченков этим методом разработал теорию диффузии в жидкостях, находящуюся в хорошем согласии с опытом, и предложил микроинжекционный метод измерения коэффициентов диффузии жидкостей, позволяющий проводить за течением диффузии без каких-либо нарушений процесса.

Большой цикл работ Г. М. Панченкова посвящен разработке методов разделения анализа изотопов. Некоторые из разработанных им вместе с сотрудниками оригинальных методов в настоящее время внедряются для промышленного получения изотопов. Интересным, и, по-видимому, лучшим из существующих методов разделения изотопов бора является разработанный им с сотрудниками метод химического обмена, основанный на использовании изотопного обмена между галоидными соединениями бора и их молекулярными соединениями с различными веществами (такими, как анилин, хлорекс, серная кислота и т. п.). Этот метод демонстрировался на Всесоюзной промышленной выставке, где получил диплом II степени. На международных выставках в Женеве, Лейпциге, Пекине, Варшаве метод получил высокую оценку.

Большой интерес представляют предложенные Г. М. Панченковым с сотрудниками методы разделения изотопов, основанные на использовании кинетических и адсорбционных изотопных эффектов (например, разделение изотопов кислорода в процессе электросинтеза озона из кислорода) и на использовании разницы в размерах топических разновидностей молекул. При разделении изотопов кислорода этими методами получены относительно высокие коэффициенты однократного разделения изотопов.

Г. М. Панченковым с сотрудниками разработаны оригинальные методы масс-спектрометрического анализа изотопов с использованием синтетических эмитторов изотопов, которые нашли применение в целом ряде лабораторий при изотопном анализе щелочных, щелочно-земельных металлов, редкоземельных элементов, свинца и других.

Г. М. Панченковым выполнен ряд ценных работ и в других областях химии. К ним относятся исследования строения молекул в растворах и химических реакций в безызлучательном высокочастотном разряде, работы по исследованию свойств раствора каучука и «фотостарения» каучука, вошедшие во все руководства по химии каучука.

Ряд работ Г. М. Панченкова посвящен исследованию горения углеводородов и других веществ с целью установления зависимости скорости и полноты горения от строения молекул.

Большую научно-исследовательскую работу проф. Г. М. Панченков сочетает с педагогической деятельностью. Он создал кафедру физической и коллоидной химии в Московском институте нефтехимической и газовой промышленности им. И. М. Губкина, лабораторию химии и разделения изотопов в МГУ и до настоящего времени руководит ими. В течение многих лет Г. М. Панченков читает курсы по различным разделам физической и коллоидной химии, руководит дипломниками и аспирантами. Под руководством Г. М. Панченкова выполнено 2 докторских и 15 кандидатских диссертаций. Им опубликовано 2 монографии, около 100 работ в периодической научной литературе и получено 10 авторских свидетельств на изобретения и открытия.

Г. М. Панченков ведет большую научно-организационную работу, являясь действительным членом Международной комиссии по константам от СССР. Плодотворная деятельность Г. М. Панченкова получила высокую правительственную оценку. Г. М. Панченков награжден орденом Красной Звезды и орденом Знак Почета и медалями, ему присвоено звание лауреата Сталинской премии.

*Я. И. Герасимов, К. В. Топчиева,  
И. А. Семюхин*



## ФЕДОР ФЕДОРОВИЧ ВОЛЬКЕНШТЕЙН

(К 50-летию со дня рождения)

10 декабря 1958 г. исполнилось 50 лет со дня рождения выдающегося советского ученого доктора физико-математических наук Федора Федоровича Волькенштейна.

После окончания Ленинградского политехнического института в 1931 г. Федор Федорович Волькенштейн специализировался в области теории электронных процессов в конденсированных средах. В этой области им был получен ряд важных научных результатов. Отметим, в частности, исследования по теории диэлектриков и полупроводников, обобщенные в книгах «Пробой жидких диэлектриков» и «Электропроводность полупроводников». Последний труд до сих пор представляет собой стандартный учебник для лиц, специализирующихся по физике полупроводников. Важную роль в развитии теории твердого тела сыграло выполненное Ф. Ф. Волькенштейном исследование по так называемой полярной модели кристалла.

В 1944 г., будучи уже известным специалистом по теории твердого тела, Ф. Ф. Волькенштейн был привлечен С. З. Рогинским к работам по теории хемосорбционных и каталитических процессов. Федор Федорович впервые подошел к этой проблеме с позиций современной квантовой теории твердого тела. Исключительная творческая целеустремленность Федора Федоровича позволила успешно решить ряд вопросов из намеченной им широкой программы исследований. К важнейшим из них следует отнести исследование энергетического спектра поверхности кристалла с адсорбированными на ней атомами, а также изучение условий электронного равновесия между различными формами адсорбированного вещества и между поверхностью и объемом. На этой основе была исследована реакционная способность адсорбированных веществ и влияние внешних факторов (примеси, внешние поля, освещение) на адсорбционные и каталитические процессы.

Эти работы образуют единую стройную концепцию хемосорбционных процессов на поверхности полупроводников. Объясняя большое количество экспериментальных фактов, эта концепция составляет фундамент дальнейшего углубленного развития квантовой теории гетерогенного катализа.

Исследования Ф. Ф. Волькенштейна получили широкое признание как в Советском Союзе, так и за границей.

В день пятидесятилетия ученики и сотрудники Ф. Ф. Волькенштейна искренне поздравляют юбиляра и желают ему новых творческих успехов.

*В. Л. Бонч-Бруевич, В. Б. Сандомирский*



# СОДЕРЖАНИЕ

С. Спасский, М. А. Михайлова, А. И. Тарасов, Т. В. Молчанова и М. Е. Маткова. Сополимеризация ненасыщенных полиэфиров с виниловыми мономерами. 4 . . . . .	1449
Ф. Ормонт. Энергии атомизации и теплоты образования некоторых карбидов и нитридов и наиболее вероятные значения энергии диссоциации азота и энергии сублимации углерода . . . . .	1455
Г. Маслов. Термодинамические свойства натриевых соединений в твердой фазе. II . . . . .	1461
А. Алчуджан и М. А. Ипджикян. О каталитических свойствах системы $Pd + Pt$ . . . . .	1467
М. Гурвич. О зависимости рабочей емкости хроматографической колонки окиси алюминия от содержания примесей в очищаемой на колонке соли . . . . .	1473
П. Шорыгин. Взаимное влияние заместителей в молекулах <i>n</i> -дипроизводных бензола . . . . .	1477
Р. Кричевский, Н. Е. Хазанова, Ю. В. Цеханская и Л. Р. Линиц. Критические явления в системе гексаметиленмин-вода. I . . . . .	1484
Я. Кузнецов. Электропроводность стекол системы $Li_2O - SiO_2$ . . . . .	1492
В. Соколов и А. Д. Абкин. О механизме совместной полимеризации с участием бифункциональных мономеров. II . . . . .	1495
И. Гинзбург. Окисление фенола на платиновом вращающемся аноде . . . . .	1504
Н. Васильева, В. П. Базов и М. А. Гейдериx. Спектры и дипольные моменты <i>n</i> -производных диметиланилина . . . . .	1516
Б. Коган, В. М. Фридман и Т. Г. Романова. Фазовые равновесия в системах, образованных парафиновыми углеводородами и спиртами жирного ряда . . . . .	1521
В. Ступоченко и А. И. Осипов. О кинетике термической диссоциации двухатомных молекул . . . . .	1526
Д. Белякова и А. В. Киселев. Адсорбция и хемосорбция метанола силикагелями с разной степенью гидратации поверхности . . . . .	1534
И. Дракин и В. А. Михайлов. Расчет энтропии гидратации катионов . . . . .	1544
А. Кузнецов, Т. Д. Дьякова и В. П. Мальцева. Исследование электрокапиллярных явлений на сплавах висмут - кадмий и поверхностного натяжения этих сплавов в вакууме . . . . .	1551
К. Лебин и В. М. Кадек. Зависимость скорости окисления и электродного потенциала меди от pH растворов . . . . .	1560
В. Алигура. Факторы, оказывающие влияние на первоначальное напряжение адсорбционного микроэлемента $Sb_{(гель)} KCl\ 0,1\ N(Hg_2Cl_2 + KCl\ 0,1N)\ Hg$ (потенциометрическая хромотография) . . . . .	1566
С. Ицкевич и П. Г. Стрелков. Термодинамические исследования при низких температурах. VIII. . . . .	1575
Н. Грязев и А. В. Киселев. Изотермы адсорбции из трехкомпонентных растворов . . . . .	1581
Д. Крылов, Я. И. Вабель, Ю. Н. Ефремов, А. М. Клеина и С. Л. Лельчук. Кинетика фазовых превращений в сплавных $Cu - Si$ контактных массах и ее связь с кинетикой прямого синтеза этилхлорсиланов . . . . .	1594
М. Сухотин и З. Н. Тимофеева. Об ассоциации ионов в растворах. II. . . . .	1602
П. Мискиджян. Электролитическая диссоциация в неводных системах. IX. . . . .	1610
В. Троицкая, К. П. Мищенко и И. Е. Флис. Исследования равновесия $ClO_{2p-r} + e \rightleftharpoons ClO_{2p-r}^-$ в водных растворах при различных температурах . . . . .	1614
Н. Мальцев, Е. Н. Еремин и И. Н. Воробьева. О стационарных концентрациях окиси азота в разряде. II. . . . .	1618
У. Акопян. Перенапряжение катодного восстановления кислорода и энергии активации соответствующих электрохимических процессов. . . . .	1625
А. Трапезников и А. М. Толмачев. К вопросу об образовании гидроокиси алюминия . . . . .	1632
В. Мнюх. Температурный коэффициент расширения <i>n</i> -парафина $C_{30}H_{62}$ . . . . .	1638
Б. Гагарина и И. М. Эмануэль. Кинетические закономерности реакции метана с двуокисью азота . . . . .	1641
В. Чмутов и Э. Э. Финкель. Влияние $\gamma$ -излучения $C_0^{60}$ на проницаемость полиэтилена для водяного пара . . . . .	1648
Методы и техника физико-химического исследования	
Р. Х. Бурштейн и Д. Л. Кондрашов. Манометр для измерения давления агрессивных газов . . . . .	1653
В. Чмутов, В. С. Ланик, П. М. Калачев и Ю. А. Силкин. Самокомпенсирующий мембранный манометр. . . . .	1655

## Дискуссия

- А. Я. Лисютин. О вычислении ионизационных потенциалов атомов . . . 1657

## Письма в редакцию

- Н. Н. Тютюлков. Влияние внутримолекулярного взаимодействия на молекулярную рефракцию . . . 1660  
 Н. А. Шишаков. О структуре конденсированного в вакууме германия . . . 1662  
 М. А. Шлугери В. А. Казаков. Влияние ионов  $\text{SO}_4^{2-}$  на образование катодной пленки при электроосаждении хрома . . . 1666  
 Ю. Н. Молин и Ю. Д. Цветков. Об изменении формы линии электронного парамагнитного резонанса с температурой в радикалах перекисного типа . . . 1668

## Хроника

- В. А. Луненко-Бурмакина. Третья Украинская республиканская конференция по физической химии . . . 1671  
 Я. И. Герасимов, К. В. Топчиева и И. А. Семиохин. К 50-летию со дня рождения Г. М. Пащенко . . . 1674  
 В. Л. Моноч-Бруевич и В. Б. Сандомирский. К 50-летию со дня рождения Ф. Ф. Волькенштейна . . . 1676

## CONTENTS

- S. S. Spasskiĭ, M. A. Mikhailova, A. I. Tarasov, T. V. Molchanova, M. E. Mat'kova. Copolymerization of Unsaturated Polyesters and Vinyl Polymers. IV. . . 1449  
 B. F. Ormont. Atomization Energies and Heats of Formation of Some Carbides and Nitrides and the Most Probable Values for the Dissociation Energy of Nitrogen and Sublimation Energy of Carbon . . . 1455  
 P. G. Maslov. Thermodynamic Properties of Sodium Compounds in the Solid Phase. II. . . 1461  
 A. A. Alchudzhani and M. A. Indzhikyan. Catalytic Properties of the System Pd + Pt . . . 1467  
 A. M. Gurvich. Dependence of the Working Capacity of the Alumina Chromatographic Column on the Impurity Content of the Salt Undergoing Purification in the Column . . . 1473  
 P. P. Shorygin. Mutual Influence of Substituents in *p*-Disubstituted Benzenes . . . 1477  
 I. R. Krichevskii, N. E. Khazanova, Yu. V. Tsekhan'skaya and L. R. Linshitz. Critical Phenomena in the System Hexamethylenimine — Water . . . 1484  
 A. Ya. Kuznetsov. Electroconductivity of Glasses of the System  $\text{Li}_2\text{O} - \text{SiO}_2$  . . . 1492  
 L. B. Sokolov and A. D. Abkin. Mechanism of Copolymerization with the Participation of Bifunctional Monomers . . . 1495  
 V. I. Ginzburg. Polarographic Oxidation of Phenol on the Rotating Platinum Anode . . . 1504  
 V. N. Vasil'eva, V. P. Bazov and M. A. Geiderikh. Spectra and Dipole Moments of Para-Derivatives of Dimethylaniline . . . 1516  
 V. B. Kogan, V. M. Fridman and T. G. Romanova. Phase Equilibria in Systems Formed by Paraffin Hydrocarbons and Aliphatic Alcohols . . . 1521  
 E. V. Stupochenko and A. I. Osipov. Thermal Dissociation Kinetics of Diatomic Molecules . . . 1526  
 L. D. Belyakova and A. V. Kiselev. Adsorption and Chemisorption of Methanol by Silica Gel with Different Degrees of Surface Hydration . . . 1534  
 S. I. Drakin and V. A. Mikhailov. Calculation of the Entropy of Hydration . . . 1544  
 V. A. Kuznetsov, T. D. Dyakova and V. P. Mal'tseva. Investigation of the Electrocapillary Phenomena in Bismuth-Cadmium Alloys and of the Surface Tension of the Alloys in Vacuum . . . 1551  
 L. K. Lepin' and V. M. Kadek. Dependence of the Oxidation Rate and Electrode Potential of Copper on the Solution pH . . . 1560  
 B. Waligóra. Factors Influencing the Initial Electromotive Force of the Microvoltaic Adsorption Cell  $\text{Sb/gel/KCl } 0.1 \text{ N Hg}_2\text{Cl}_2 + \text{KCl } 0.1 \text{ N/Hg}$ . (Potentiometric Chromatography). . . 1566  
 I. S. Itskevich and P. G. Strelkova. Thermodynamic Studies at Low Temperatures . . . 1575

N. Gryazev and A. V. Kiselev. Isotherms of Adsorption from Tricomponent Systems . . . . .	1581
D. Krylov, Ya. I. Babel', Yu. N. Efremov and A. M. Klenina. Kinetics of Phase Transitions in Fused Cu—Si Contact Masses and the Relation of the Kinetics with Those of the Direct Synthesis of Ethylchlorosilanes . . . . .	1594
M. Sukhotin and Z. N. Timofeeva. On Association of Ions in Solutions . . . . .	1602
P. Miskidzh'yan. Electrolytic Dissociation in Non-Aqueous Solutions. IX. . . . .	1610
V. Troitskaya, K. P. Mishchenko and I. E. Flis. Investigation into the Equilibrium $\text{ClO}_{2\text{sol}} + e \rightleftharpoons \text{ClO}_{2\text{sol}}$ in Aqueous Solutions at Various Temperatures . . . . .	1614
N. Mal'tsev, E. N. Eremin and I. N. Vorob'eva. On Steady State Concentrations of Nitrogen Oxide in the Discharge. II. . . . .	1618
U. Akopyan. Overvoltage of the Cathodic Reduction of Oxygen and the Activation Energy of the Corresponding Electrochemical Processes . . . . .	1625
A. Trapeznikov and A. M. Tolmachev. On the Formation of Aluminum Hydroxide . . . . .	1632
V. Mnyukh. Temperature Coefficient of Expansion of the <i>n</i> -Paraffin $\text{C}_{30}\text{H}_{62}$ . . . . .	1638
B. Gagarina and N. M. Emanuel'. Kinetic Relations in the Reaction of Methane and Nitrogen Dioxide . . . . .	1641
V. Chmutov and E. E. Finkel. The Effect of $\text{Co}_{60}$ on the Water Vapor Permeability of Polyethylene . . . . .	1648

### Physico-Chemical Methods and Techniques

Kh. Burshstein and D. L. Kondrashov. Manometer for Measuring the Pressures of Aggressive Gases . . . . .	1653
V. Chmutov, V. S. Lapik, P. M. Kalachov and Yu. A. Silkin. Self-Compensating Manometer . . . . .	1655

### Discussion

Ya. Lisyutin. Calculation of the Ionization Potentials of Atoms. . . . .	1657
--	------

### Communications to the Editor

N. Tyutyulkov. The Effect of Intramolecular Interaction on the Molecular Refraction . . . . .	1660
A. Shishakov. On the Structure of Vacuum-Condensed Germanium . . . . .	1662
A. Shluger and B. A. Kazakov. The Effect of $\text{SO}_4^{2-}$ ions on the Formation of a Cathodic Film during Electrodeposition of Chromium . . . . .	1666
u. N. Molin and Yu. D. Tsvetkov. Changes in the Shape of the EPR Lines with Temperature in Radicals of the Peroxide Type . . . . .	1668

### Miscellany

A. Lunenok-Burmakina. Third Ukrainian Republican Conference on Physical Chemistry . . . . .	1671
a. I. Gerasimov, K. V. Topchieva and M. A. Semiokhin. G. M. Panchenkov (On His Fiftieth Birthday Anniversary) . . . . .	1674
L. Bonch-Bruevich and V. B. Sandomirskii. F. F. Volkenshtein (On His Fiftieth Birthday Anniversary) . . . . .	1676



# ИЗДАТЕЛЬСТВО АКАДЕМИИ НАУК СССР

## КОНТОРА АКАДЕМНИГА

### Имеются в продаже

Внутрикотловые физико-химические процессы, водоподготовка и водный режим котлов высокого давления. Сборник статей. 1957. 594 стр. 30 р. 25 к.

ДЕРЯГИН Б. В., ЗАХАВАЕВА Н. Н. и др. Определение удельной поверхности порошкообразных тел по сопротивлению фильтрации разреженного воздуха. 1957. 60 стр. с илл. 2 р.

ДЖЕЛЕПОВ Б. С. и ЗЫРЯНОВА Л. Н. Влияние электрического поля атома на бета - распад. 1956. 312 стр. 28 р.

ЖУКОВ И. И. Избранные труды. 1952. 484 стр. с илл. 27 р. 80 к.

Работы чл.-корр. Акад. наук СССР И. И. Жукова посвящены взаимодействию газов с металлами; электрохимии растворов и методам определения концентрации водородных ионов; образованию и устойчивости коллоидных систем; электрокинетическим явлениям; высокомолекулярным соединениям и др. вопросам.

Изотопы и изучения в химии. Труды Всесоюзной научно-технической конференции по применению радиоактивных и стабильных изотопов и излучений в народном хозяйстве и науке (4—12 апреля 1957 г.). 1958. 380 стр. 21 р.

Коррозия бетона и меры борьбы с ней. Труды конференции 1953 г. 1954. 256 стр. с илл. 15 р. 50 к.

ЛАЗАРЕВ П. П. Сочинения. В трех томах. Том. II. Работы по биофизике, физике и физической химии. 1950. 640 стр. 28 р.

Новые методы физико-химических исследований. (Труды Института физической химии. Вып. 6) 1957. 202 стр. 11 р. 65 к.

ПАУШКИН Я. М. Химический состав и свойства реактивных топлив. 1958. 376 стр. 19 р. 30 к.

Получение изотопов, мощные гамма - установки, радиометрия, дозиметрия. Труды Всесоюзной научно-технической конференции по применению радиоактивных и стабильных изотопов и излучений в народном хозяйстве и науке (4—12 апреля 1957 г.). 1958. 294 стр. 17 р. 35 к.

Проблемы кинетики и катализа. VI. Гетерогенный катализ. Труды Всесоюзной конференции по катализу. Под ред. чл.-корр. Акад. наук СССР. С. З. Рогинского, д-ра хим. наук Н. И. Шуйкина, В. Э. Вассерберга и Г. М. Жабровой. 1949. 443 стр. 20 р. 45 к.

Теория и практика электролитического хромирования. Сборник статей. 1957. 231 стр. 7 р. 45 к.

Труды Института физической химии Академии наук СССР. Вып. III. Исследования по коррозии металлов. Новые методы и приборы для коррозионных испытаний. 1951. 87 стр. 3 р. 60 к.

ШАТЕНШТЕЙН А. И., ЯКОВЛЕВ Е. А. и др. Изотопный анализ воды. Изд. 2-е. 1957. 235 стр. 14 р.

ЩЕПОЧКИНА Н. И. Физико-химическое исследование титанатов бария и железа. (Труды Института геологии рудных месторождений, петрографии, минералогии и геохимии Академии наук СССР. Вып. 11). 1958. 61 стр. 4 р. 50 к.

*Книги продаются в магазинах «Академнига»*

*Для получения книг почтой  
заказы направлять в контору «Академнига»*

**Москва, К-12, ул. Гуйбышева, 8**  
**Отдел «Книга — почтой»**

*или в ближайший магазин «Академнига» по адресу:*

Москва, ул. Горького, 6 (магазин № 1); Москва 1-й Академический проезд, 55/5 (магазин № 2); Ленинград, Литейный проспект, 57; Свердловск, ул. Белинского, 71-в; Киев, ул. Ленина, 42; Харьков, Горьковский пер., 4/6, Алма-Ата, ул. Фурманова, 129; Ташкент, ул. К. Маркса, 29; Баку, ул. Джапаридзе, 13

Технический редактор *Н. А. Колгурина*

---

Т-08903	Подписано к печати	17/VII-1959 г.	Печ. л. 19,86+1 вк.	Уч.-изд. л. 22,1
Формат бумаги	70×108 <sup>1/16</sup>	Бум. л. 7 <sup>1/4</sup>	Заказ 1735	Тираж 3600 экз.

---

2-я типография Издательства Академии наук СССР. Москва, Шубинский пер., 10



Цена 22 руб. 50 коп.